

## “Nanotechnologie II“ Sommersemester 2017

### C. Ausgewählte Kapitel zur Nanotechnologie

- 7. Nanostrukturen durch Selbstorganisation
  - 7.1 Voraussetzungen für Selbstanordnung
  - 7.2 Thermodynamische Aspekte der Selbstanordnung
  - 7.3 Weitere Beispiele
- 8. Partikuläre Nanostrukturen
  - 8.1 Festkörper in reduzierter Dimension
  - 8.2 Elektronische Eigenschaften eindimensionaler Strukturen
  - 8.3 Kohlenstoff-Nanoröhrchen
  - 8.4 Cluster und Kolloide
- 9. Nanoelektronik
  - 9.1 Einzelladungseffekte
  - 9.2 Der Einzelladungstransistor (SET)
  - 9.3 Quanten-Computing
  - 9.4 Molekulare Elektronik
- 10. Nanooptik
  - 10.1 Photonische Bandlückenmaterialien (PBG)
  - 10.2 Plasmonen
- 11. Nanotribologische Systeme
  - 11.1 Der Lotus-Effekt
  - 11.2 Der Gecko-Effekt
- 12. Biologische Nanostrukturen
  - 12.1 Abbildung und mechanische Eigenschaften lebender Zellen
  - 12.2 Biologische Nanostrukturen

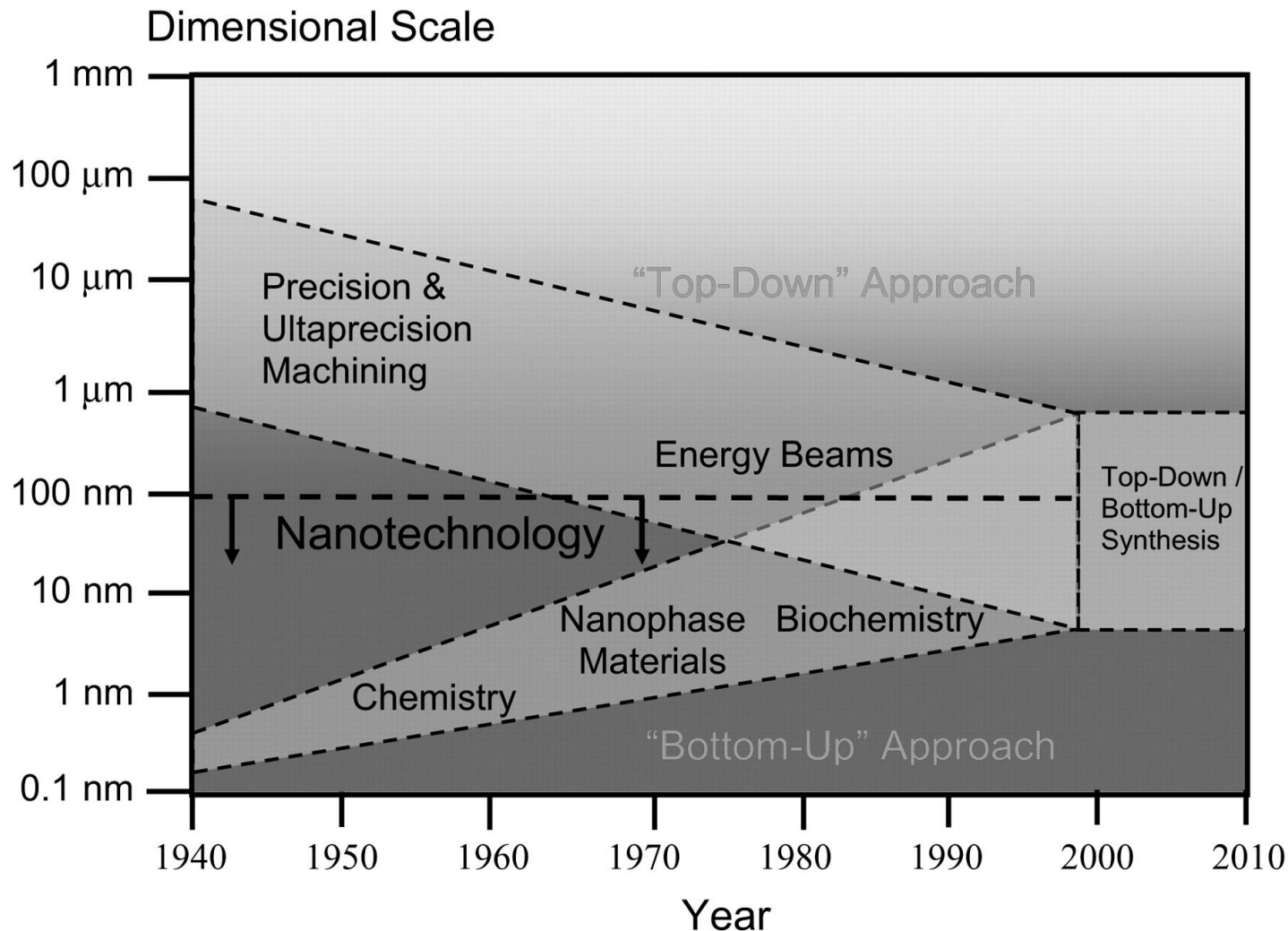
## Literatur zur Vorlesung ”Nanotechnologie II”

Zur Vorbereitung der Vorlesung wurde verwendet:

- Rainer Waser (Ed.)  
*Nanoelectronics and Information Technology*  
2<sup>nd</sup> edition, John Wiley & Sons Ltd 2005  
ISBN 3-527-40363-9  
(Standort UB: nach 8.20, 2003 E 201(2)f)
- S. M. Lindsay  
*Introduction to Nanoscience*  
Oxford University Press 2010  
ISBN 978-019-954421-9
- Claire Dupas, Philippe Houdy, Marcel Lahmani (Eds.)  
*Nanoscience*  
Springer, Berlin 2004  
ISBN 3-540-28616-0  
(Standort UB: nano 0, 2007 A 4151)
- Günter Schmid (Ed.)  
*Nanoparticles*  
Wiley-VCH, Weinheim 2004  
ISBN 3-527-30507-6  
(Standort UB: nano 2, 2004 A 8753)
- Lukas Novotny und Bert Hecht  
*Principles of Nano-Optics*  
Cambridge University Press 2006  
ISBN 978-0-521-83224-3  
(Standort UB: phys 4.29, 2007 E 1379)
- Bharat Bushan (Ed.)  
*Springer Handbook of Nanotechnology*  
2<sup>nd</sup> edition, Springer Berlin 2007  
ISBN 3-540-29855-X

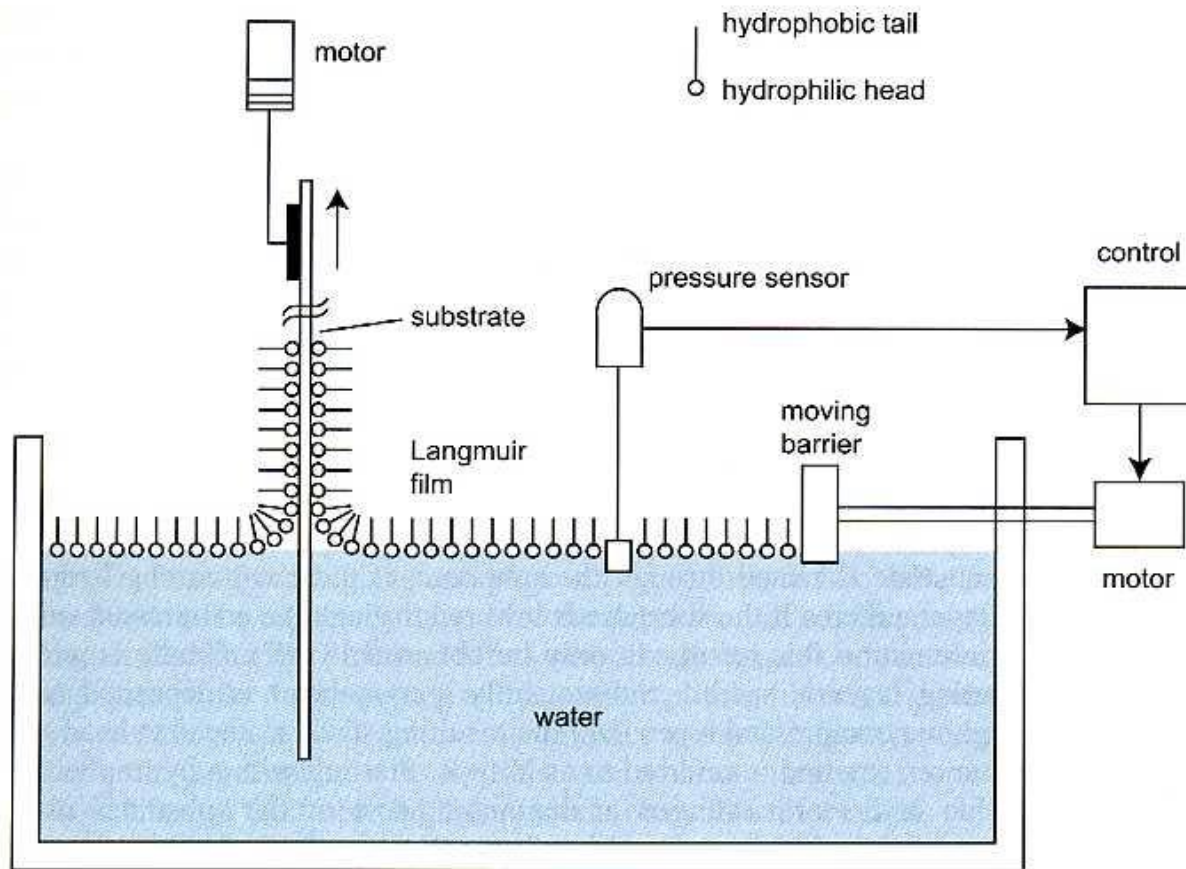
Das in der Vorlesung verwendete Bildmaterial wurde sofern nicht anders angegeben diesen Büchern entnommen und steht daher unter Copyright.

## Konvergenz von top-down- und bottom-up-Nanotechnologien.

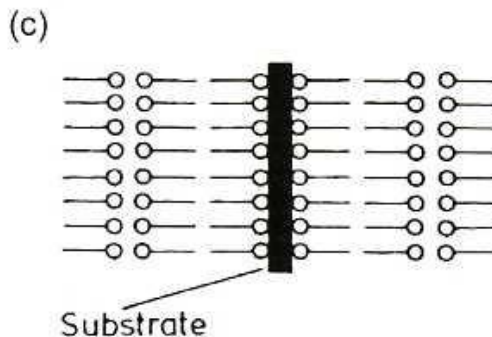
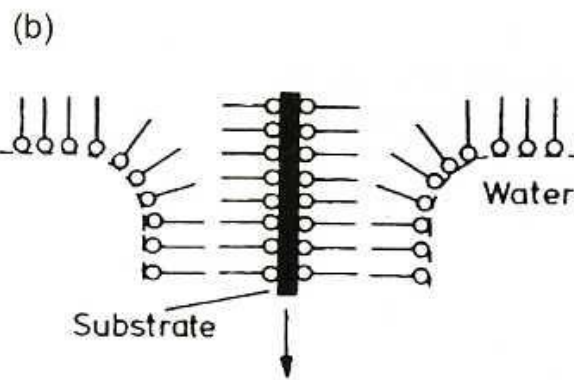
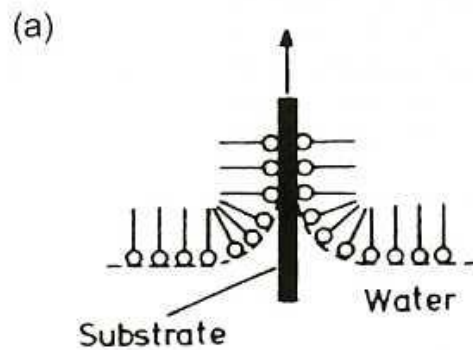


Whatmore R W Occup Med (Lond) 2006;56:295-299

## Versuchsanordnung zur kontrollierten Abscheidung von Langmuir-Blodgett-Filmen

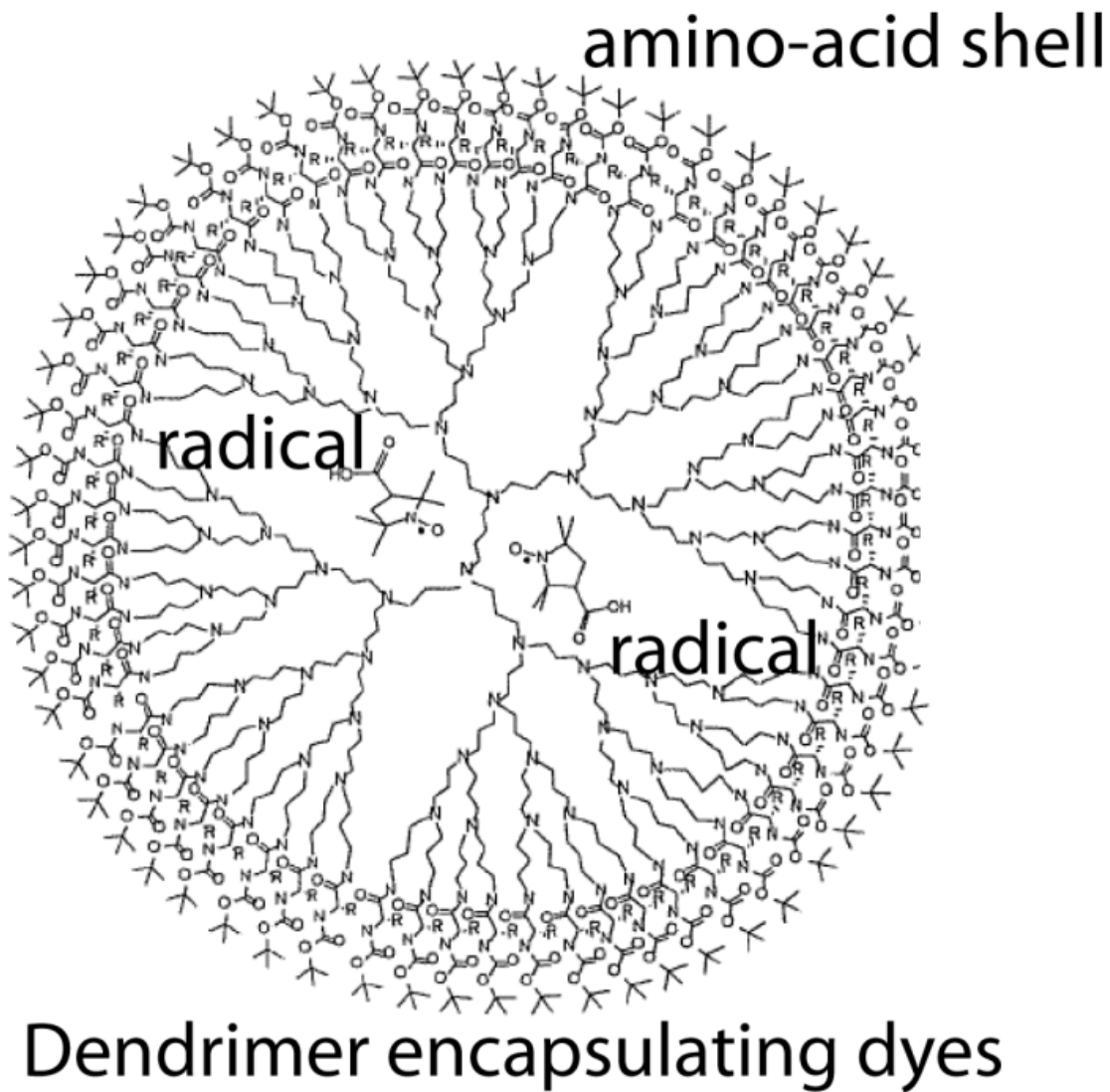


## Versuchsführung bei der Abscheidung von Y-Typ von Langmuir-Blodgett-Filmen

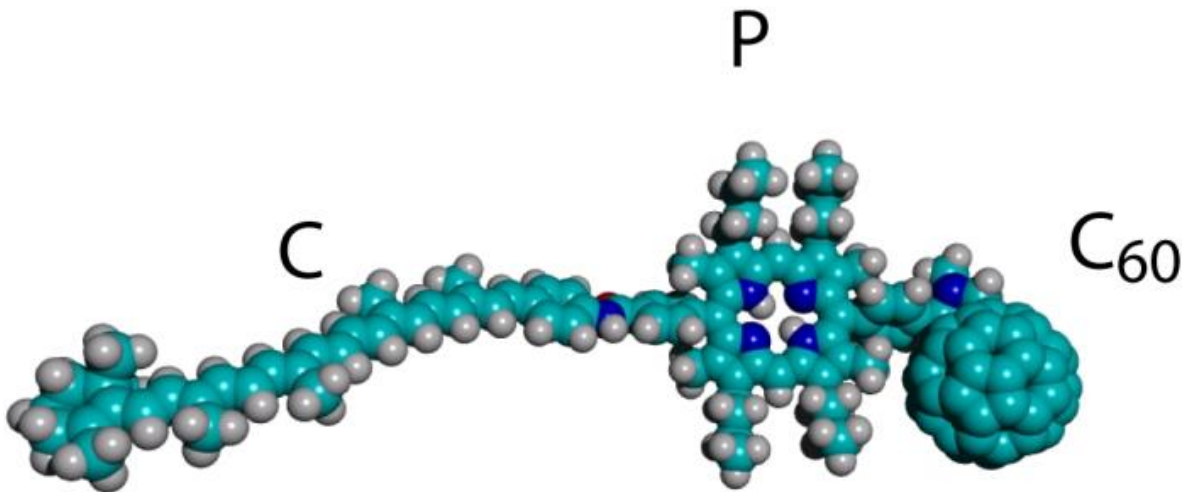


## Dendrimer mit eingeschlossenem Farbstoff-Radikal

(Reprinted with  
permission from  
John Wiley and Sons  
Inc. Courtesy E.W.  
Meijer)



## Licht-zu-Ladung-Konverter

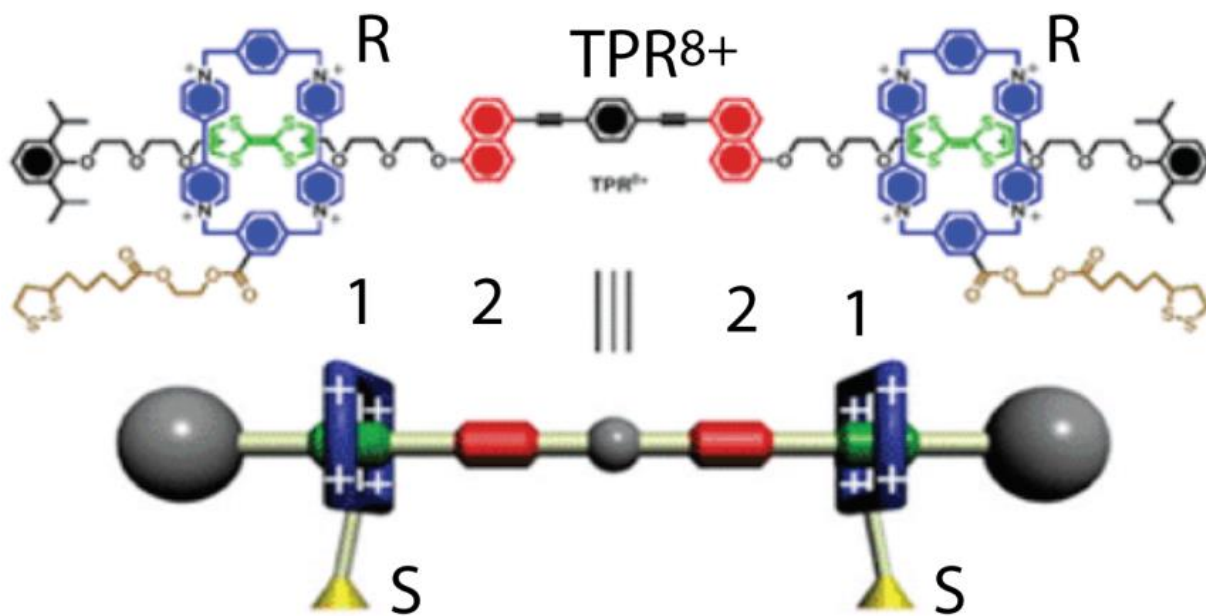


## Light-to-charge converter

(Courtesy of Professor Devens Gust of  
Arizona State University.)

## Nano-Muskel: Aktuator auf Rotaxane-Basis

(Reprinted with permission from Y. Liu, A.H. Flood, P.A. Bonvallet, S.A. Vignon, B.H. Northrup, H-R Tseng, J.O. Jeppesen, T.J. Huang, B. Brough, M. Baller, S. Maganov, S.D. Solares, W.A. Goddard, C.M Ho, and J.F. Stoddart,. *J. Am. Chem. Soc.* 2005, **127**, 9745, Published 2005 by American Chemical Society).



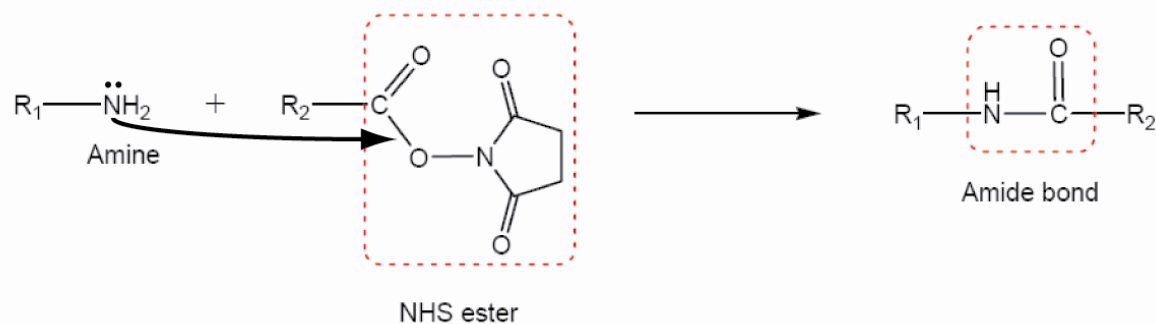
"Nano-muscle" actuator based on rotaxanes

# Attacking agents

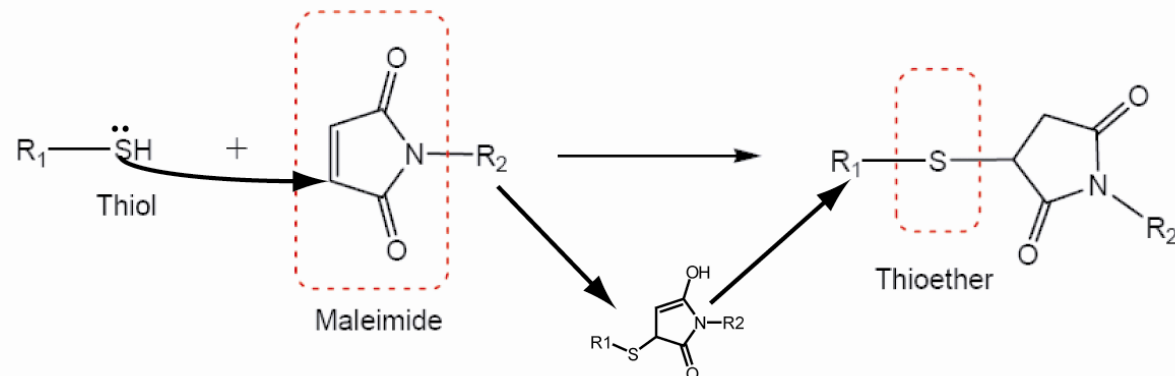
- Nucleophiles give 2 electrons to cause heterolytic cleavage
- Electrophiles take two electrons
- Free radical reactions give 1 electron to each section of a homolytic cleavage
- Note that electrons can transfer around organic rings (pericyclic), e.g. in benzene
- Acid-base reactions, e.g. HCl gas dissolving in water to form hydrochloric acid

## Einige nützliche Reaktionen

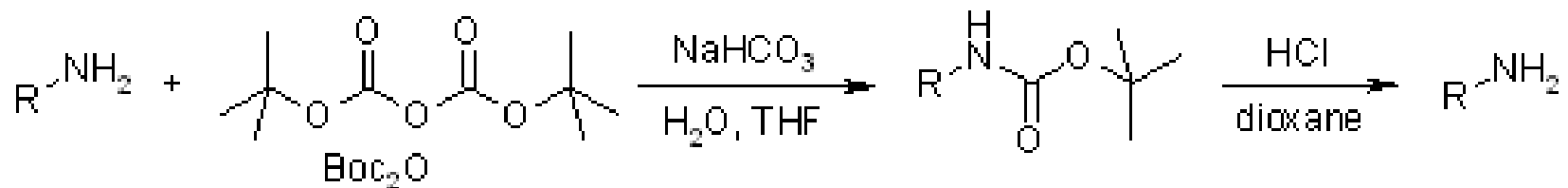
(a) Reaction of an amine with activated carboxylate (NHS ester)



(b) Reaction of a thiol with a maleimide



# Protection/deprotection

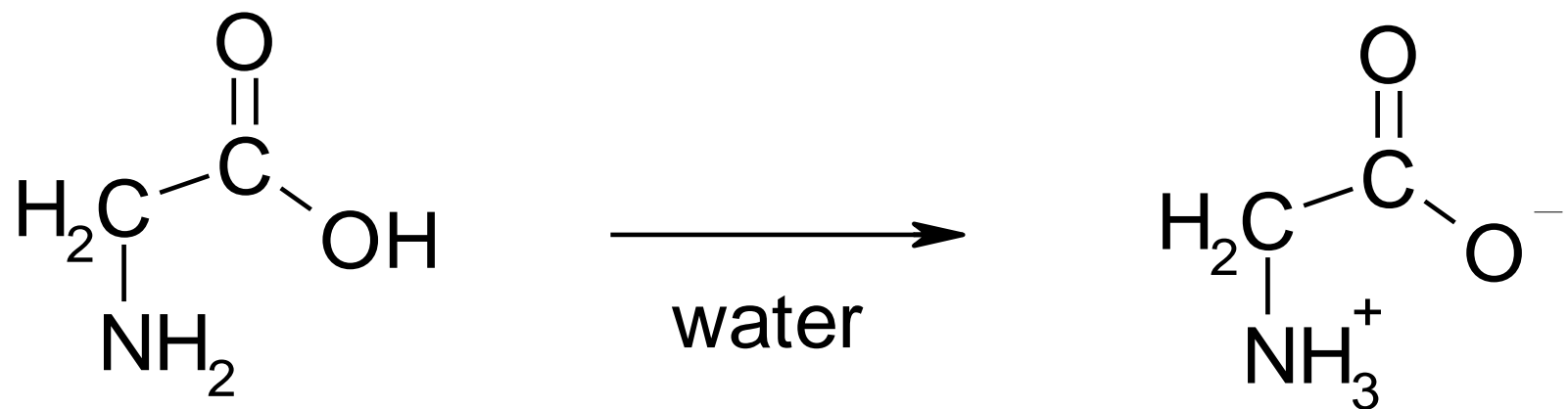


- BOC = *t*-ButylOxyCarbonyl
- Protects against nucleophiles
- Easily removed with acids

## Beispiele für schwache Wechselwirkungen

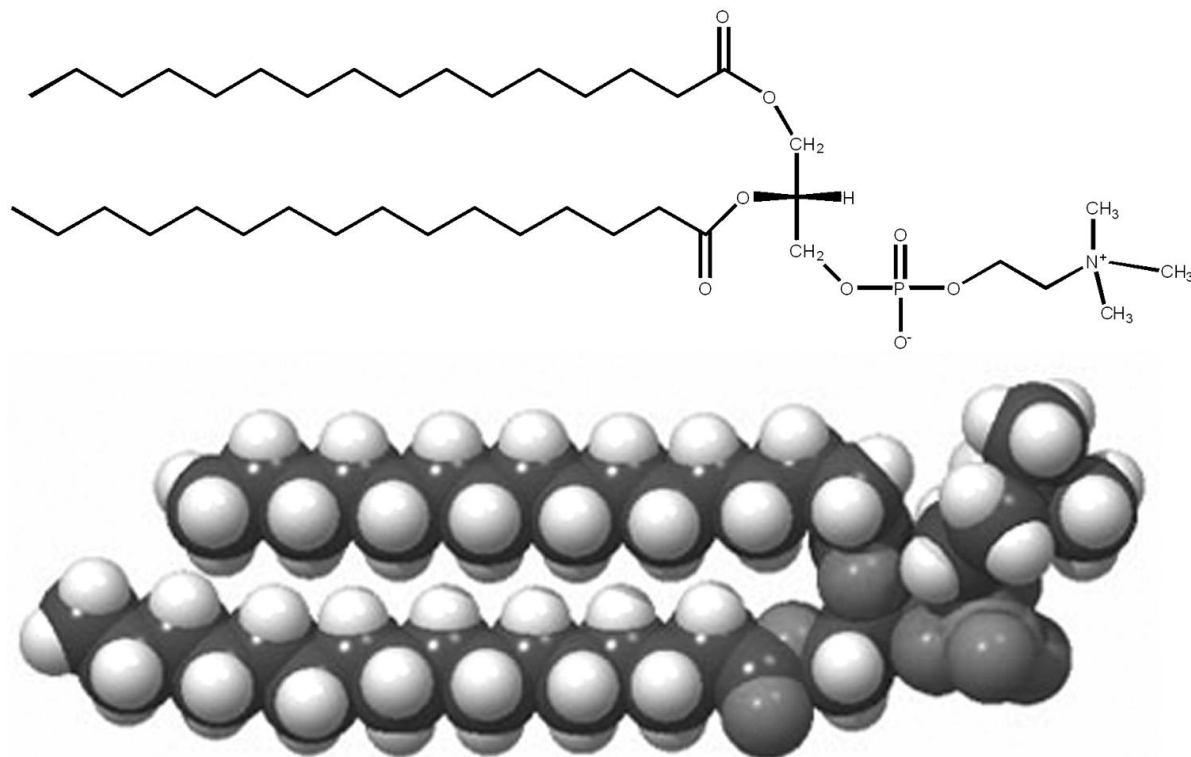
Interaction	Illustration	Formula for interaction energy
Covalent		Complex, short range - see Chapter 2
Charge-charge		Coulomb's law: $\frac{Q_1 Q_2}{4\pi\epsilon_0 r}$
Charge-dipole	<p>Fixed dipole</p> <p>Freely rotating dipole</p>	dipole moment is $\mu = \frac{Q\mu \cos \theta}{4\pi\epsilon_0 r^2}$
Dipole-dipole	<p>Fixed dipoles</p> <p>Freely rotating dipoles</p>	$-\frac{\mu_1 \mu_2 [2 \cos \theta_1 \cos \theta_2 - \sin \theta_1 \sin \theta_2 \cos \phi]}{4\pi\epsilon_0 r^3}$
Charge-nonpolar		polarizability is $\alpha = \frac{-Q^2 \alpha}{2(4\pi\epsilon_0)^2 r^4}$
Dipole-nonpolar	<p>Fixed dipole</p> <p>Freely rotating dipole</p>	$-\frac{\mu^2 \alpha (1 + 3 \cos^2 \theta)}{3(4\pi\epsilon_0)^2 r^6}$
Nonpolar-nonpolar		$-\frac{\mu^2 \alpha}{(4\pi\epsilon_0)^2 r^6}$
Hydrogen bonds		Quantum-mechanical - roughly $\frac{1}{r^2}$

Ein „Zwitterion“: Unpolares Molekül wird in Wasser zum polaren Molekül

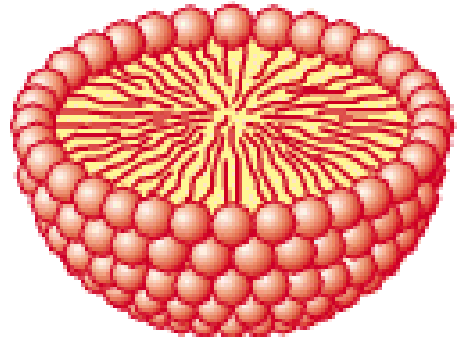


## Amphiphile Moleküle: Moleküle mit hydrophoben und hydrophilem Ende

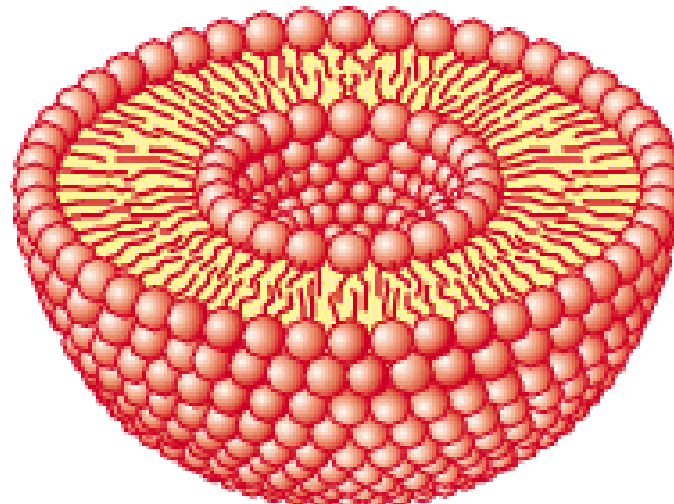
Bsp.: Phospholipidmoleküle mit hydrophiler Phosphat-Kopfgruppe und hydrophobem paarigen Schwanz aus Alkanketten ( $\text{CH}_2$ )



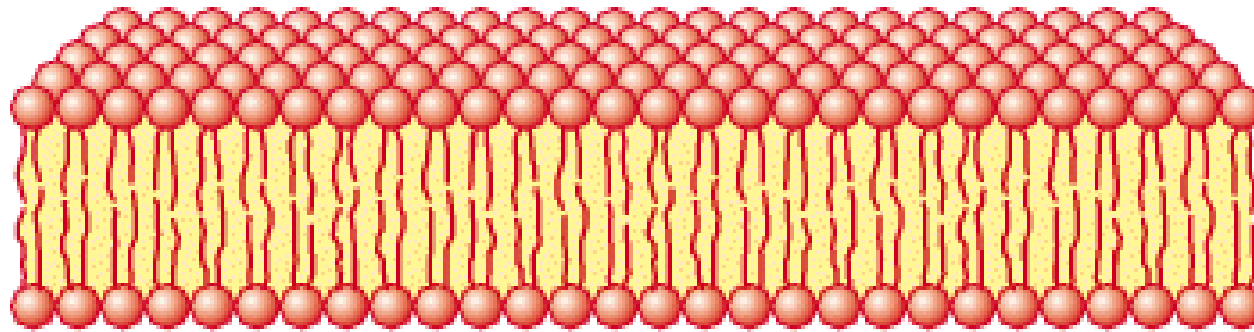
## Selbstaufbauende amphiphile Strukturen



**Micelle**

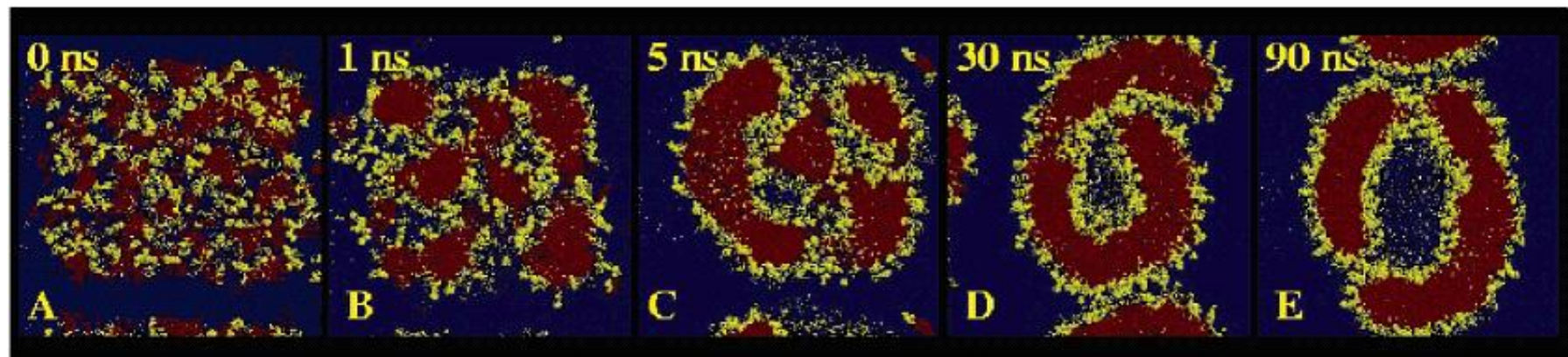


**Liposome**



**Bilayer sheet**

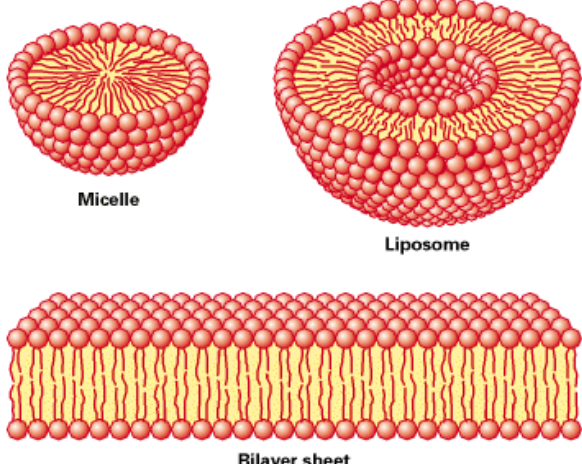
## Simulation der Formierung eines Vesikels



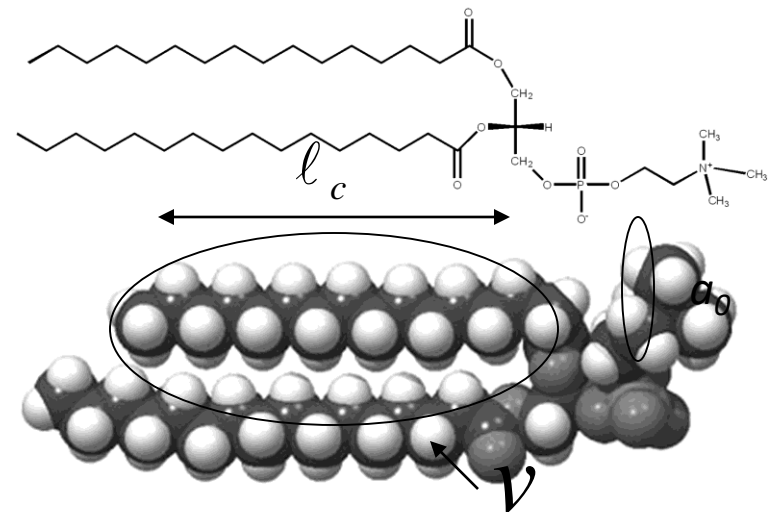
(Reprinted with permission from Molecular dynamics simulation of the spontaneous formation of a small DPPC vesicle in water in atomistic detail, A.H de Vries et al./A.E. Mark, and S.J. Marrink, J. Am. Chem. Soc. 2004 **126**: 4488. Published 2006 by American Chemical Society)

## Abhangigkeit des chem. Potentials von der Gestalt

- Packing effects depend on geometry
- Non-spherical micelles  $\frac{v}{a_0 \ell_c} < \frac{1}{3}$
- Spherical micelles  $\frac{1}{3} < \frac{v}{a_0 \ell_c} < \frac{1}{2}$
- Vesicles/bilayers  $\frac{1}{2} < \frac{v}{a_0 \ell_c} < 1$
- cones  $\frac{v}{a_0 \ell_c} > 1$



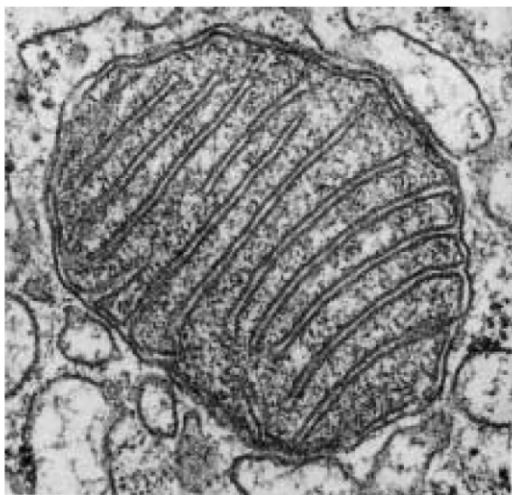
$$\frac{v}{a_0 \ell_c} > 1$$



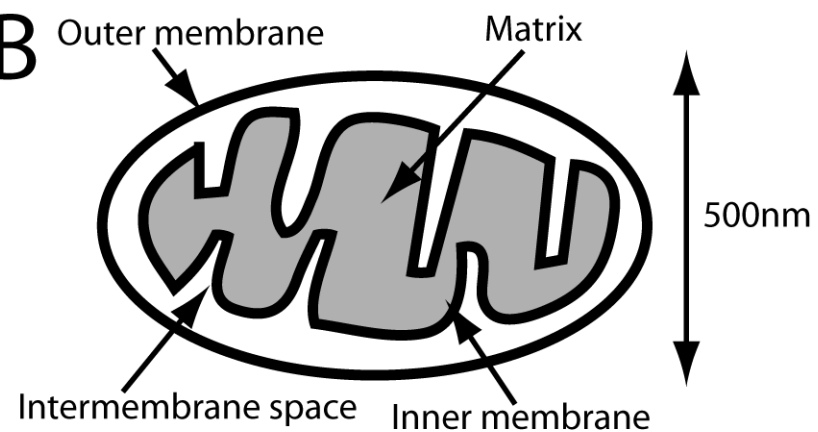
$\ell_c$  is the length of the hydrocarbon chain  
 $v$  is the volume occupied by the hydrocarbon chain  
 $a_0$  is the area of the head group

## Beispiel für eine Lipid-Doppelschicht: Das Mitochondrium

A



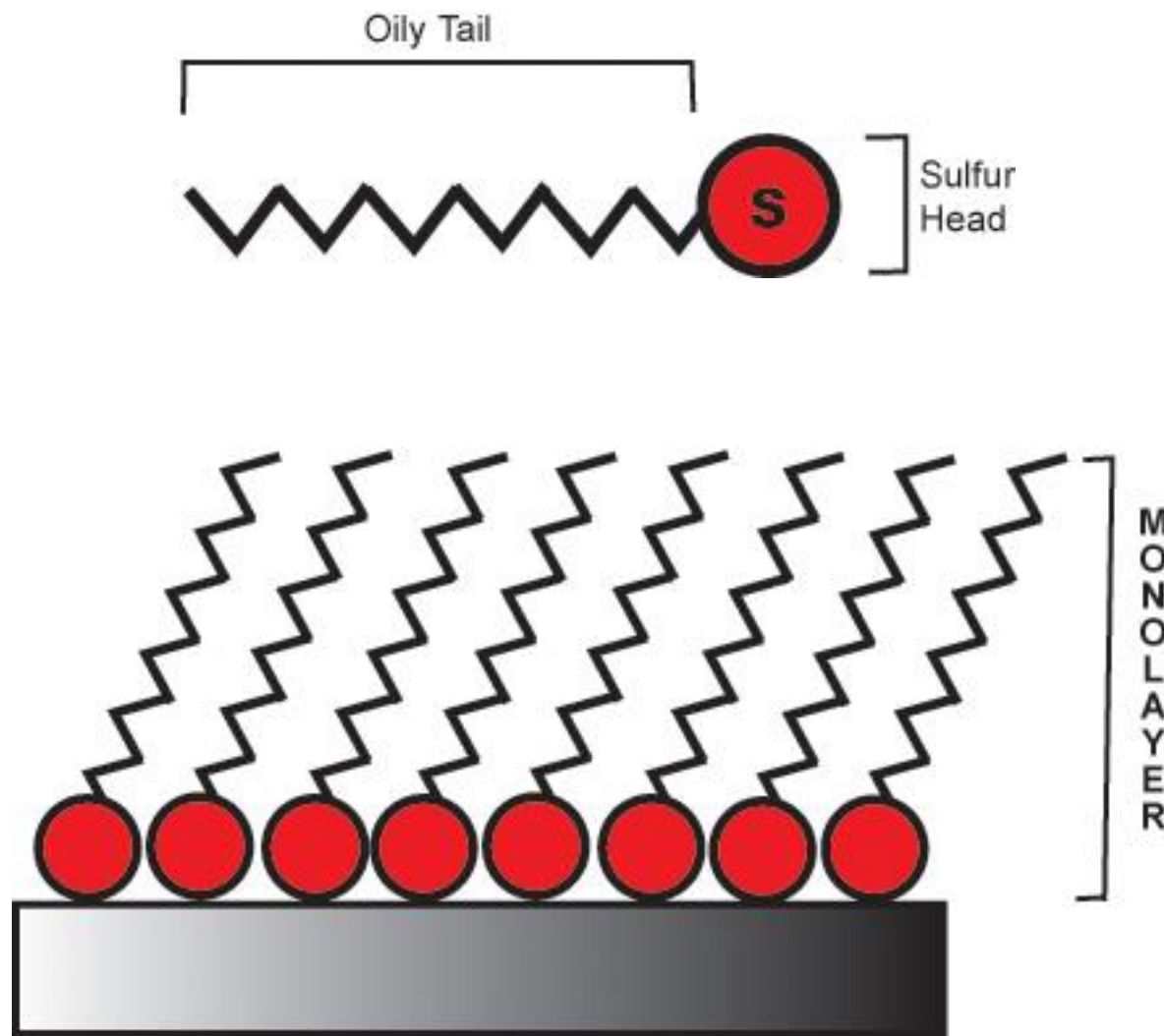
B



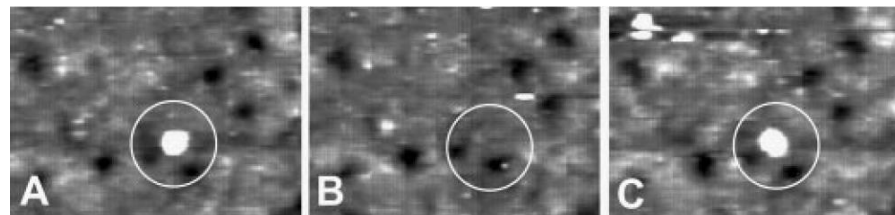
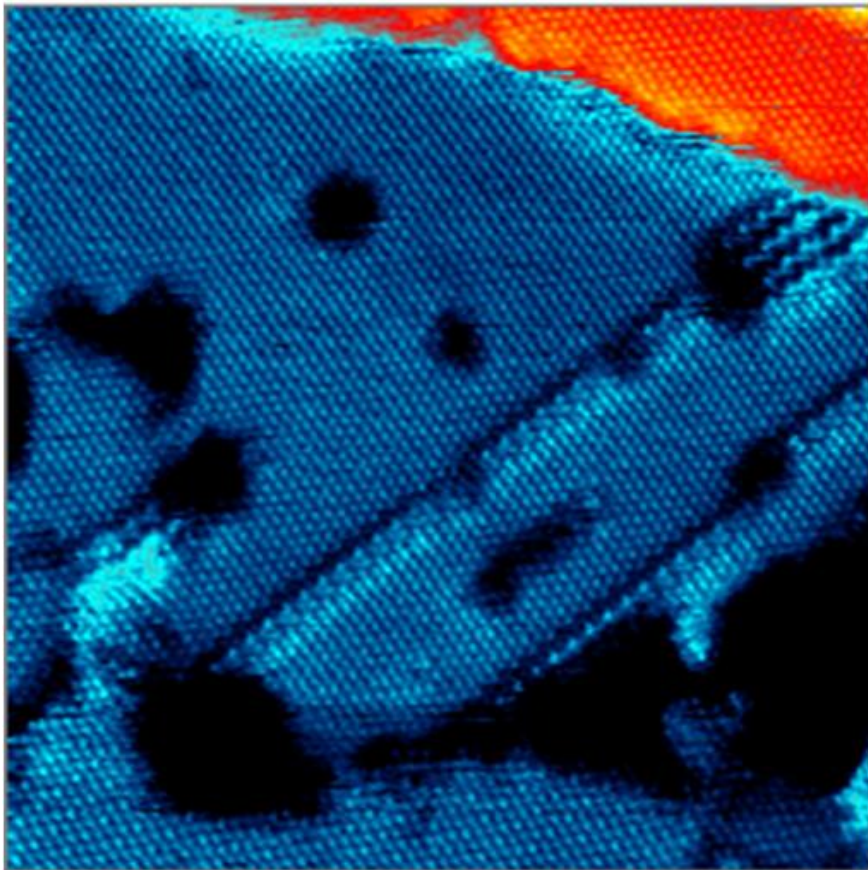
(EM image is reproduced with permission from Chapter 4 of The genetic basis of human disease by G. Wallis published by the Biochemical Society 1999. Copyrighted by the Biochemical Society. <http://www.biochemj.org/>.)

Pyruvate oxidation – 30 ATPs vs 2

## Beispiel für SAM



# Self-assembled monolayers (SAM)

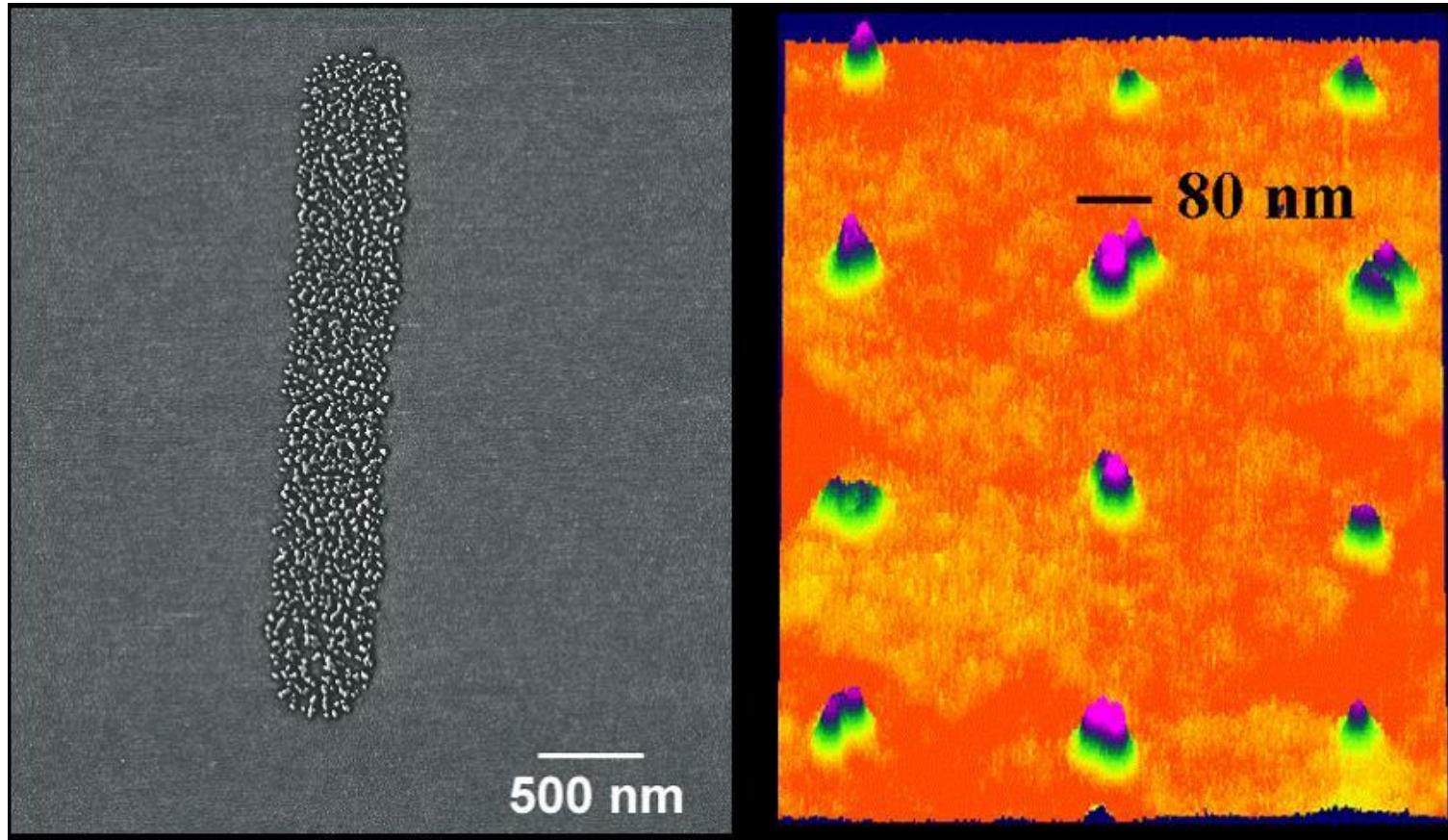


## Bond fluctuations

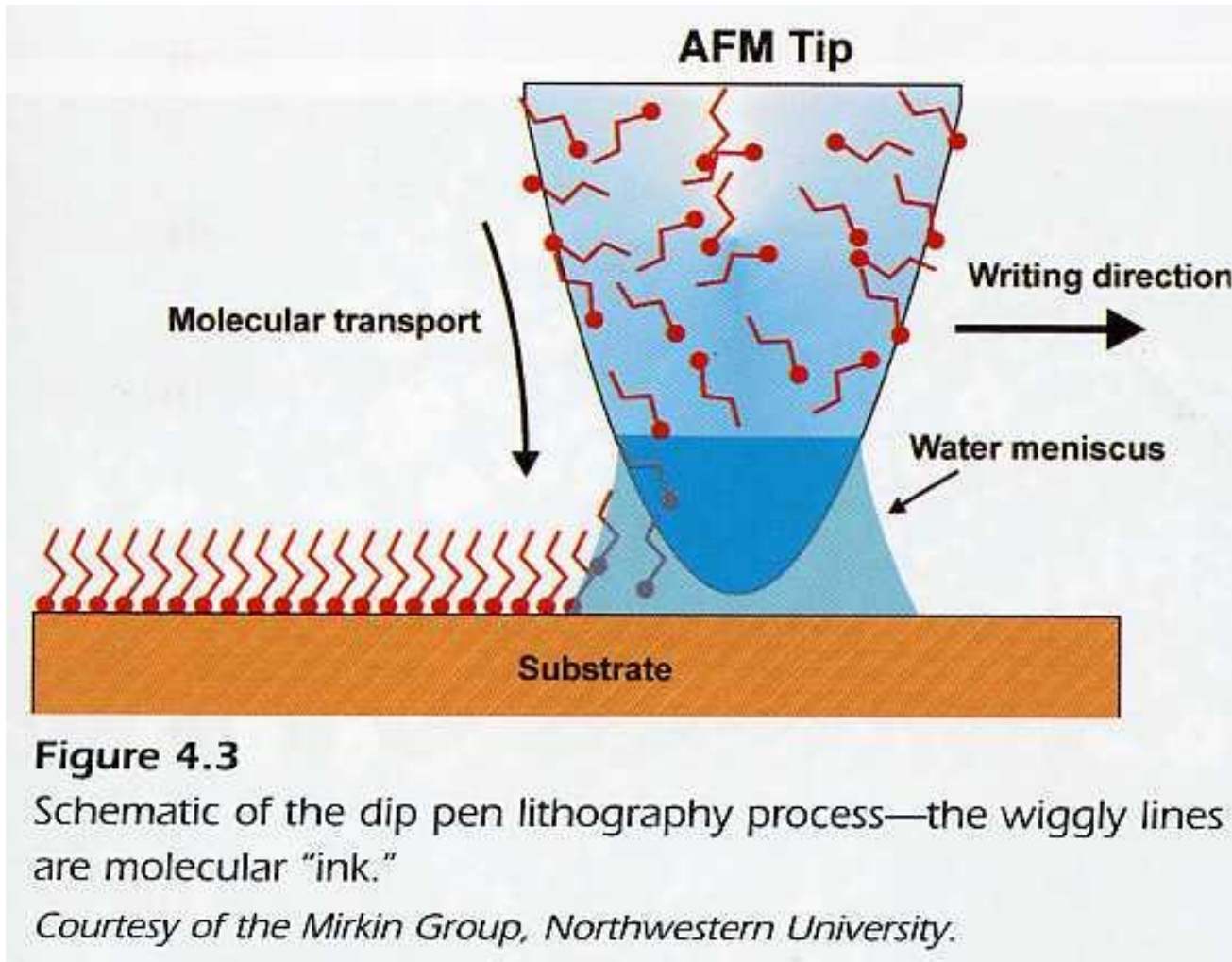
(From A bond-fluctuation mechanism for stochastic switching in wired molecules, G.K. Ramachandran, T.J. Hopson, A.M. Rawlett, L.A. Nagahara, A. Primak and S.M. Lindsay, Science 2003, 300, 3413. Reprinted with permission AAAS. Readers may view, browse and/or download material for temporary copying purposes only, provided that these uses are for noncommercial personal purposes. Except as provided by law, this material may not be further reproduced, distributed, transmitted, modified, adapted, performed, displayed, published or sold in whole or part without prior written permission from the publisher.)

(Reproduced with permission from Functional molecules and assemblies in controlled environments, Weiss, P.S. published by Accounts of Chemical Research, 2008, courtesy of Professor Paul Weiss.)

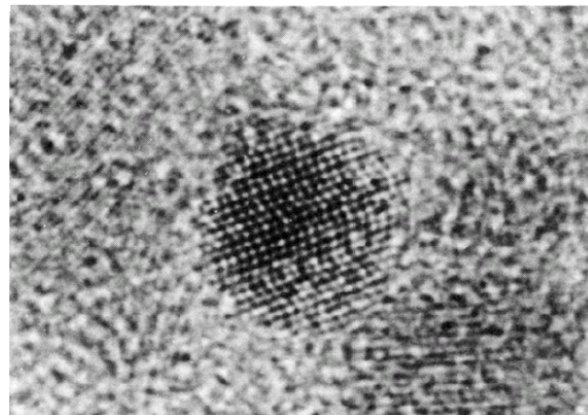
Beispiel für die Anwendung von SAMs: Biopatterning von Proteinen  
Array zur Untersuchung <1000 Antikörper (links) und einzelner Moleküle (rechts)



## Dip-Pen-Nanolithografie



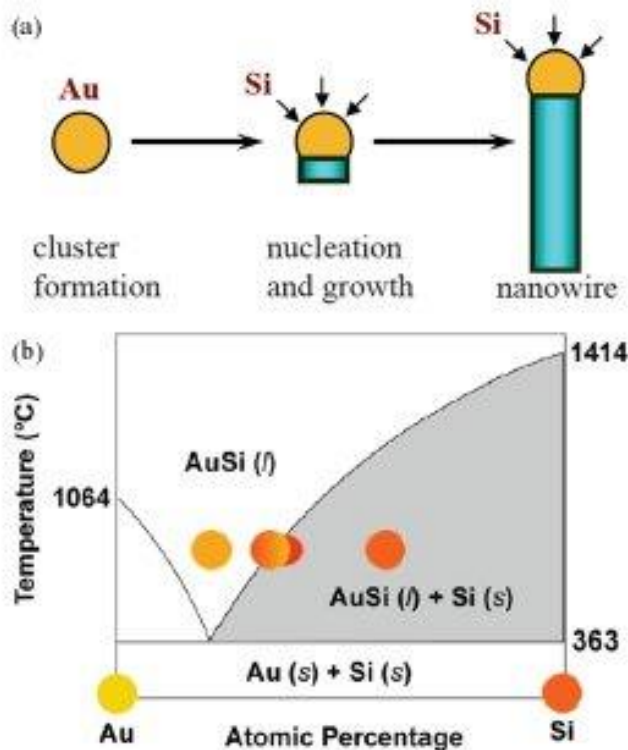
## Kinetisch getriebene Prozesse: Ausfällung von Nanopartikeln aus Lösungen



### Quantum dots from 2 phase synthesis with Ostwald ripening

(Reprinted with permission from Synthesis and characterization of nearly monodisperse CdE (E=S,Se,Te) semiconductor nanocrystallites, C.B. Murray, D.J. Noms and M.G. Bawendi, J. Am. Chem. Soc. 115 8706 Published 1993 by American Chemical Society).

## Kinetisch getriebene Prozesse: Ausfällung von Nanopartikeln aus der Gasphase

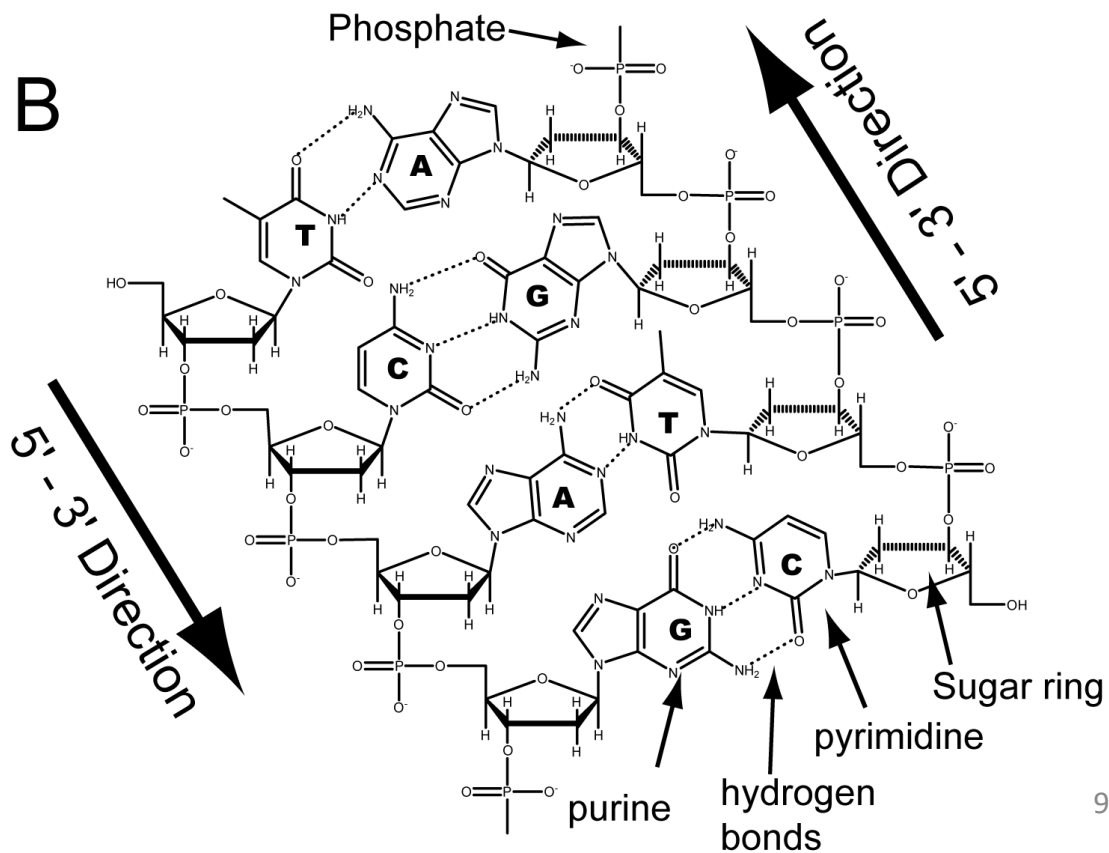
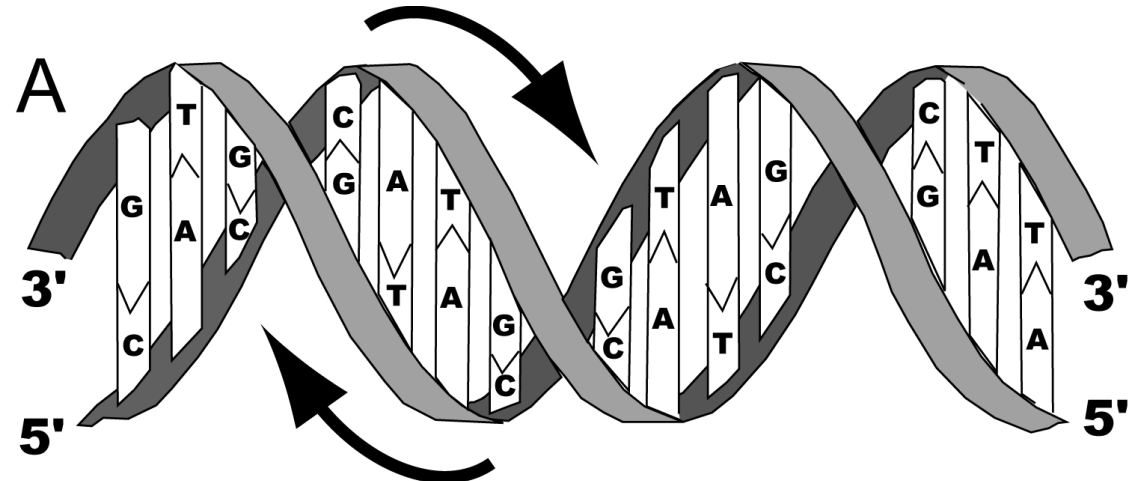


### Si Nanowires from Au/Si eutectic seeded on Au NanoParticles

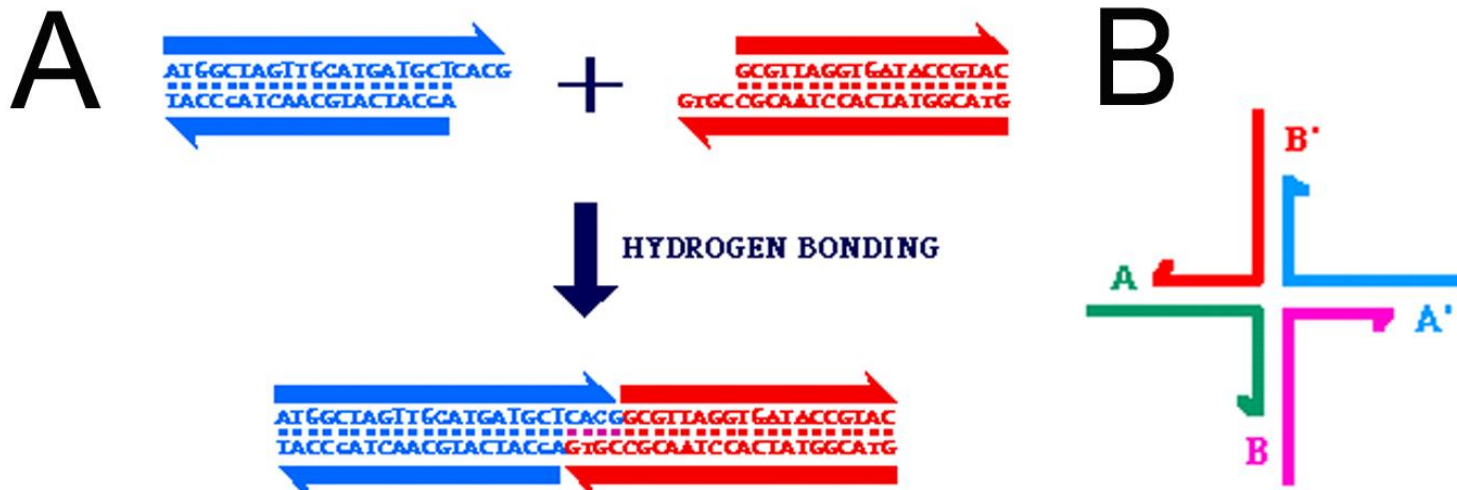
(Reproduced with permission from Semiconductor nanowires, W. Lu and C.M. Lieber J. Phys. D: Applied Physics 2006 with permission from IOP publishing and courtesy Wei Lu.)

**Figure 1.** Schematic of VLS growth of Si nanowires (SiNWs). (a) A liquid alloy droplet AuSi is first formed above the eutectic temperature ( $363\text{ }^{\circ}\text{C}$ ) of Au and Si. The continued feeding of Si in the vapour phase into the liquid alloy causes oversaturation of the liquid alloy, resulting in nucleation and directional nanowire growth. (b) Binary phase diagram for Au and Si illustrating the thermodynamics of VLS growth.

# DNA Nanotechnology

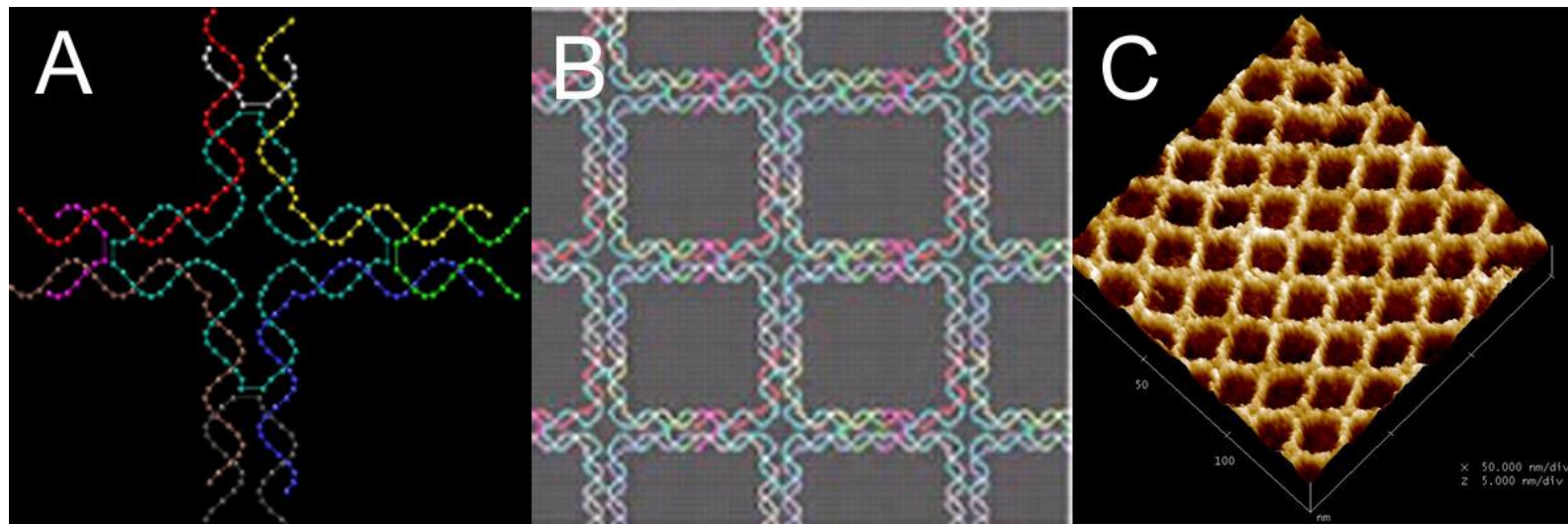


# DNA Nanotechnology



(Courtesy of Professor Hao Yan, Arizona State University)

# DNA Nanotechnology

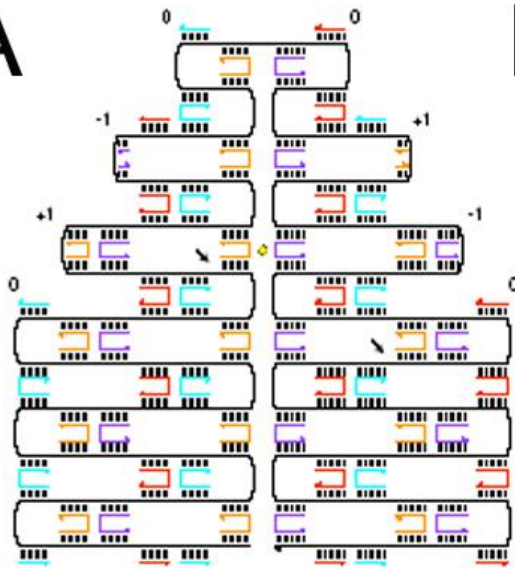


(Courtesy of Professor Hao Yan, Arizona State University)

# DNA Nanotechnology



A



B

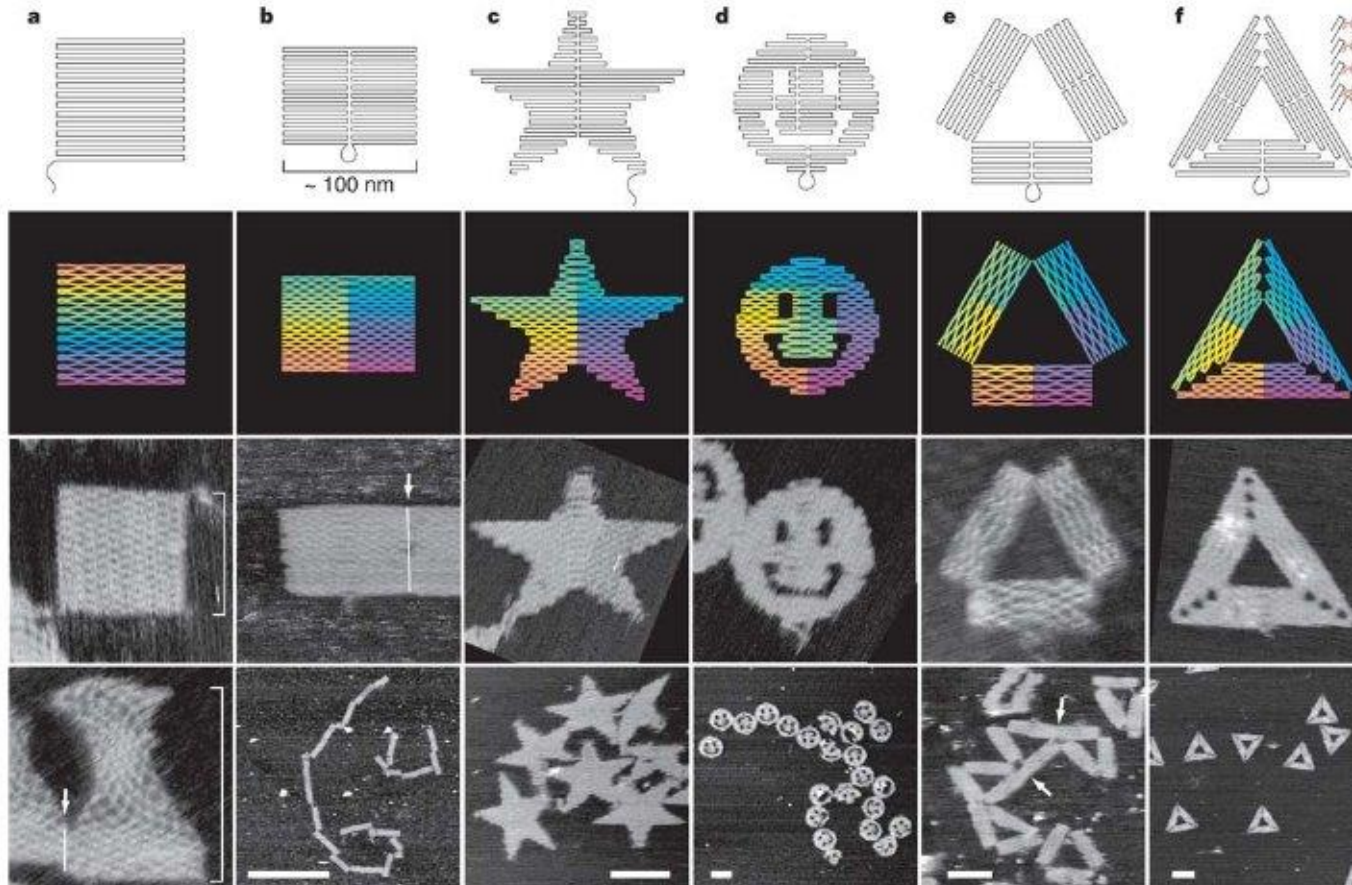


C



(Reprinted by permission from McMillan Publishers Ltd.: Nature Publishing Group, Folding DNA to create nanoscale shapes and patterns, P. Rothmunde, *Nature* 2006, **440**, 297.)

# DNA Nanotechnology



**Figure 2 | DNA origami shapes.** Top row, folding paths. **a**, square; **b**, rectangle; **c**, star; **d**, disk with three holes; **e**, triangle with rectangular domains; **f**, sharp triangle with trapezoidal domains and bridges between them (red lines in inset). Dangling curves and loops represent unfolded sequence. Second row from top, diagrams showing the bend of helices at crossovers (where helices touch) and away from crossovers (where helices bend apart). Colour indicates the base-pair index along the folding path; red

is the 1st base, purple the 7,000th. Bottom two rows, AFM images. White lines and arrows indicate blunt-end stacking. White brackets in **a** mark the height of an unstretched square and that of a square stretched vertically (by a factor  $>1.5$ ) into an hourglass. White features in **f** are hairpins; the triangle is labelled as in Fig. 3k but lies face down. All images and panels without scale bars are the same size, 165 nm  $\times$  165 nm. Scale bars for lower AFM images: **b**, 1  $\mu$ m; **c–f**, 100 nm.



# Partikuläre Nanostrukturen

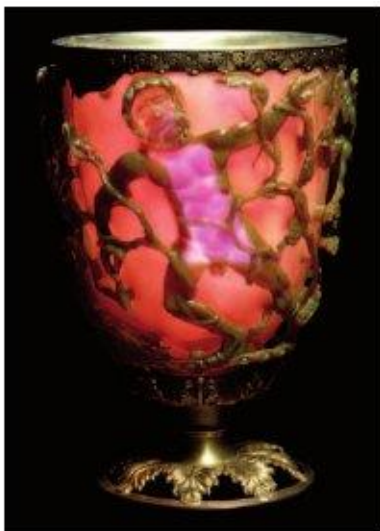


Abb. 2 Der „Lycurgus-Kelch“ aus dem 4. Jahrhundert erscheint im reflektierten Licht grün. Wird er jedoch von innen beleuchtet, dann erstrahlt er in einem satten Rot.



Abb.1 Je nach der Größe der sphärischen Gold-Cluster im Lösungsmittel variiert der Farbeindruck.



Eines der farbenprächtigen Fenster der St. Nicolai-Kirche in Kalkar. Bei seinen Entwürfen ließ sich der Künstler Karl-Martin-Hartmann von physikalischen Motiven inspirieren.<sup>1</sup>

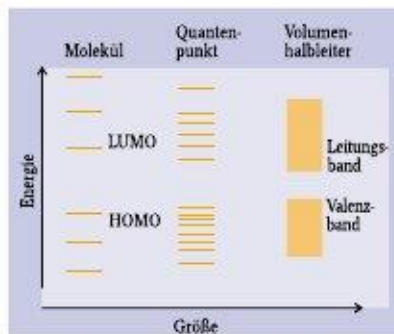
# Partikuläre Nanostrukturen



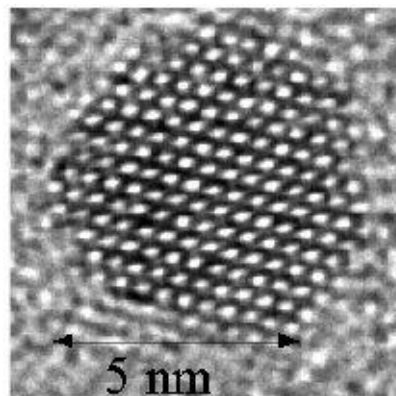
**Abb. 1:**  
Unterschiedlich  
große CdSe-Nano-  
partikel in Lösung  
lassen sich mit  
UV-Licht zur Emis-  
sion in den ver-  
schiedensten  
Farben anregen.



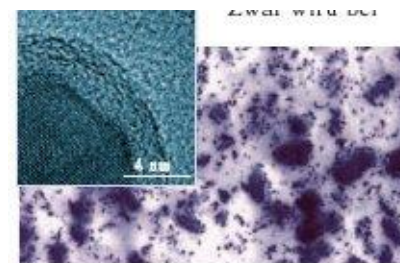
Physik Journal 3 (2004) 118



**Abb. 2:**  
Das Energiespektrum eines Quanten-  
punkts (Mitte) liegt zwischen dem eines  
Moleküls (links) und dem eines Festkör-  
pers (rechts). Die Energiezustände sind  
diskret und man spricht vom niedrigsten  
unbesetzten bzw. höchsten besetzten  
Molekül-Orbital (LUMO bzw. HOMO)



**Abb. 3:**  
Durch nasschemische Verfahren lassen  
sich Halbleiter-Nanopartikel in Gramm-  
Mengen herstellen. Die Elektronenmikro-  
skop-Aufnahme zeigt einen 6nm großen,  
einkristallinen CdSe-Nanokristall mit  
einer facettierten Oberfläche.

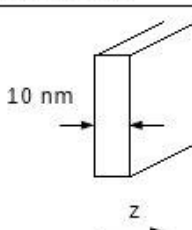


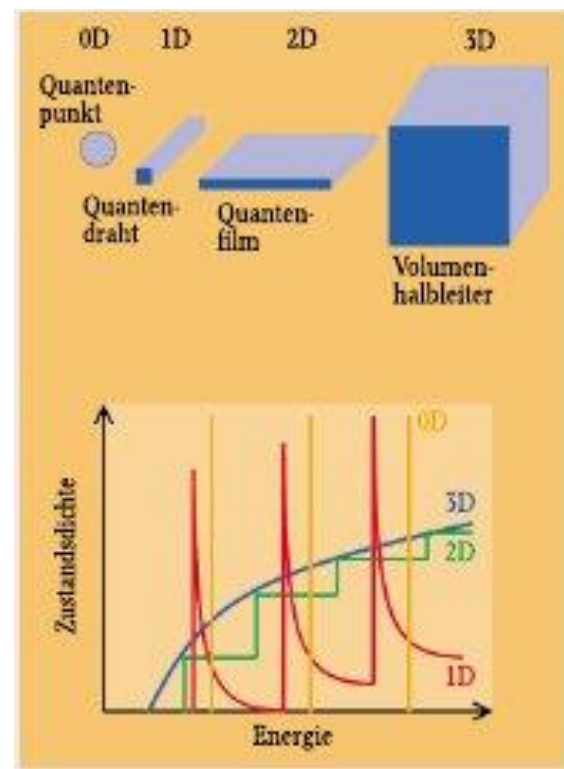
TEM-Aufnahme von kristallinen  $\text{TiO}_2$ -  
Teilchen (dunkel) mit einem Diketopyrro-  
lopyrrol-Pigment (hell, größer) in einem  
Bindemittel. In höherer Vergrößerung  
(Inset) lässt sich sogar die Kristallstruktur  
und die Beschichtung eines  $\text{TiO}_2$ -Nano-  
partikel erkennen. (Foto: Sachtleben)

Physik Journal 3 (2004) 118

## Festkörper in reduzierter Dimension

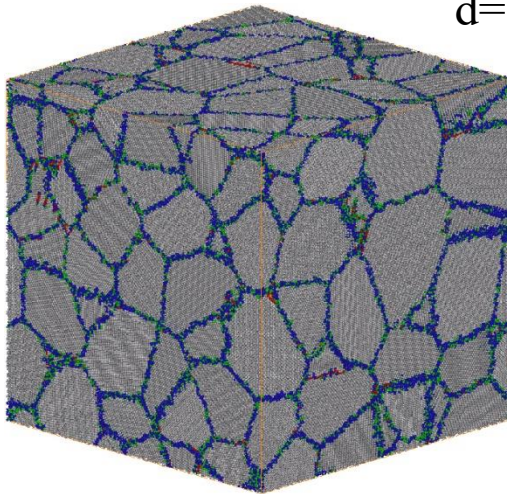
	$d = 3$	$d = 2$	$d = 1$	$d = 0$
$\epsilon(\vec{k}) =$	$\frac{\hbar^2(k_x^2 + k_y^2 + k_z^2)}{2m^*}$	$\frac{\hbar^2(k_x^2 + k_y^2)}{2m^*} + E_m$	$\frac{\hbar^2 k_x^2}{2m^*} + E_m + E_n$	$E_m + E_n + E_i$
		„Quantenfilm“	„Quantendraht“	„Quantenpunkt“

	Metall	2-dimensionales Elektronengas (z.B. GaAs)	Quantenpunkt (z.B. GaAs) „künstliches Atom“	Atom
Ausdehnung	$1 \text{ cm}^3$	 $10 \text{ nm}$	$(10 \text{ nm})^3$	$0.1 \text{ nm}$
charakteristische Wellenlänge	$\lambda_F \sim 0.5 \text{ nm}$	$\lambda_F \sim 10\text{-}50 \text{ nm}$	$a^* = 10 \text{ nm}$	$a_B = 0.05 \text{ nm}$
Energieskala	$\varepsilon_F \sim 5 \text{ eV}$	$\varepsilon_F \sim \text{meV}$	$\Delta\varepsilon \sim \text{meV}$	$\Delta\varepsilon \sim 10 \text{ eV}$
Anregungsenergie	$10^{-10} \text{ eV}$	$\sim \text{meV}$ z-Quantisierung	$\sim \text{meV}$	$\sim 10 \text{ eV}$



## Nanokristalline Materialien

$d=10\text{nm}$

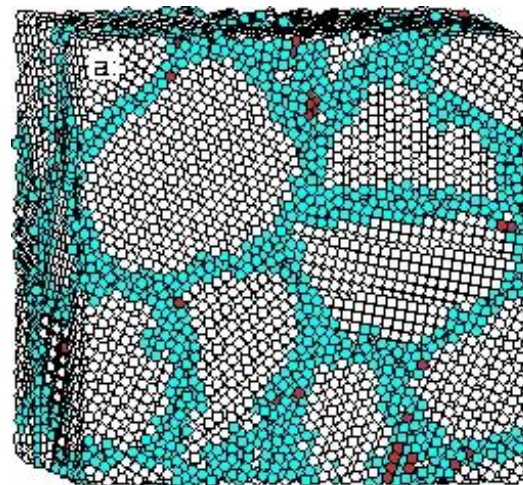


blau/cyan: Atome an Korngrenzen

grau: Atome im Volumen (fcc)

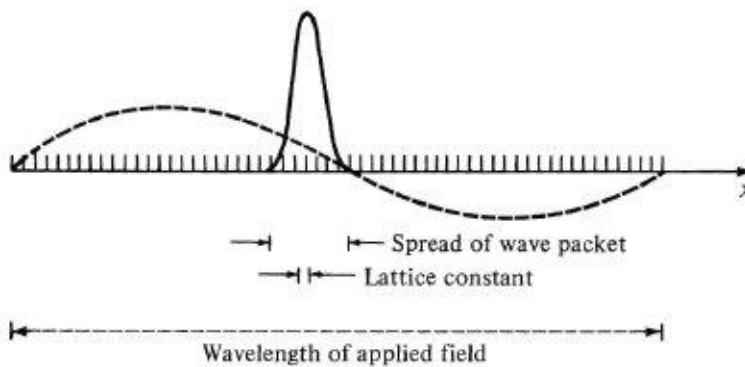
rot: Atome in Stapelfehlern (hcp)

$d=5.2\text{nm}$

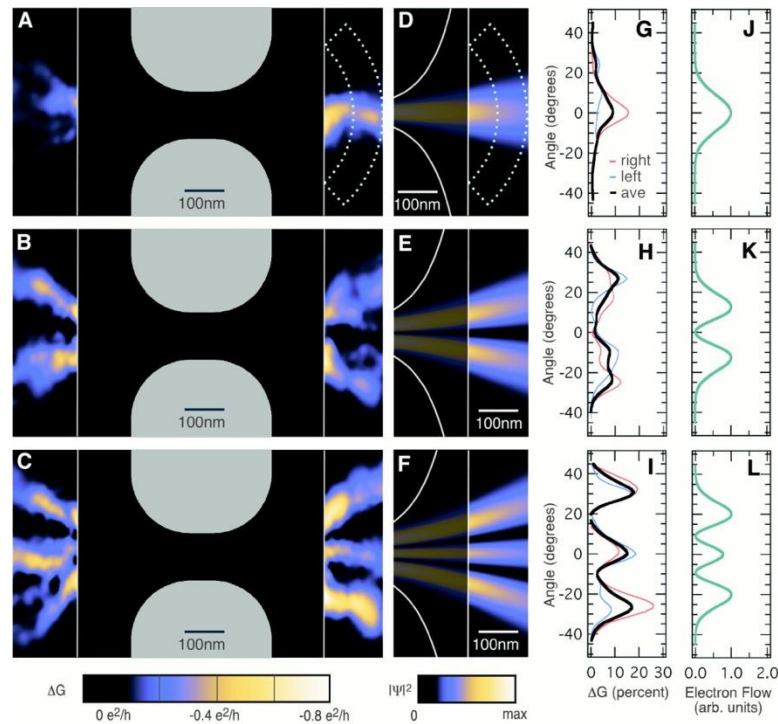
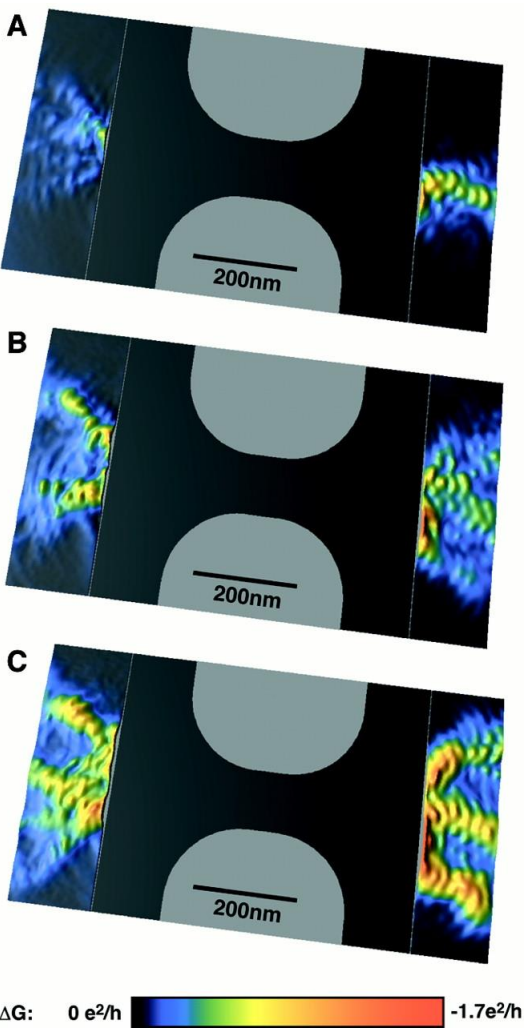
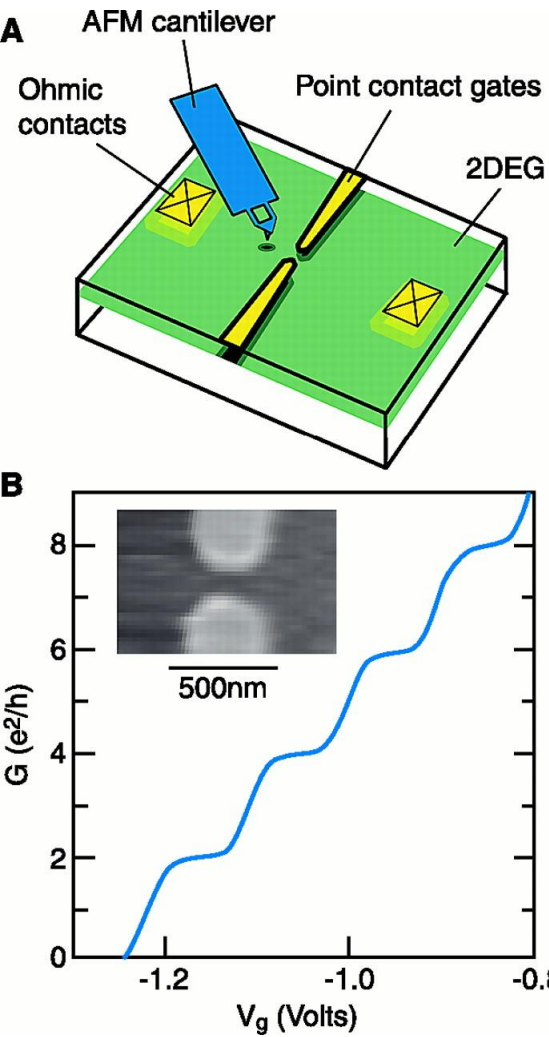


	bulk Ni	n-Ni $d=100\text{nm}$	n-Ni $d=10\text{nm}$
Fließfestigkeit/ Streckfestigkeit [MPa]	103	690	>900
Bruchfestigkeit [MPa]	403	1100	>2000
Vickers Härte [ $\text{kg}/\text{mm}^2$ ]	140	300	650

## Elektronischer Transport im ausgedehnten Festkörper: semiklass. Beschreibung

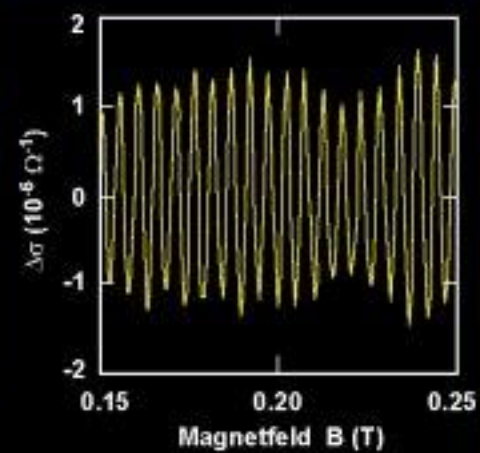
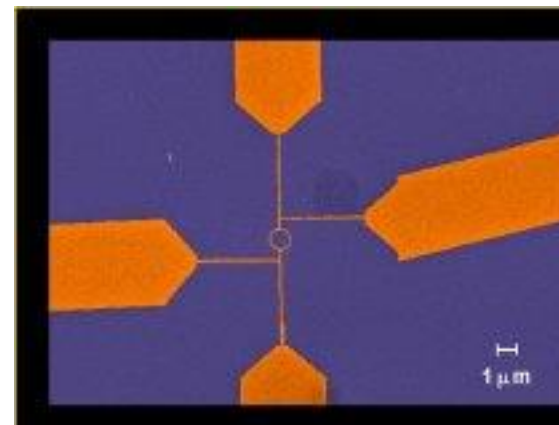
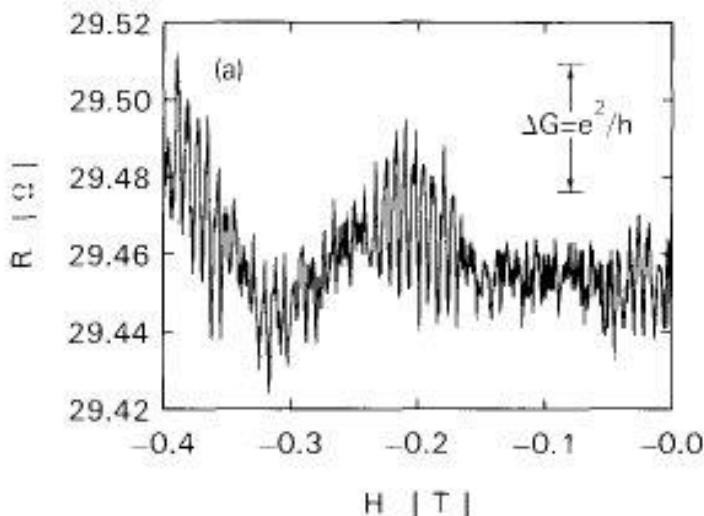


# Leitwertquantisierung



Quelle: Topinka et al. Science 289, 2323 (2000)

# Aharonov-Bohm-Effekt



Quelle: R. Häussler, Dissertation Karlsruhe

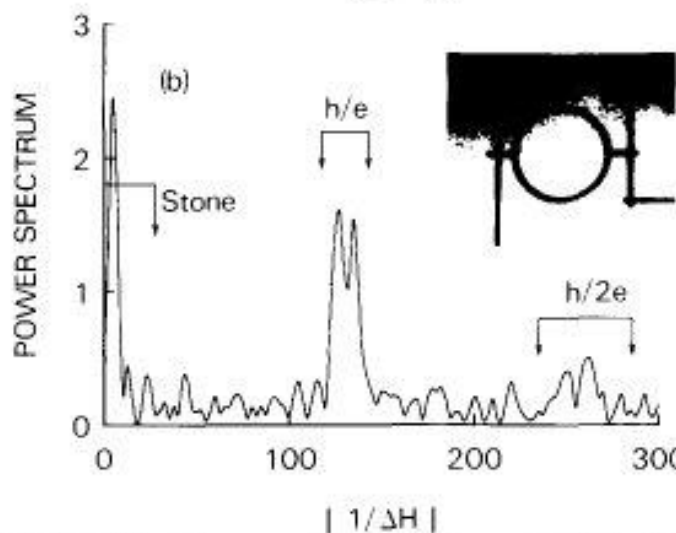
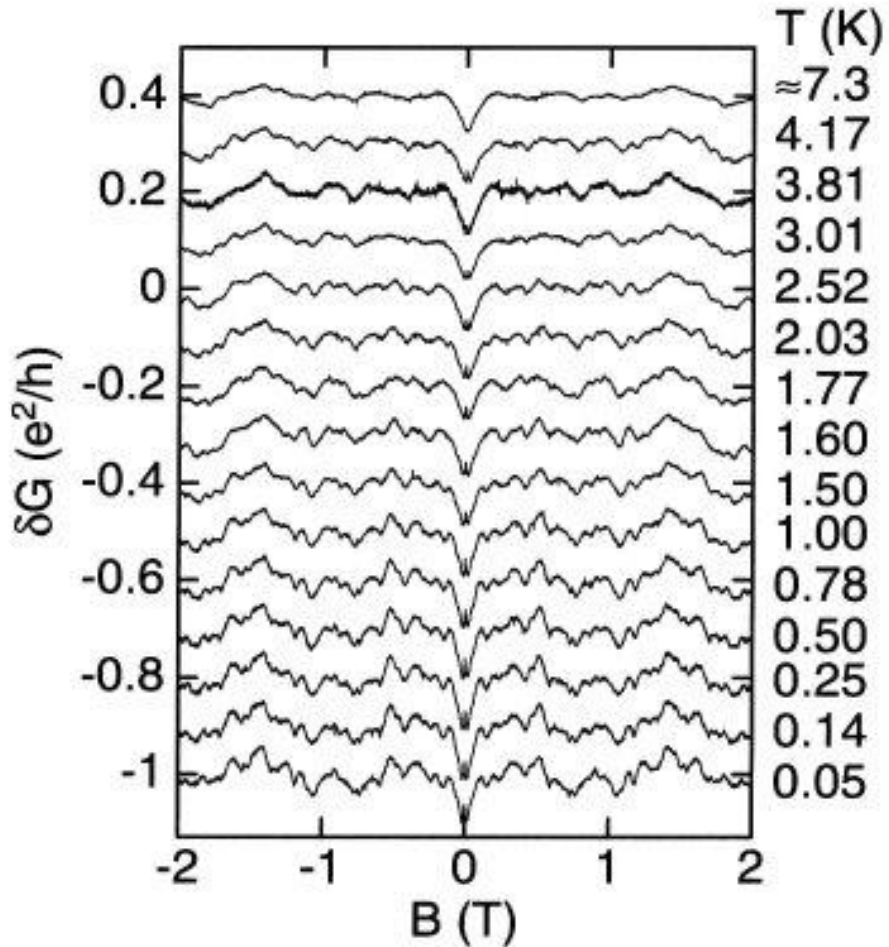


Fig. 1. (a) Resistance as a function of magnetic field obtained at 60 mK for an Au ring 0.825  $\mu\text{m}$  average diameter and 0.041  $\mu\text{m}$  line width. Arrows indicate the conductance scale in units of  $e^2/h$ . (b) Fourier transform of the data displayed above with arrows indicating the expected frequency range for  $h/e$  and  $h/2e$  oscillations as well as the scale for the aperiodic background fluctuations predicted by Stone for this ring. The inset is an electron micrograph of this ring.

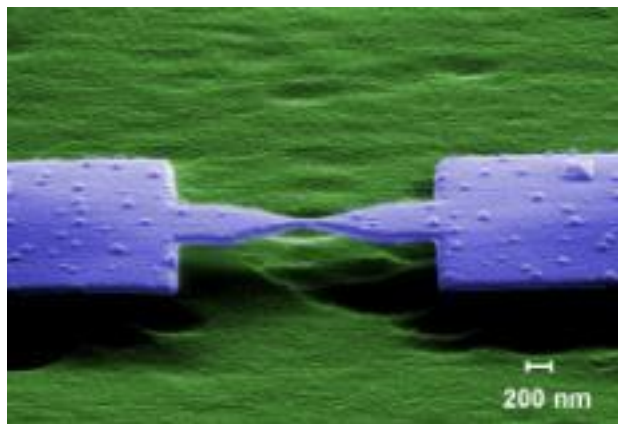
Quelle: Webb et al. JMMM, 54, 1423 (1986).

## Schwache Lokalisierung und Universelle Leitwertfluktuationen (UCF)

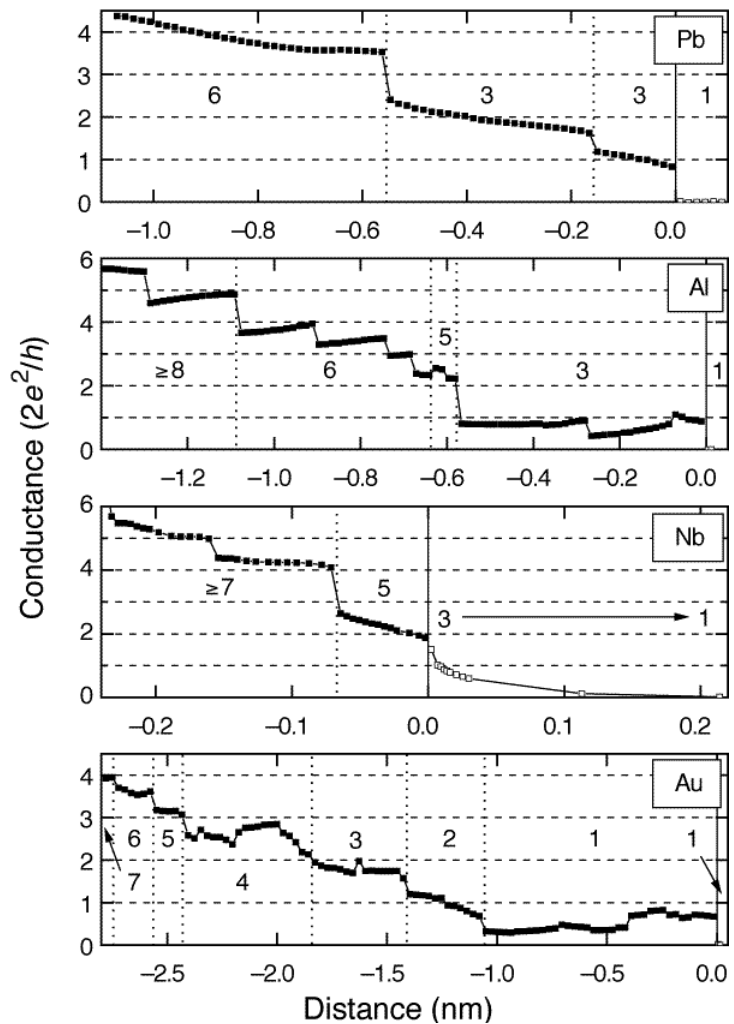


Quelle: E. Scheer, Dissertation Karlsruhe

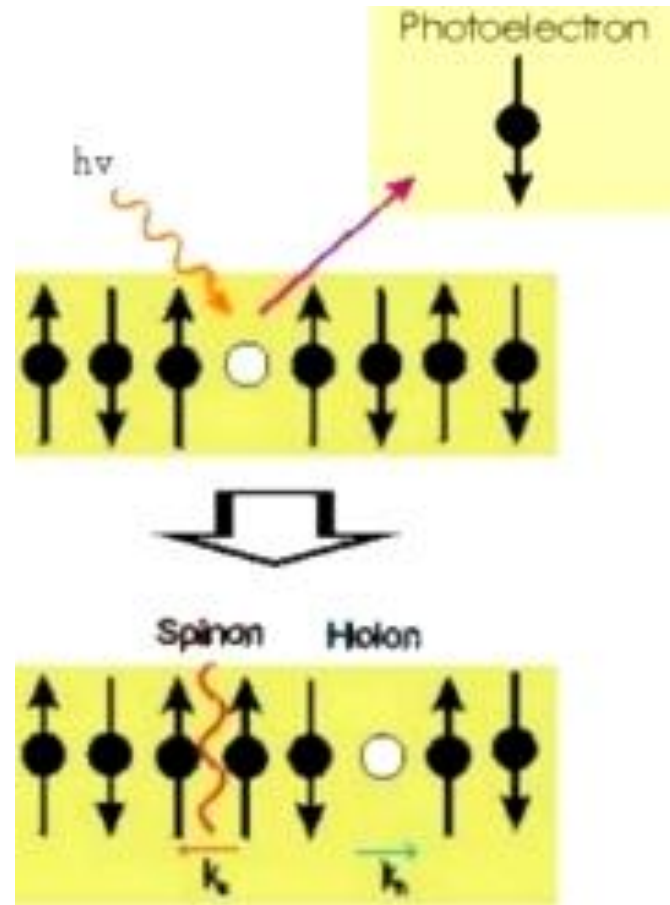
Leitwertstufen : Leitwert wird durch Transportkanäle bestimmt



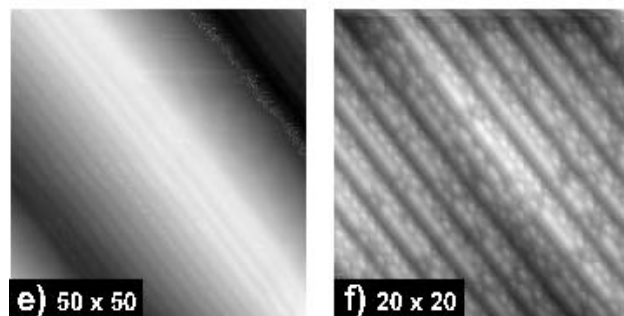
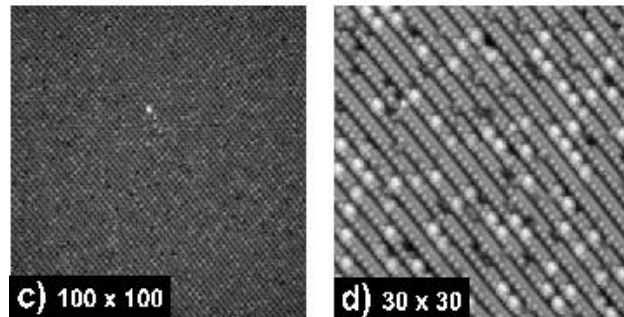
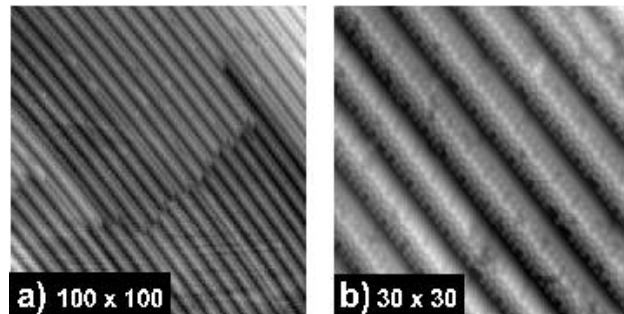
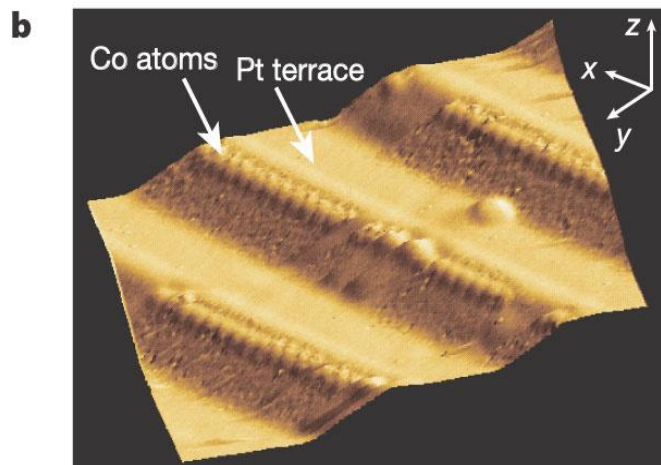
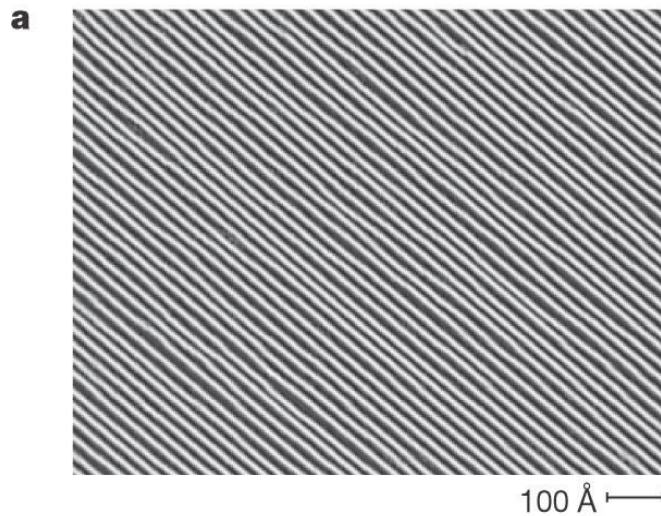
Quelle: Scheer et al. Nature 394, 154(1998).



## Spin-Ladungs-Entkopplung in 1D antiferromagnetischer Kette



## Eindimensionale monoatomare Metallketten

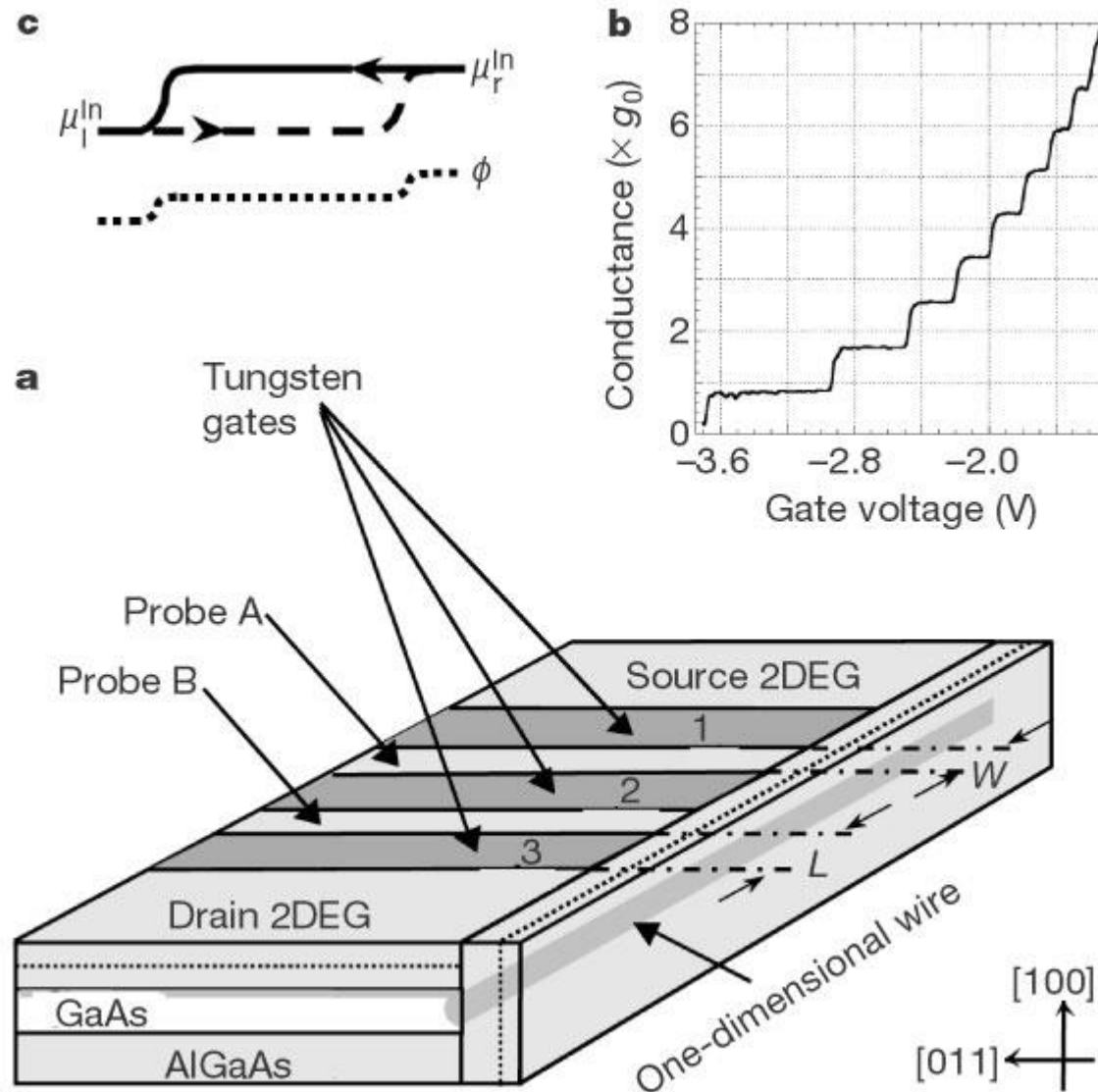


Co auf vicinalem Pt (111)

Au auf vicinalem Si (111)

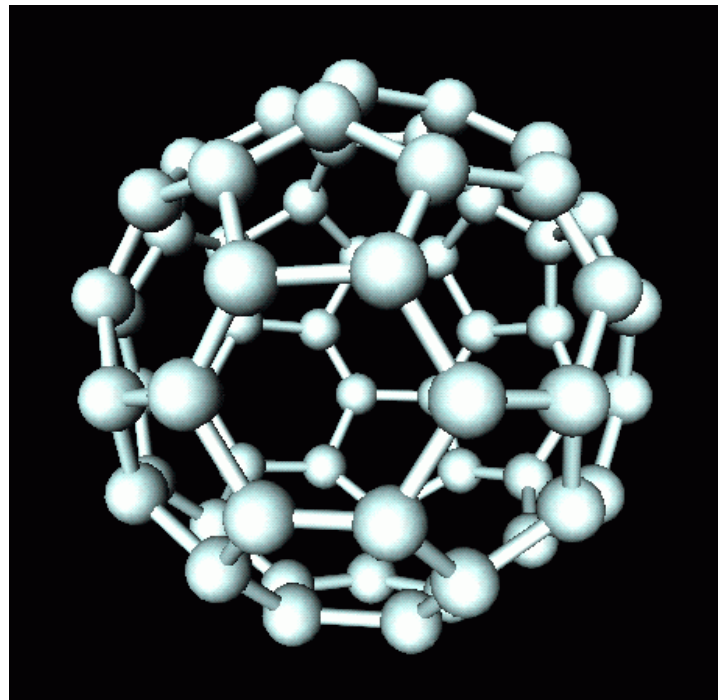
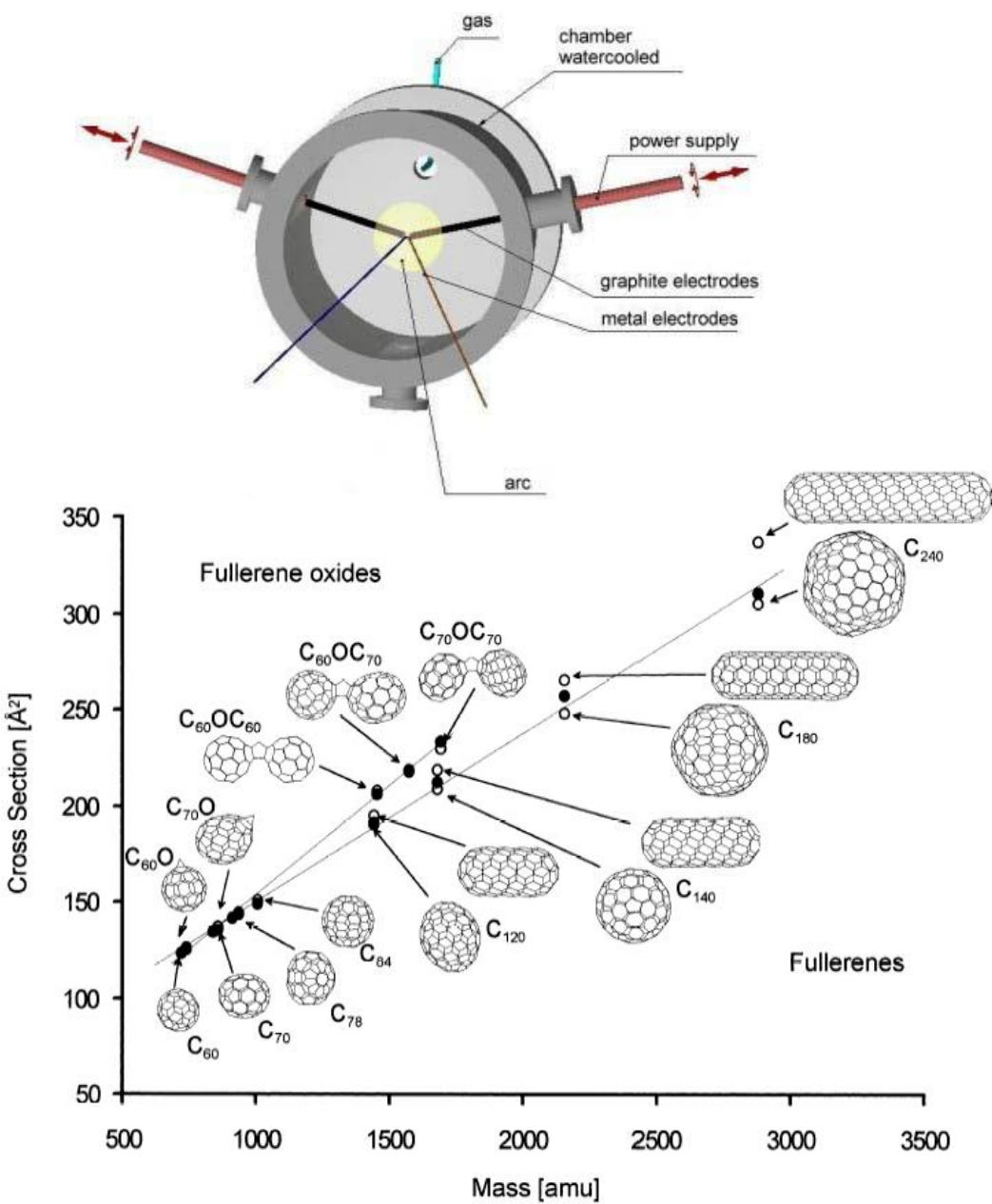
Quelle: Gambardella et al. Nature 416, 301 (2002).

## Eindimensionale Halbleiter-Strukturen hergestellt durch “Cleaved-Edge-Overgrowth”

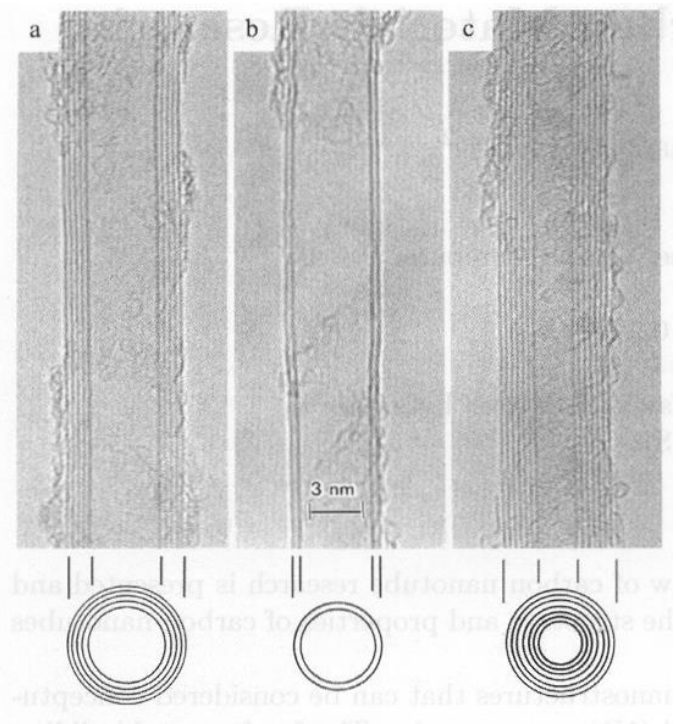
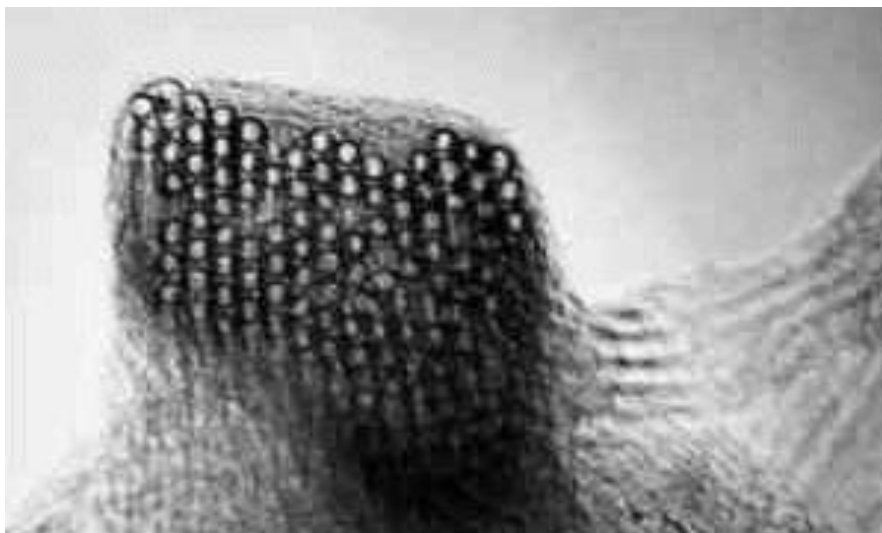


Quelle: Picciotto et al. Nature 411, 51 (2001).

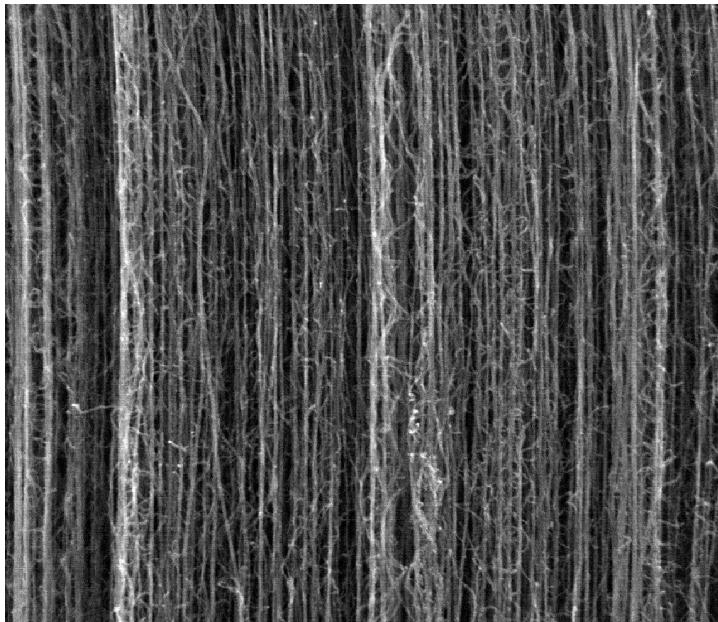
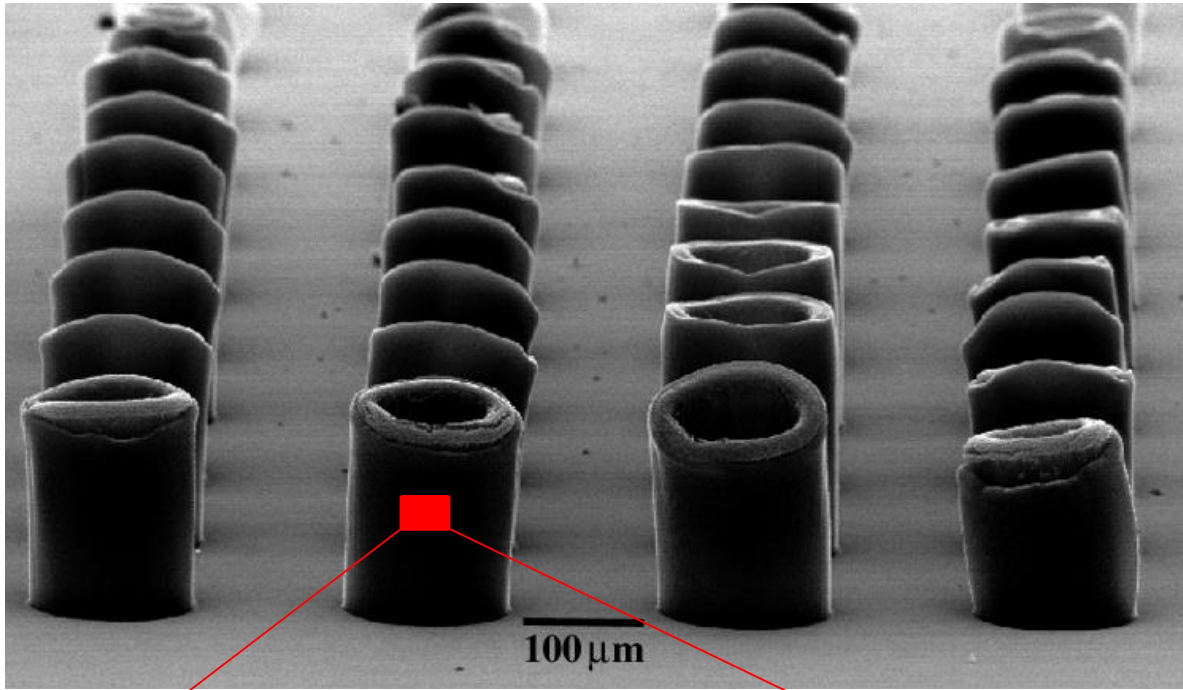
# Fullerene



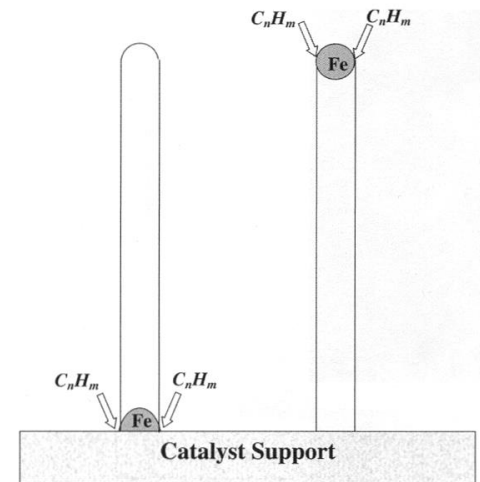
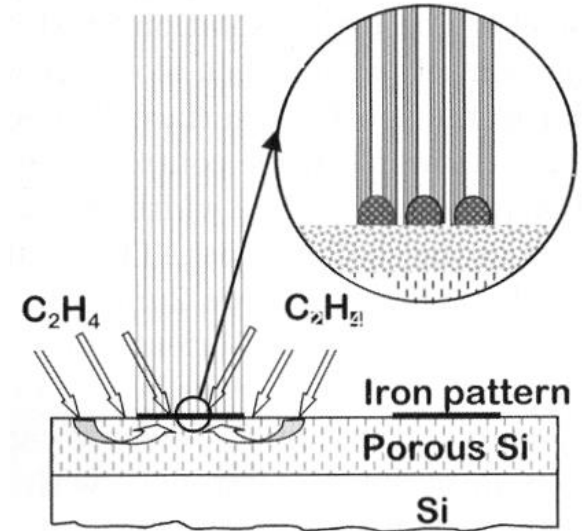
## Kohlenstoff- Nanoröhren

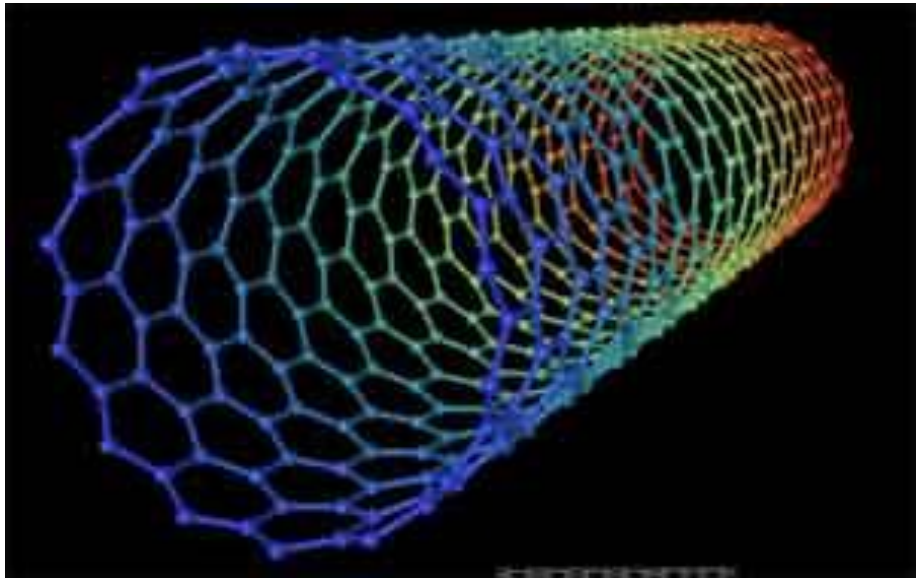


Quelle: Thess et al. Science 273, 483 (1996).

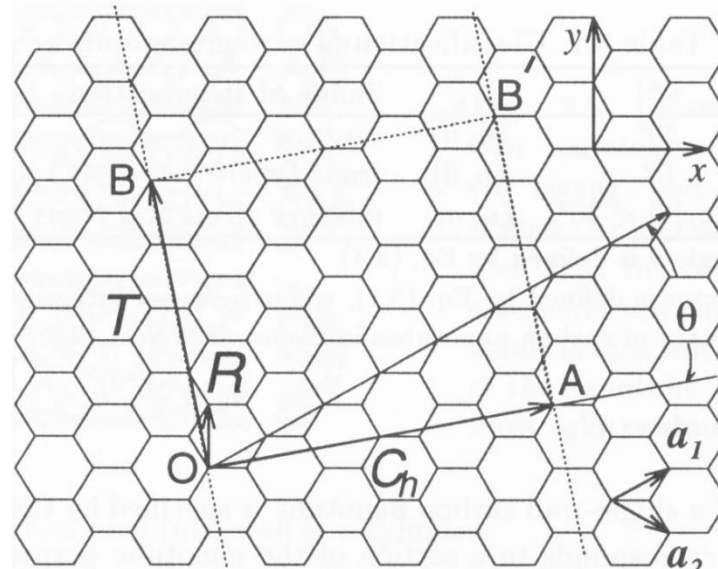


## Herstellung von Kohlenstoff- Nanoröhren



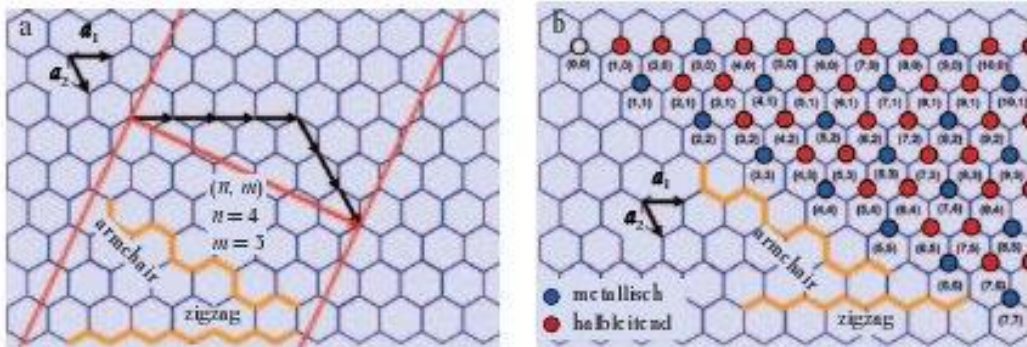


## Geometrische Struktur von Kohlenstoff-Nanoröhren



$$\text{Aufrollvektor } (n,m): C_h = n\mathbf{a}_1 + m\mathbf{a}_2$$

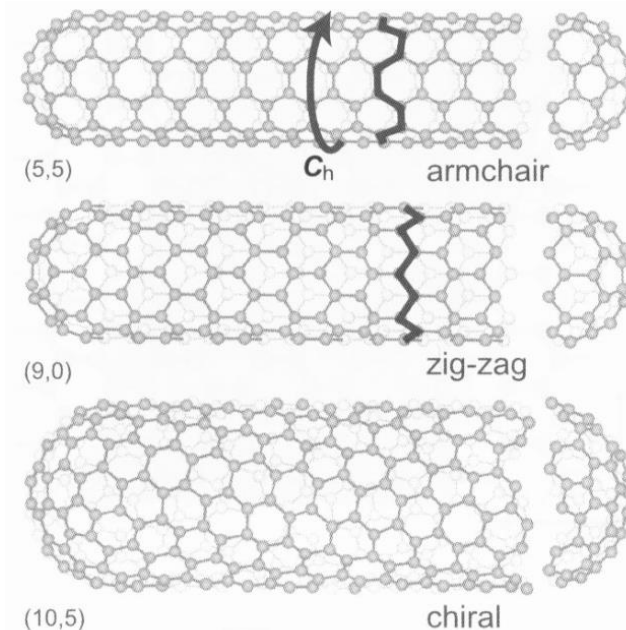
W. Hönlein, F. Kreipl, Physik Journal 3, 39 (2004)



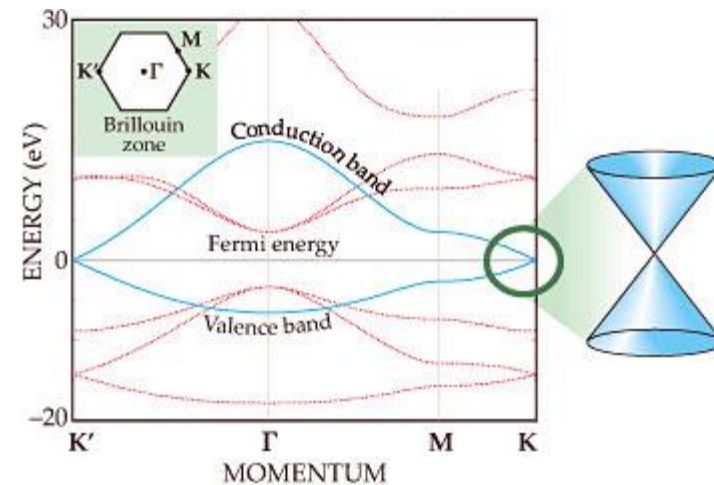
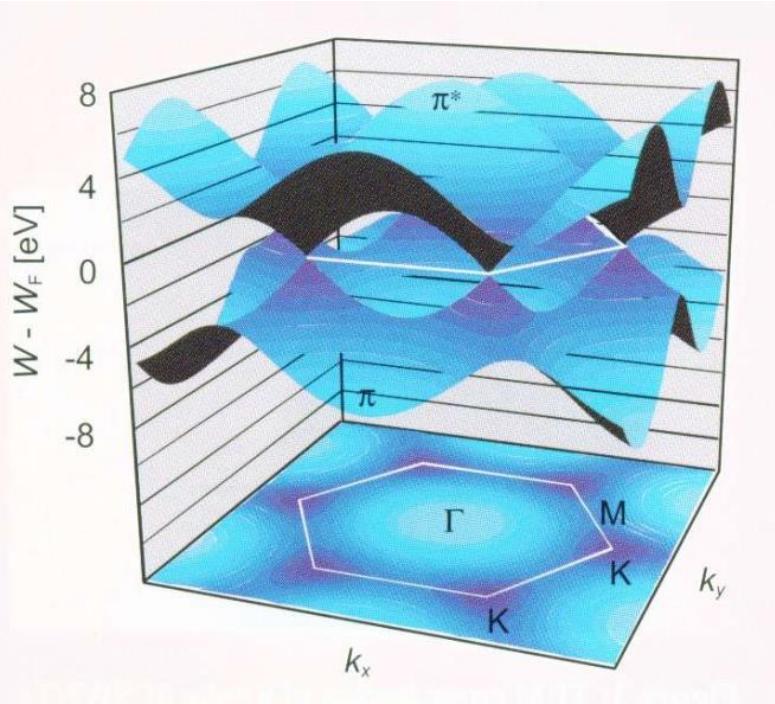
**Abb. 2:**

Der Aufrollvektor  $(n,m)$  der Nanoröhren ist über die Basisvektoren  $\mathbf{a}_1$  und  $\mathbf{a}_2$  des Grafitgitters definiert. Je nach Kon-

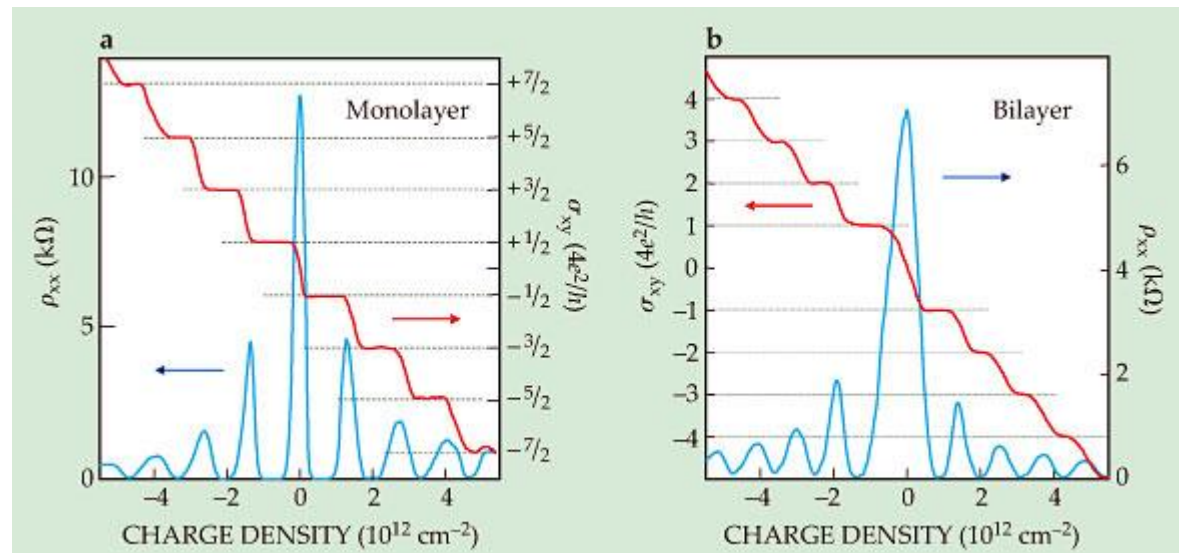
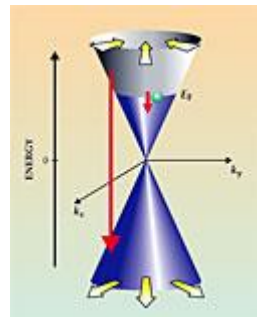
figuration können die Röhren metallisch oder halbleitend sein (b, vgl. Text).



## 2D Dispersionsrelation von Graphen

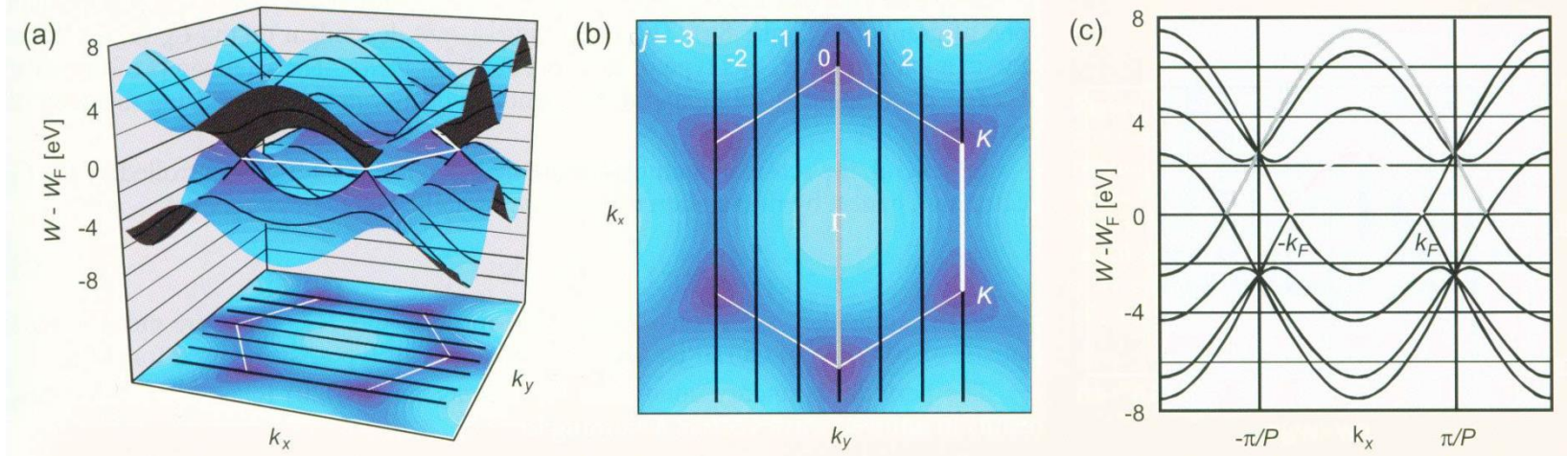


A. Geim, A.H. MacDonald  
Phys. Today **60**, 35 (2007)

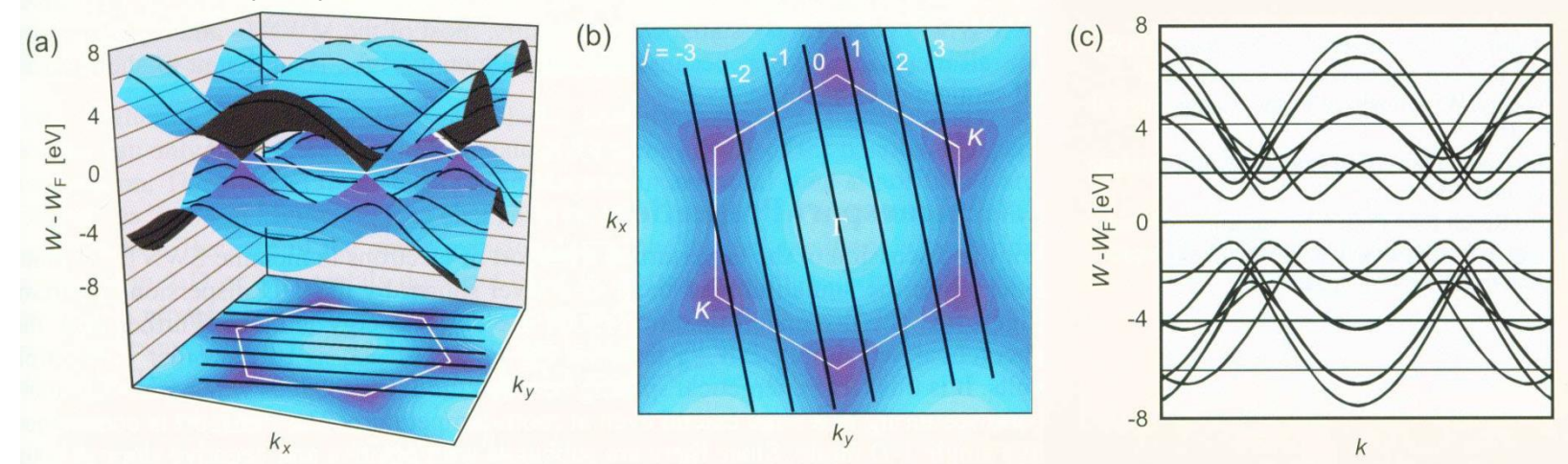


## 2D-Dispersionsrelation von Kohlenstoff-Nanoröhren

metallisch: (3,3) CNT

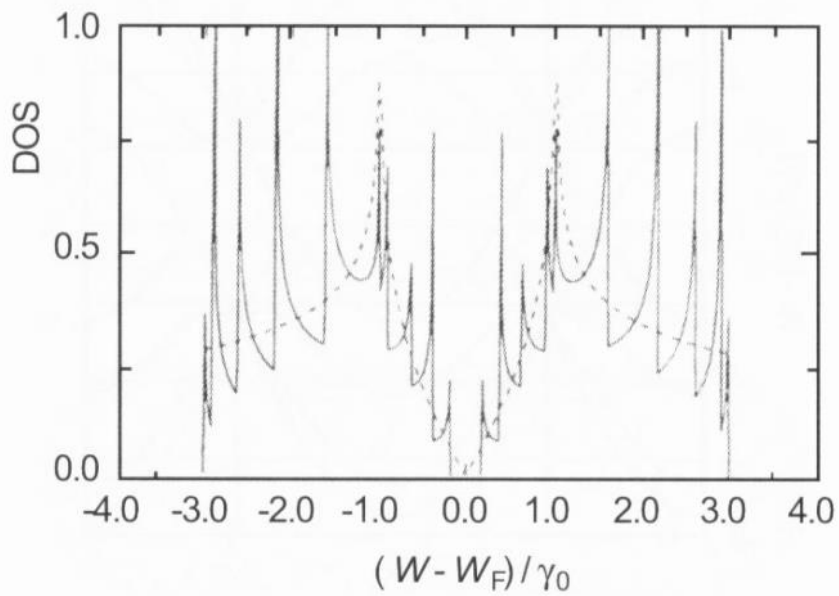


halbleitend: (4,2) CNT

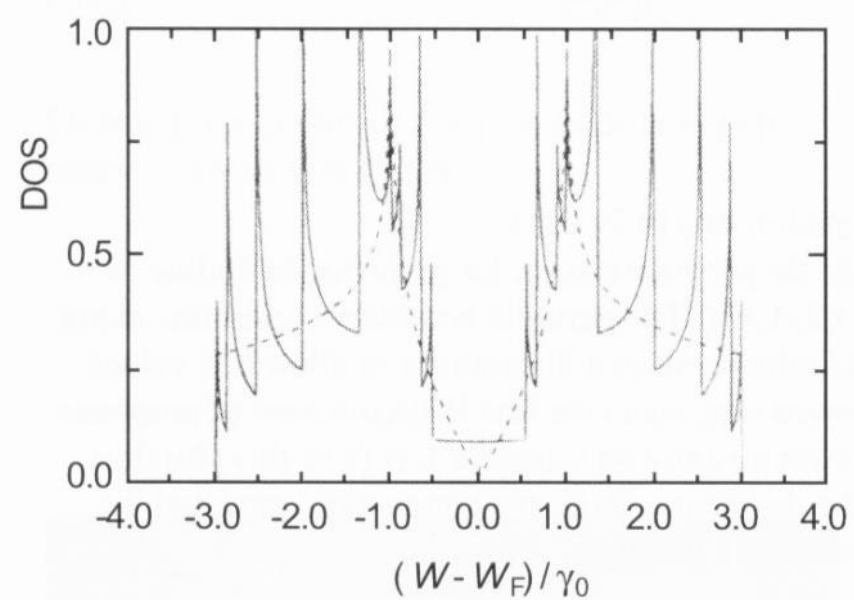


## 2D-Zustandsdichte von Kohlenstoff-Nanoröhren

halbleitend



metallisch

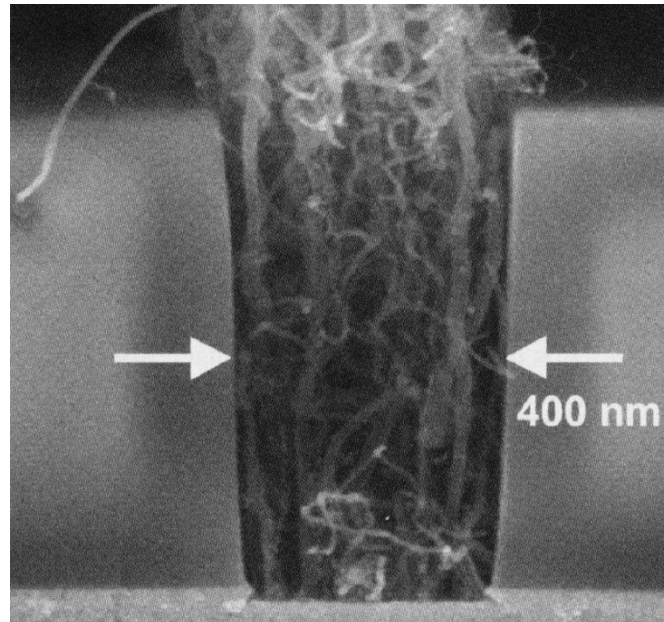


# Damaszenerstahl mit Kohlenstoff-Nanoröhren und Cementite $\text{Fe}_3\text{C}$ -Nanodrähten

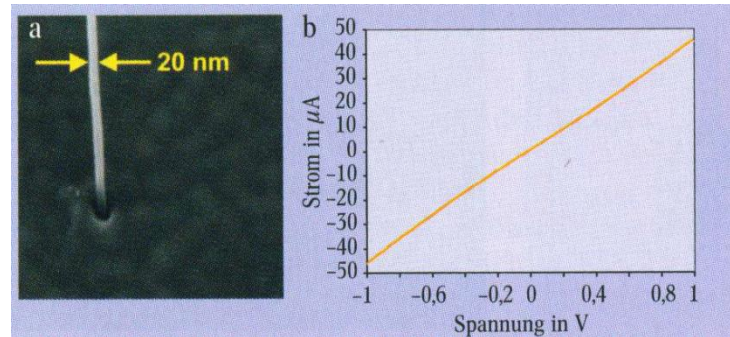


M. Reibold et al. Nature **444**, 286 (2006).

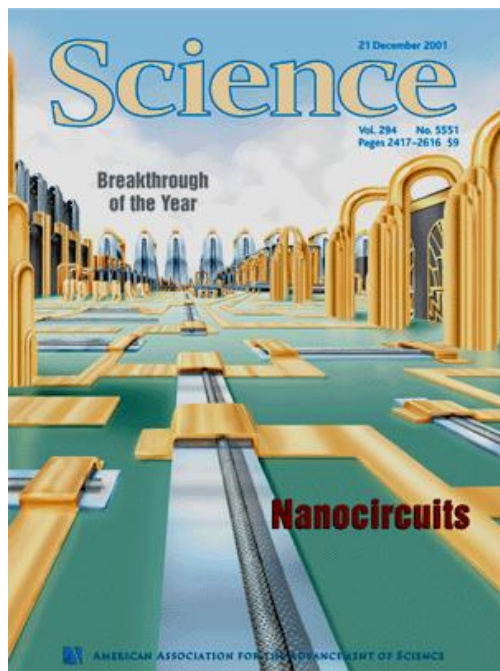
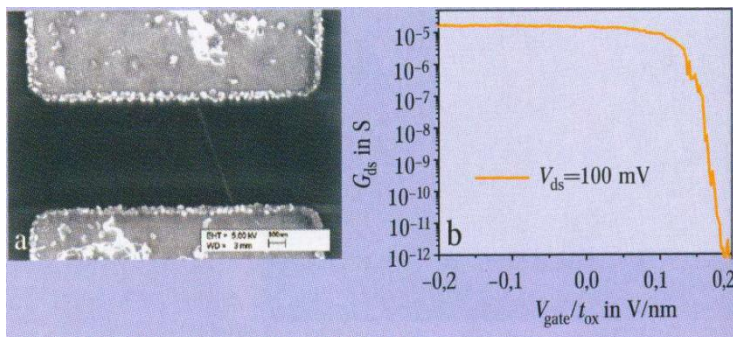
## Vertikale Verbindung zwischen zwei Leiterbahnen aus Bündeln von mehrwandigen CNT



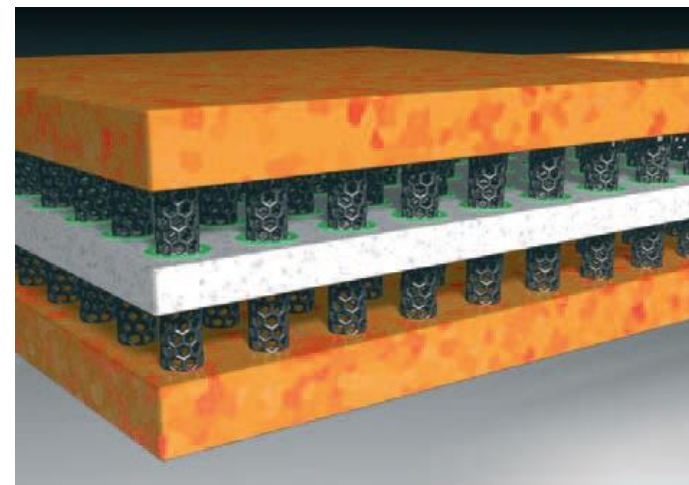
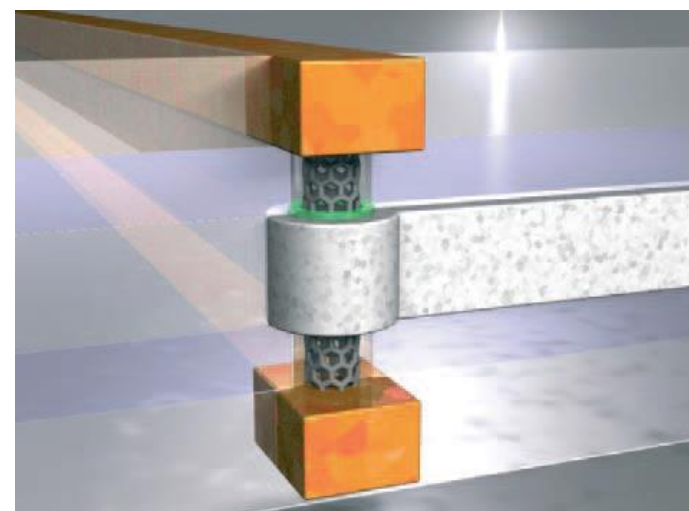
aus einzelnen mehrwandigen CNT



## Planarer Feldeffekttransistor

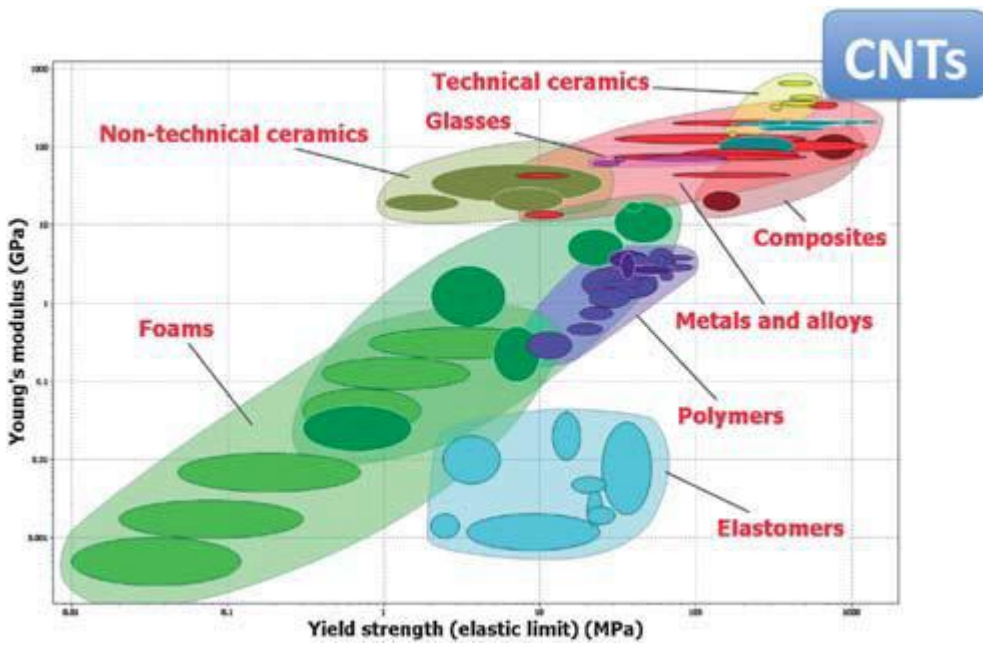


## Konzept eines vertikalen Feldeffekttransistor



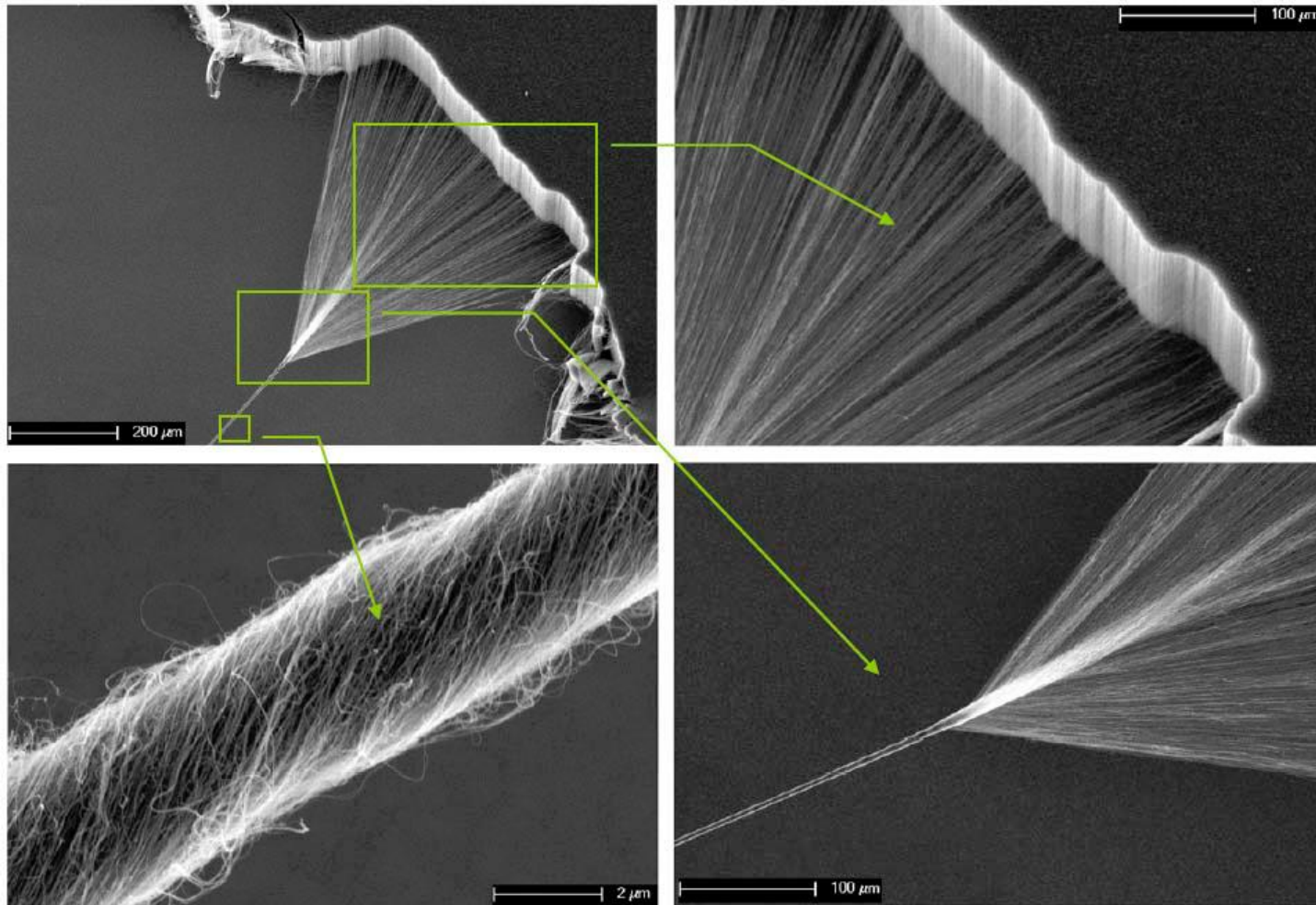
# Mechanische Eigenschaften von Kohlenstoff-Nanoröhrchen

Material	Young's Modulus (GPa)	Tensile Strength (GPa)	Electrical Resistivity ( $\Omega\text{m}$ )	Thermal conductivity (W/mK)	Density (g/cm <sup>3</sup> )
SWNT	1054	150	$10^{-6}$	1750 - 5800	1.3
SWNT bundle	1054	75	$0.1 \cdot 10^{-3}$	35	
MWNT	1200	150	$10^{-6}$	>3000	2.6
Diamond	1000	1.2	$1.0 \times 10^{12} - 1.0 \times 10^{14}$	1000 - 2600	
Steel	200	0.4	$12.0 \times 10^{-8} - 170 \times 10^{-8}$	43	7.8
Copper	110	0.413	$1.70 \times 10^{-8} - 2.65 \times 10^{-8}$	390	
Epoxy	3.5	0.005			1.25
Wood	16	0.008			0.6

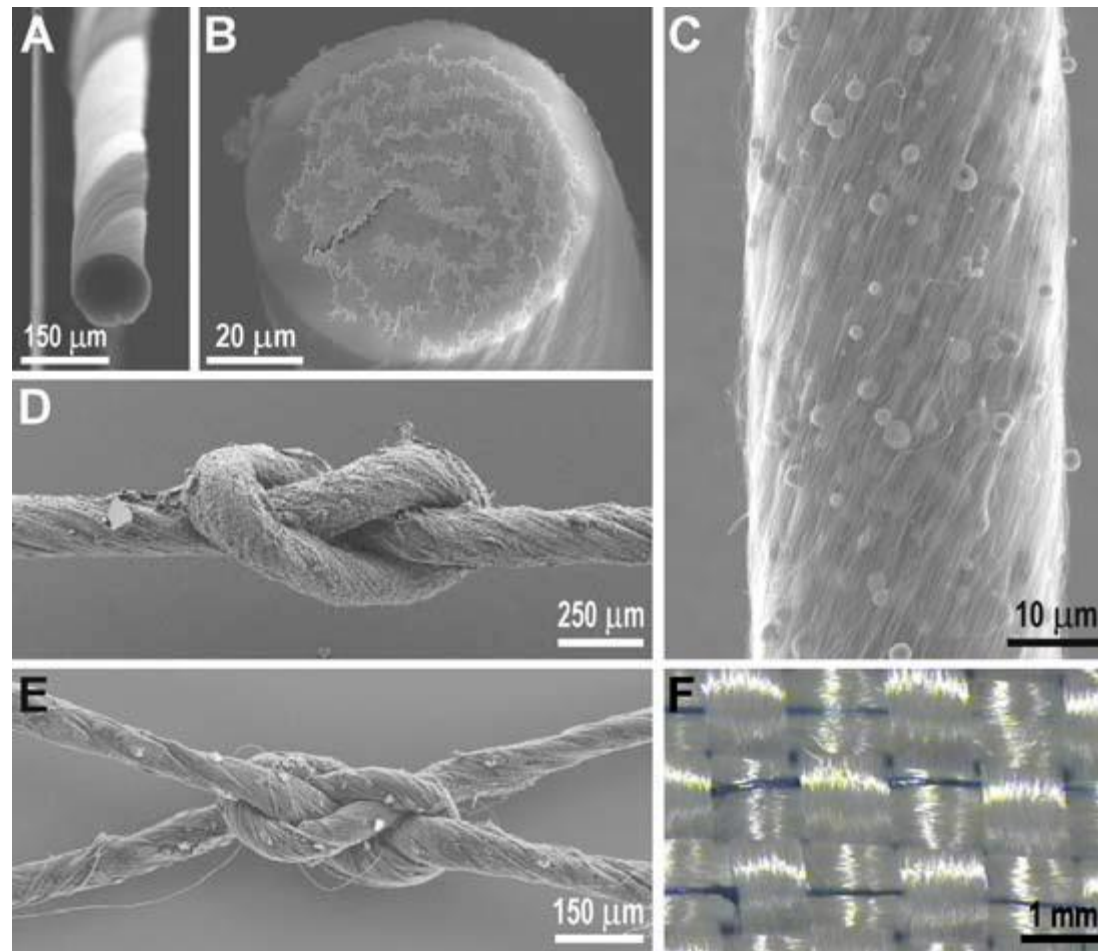


## Herstellung von Garnen aus Kohlenstoff-Nanoröhrchen

Multifunctional Carbon Nanotube Yarns by Downsizing an Ancient Technology, M. Zhang, K. R. Atkinson, & R. H. Baughman, *Science*, **306**, 1358, 2004.

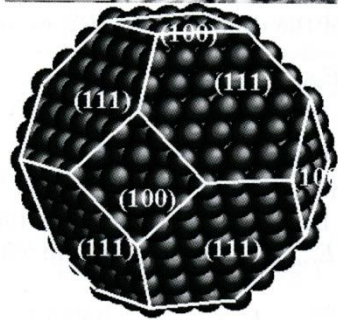
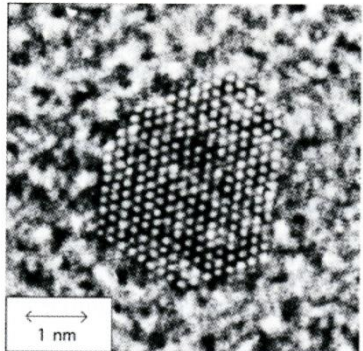


## Garne und funktionale Textilien aus Kohlenstoff-Nanoröhrchen

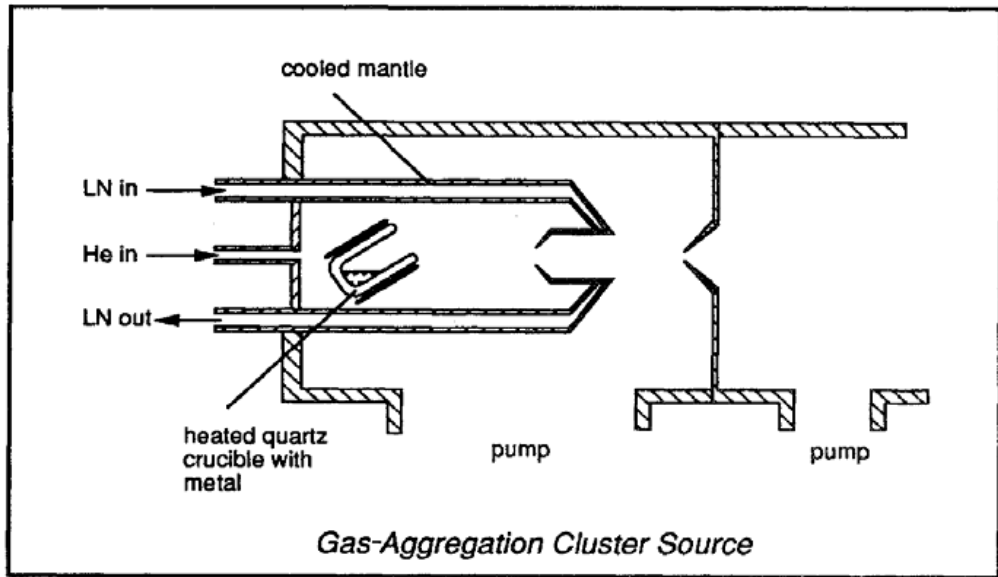


M.D. Lima et al., Science 331 (2011) 51

## Herstellung von Clustern aus der Gasphase



SEM-Bild eines cubo-oktaedrischen Co-Clusters



## Größenverteilung von Cluster

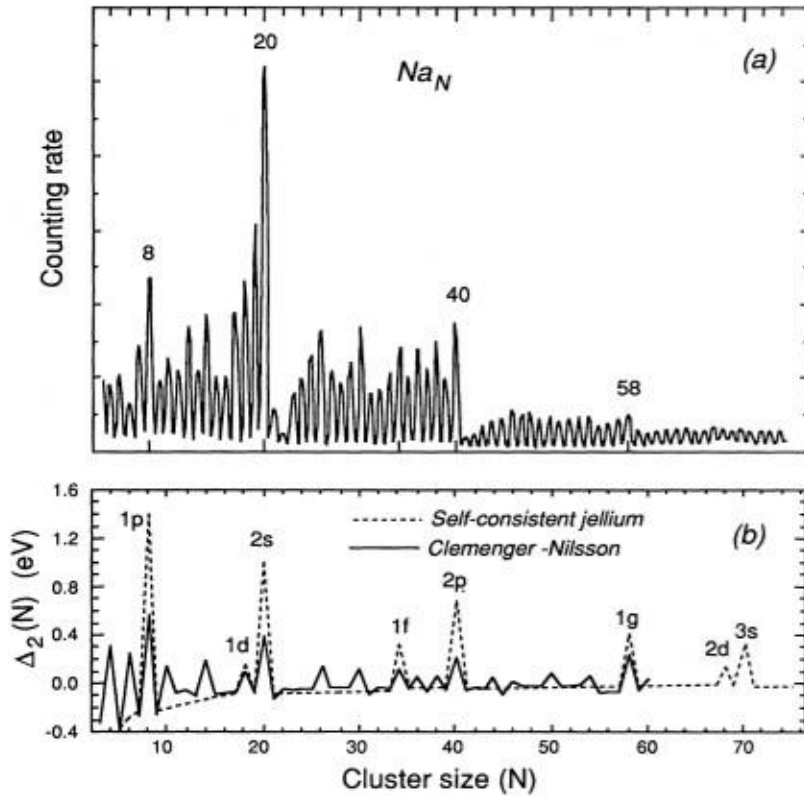
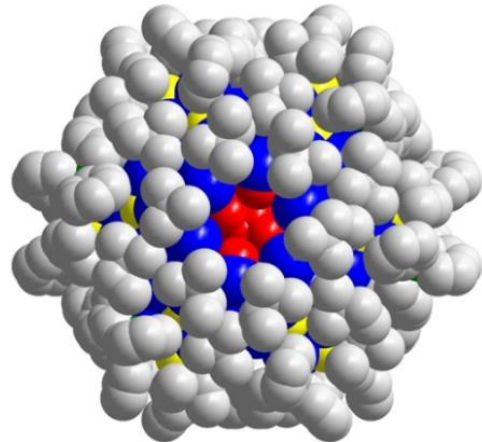


FIG. 1. Sodium cluster abundance spectrum:  
(a) experimental (after Knight *et al.*, 1984); (b) dashed line, using Woods-Saxon potential  
(after Knight *et al.*, 1984); solid line, using the  
ellipsoidal shell (Clemenger-Nilsson) model  
(after de Heer, Knight, Chou, and Cohen,  
1987).

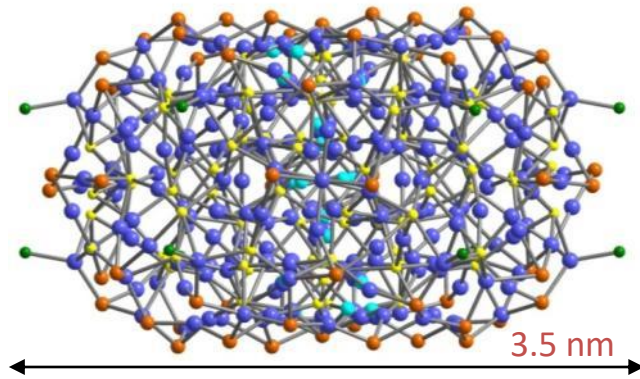
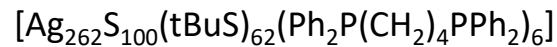
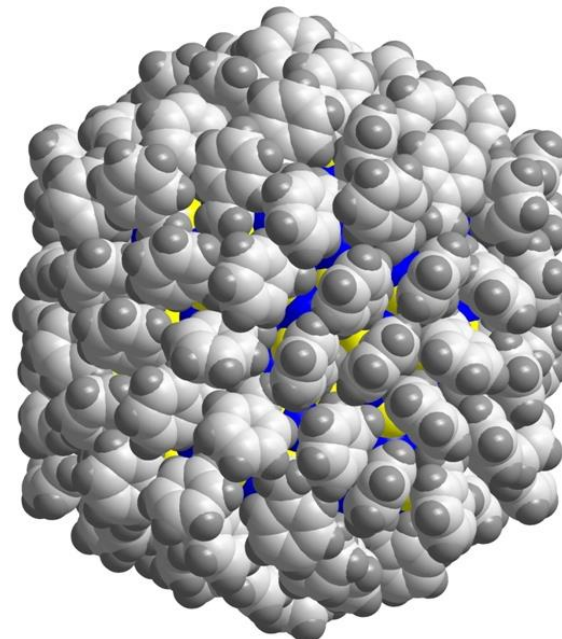
Heer et al. RMP 65, 611 (1993).

## Herstellung von Clustern durch Reduktion von Metallionen

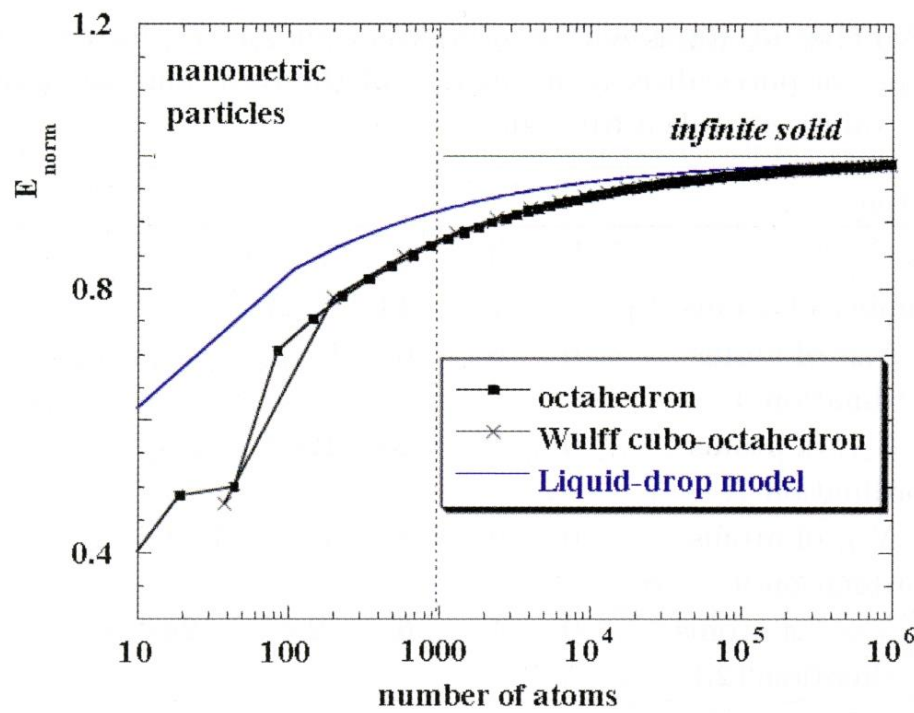
Space filling model of the molecular structure of  $[\text{Ag}_{168}\text{S}_{66}(\text{StC}_5\text{H}_{11})_{36}(\text{PP})_6]$  (PP: bidentate ligand).



Space filling model of the molecular structure of  $[\text{Ag}_{274}\text{S}_{80}(\text{SCH}_2\text{Ph})_{114}]$ , (Ag: blue; S: yellow; P: green; C: light grey; H: grey).

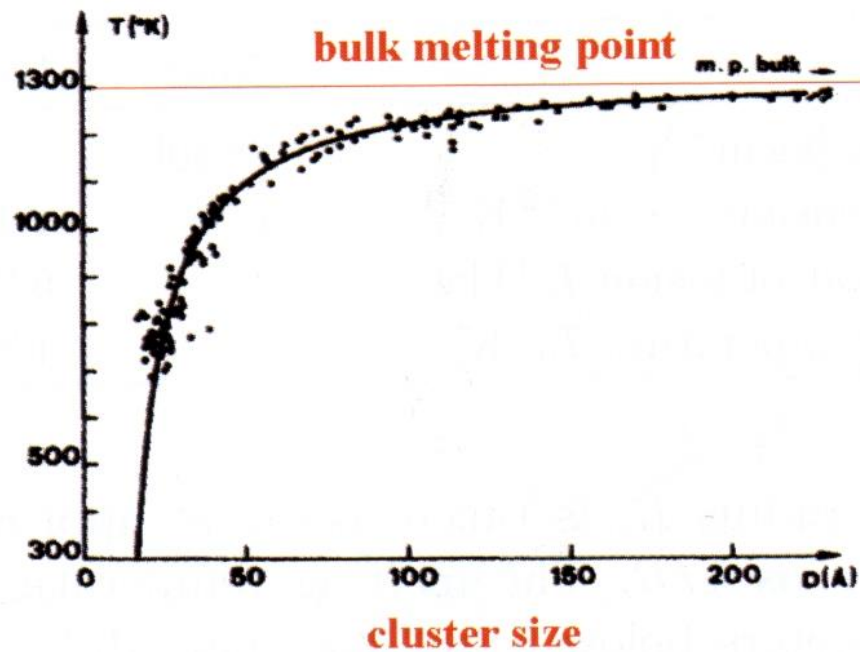


## Größenabhängigkeit der Bindungsenergie



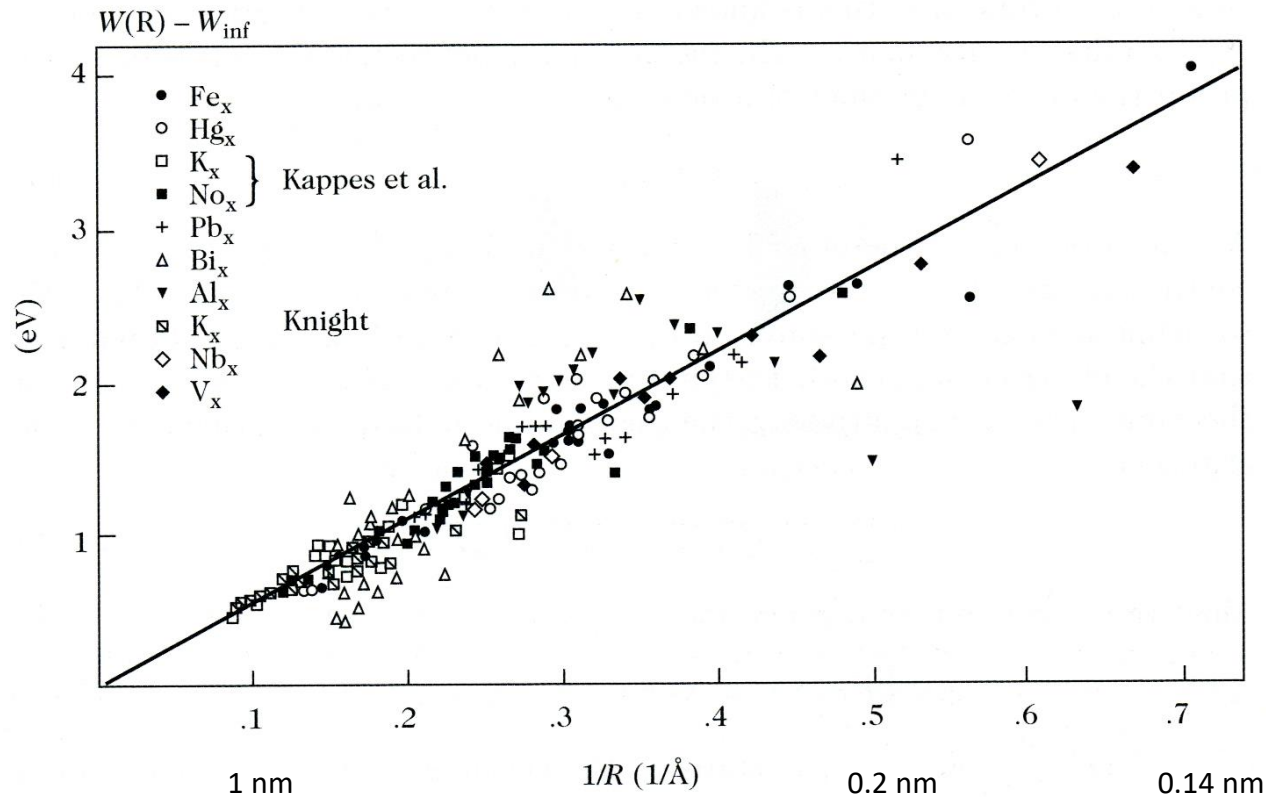
## Schmelztemperatur für Au-Cluster

temperature



## Größenabhängigkeit der Ionisationspotentials

$PI(R) - \Phi$  (eV)



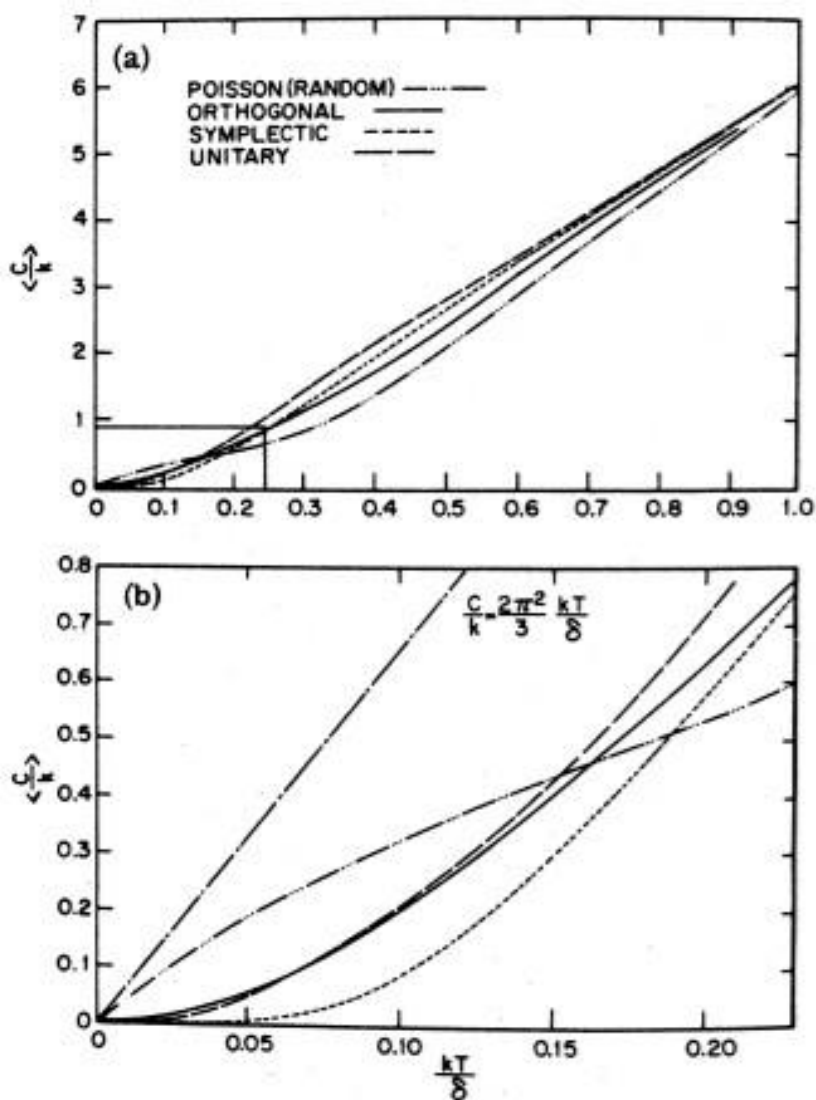


FIG. 3. The small-particle electronic heat capacity as a function of temperature, taken from Denton, Mühschlegel, and Scalapino (1973): (a) An average of the even and odd particle calculations; (b) the linear heat capacity for the continuum case, shown for comparison (dashed-dotted line). Note the displacement of the high-temperature asymptote by  $-k_B/2$  consistent with Eq. (2.29).

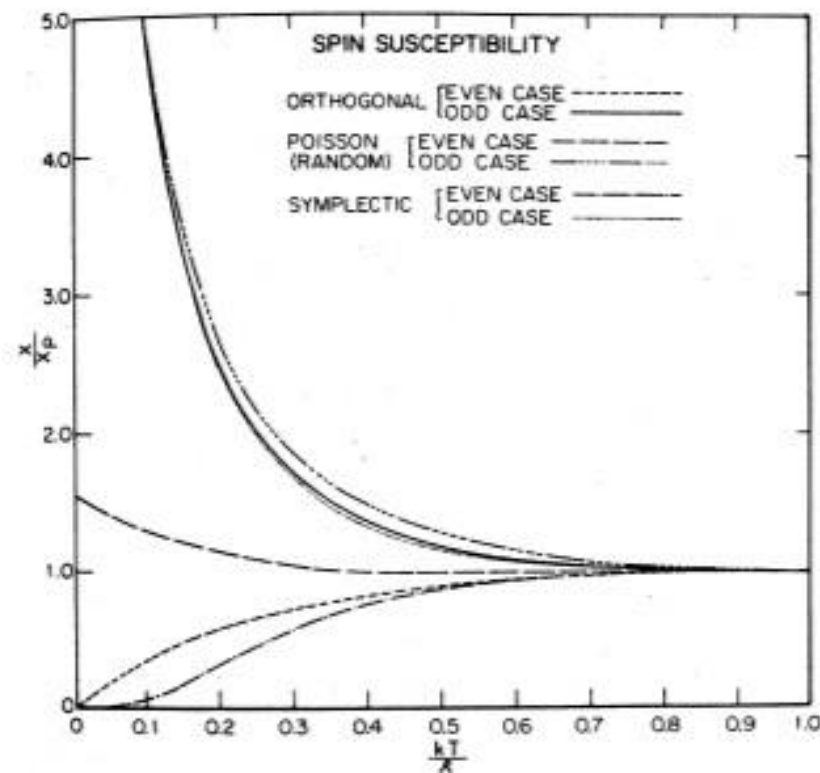
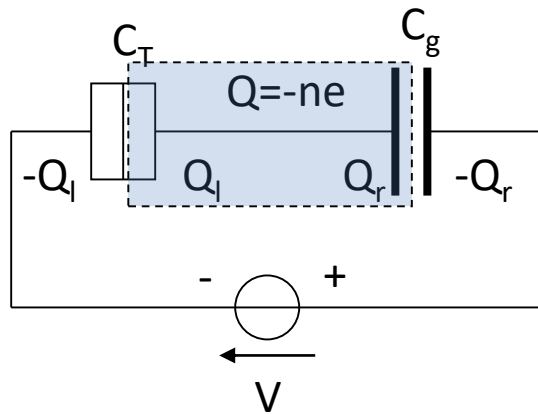


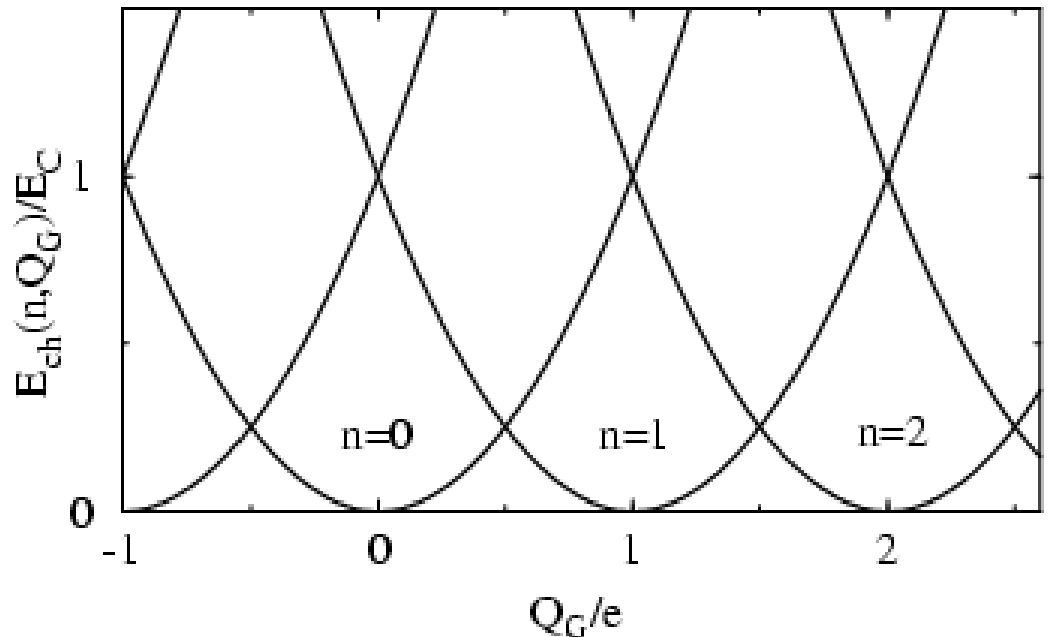
FIG. 4. The small-particle magnetic susceptibility calculated by Denton, Mühschlegel, and Scalapino (1973). The calculated spin susceptibilities are normalized to the Pauli value taken here to be  $\chi_P = 2\mu_B^2/\delta$ .

size effect in Metalclustern

## Schema für die Einzelelektronenbox (SEB)



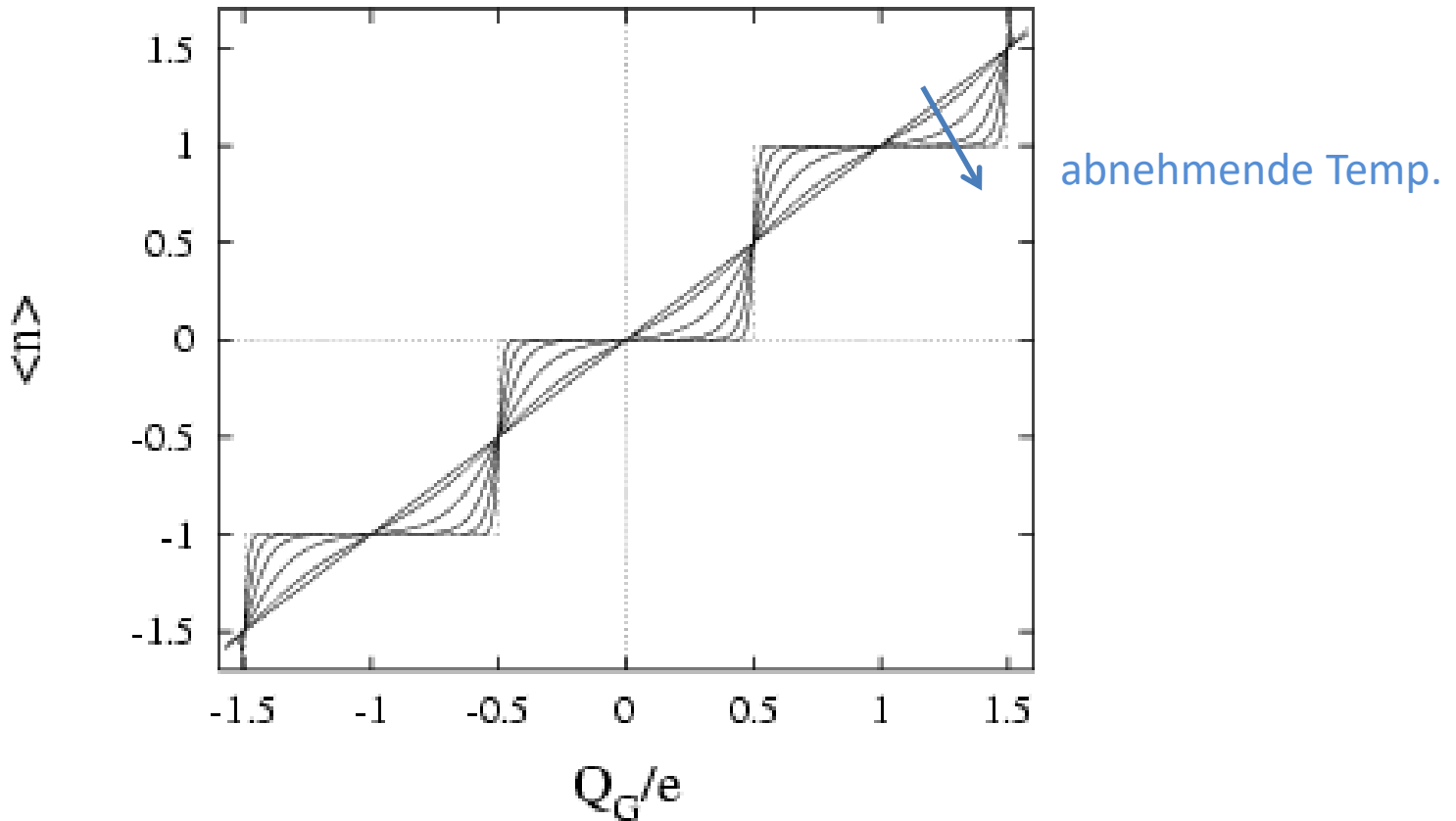
$$E(n, Q_g) = \frac{(ne - Q_g)^2}{2C_{\Sigma}}$$



Stabiler Zustand für  $n$  Elektronen in der Box:  $e(n-1/2) < C_G U < e(n+1/2)$

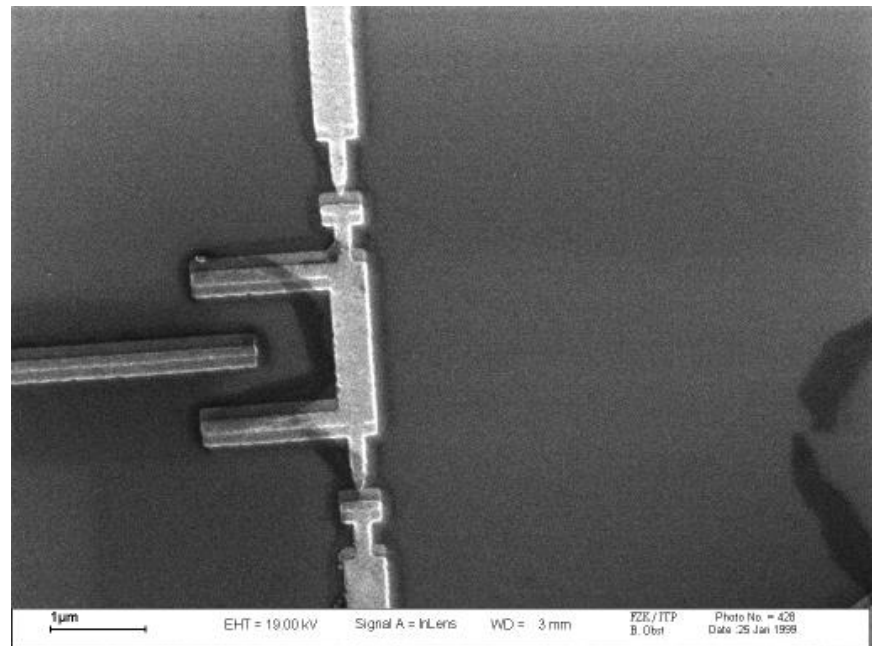
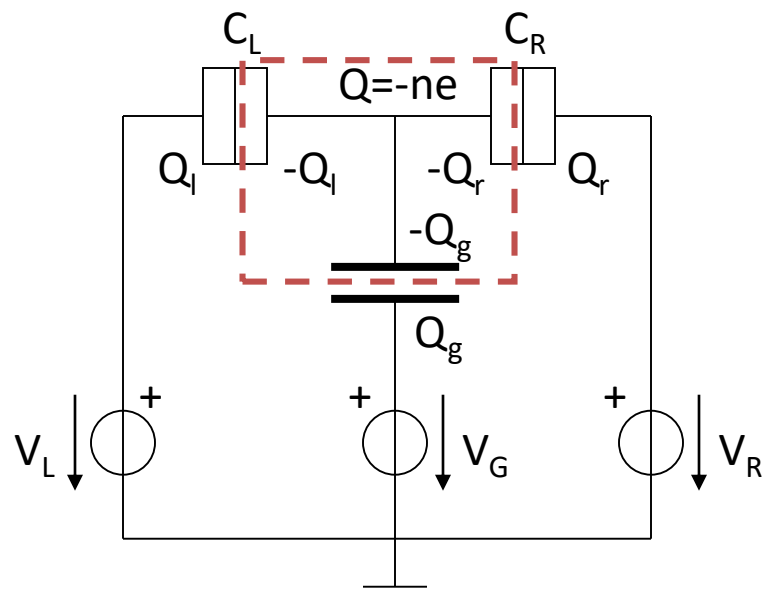
Quelle: G. Schön: Single-Electron Tunneling. In: Quantum transport and dissipation. Weinheim 1998. S. 149-212.

## Coulomb-Treppe

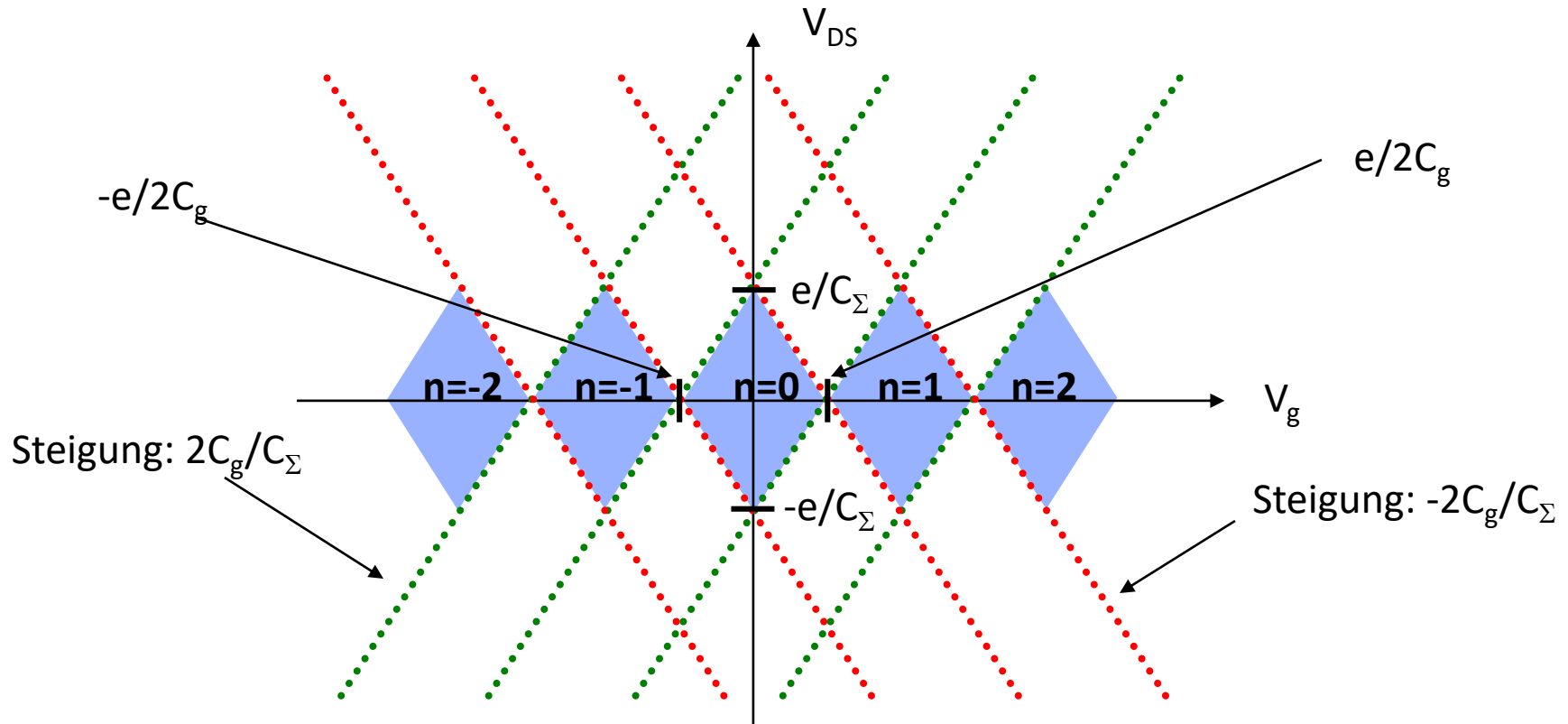


Quelle: G. Schön: Single-Electron Tunneling. In: Quantum transport and dissipation. Weinheim 1998. S. 149-212.

## Schematischer Aufbau und realer SET

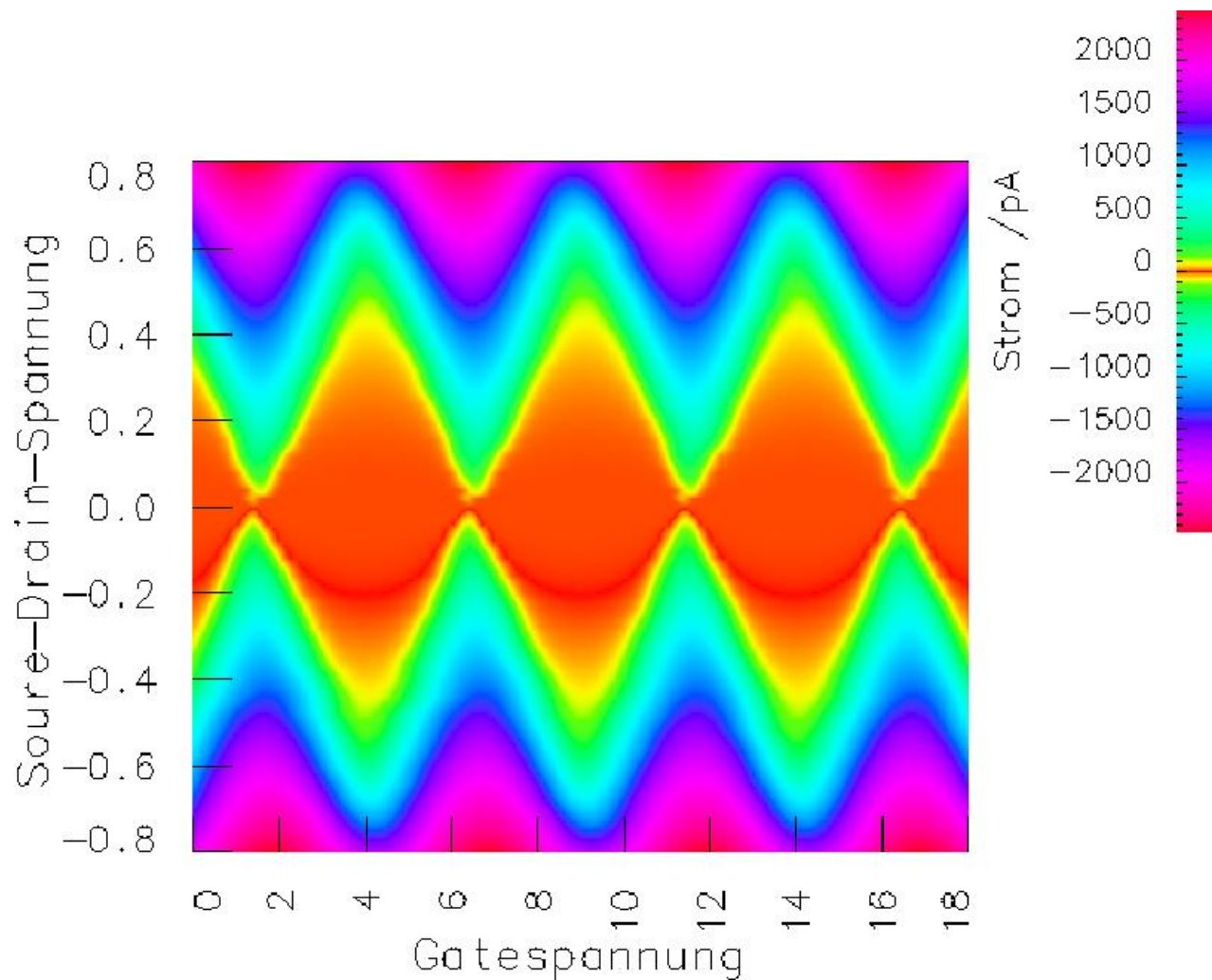


Schwellenspannung für einen symmetrischen SET ( $C_L = C_R = C$ ) in Abhängigkeit von  $V_g$ :

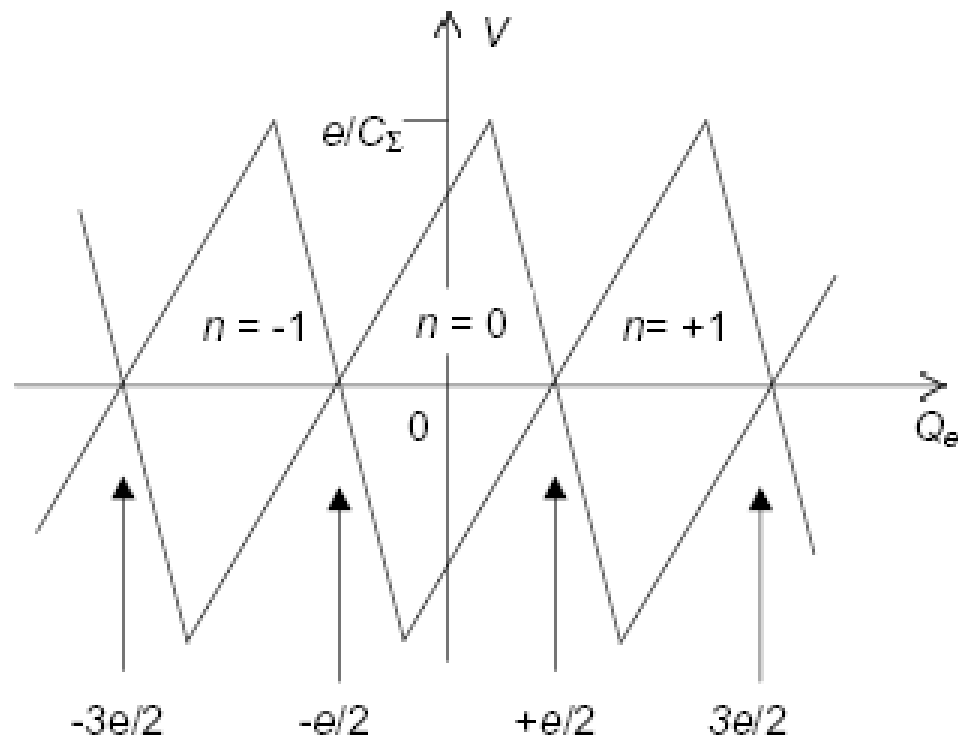


Innerhalb der Rauten („diamond shaped regions“) ist der Stromfluss durch die Coulomb-Blockade unterdrückt, die Ladung auf der Insel ist stabil.

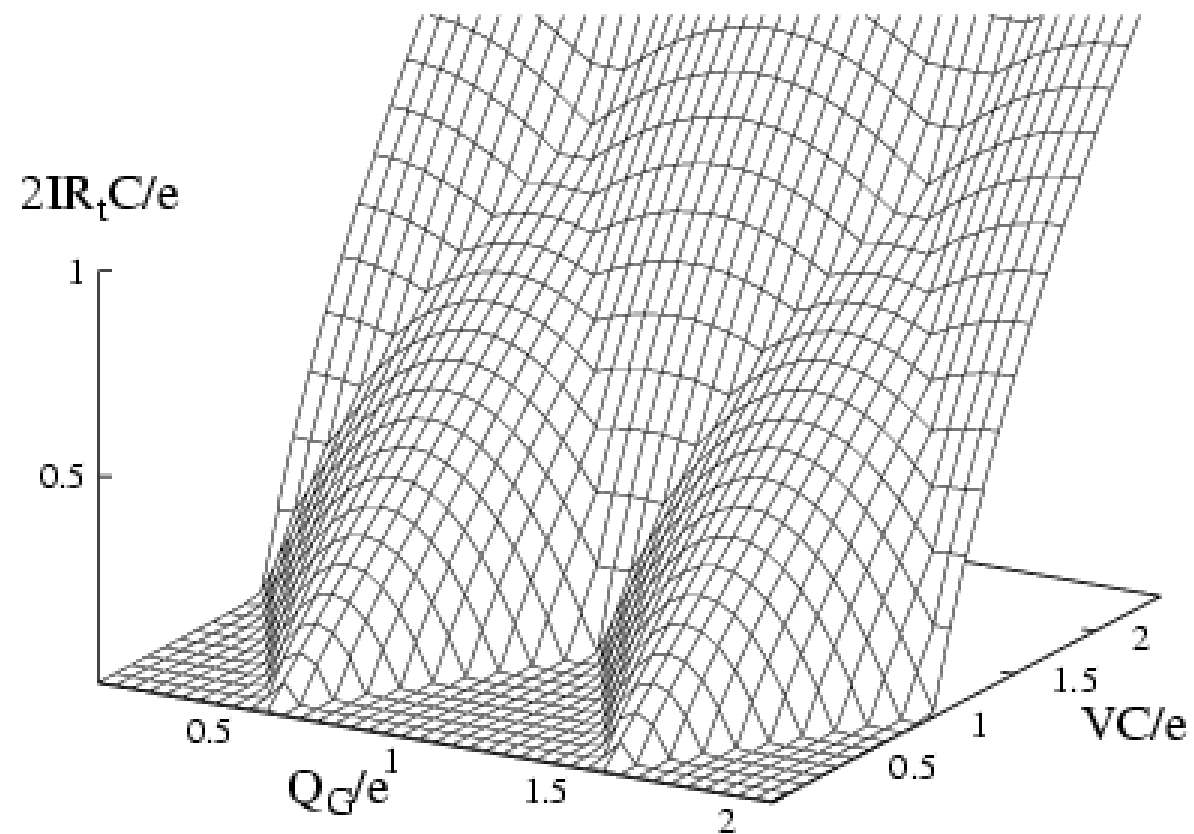
## Colourplot der Coulomb-Blockade



## Asymmetrischer SET

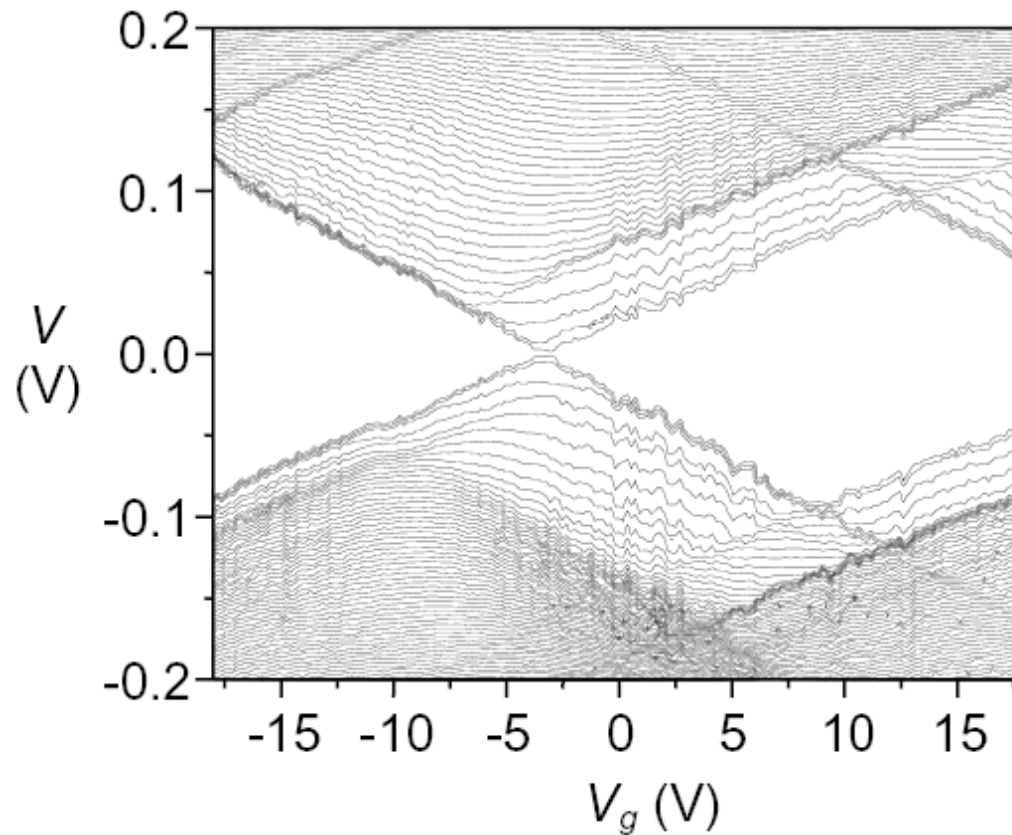


Quelle: K.K. Likharev: Single-Electron Devices and Their Applications.  
In: Proceedings of the IEEE, Vol 87, No.4, April 1999.



## Beispiel für realen SET

Strom-Kontur-Plot für Aluminium-SET mit  $e/C_{\Sigma}=0.1V$  bei  $T=4.2K$

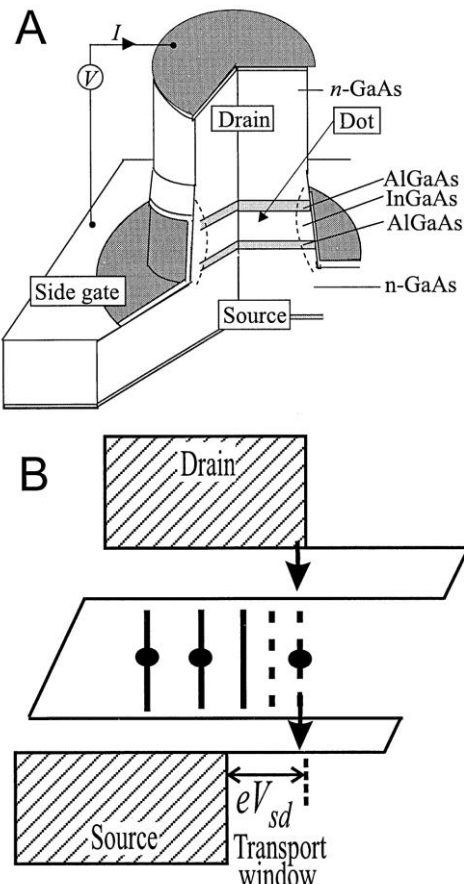


Quelle: K.K. Likharev: Sub 20-nm Electron Devices.

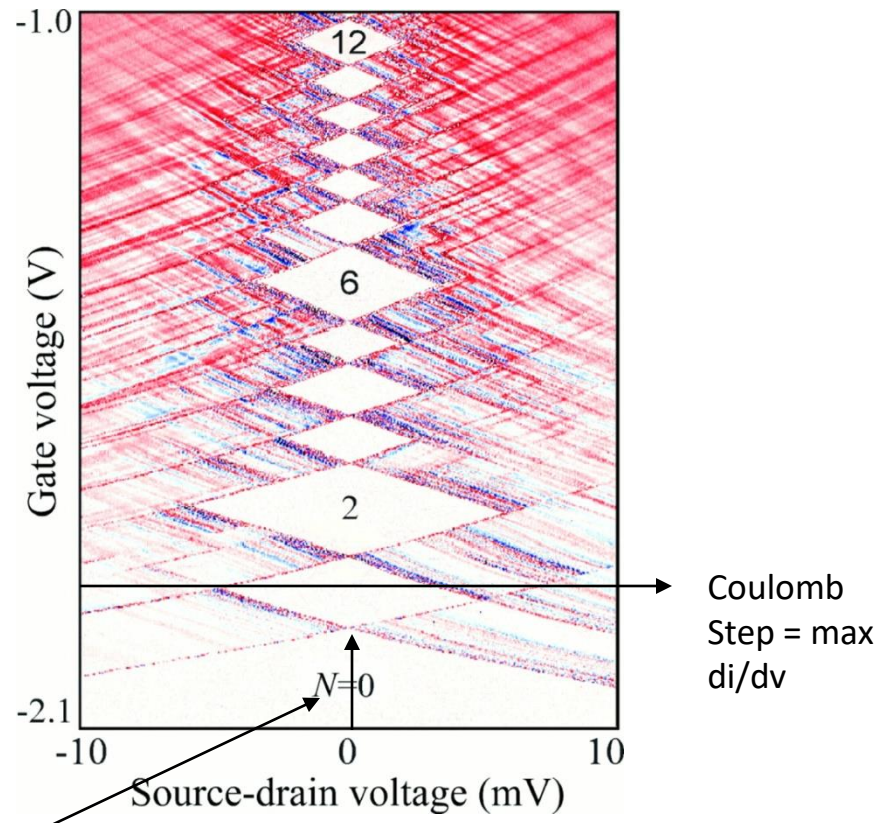
In: Advanced Semiconductor and Organic Nano-Techniques, Pt. 1. Academic Press, 2002.

# Single electron transistor

Copyright Stuart Lindsay 2008



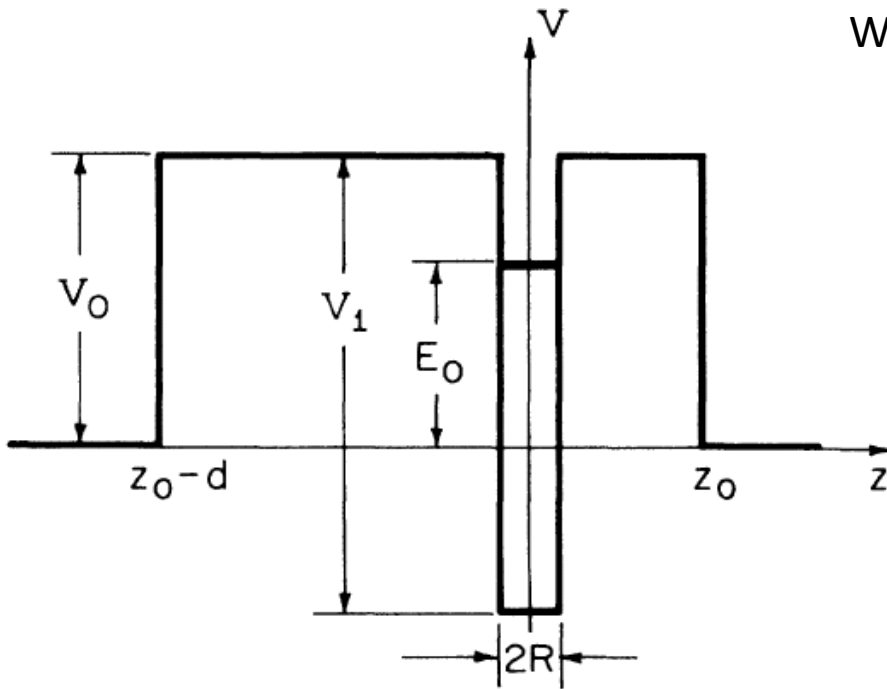
White,  $di/dv = 0$



(From Excitation spectra of circular, few electron quantum dots, L.P. Kouwenhoven, T.H. Oosterkamp, M.W.S. Danoesastro, M. Eto, D.G. Austing, T. Honda and S. Tarucha, Science 1997, **278**, 1788. Reprinted with permission from AAAS. Readers may view, browse and/or download material for temporary copying purposes only, provided that these uses are for noncommercial personal purposes. Except as provided by law, this material may not be further reproduced, distributed, transmitted, modified, adapted, performed, displayed, published or sold in whole or part without prior written permission from the publisher.)

## Resonantes Tunneln

What is  $T(E)$ ?



(Reprinted with permission from Differential conductance in three-dimensional resonant tunneling, V. Kalmeyer and R.B. Laughlin, Phys. Rev. B 35, 9805 copyright 1987 American Physical Society. Courtesy Professor R.B. Laughlin. Readers may view, browse, and/or download material for temporary copying purposes only, provided these uses are for noncommercial personal purposes. Except as provided by law, this material may not be further reproduced, distributed, transmitted, modified, adapted, performed, displayed, published or sold in whole or part, without prior written permission from the American Physical Society.)

## Josephson charge qubits

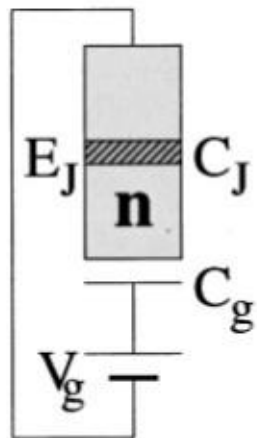


FIG. 1. A Josephson charge qubit in its simplest design formed by a superconducting single-charge box.

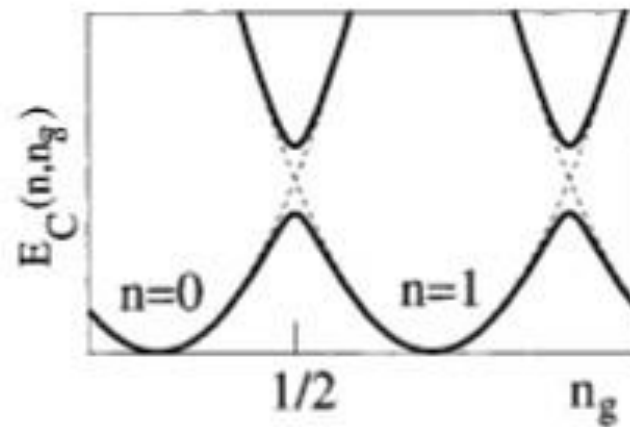


FIG. 2. The charging energy of a superconducting electron box is shown as a function of the gate charge  $n_g$  for different numbers of extra Cooper pairs  $n$  on the island (dashed parabolas). Near degeneracy points the weaker Josephson coupling mixes the charge states and modifies the energy of the eigenstates (solid lines). In the vicinity of these points the system effectively reduces to a two-state quantum system.

Quelle: Y. Makhlin et al., Rev.Mod.Phys. 73, 357 (2001).

## Josephson charge qubits

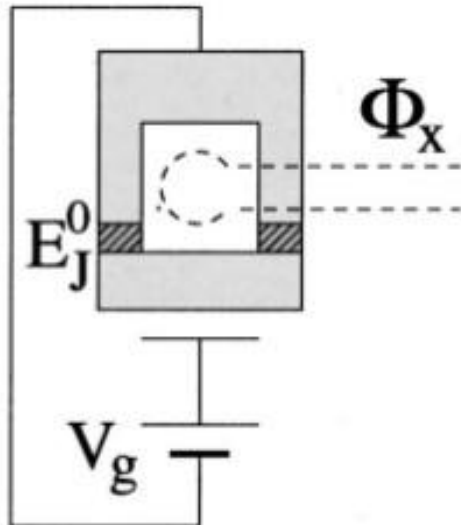


FIG. 3. A charge qubit with tunable effective Josephson coupling. The single Josephson junction is replaced by a flux-threaded SQUID. The flux in turn can be controlled by a current-carrying loop placed on top of the structure.

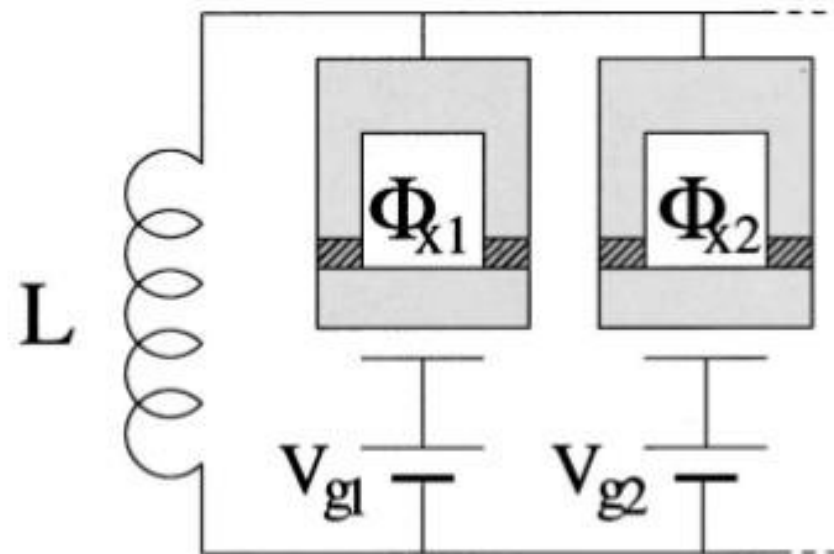
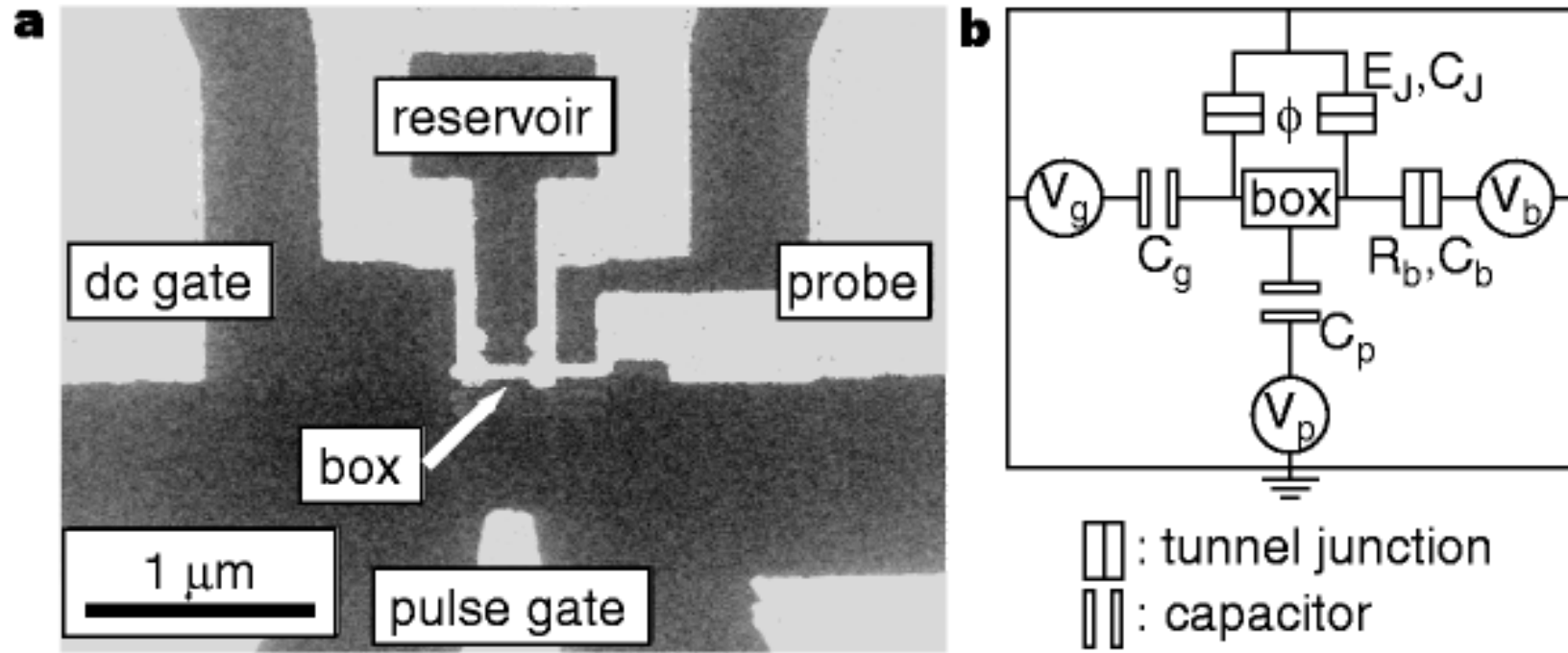


FIG. 4. A register of many charge qubits coupled by oscillator modes in the  $LC$  circuit formed by the inductor and the qubit capacitors.

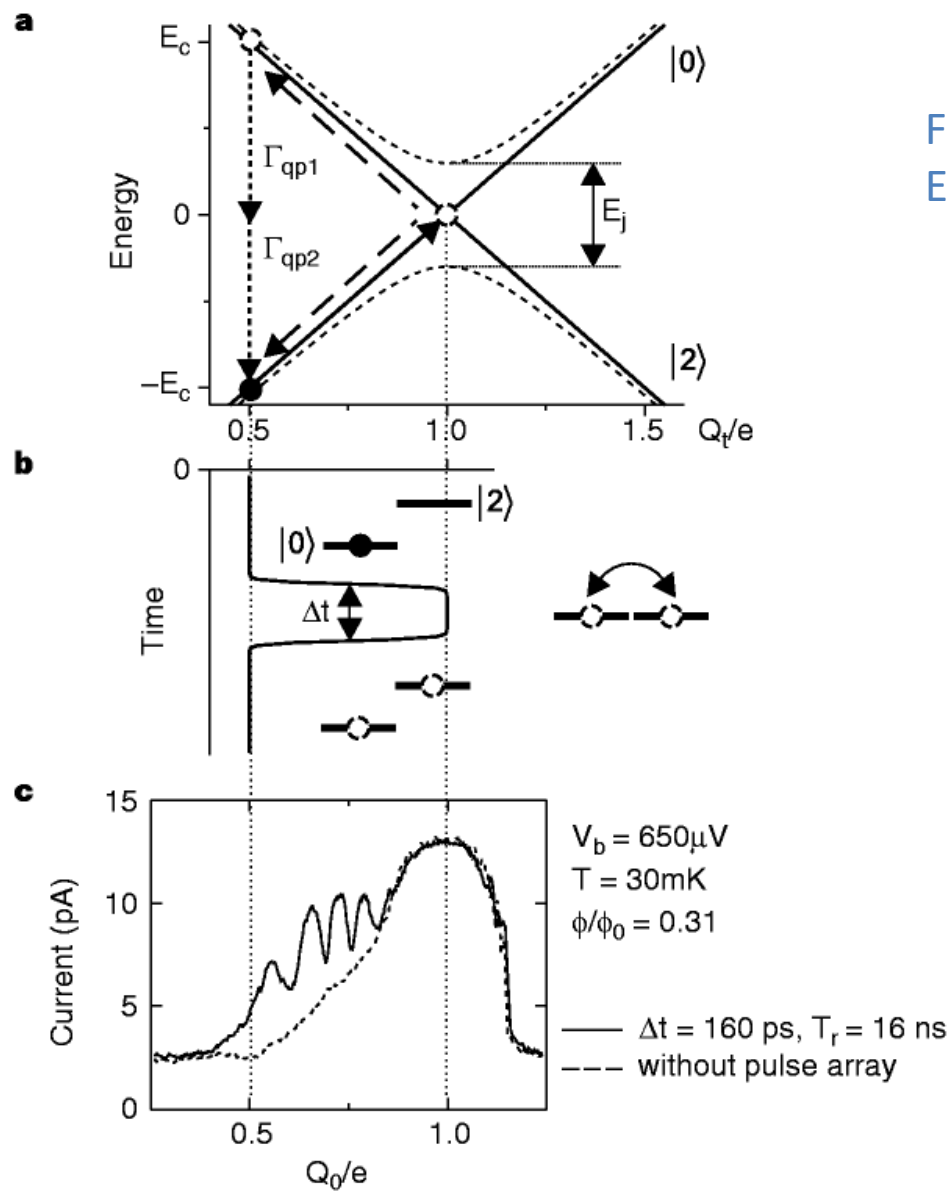
Quelle: Y. Makhlin et al., Rev.Mod.Phys. 73, 357 (2001).

## Beispiel eines realen supraleitenden Qubits: Die Einzel-Cooper-Paar box



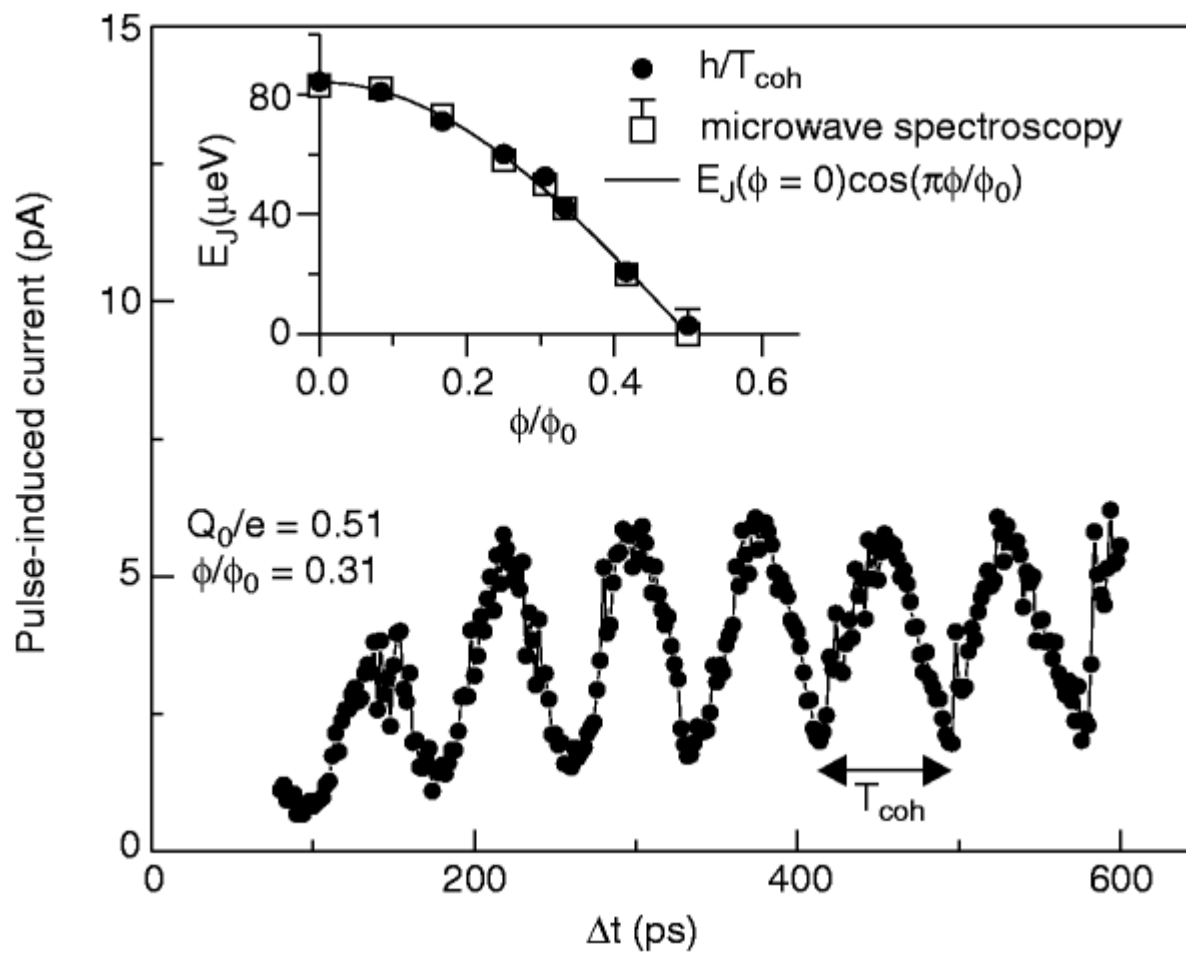
Quelle: Y. Nakamura, Yu. A. Pashkin and J. S. Tsai, Nature 398, 786-788(29 April 1999)

## Funktionsweise der Einzel-Cooper-Paar box



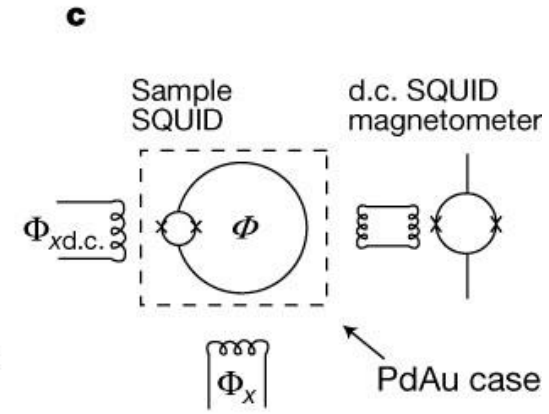
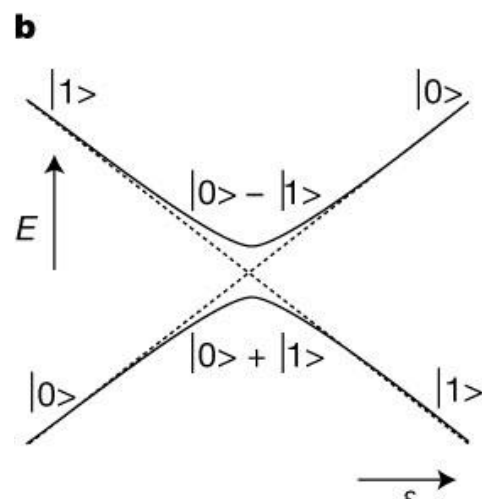
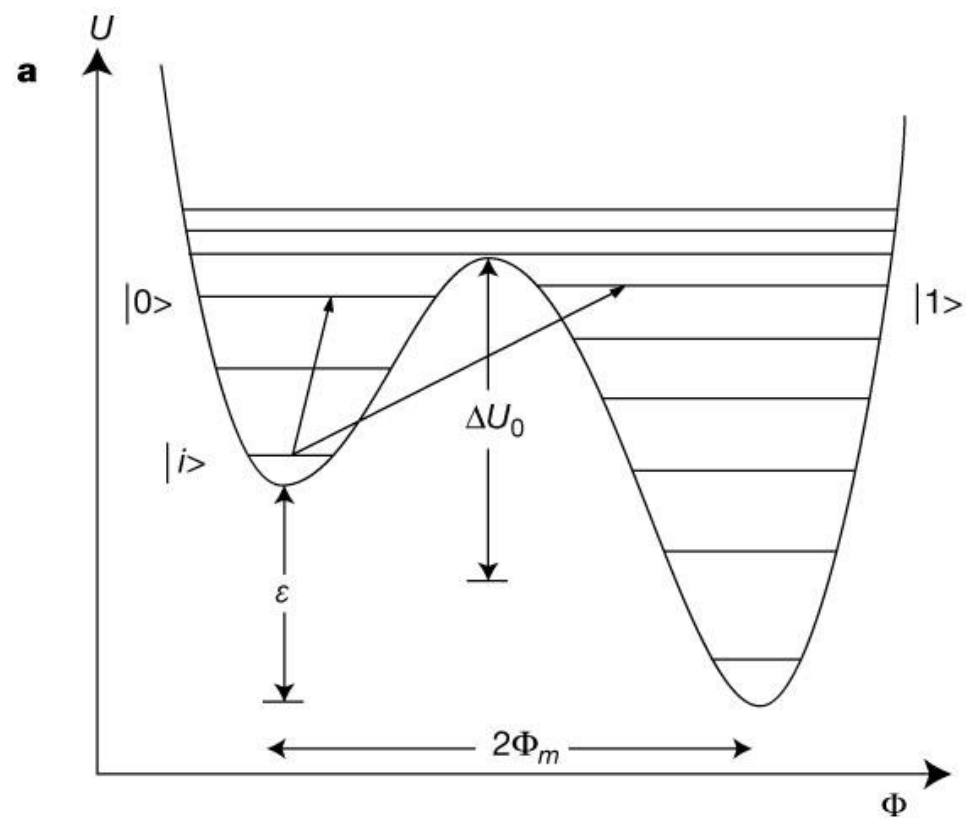
Quelle: Y. Nakamura, Yu. A. Pashkin and J. S. Tsai, Nature 398, 786-788(29 April 1999)

## Einzel-Cooper-Paar box: Kohärente Oszillationen

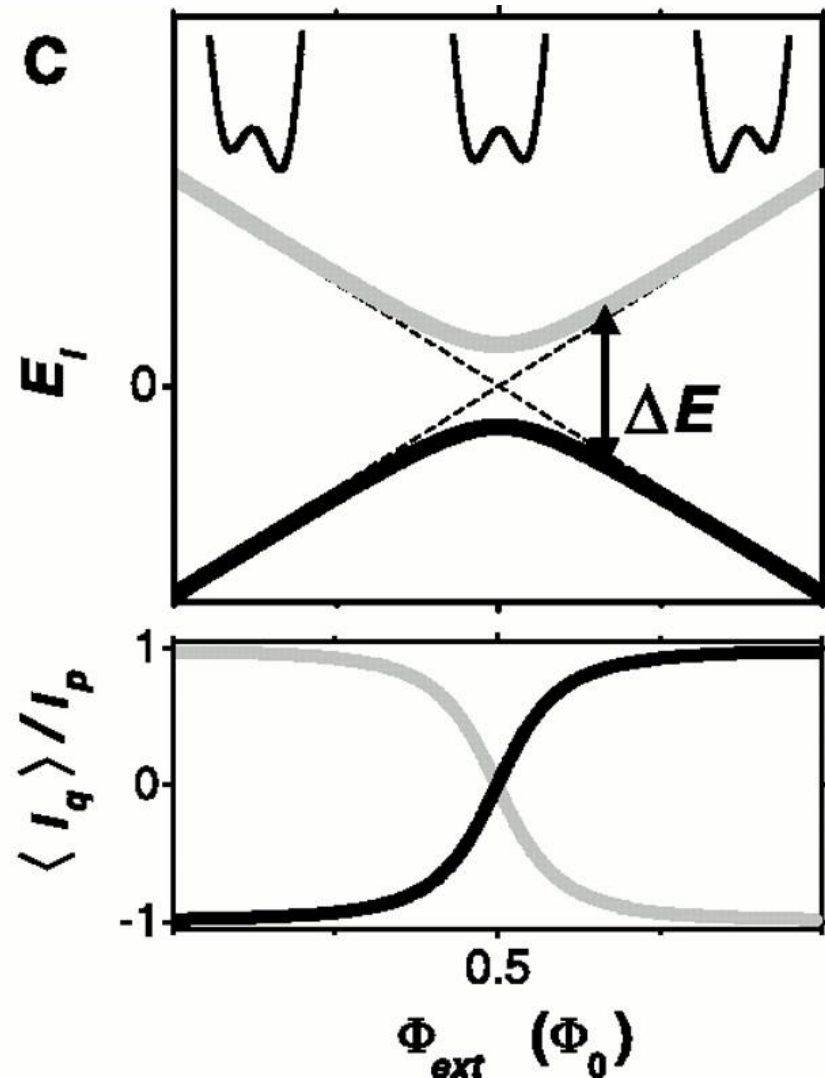
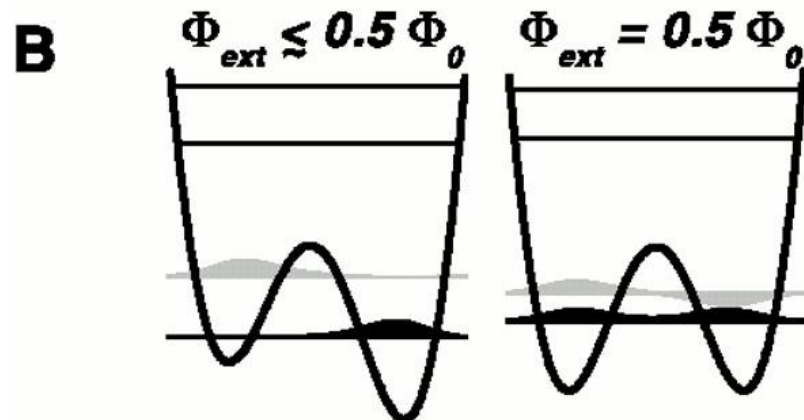
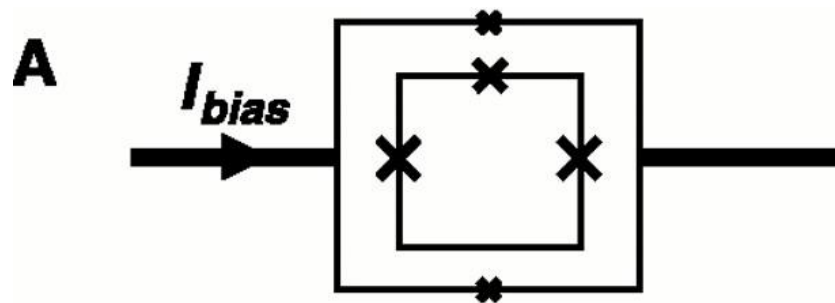


Quelle: Y. Nakamura, Yu. A. Pashkin and J. S. Tsai, Nature 398, 786-788(29 April 1999)

SQUID-Potential, level anti-crossing  
und experimenteller Aufbau eines  
flux qubits



## Beispiel eines flux qubits mit 3 Josephson-Brücken



Quelle: van der Wal et al., Science 290, 773(2000)

# Konzepte molekularer Elektronik

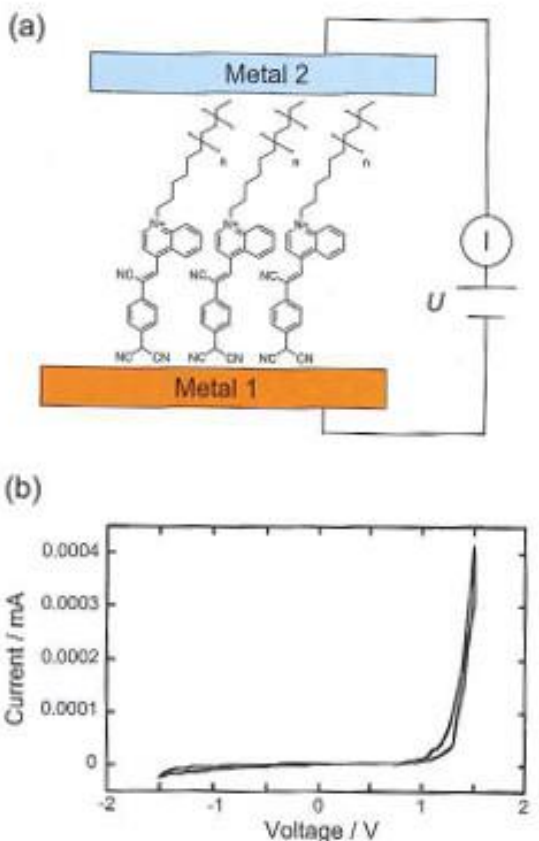
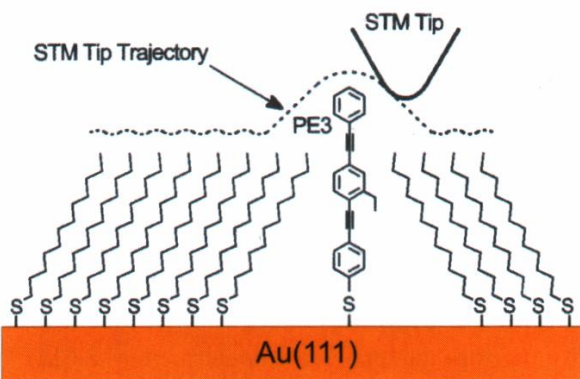


Figure 14:

(a) Schematic presentation of a rectifying device based on an LB-film of the donor-acceptor molecule 12.  
 (b) The  $I$ - $V$  curve of the sandwiched LB-monolayer displaying rectifying character.

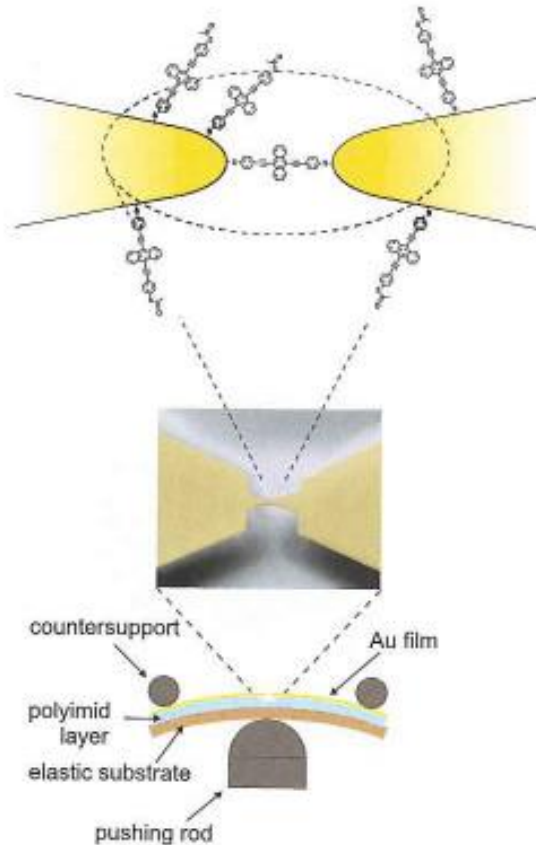
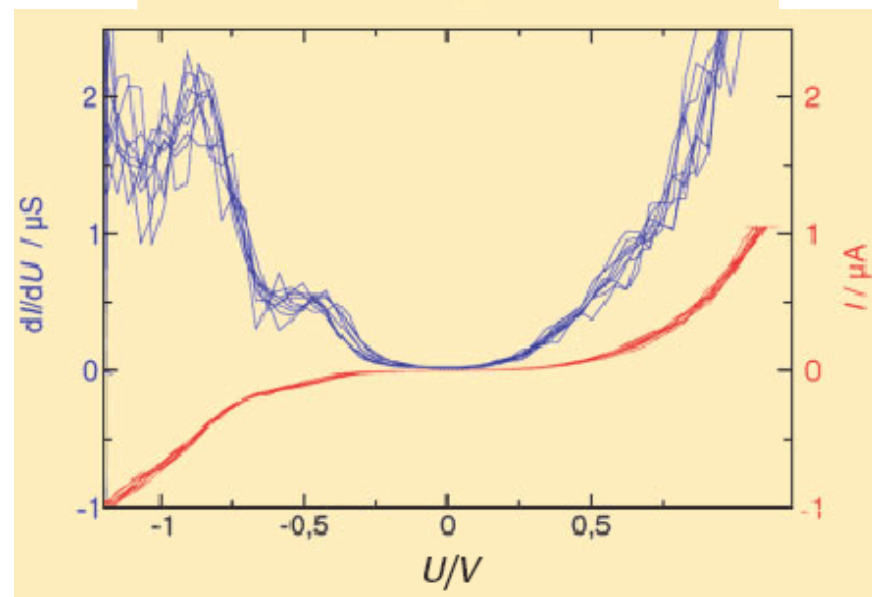
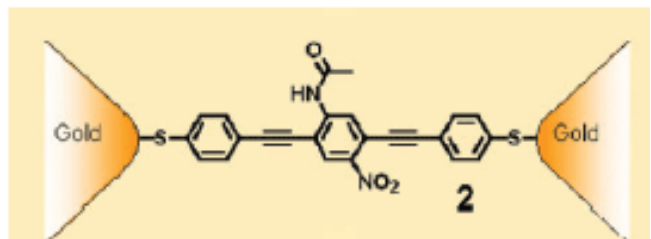
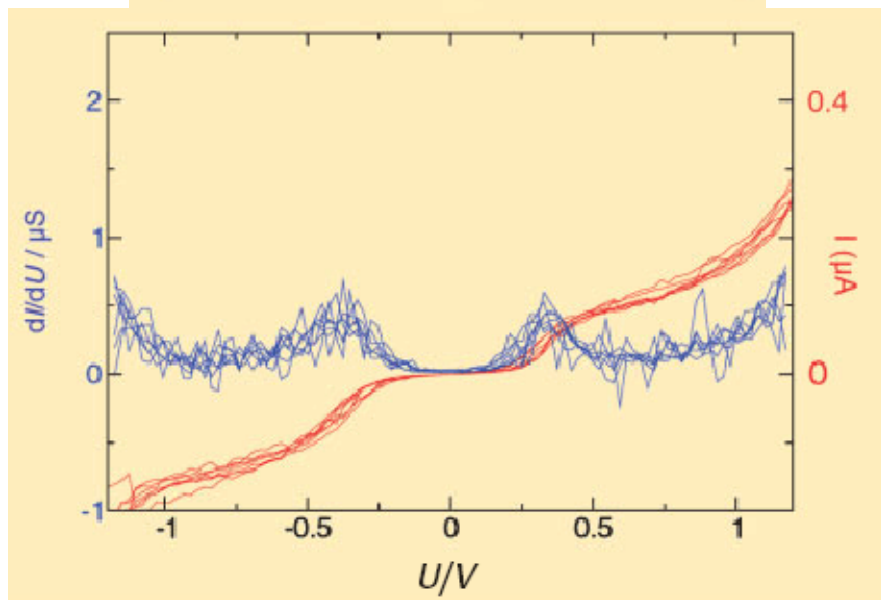
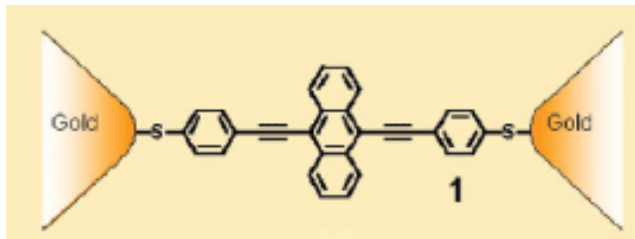


Figure 19: Scheme of a mechanically controlled break junction. On top of a bendable substrate a Au film is patterned with a freely suspended bridge in the center (see SEM micrograph in the middle panel). By bending the substrate in a three point support (lower panel: the pushing rod is driven by a motor), the Au bridge can be broken into two electrodes. By bending the substrate back and forth, the gap between the electrodes can be tuned with a distance resolution much better than Angstroms. This setup can be used to match the electrode gap precisely to the length of a molecule and finally to contact a molecule from two sides via well defined chemical S-Au bonds.

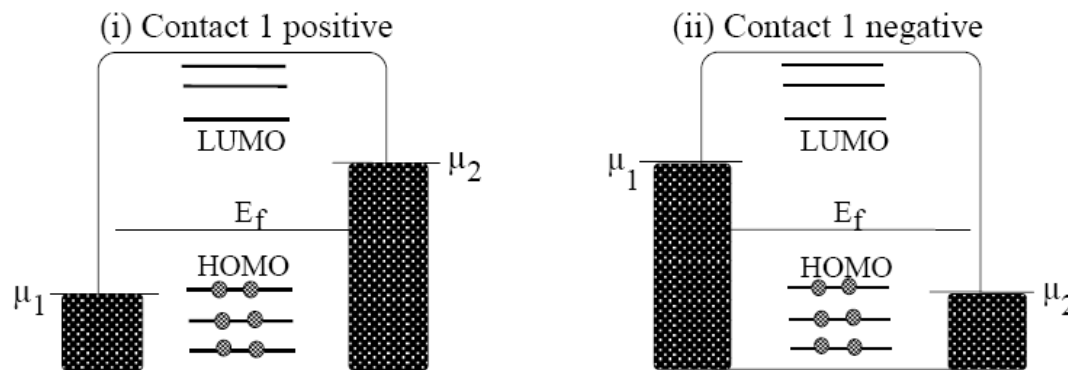
## Molekulare Elektronik mit Bruchkontakten



Quelle: H.B. Weber et al.

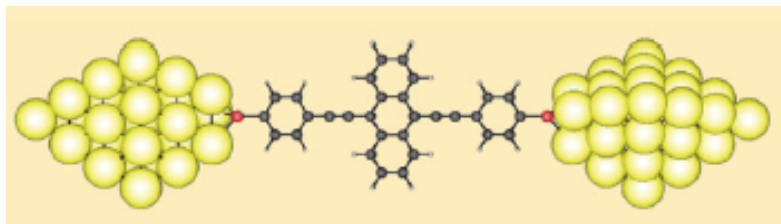
# Molekulare Elektronik mit Bruchkontakten

- Wichtige Elemente zum Verständnis der I(V)-Kurven sind
  - Energieniveau-Diagramm mit der Lage der Fermi-Energie relativ zu LUMO und HOMO



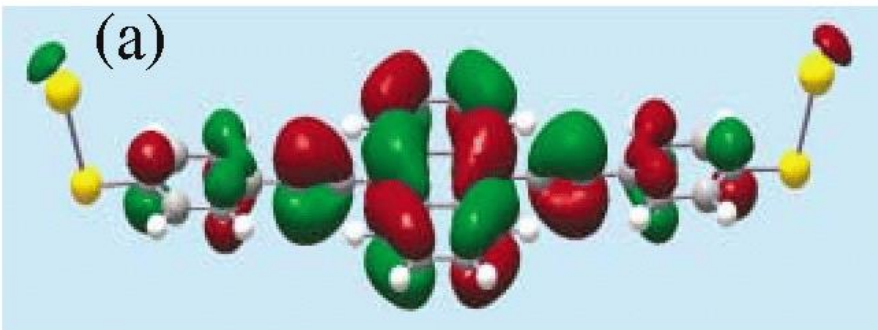
- Verbreiterung der molekularen Niveaus aufgrund der Elektrodenkontakte

# Molekulare Elektronik mit Bruchkontakten

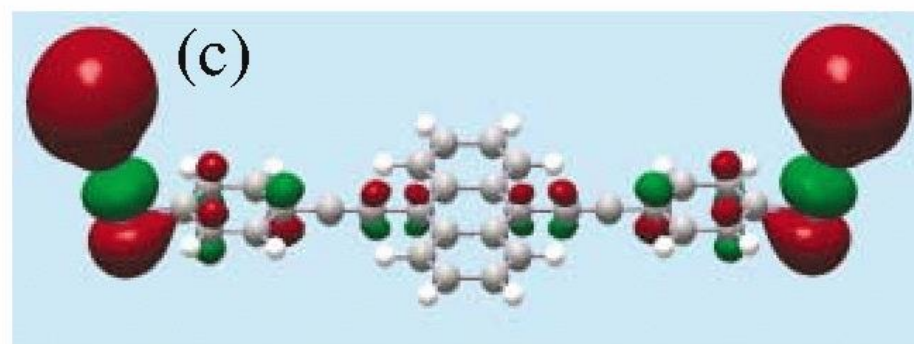


„Super-Molekül“ aus  
Atomen der Elektroden und  
dem eigentlichen Molekül

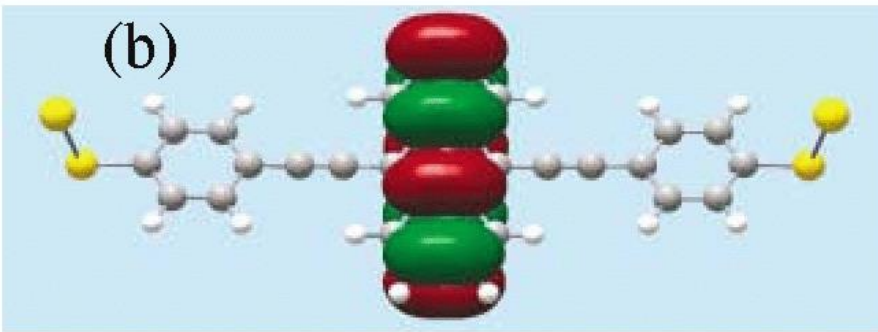
HOMO



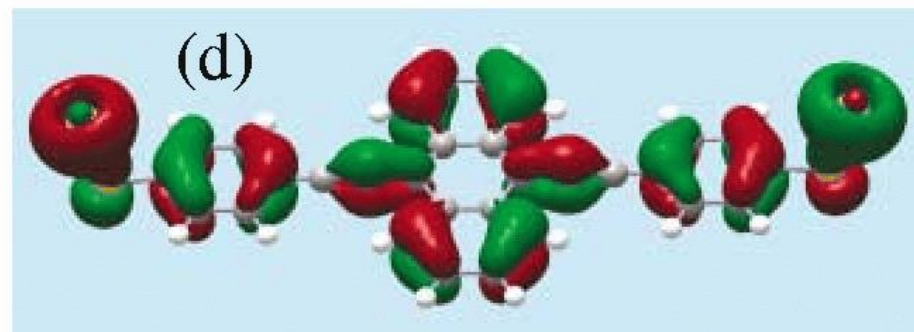
LUMO



(b)



(d)



# Aspekte der Nano-Optik

## Wechselwirkung des Lichts mit nanoskaligen Systemen

Absorption/Emission von Licht  
künstliche Quantenstrukturen  
**photonische Bandlückenmaterialien**  
Moleküle/Proteine

## Optische Wechselwirkung zwischen Nanosystemen

gekoppelte Exzitonen  
Optische Fallen  
van der Waals-/Casimir-Kräfte

## Theoretische Aspekte

multiple Multipol-Methoden  
Green's Funktions-Methoden

# Nano-Optik

## Resonanzphänomene

**Plasmonen**  
Oberflächen Phonon-Polaritonen  
Mikroresonatoren

## Beugungslimit

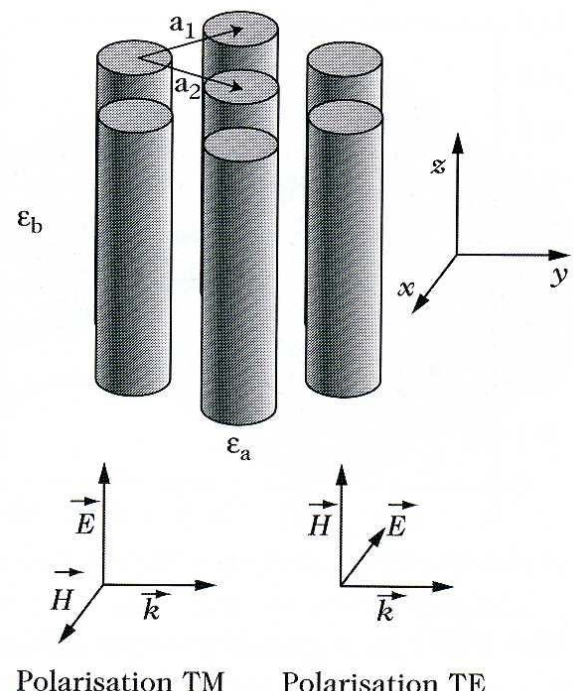
**Licht in eingeschränkter Geometrie**  
Aperturen, Spitzen, Fasern  
optische Nahfeld-Mikroskopie

## Stark fokussiertes Licht

konfokale Mikroskopie  
Multiphonon-Mikroskopie

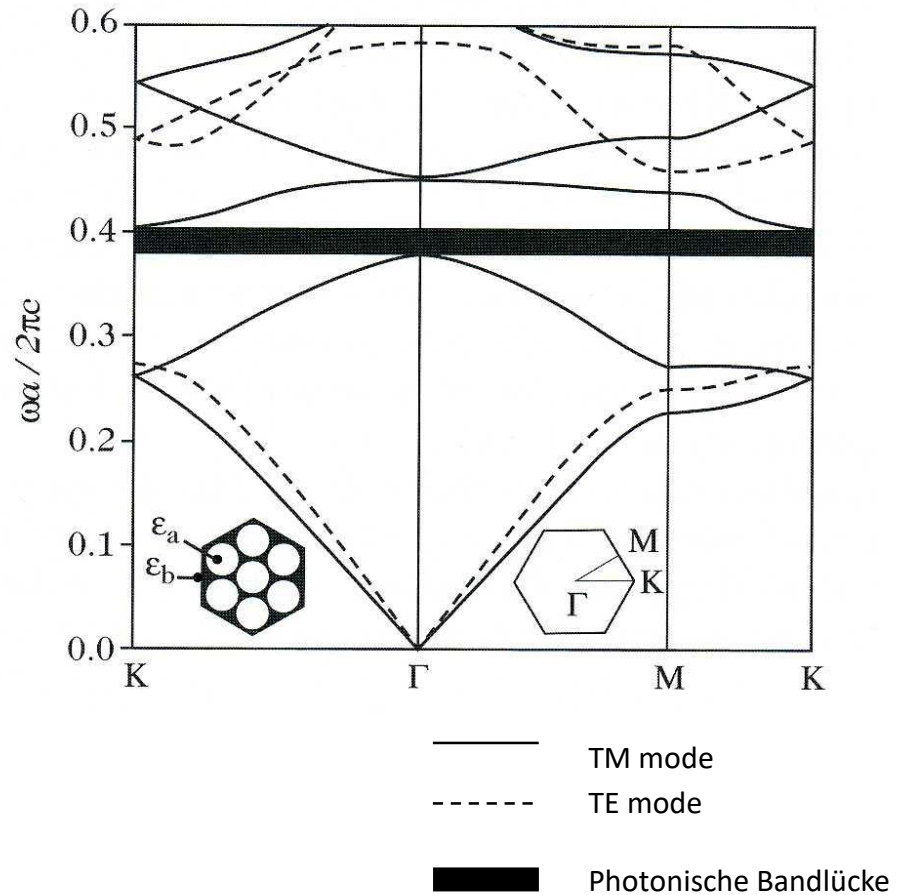
# Photonische Kristalle

2D photonischer Kristall

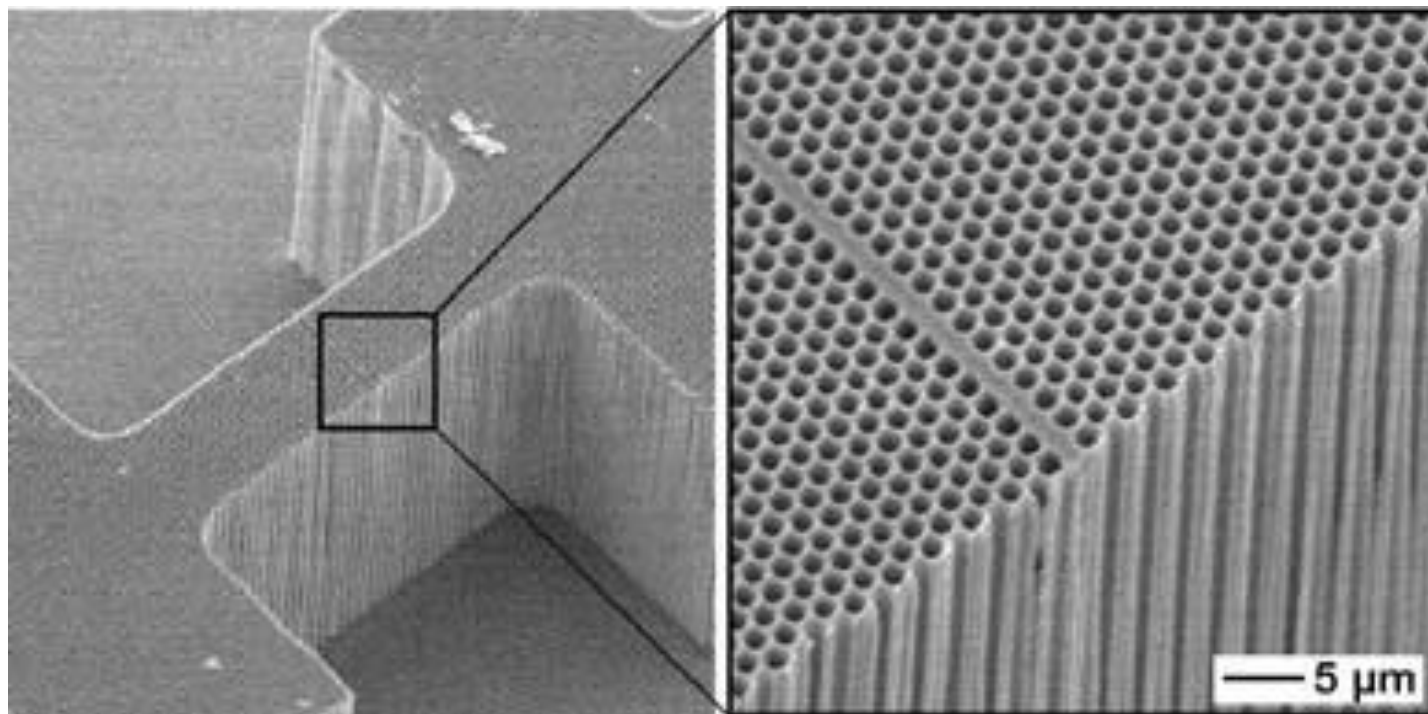


$$\epsilon_a = 1, \epsilon_b = 12,25$$

Bandstruktur eines 2D photonischen Kristalls



## Beispiel eines 2D photonischen Kristalls



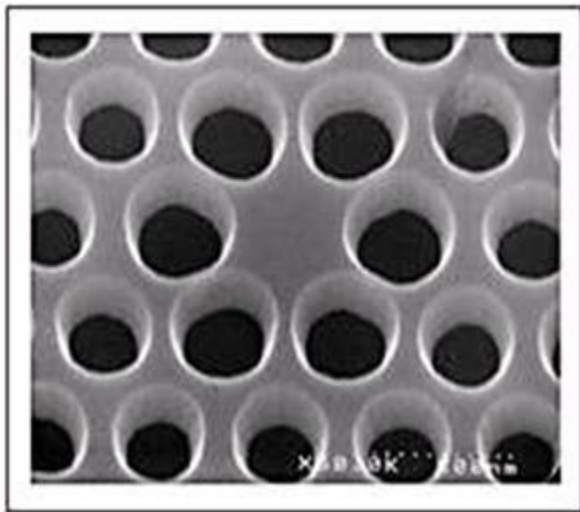
Taken from: R. Wehrsporn, U. Gösele et al., MPI Halle

## Größenordnung der Gitterkonstante photonischer Kristalle

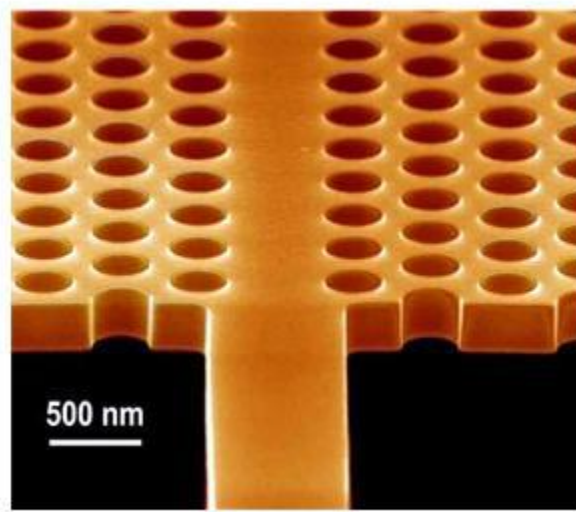
Spektralbereich	Frequenz [Hz]	Wellenlänge $\lambda_0$ [m]
Mikrowellen	$10^9 - 10^{11}$	$10^{-1} - 10^{-3}$
Infrarot	$10^{13} - 10^{14}$	$10^{-5} - 10^{-6}$
sichtbares Licht	$10^{14}$	$10^{-6}$
UV-Strahlung	$10^{15} - 10^{16}$	$10^{-7}$
Röntgenstrahlung	$10^{17} - 10^{19}$	$10^{-8} - 10^{-11}$

→ Sub- $\mu\text{m}$ -Skala für Bandlücken im Sichtbaren

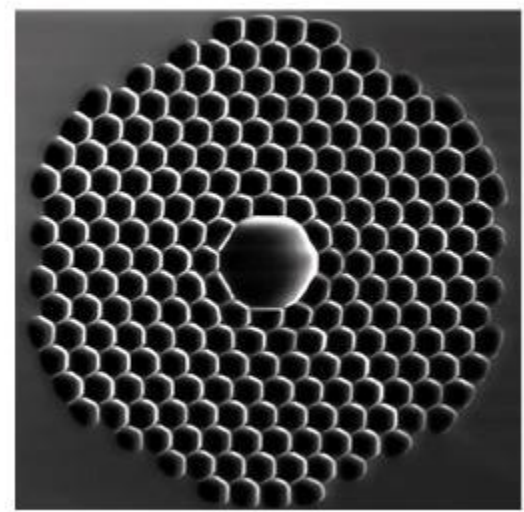
## Beispiele für photonische Defektstrukturen



Mikrokavität

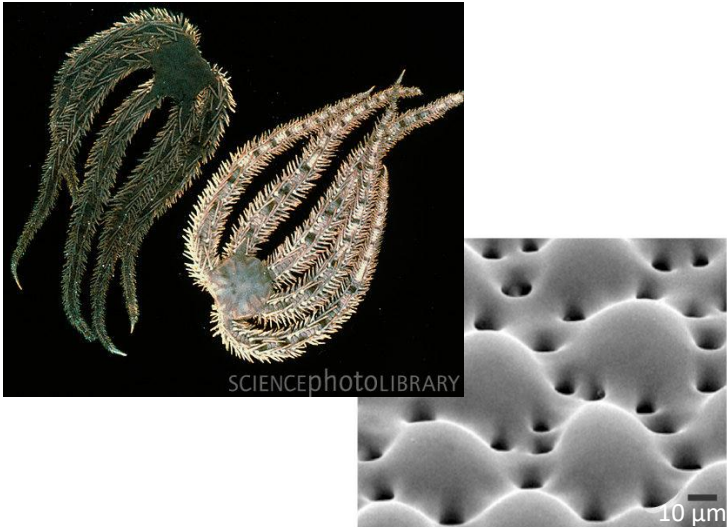


Wellenleiter

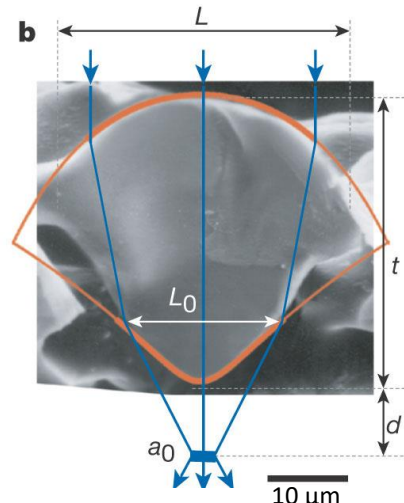


# Beispiele für 3D photonische Kristalle in der Natur

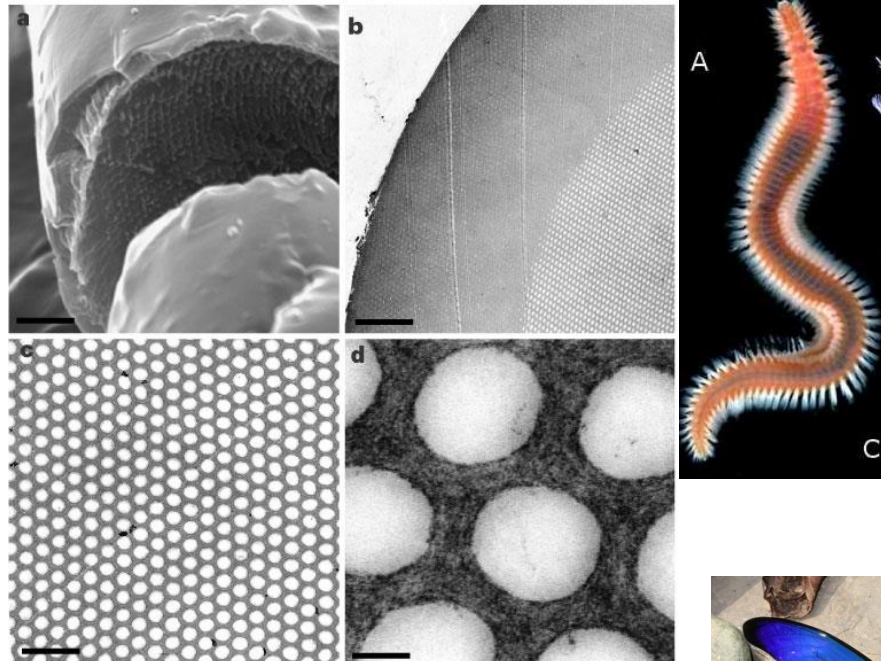
## Schlangenstern



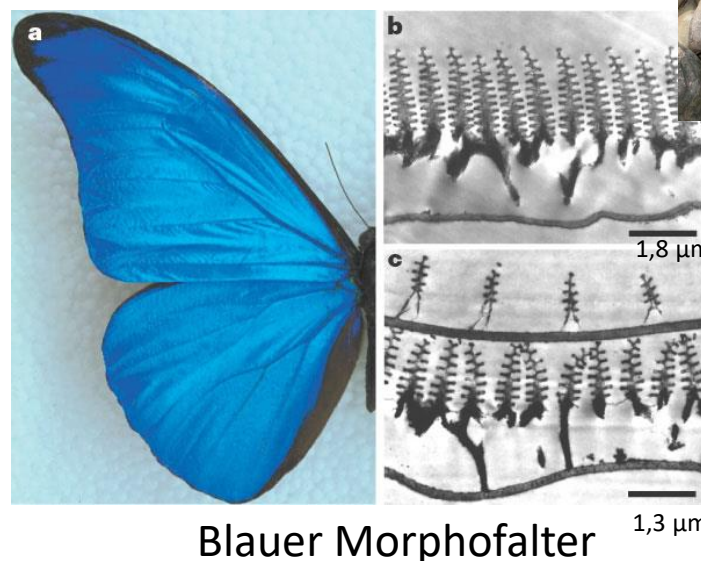
SCIENCEPHOTOLIBRARY



## Ringelwürmer



C

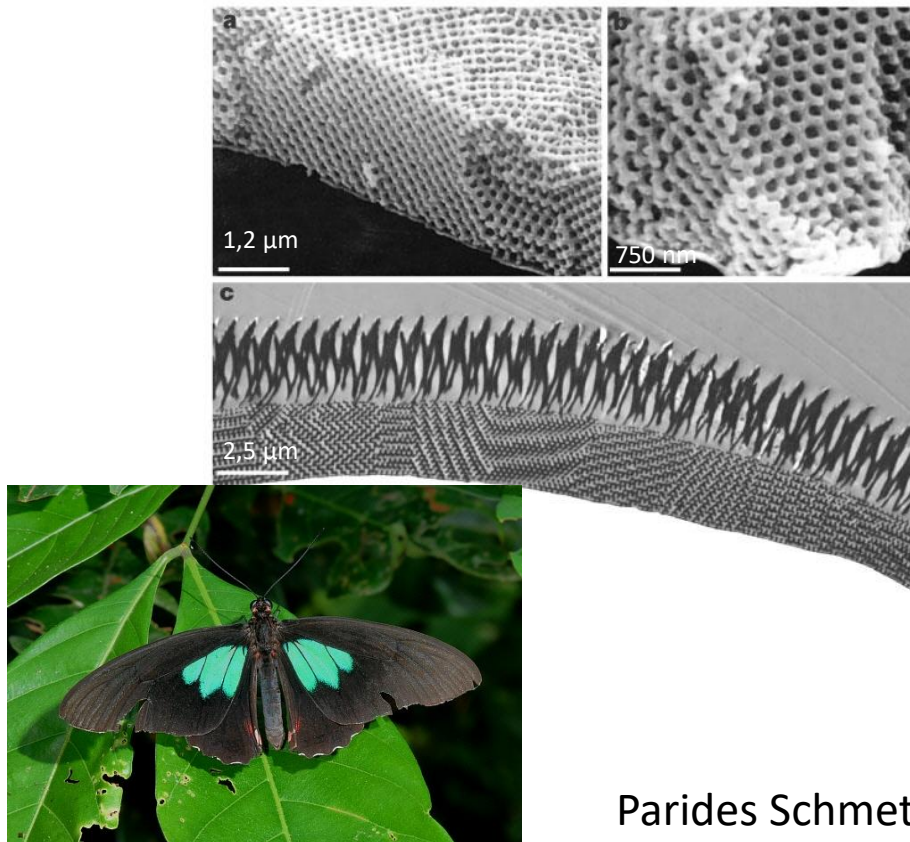


Blauer Morphofalter

10

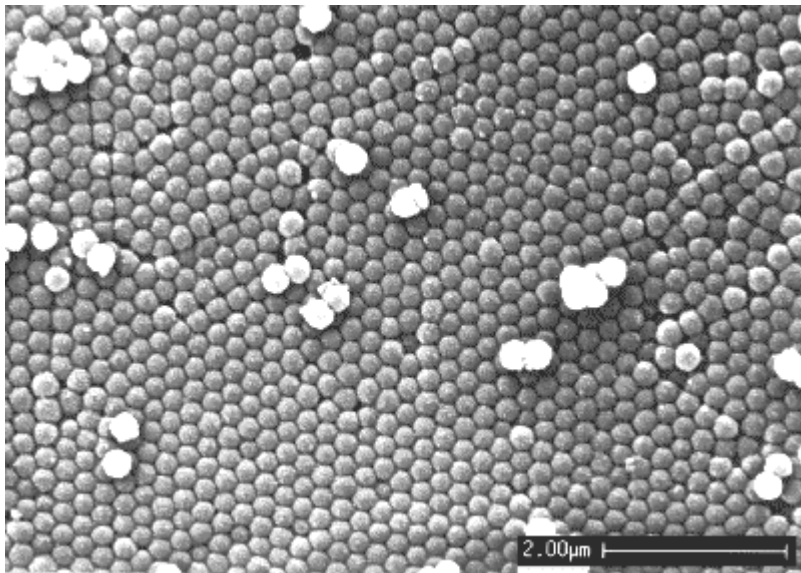
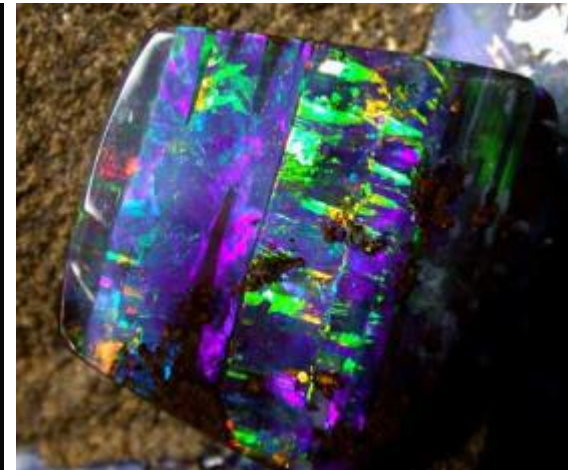
Quelle: Vucosic et al., Nature 424, 852(2003)

## Beispiele für 3D photonische Kristalle in der Natur

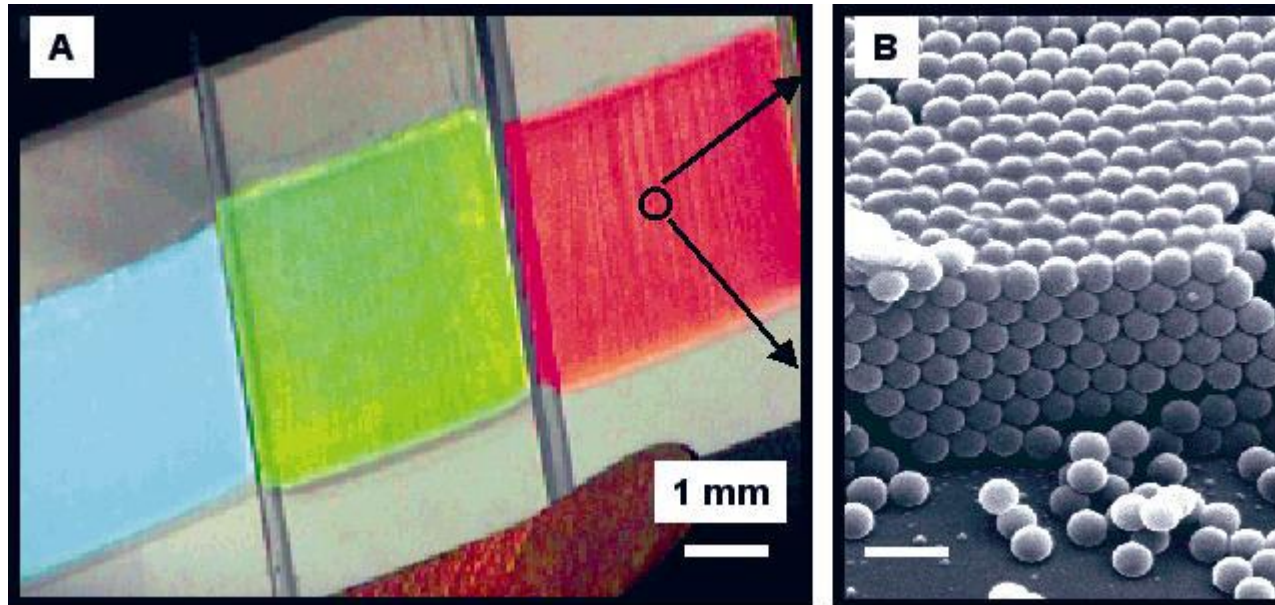


Parides Schmetterling

## Beispiel für 3D photonische Kristalle in der Natur: Opale

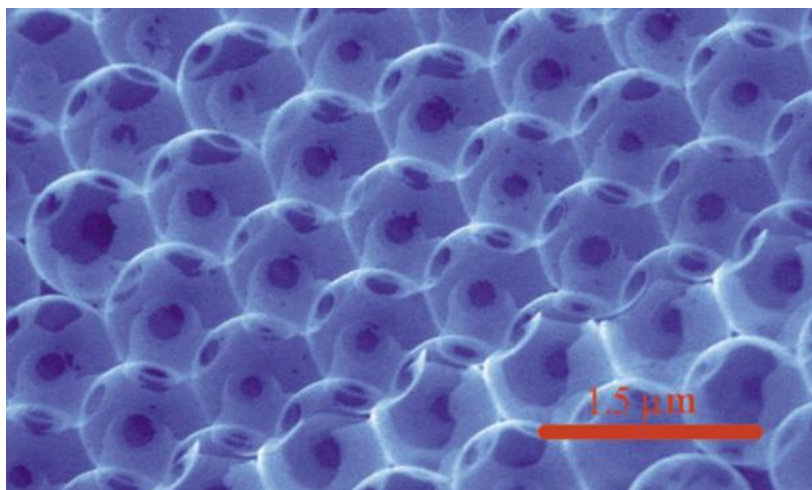


## Künstliche Opale

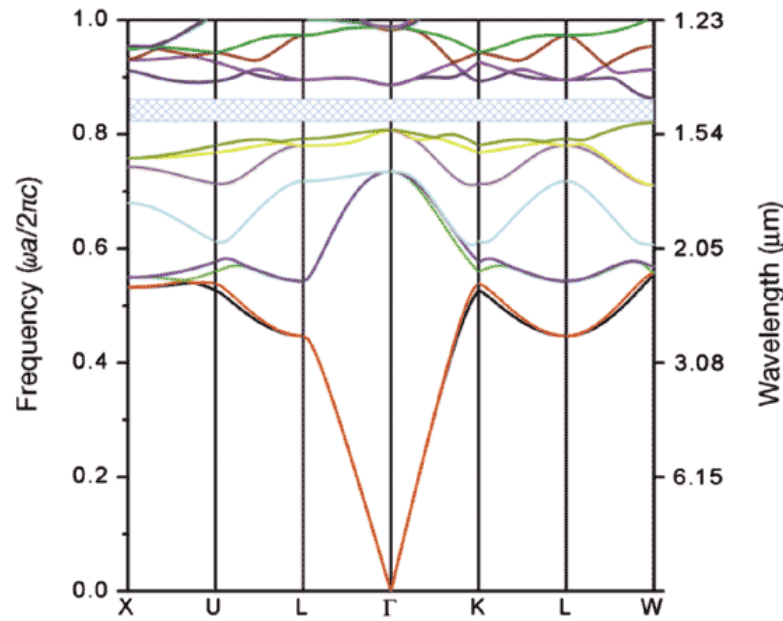


Colvin, MRS Bulletin **26(8)**, 637 (2001)

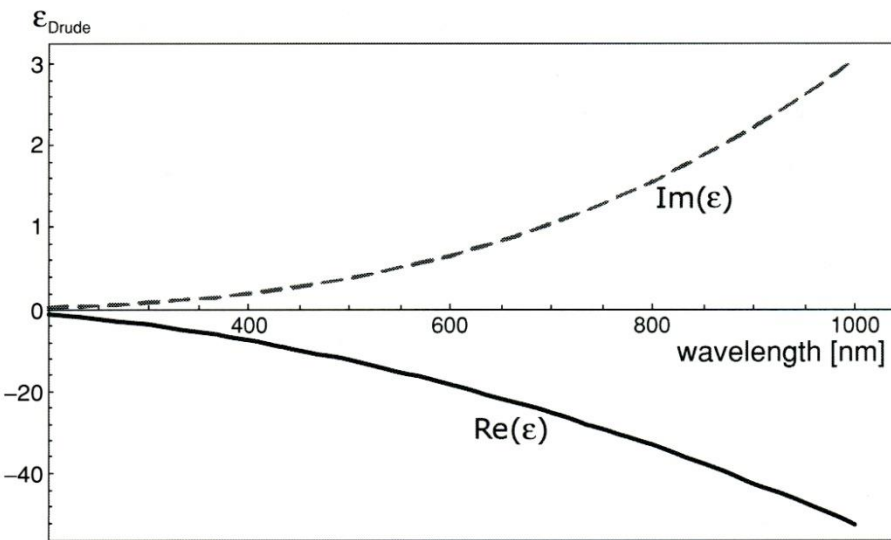
## Künstlicher Opal: invertierter Si-Opal mit Bandstruktur



(111) Oberfläche des invertierten Si Opals



Vollständige Bandlücke bei  $\lambda_0 = 1,5 \mu\text{m}$



Plasmonen:

(Drude-)Dielektrizitätskonstante

Figure 12.1 Real and imaginary part of the dielectric constant for gold according to the Drude–Sommerfeld free-electron model ( $\hbar\omega_p = 8.95 \text{ eV}$ ,  $\hbar\Gamma = 65.8 \text{ meV}$ ). The solid line is the real part, the dashed line is the imaginary part. Note the different scales for real and imaginary parts.

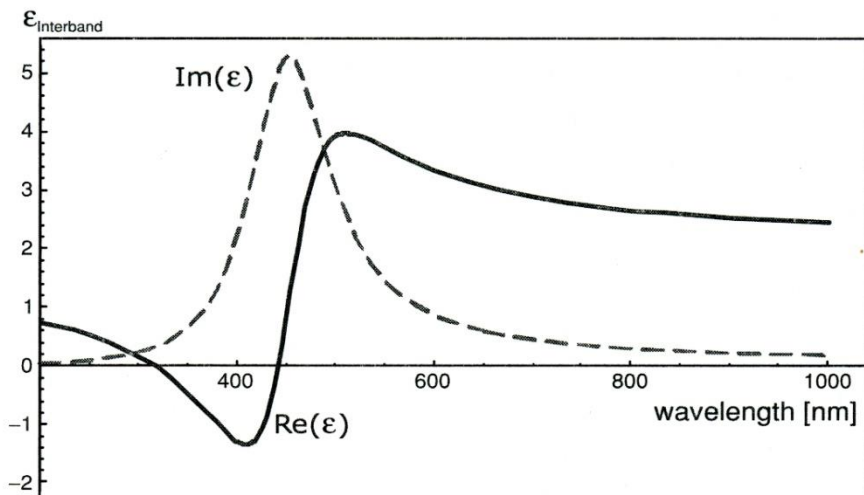


Figure 12.2 Contribution of bound electrons to the dielectric function of gold. The parameters used are  $\hbar\tilde{\omega}_p = 2.96 \text{ eV}$ ,  $\hbar\gamma = 0.59 \text{ eV}$ , and  $\omega_0 = 2\pi c/\lambda$ , with  $\lambda = 450 \text{ nm}$ . The solid line is the real part, the dashed curve is the imaginary part of the dielectric function associated with bound electrons.

## Die Fresnel-Gleichungen

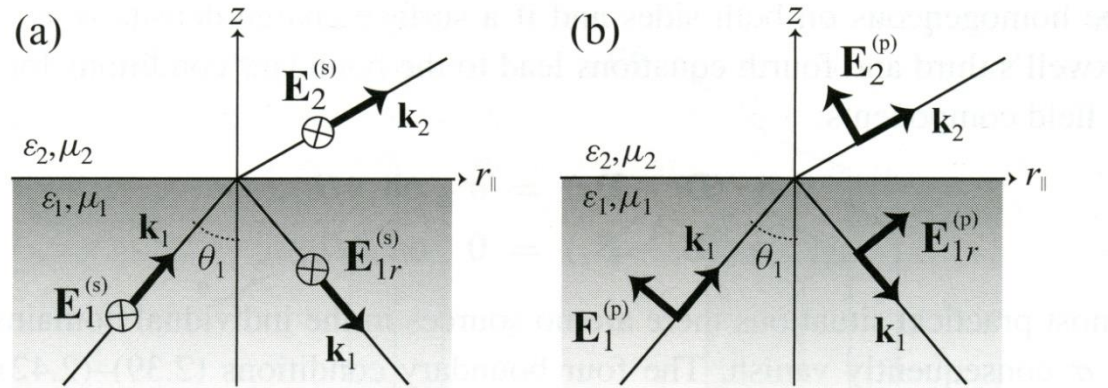


Figure 2.2 Reflection and refraction of a plane wave at a plane interface. (a) s-polarization, and (b) p-polarization.

Amplituden

$$\begin{aligned} E_{1r}^{(s)} &= E_1^{(s)} r^s(k_x, k_y), & E_{1r}^{(p)} &= E_1^{(p)} r^p(k_x, k_y), \\ E_2^{(s)} &= E_1^{(s)} t^s(k_x, k_y), & E_2^{(p)} &= E_1^{(p)} t^p(k_x, k_y), \end{aligned}$$

Reflexionskoeffizienten

$$r^s(k_x, k_y) = \frac{\mu_2 k_{z1} - \mu_1 k_{z2}}{\mu_2 k_{z1} + \mu_1 k_{z2}}, \quad r^p(k_x, k_y) = \frac{\varepsilon_2 k_{z1} - \varepsilon_1 k_{z2}}{\varepsilon_2 k_{z1} + \varepsilon_1 k_{z2}},$$

Transmissionskoeffizienten

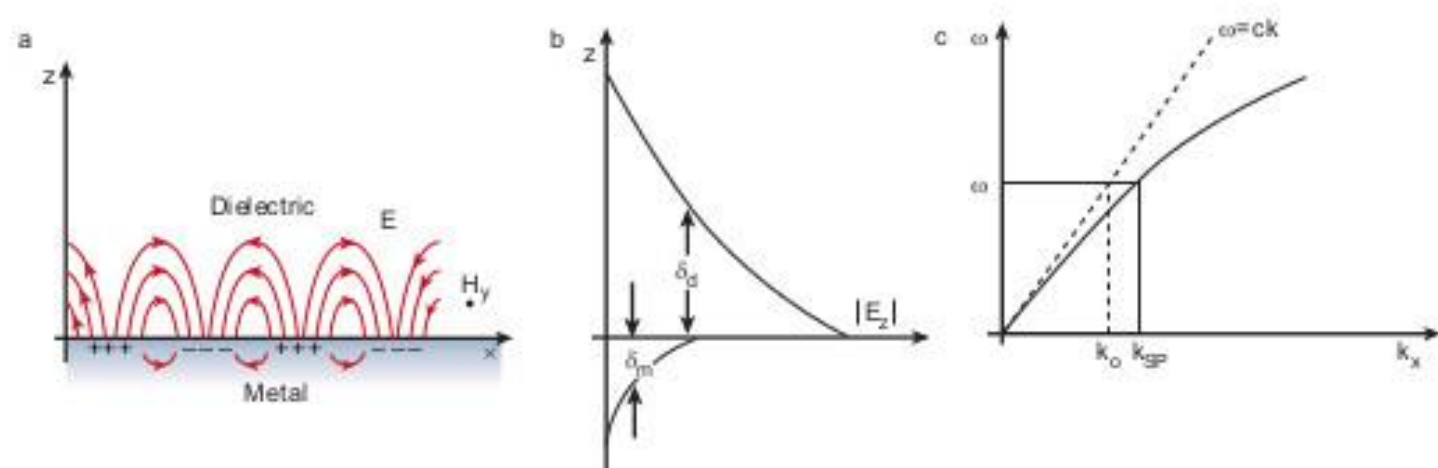
$$t^s(k_x, k_y) = \frac{2\mu_2 k_{z1}}{\mu_2 k_{z1} + \mu_1 k_{z2}}, \quad t^p(k_x, k_y) = \frac{2\varepsilon_2 k_{z1}}{\varepsilon_2 k_{z1} + \varepsilon_1 k_{z2}} \sqrt{\frac{\mu_2 \varepsilon_1}{\mu_1 \varepsilon_2}}.$$

# Oberflächenplasmonen

## Box 1 Surface plasmon basics

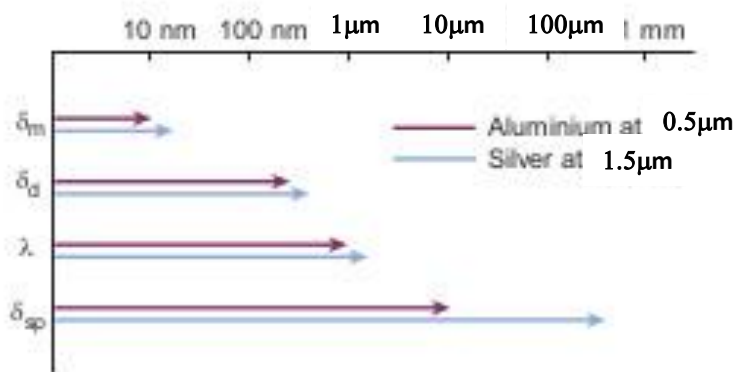
SPs at the interface between a metal and a dielectric material have a combined electromagnetic wave and surface charge character as shown in a. They are transverse magnetic in character ( $H$  is in the  $y$  direction), and the generation of surface charge requires an electric field normal to the surface.

This combined character also leads to the field component perpendicular to the surface being enhanced near the surface and decaying exponentially with distance away from it (b). The field in this perpendicular direction is said to be evanescent, reflecting the bound, non-radiative nature of SPs, and prevents power from propagating away from the surface. In the dielectric medium above the metal, typically air or glass, the decay length of the field,  $\delta_d$ , is of the order of half the wavelength of light involved, whereas the decay length into the metal,  $\delta_m$ , is determined by the skin depth. c, The dispersion curve for a SP mode shows the momentum mismatch problem that must be overcome in order to couple light and SP modes together, with the SP mode always lying beyond the light line, that is, it has greater momentum ( $\hbar k_{SP}$ ) than a free space photon ( $\hbar k_0$ ) of the same frequency  $\omega$ .



## Box 2

## Surface plasmon length scales



There are three characteristic length scales that are important for SP-based photonics in addition to that of the associated light. The propagation length of the SP mode,  $\delta_{sp}$ , is usually dictated by loss in the metal. For a relatively absorbing metal such as aluminium the propagation length is  $2\ \mu\text{m}$  at a wavelength of  $500\ \text{nm}$ . For a low loss metal, for example, silver, at the same wavelength it is increased to  $20\ \mu\text{m}$ . By moving to a slightly longer wavelength, such as  $1.55\ \mu\text{m}$ , the propagation length is further increased towards  $1\ \text{mm}$ . The propagation length sets the upper size limit for any photonic circuit based on SPs. The decay length in the dielectric material,  $\delta_d$ , is typically of the order of half the wavelength of light involved and dictates the maximum height of any individual features, and thus components, that might be used to control SPs. The ratio of  $\delta_{sp}:\delta_d$  thus gives one measure of the number of SP-based components that may be integrated together. The decay length in the metal,  $\delta_m$ , determines the minimum feature size that can be used; as shown in the diagram, this is between one and two orders of magnitude smaller than the wavelength involved, thus highlighting the need for good control of fabrication at the nanometre scale. The combinations chosen give an indication of range from poor (Al at  $0.5\ \mu\text{m}$ ) to good (Ag at  $1.5\ \mu\text{m}$ ) SP performance.

## Oberflächenplasmonen: relevante Längenskalen

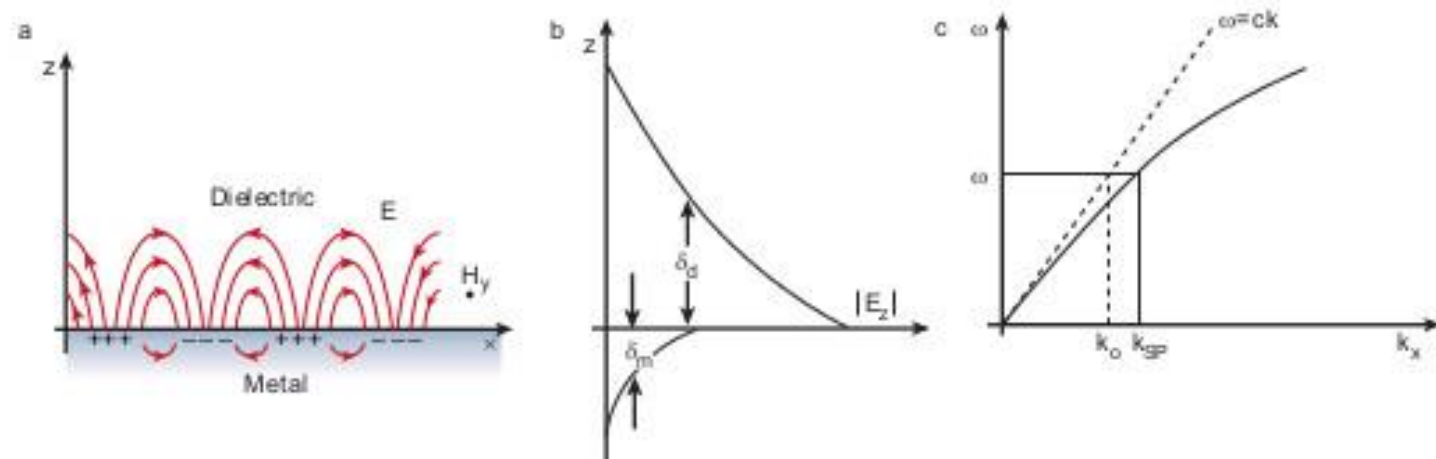
Quelle: Barnes et al., Nature 424, 824 (2003)

# Oberflächenplasmonen

## Box 1 Surface plasmon basics

SPs at the interface between a metal and a dielectric material have a combined electromagnetic wave and surface charge character as shown in a. They are transverse magnetic in character ( $H$  is in the  $y$  direction), and the generation of surface charge requires an electric field normal to the surface.

This combined character also leads to the field component perpendicular to the surface being enhanced near the surface and decaying exponentially with distance away from it (b). The field in this perpendicular direction is said to be evanescent, reflecting the bound, non-radiative nature of SPs, and prevents power from propagating away from the surface. In the dielectric medium above the metal, typically air or glass, the decay length of the field,  $\delta_d$ , is of the order of half the wavelength of light involved, whereas the decay length into the metal,  $\delta_m$ , is determined by the skin depth. c, The dispersion curve for a SP mode shows the momentum mismatch problem that must be overcome in order to couple light and SP modes together, with the SP mode always lying beyond the light line, that is, it has greater momentum ( $\hbar k_{SP}$ ) than a free space photon ( $\hbar k_0$ ) of the same frequency  $\omega$ .



## Dispersionsrelation von Oberflächenplasmonen

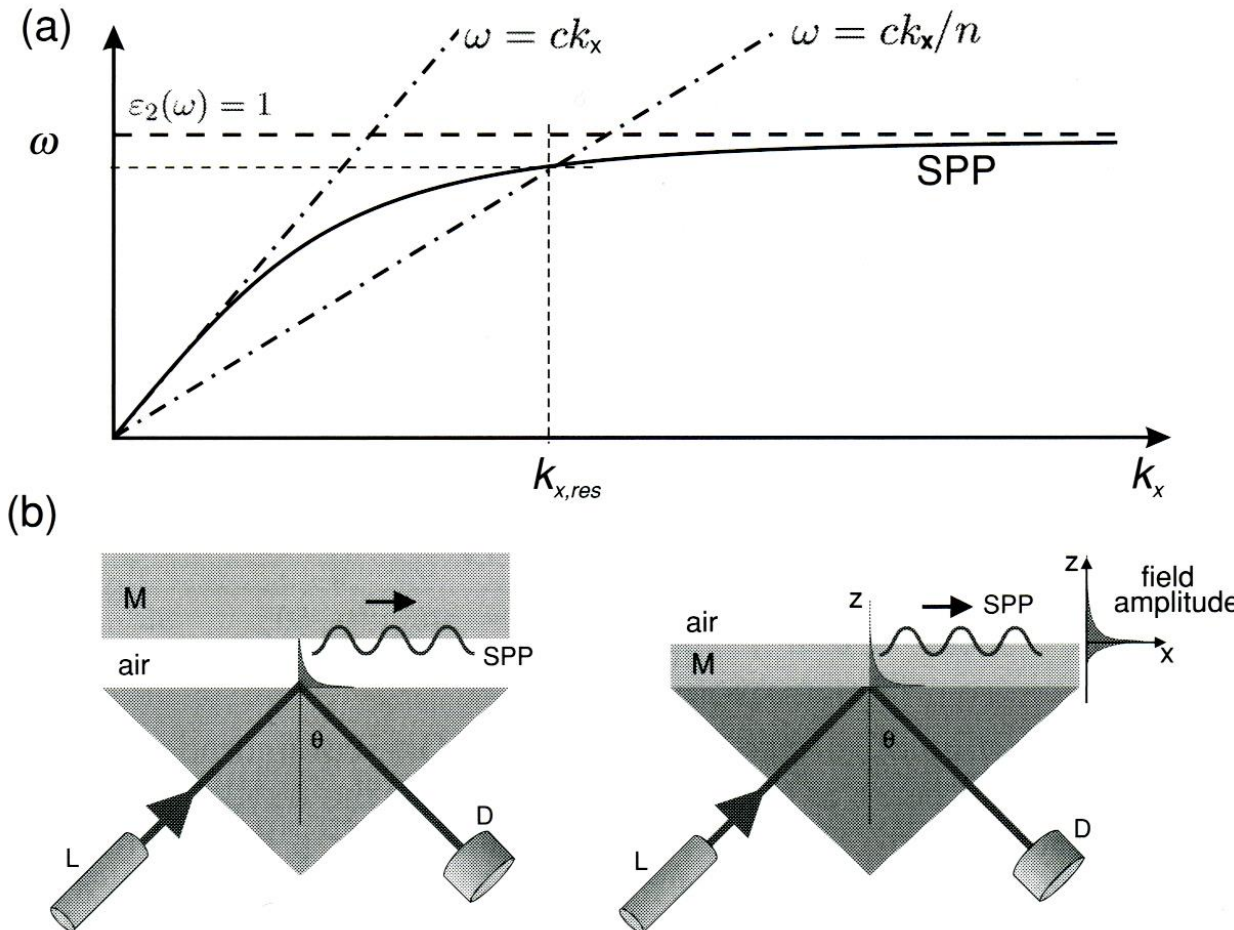
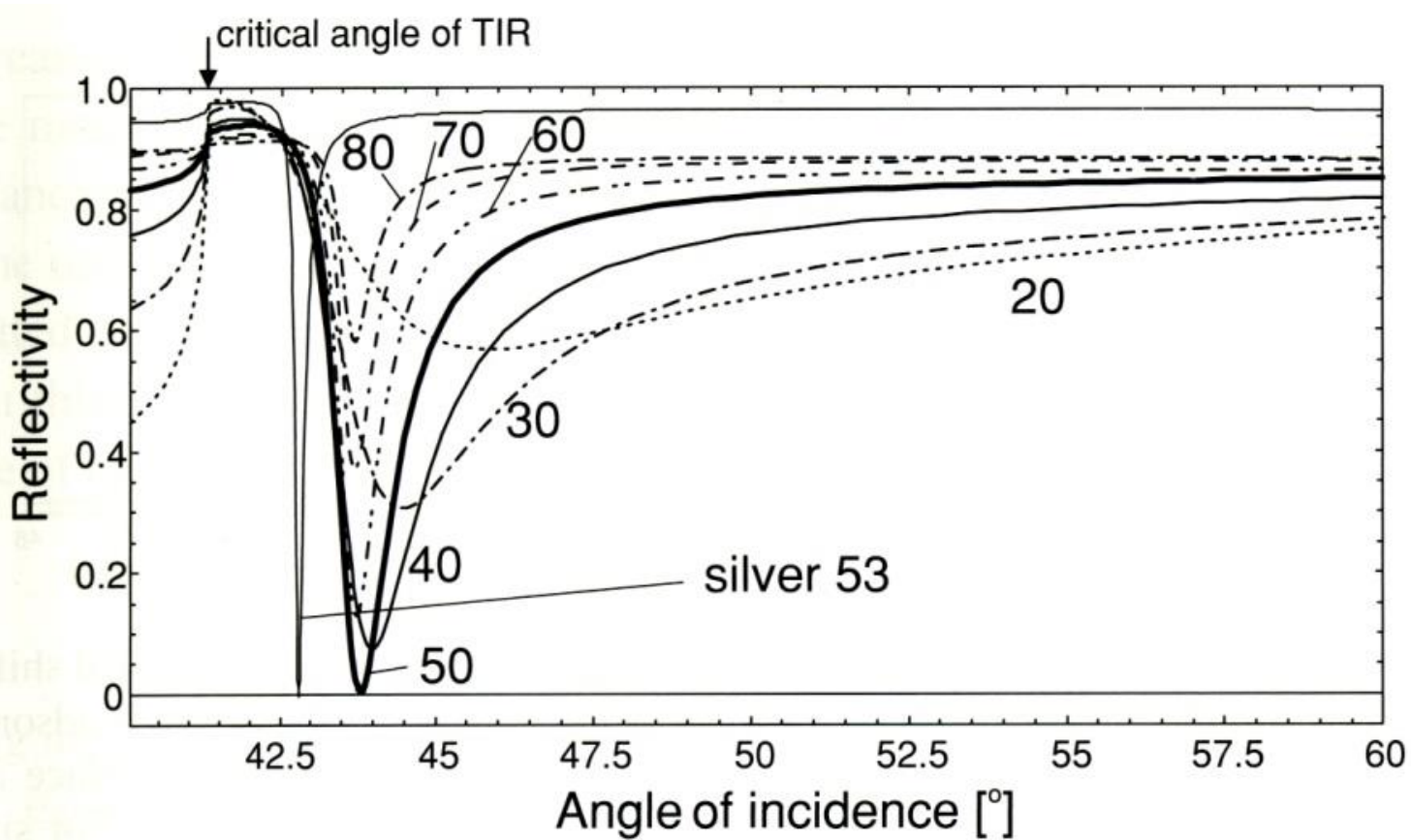


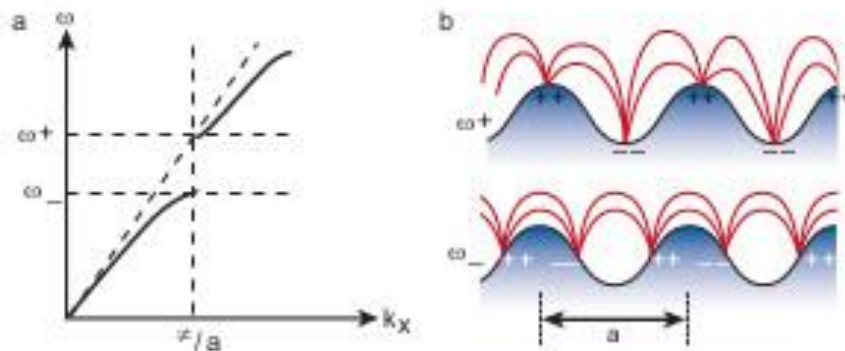
Figure 12.6 Excitation of surface plasmons. (a) Close-up of the dispersion relation with the free-space light line and the tilted light line in glass. (b) Experimental arrangements to realize the condition sketched in (a). Left: Otto configuration. Right: Kretschmann configuration. L: laser, D: detector, M: metal layer.

## Anregung von Oberflächenwellen in der Kretschmann-Konfiguration für Goldfilme verschiedener Dicke (in nm)



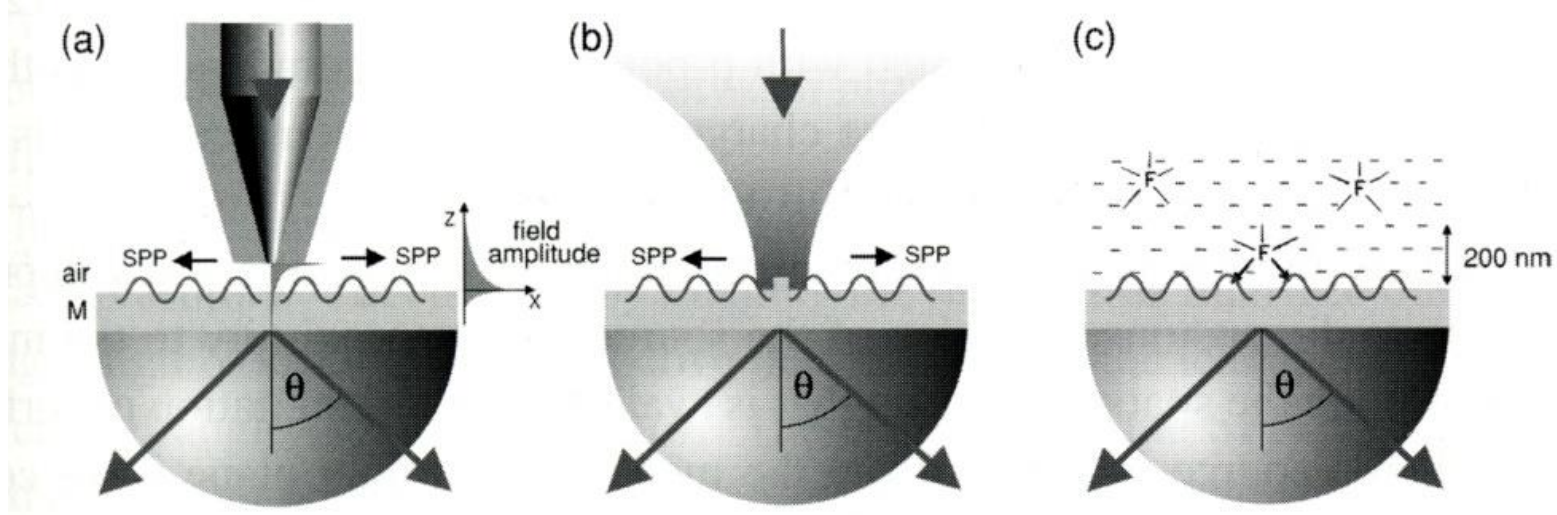
## Box 3

## Surface plasmon bandgaps



Periodic texturing of the metal surface can lead to the formation of an SP photonic bandgap when the period,  $a$ , is equal to half the wavelength of the SP, as shown in the dispersion diagram (a). Just as for electron waves in crystalline solids, there are two SP standing wave solutions, each with the same wavelength but, owing to their different field and surface charge distributions, they are of different frequencies. The upper frequency solution,  $\omega_+$ , is of higher energy because of the greater distance between the surface charges and the greater distortion of the field, as shown schematically in b. SP modes with frequencies between the two band edges,  $\omega_+$  and  $\omega_-$ , cannot propagate, and so this frequency interval is known as a stop gap. By providing periodic texture in two dimensions, SP propagation in all in-plane directions can be blocked, leading to the full bandgap for SPs. At the band edges the density of SP states is high, and there is a significant increase in the associated field enhancement.

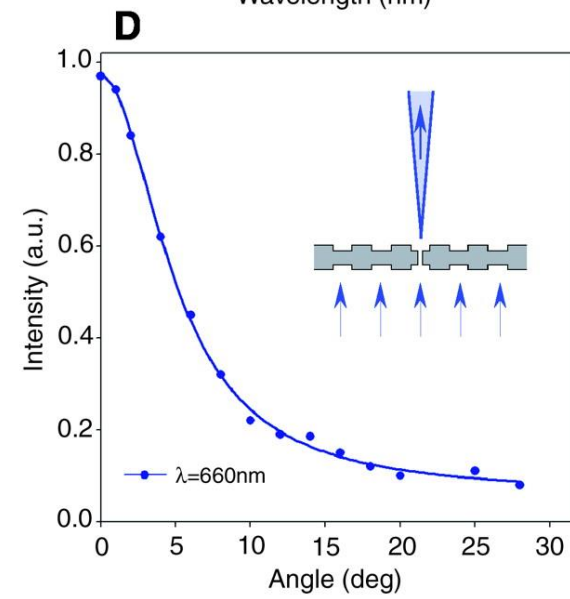
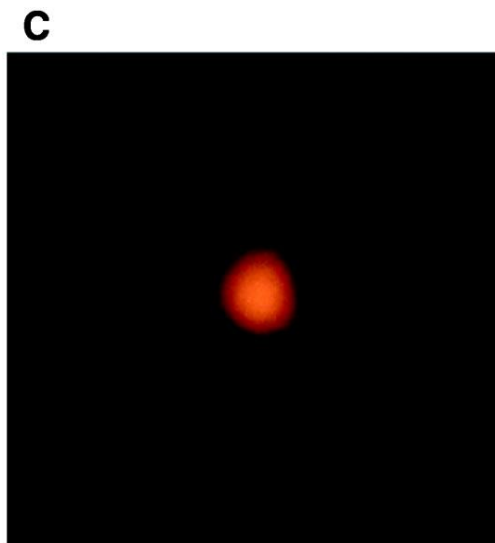
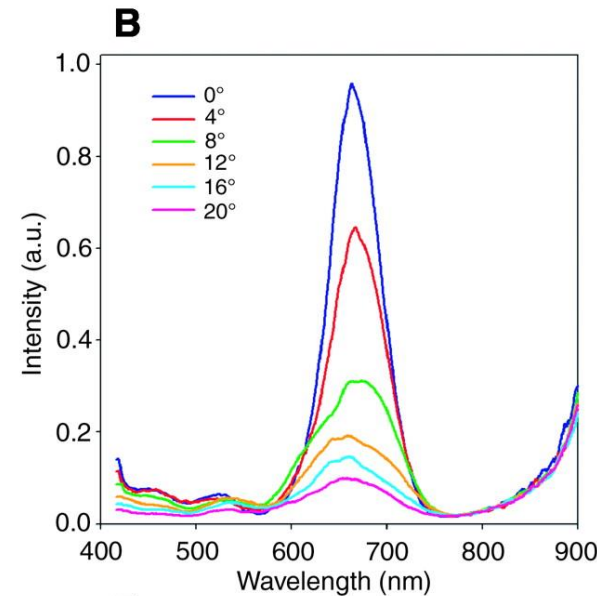
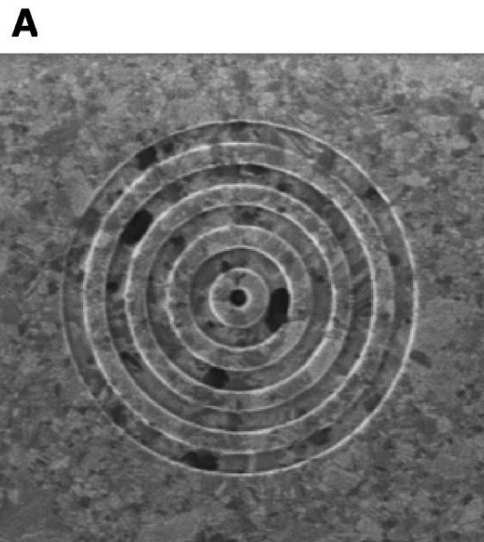
Anregung von Oberflächenplasmonen durch periodischer Gitterkoppler



Lokale Anregung von Oberflächenplasmonen durch verschiedene eingeschränkte Lichtfelder: (a) Sub-Wellenlänge-Öffnung,  
(b) bestrahltes Nanoteilchen, (c) fluoreszierende Moleküle

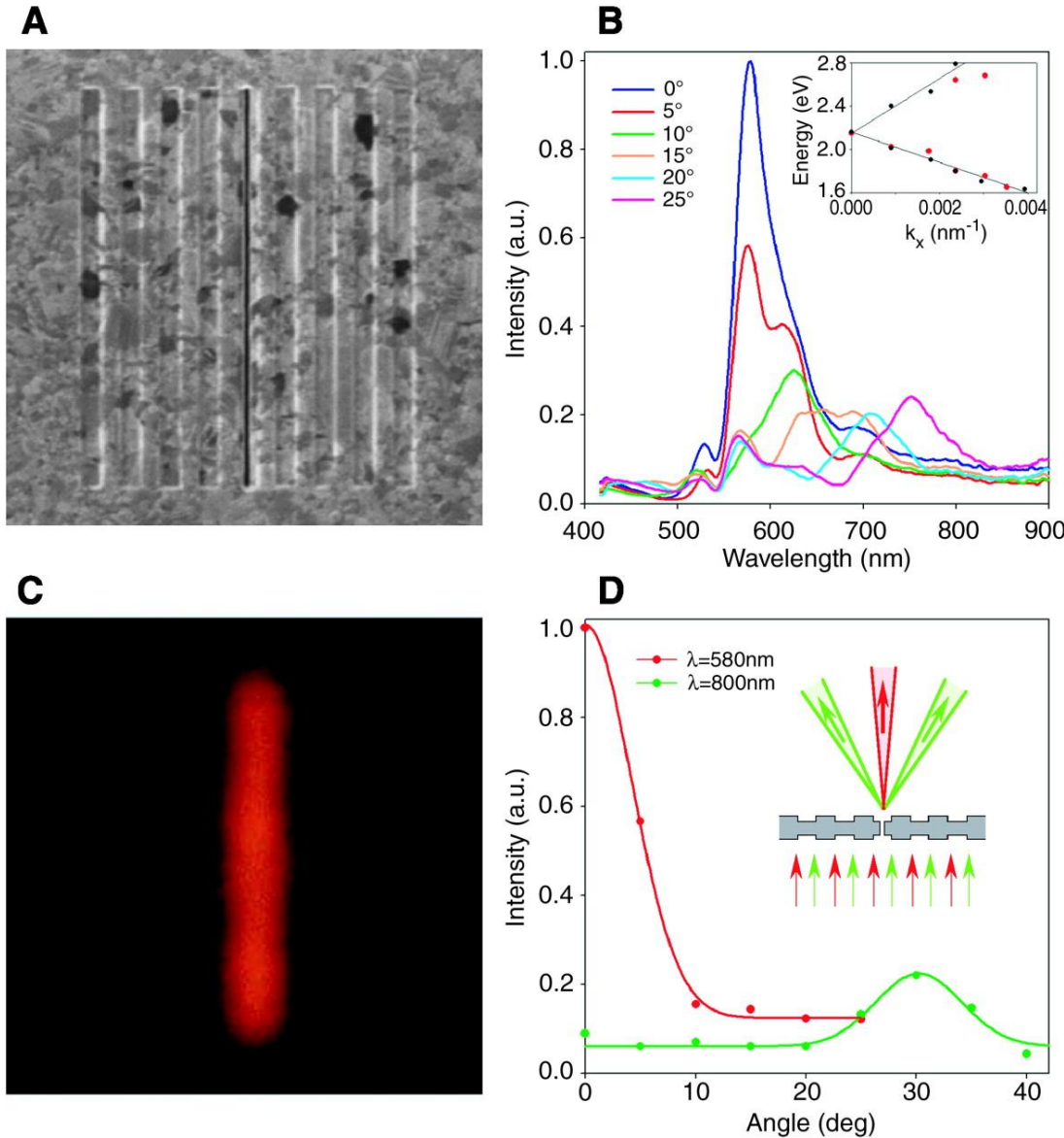
# Anregung von Oberflächenwellen durch Sub-Wellenlängen-Öffnungen

cylindrical hole in  
a suspended Ag film  
(groove periodicity, 500 nm;  
groove depth, 60 nm;  
hole diameter, 250 nm;  
film thickness, 300 nm).



# Anregung von Oberflächenwellen durch Sub-Wellenlängen-Öffnungen

parallel  
grooves on both sides  
of a suspended Ag film  
(slit width, 40 nm;  
slit length, 4400 nm;  
groove periodicity, 500 nm;  
groove depth, 60 nm;  
film thickness, 300 nm)



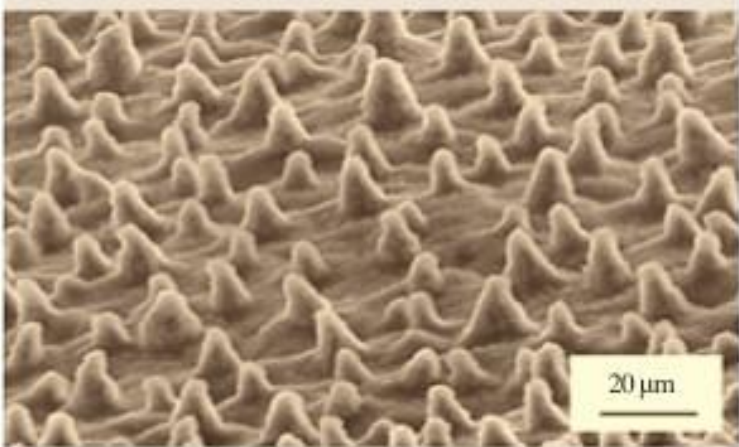
## Streuung und Absorption von Licht durch Plasmonenmoden in kleinen Goldteilchen



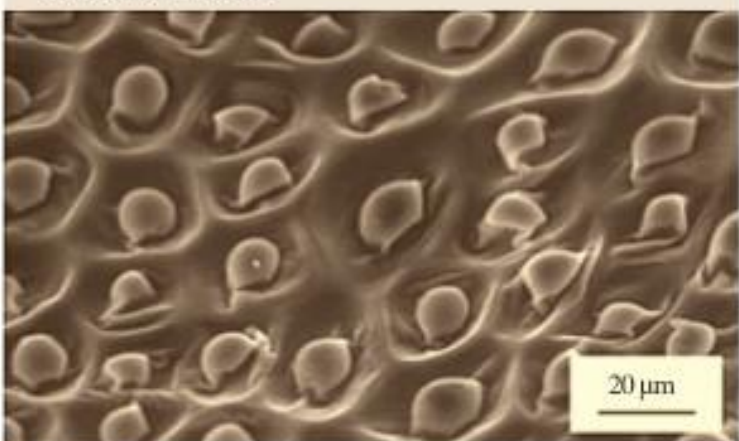
Abb. 2 Der „Lycius-Kelch“ aus dem 4. Jahrhundert erscheint im reflektierten Licht grün. Wird er jedoch von innen beleuchtet, dann erstrahlt er in einem satten Rot.

## Der Lotus-Effekt

*Nelumbo nucifera* (lotus)



*Colocasia esculenta*



**Fig. 50.35** SEM micrographs of two hydrophobic leaves, *Nelumbo nucifera* (lotus) and *Colocasia esculenta*



Lotus

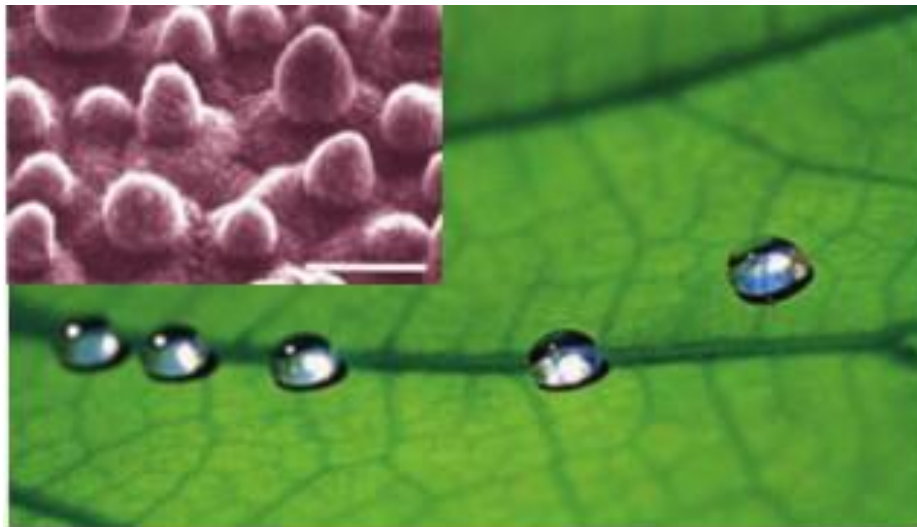


Taro

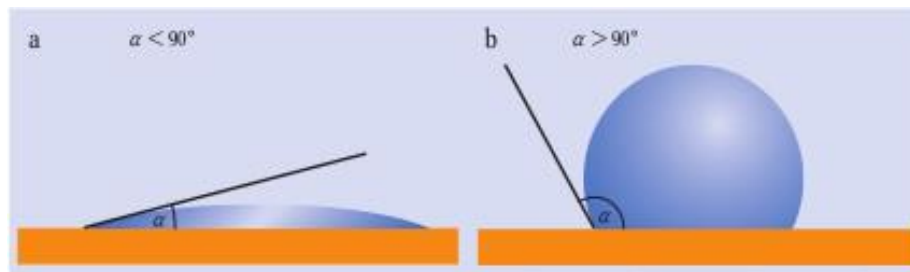
Quelle: Wikipedia

Quelle: Bushan, Nanotechnology, Springer 2003

## Der Lotus-Effekt



Regentropfen perlen vom Blatt der Lotuspflanze (*Nelumbo nucifera*) einfach ab. Das liegt an der mikrofeinen Noppenstruktur auf der Blattoberfläche, die erst unter dem Rasterelektronenmikroskop (Inset) zu erkennen ist. (Quelle: W. Barthlott, Uni Bonn)

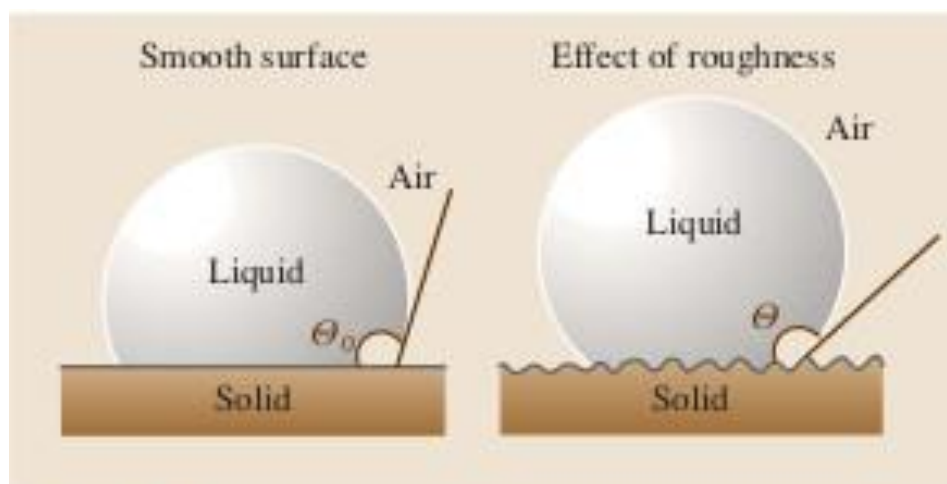


Bei Randwinkeln unterhalb von  $90^\circ$  (a) gilt eine Oberfläche als hydrophil und das Wasser breitet sich aus. Ist der Randwinkel dagegen größer als  $90^\circ$  (b), so spricht

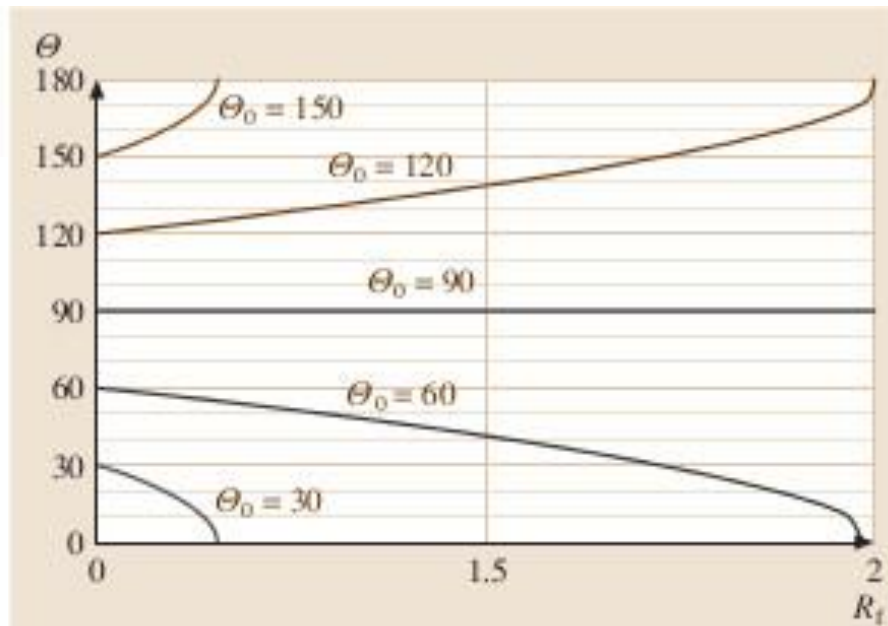
man von hydrophoben Oberflächen, auf denen sich das Wasser zu Tropfen zusammenzieht und leichter abperlen kann.

Quelle: K. Bammel, Physik Journal 4, 48 (2005)

## Der Lotus-Effekt



**Fig. 50.36** Droplet of liquid in contact with a smooth solid surface (contact angle  $\theta_0$ ) and rough solid surface (contact angle  $\theta$ ) [50.173]



**Fig. 50.37** Contact angle for rough surface ( $\theta$ ) as a function of the roughness factor ( $R_f$ ) for various contact angles for a smooth surface ( $\theta_0$ ) [50.173]

## Superhydrophobizität („Lotus-Effekt“)

Der **Lotus-Effekt** beschreibt die **Selbstreinigungsfähigkeit** von Blättern.

Namensgeber ist die Lotuspflanze: Wasser perlt von ihrem Blättern ab, ohne sie zu benetzen.

Diese Eigenschaft nennt man **hydrophob**.

Auch einheimische Pflanzen wie die Kapuzinerkresse, die Akelei und der Kohlrabi zeigen diesen Effekt.



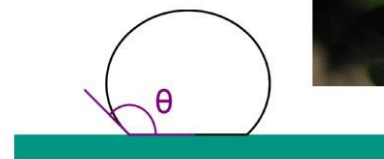
Blatt einer Akelei, Verschmutzung (durch Curry-Pulver simuliert) perlt mit Wasser einfach ab..

## Superhydrophobizität („Lotus-Effekt“)

Geranie (hydrophil)

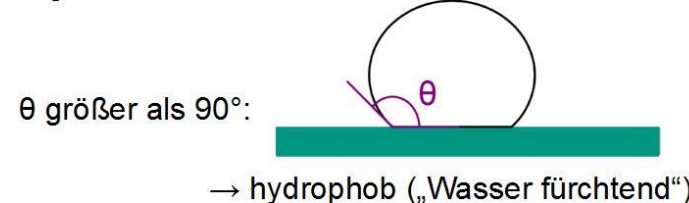
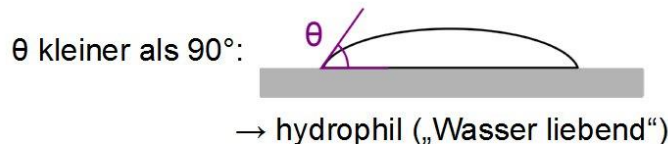


Akelei (hydrophob)

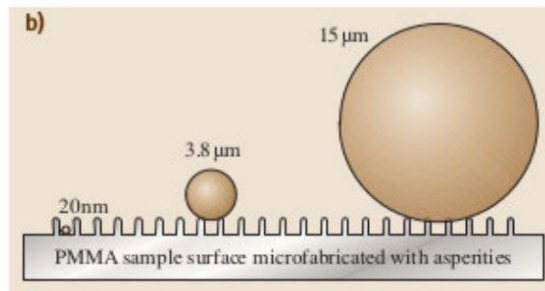


## Superhydrophobizität („Lotus-Effekt“)

In Abhängigkeit vom Kontaktwinkel  $\theta$  werden Oberflächen eingeteilt:



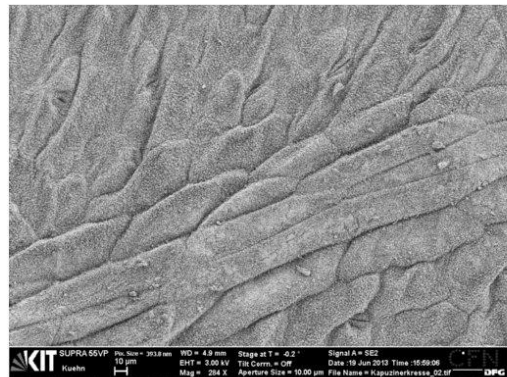
Durch Strukturierung können die hydrophoben Eigenschaften noch weiter verstärkt werden (Superhydrophobizität):



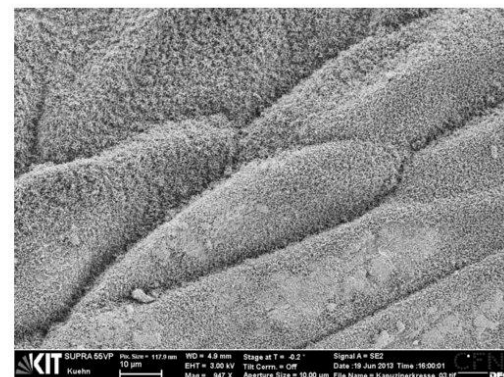
Quelle:  
 B. Bushan: „Springer Handbook of Nanotechnology“,  
 Springer, 2007.

## Blattoberfläche von Kapuzinerkresse

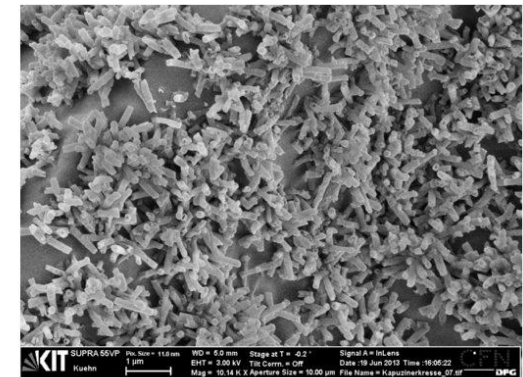
280 ×



950 ×



10 000 × vergrößert

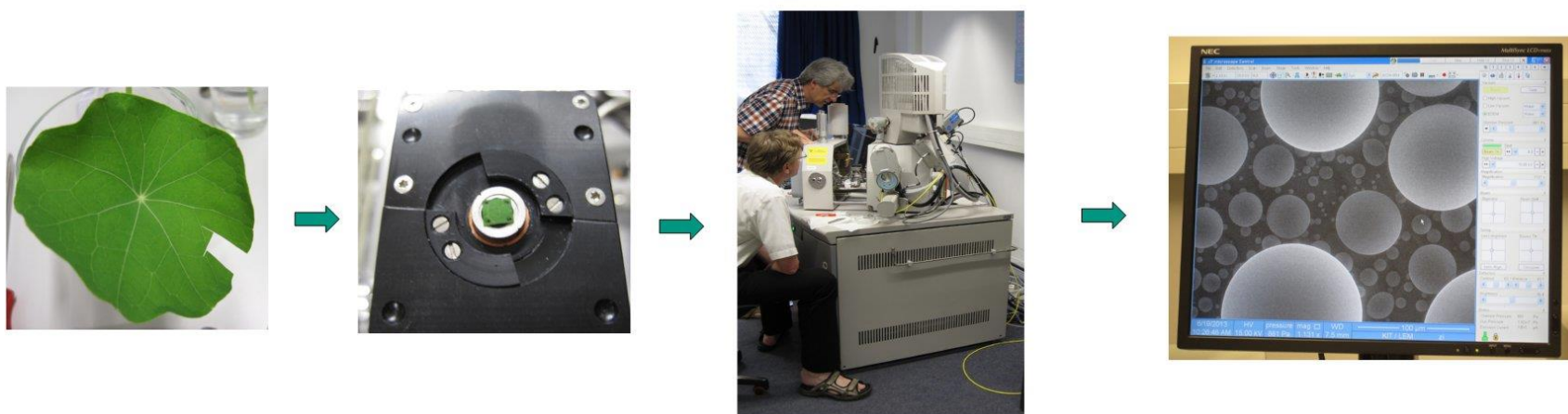


Nanoskalige Wachsstruktur verstärkt hydrophobe Eigenschaften der Blattoberfläche → Lotus-Effekt

Blattoberfläche einer getrockneten Kapuzinerkresse im Rasterelektronenmikroskop bei etwa 280- (links), 950- (Mitte) und schließlich 10 000-facher Vergrößerung (rechts). Zu erkennen ist die nanoskalige Wachsstruktur, der die superhydrophoben Eigenschaften der Kresse zugeschrieben werden.

## Environmental Scanning Electron Microscope (ESEM) im Laboratorium für Elektronenmikroskopie (LEM)

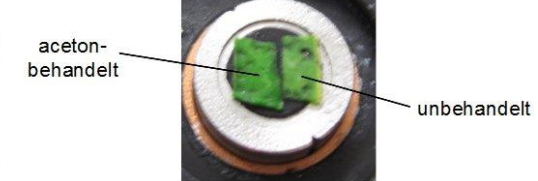
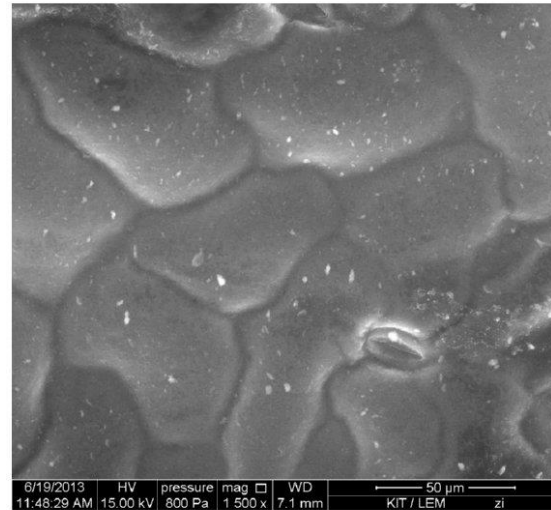
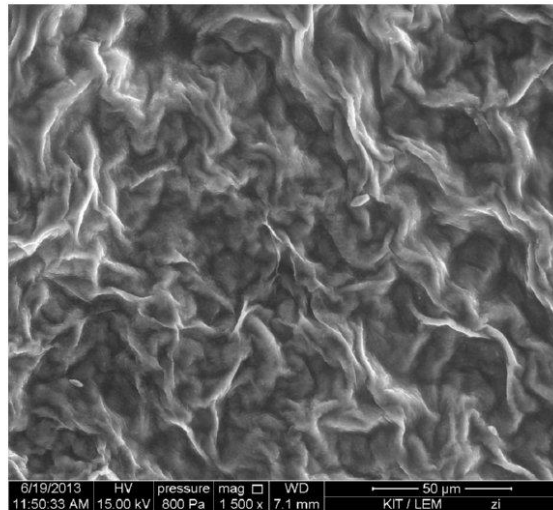
Im Gegensatz zu herkömmlichen Rasterelektronenmikroskopen können im ESEM Proben untersucht werden, die vorher nicht getrocknet und metallisiert werden müssen, was vor allem biologische Proben stark verändern würde. Es ist sogar möglich, auf der gekühlten Probe Wasserdampf zu kondensieren.



Untersuchung von Superhydrophobizität (Lotus-Effekt) bei der Kapuzinerkresse. Im ESEM wurde auf einem kleinen Blattstück Wasserdampf kondensiert, um die Tröpfchenbildung bei über 1000-facher Vergrößerung auf der Blattoberfläche zu beobachten.

## Zerstörung der Superhydrophobizität von Kapuzinerkresse

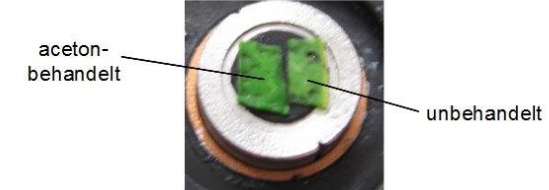
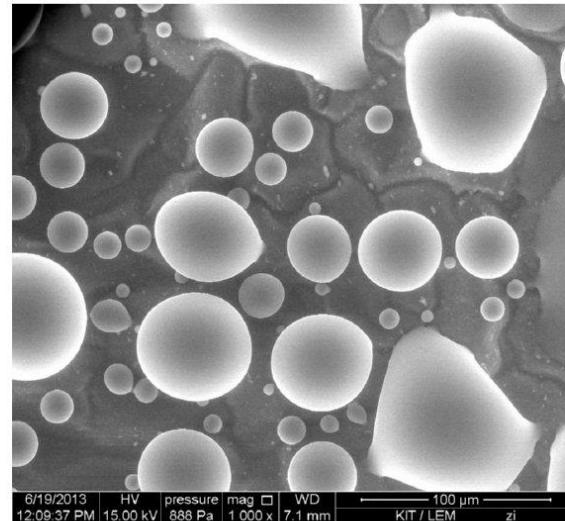
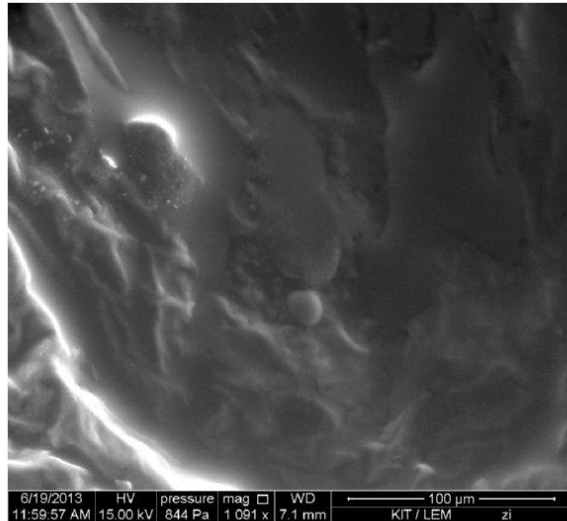
Durch Behandlung mit organischen Lösemitteln oder Seife kann die Wachsschicht auf den Blättern beschädigt werden. Die superhydrophoben Eigenschaften werden dadurch zerstört.



ESEM-Bilder von Kapuzinerkresse. Das linke Bild zeigt eine mit Aceton behandelte Oberfläche, das rechte eine unbehandelte (Vergrößerung 1500-fach).

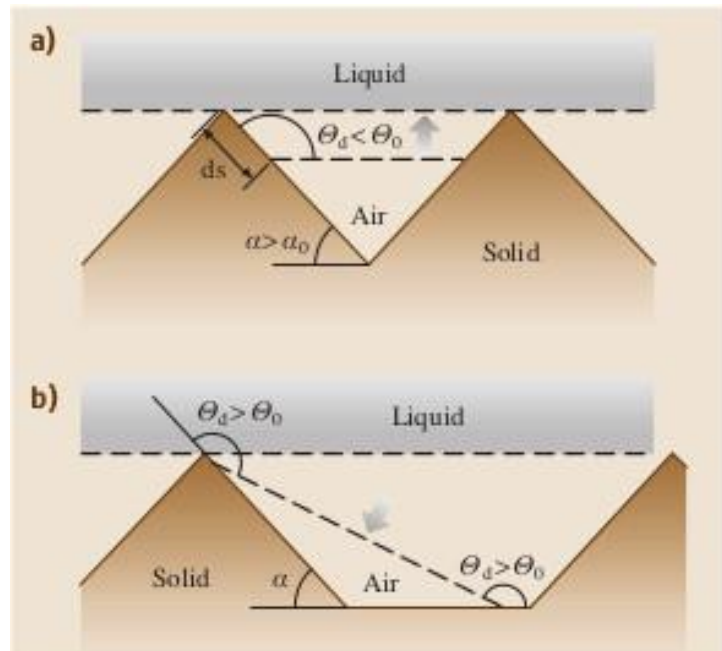
## Zerstörung der Superhydrophobizität von Kapuzinerkresse

Durch Behandlung mit organischen Lösemitteln oder Seife kann die nanostrukturierte Wachsschicht auf den Blättern beschädigt werden. Die superhydrophoben Eigenschaften werden dadurch zerstört.

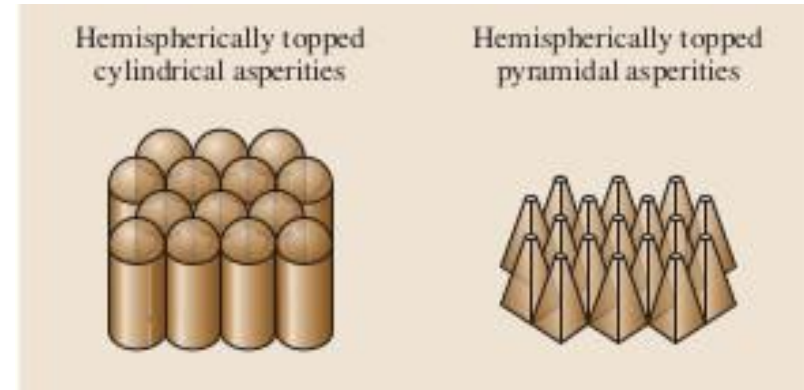


Bei der Kondensation von Wasserdampf zeigt sich der Unterschied in den ESEM-Bildern. Auf der unbehandelten Blattoberfläche perlt das Wasser ab (rechts). Auf der mit Aceton behandelten Oberfläche (links) dagegen breitet sich das Wasser aus (Vergrößerung jeweils ca. 1000-fach).

# Der Lotus-Effekt

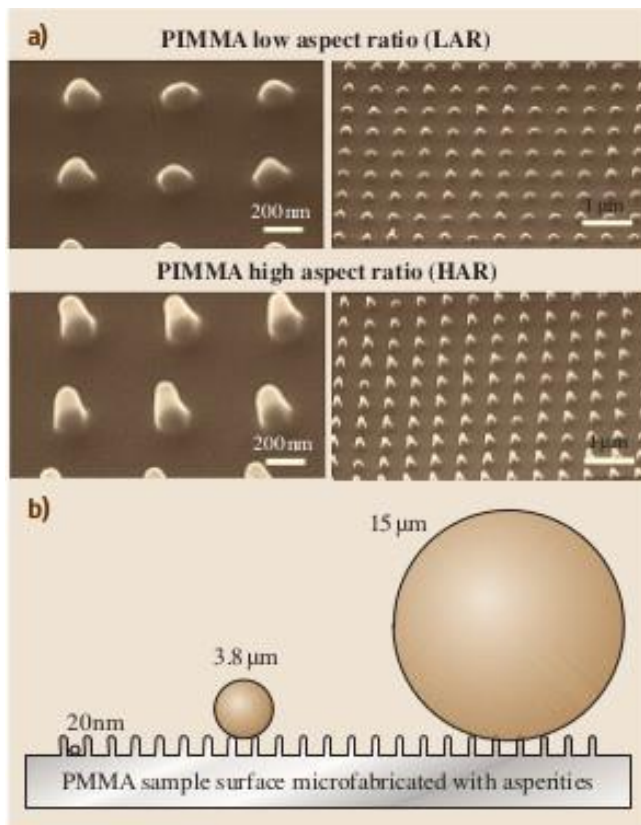


**Fig. 50.38** (a) Formation of a composite solid–liquid–air interface for sawtooth and smooth profiles, and (b) destabilization of the composite interface for the sawtooth and smooth profiles due to dynamic effects. The dynamic contact angle  $\theta_d > \theta_0$  corresponds to an advancing liquid–air interface, whereas  $\theta_d < \theta_0$  corresponds to a receding interface [50.176]

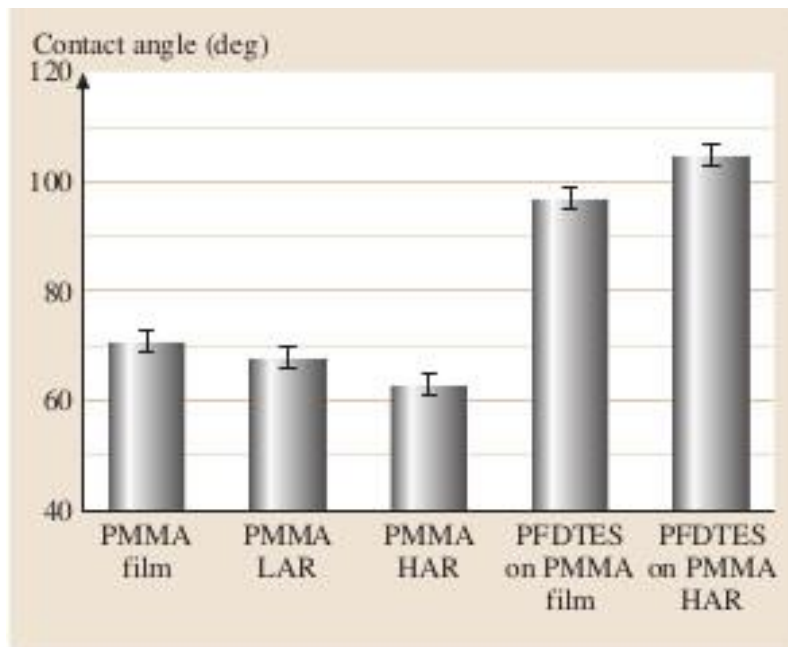


**Fig. 50.39** Optimized roughness distribution – hemispherically topped cylindrical asperities and pyramidal asperities with square foundation and rounded tops. The square base gives a higher packing density but introduces undesirable sharp edges [50.173]

## Der Lotus-Effekt

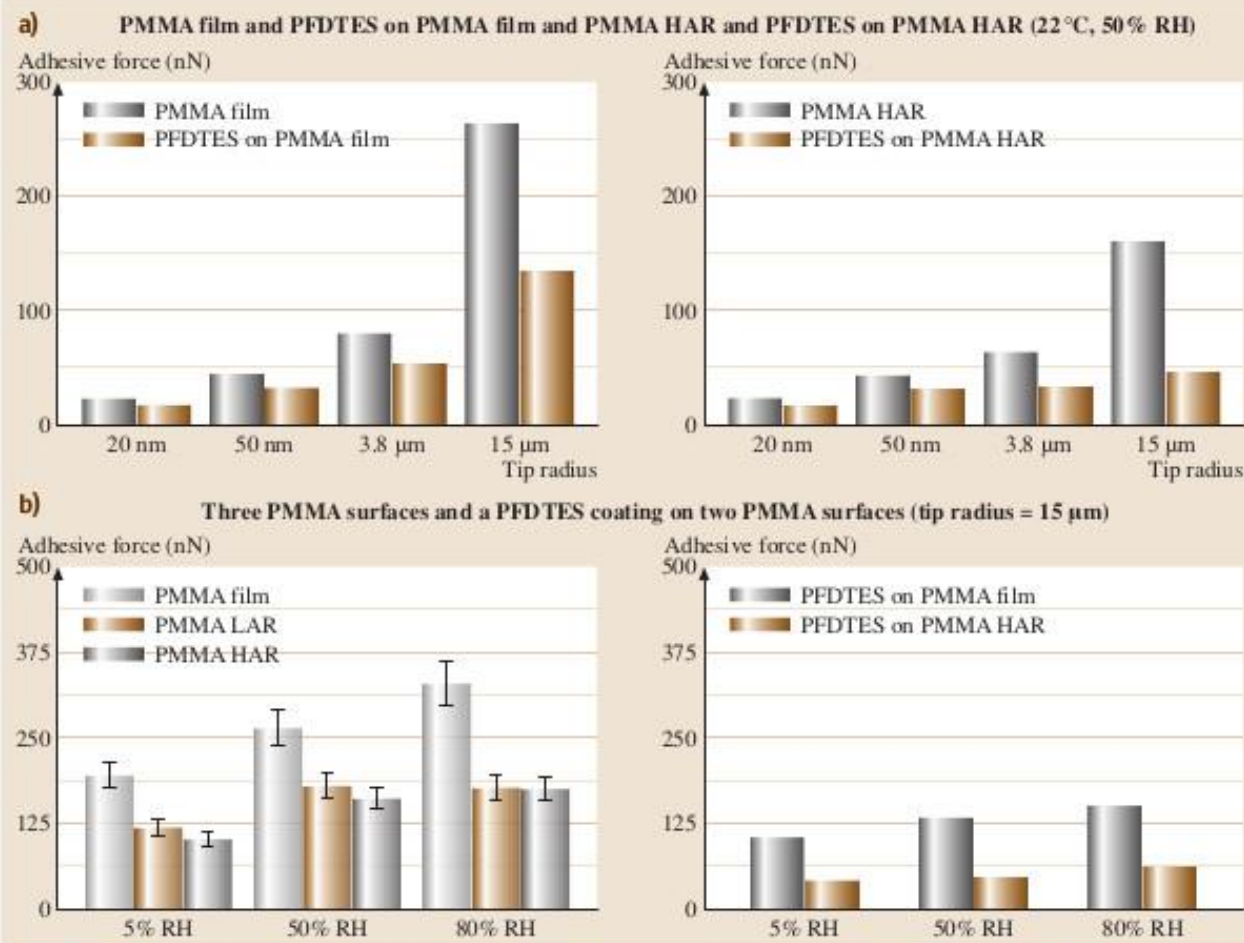


**Fig. 50.40** (a) SEM micrographs of the patterned polymer surfaces. Both LAR and HAR are shown at two magnifications to see both the asperity shape and the asperity pattern on the surface. (b) Cartoon showing the effect of different radii on the patterned surface. Small radii can fit between asperities, while large radii rest on top of the asperities



**Fig. 50.41** Bar chart showing the contact angles for different materials and for different roughnesses [50.177]

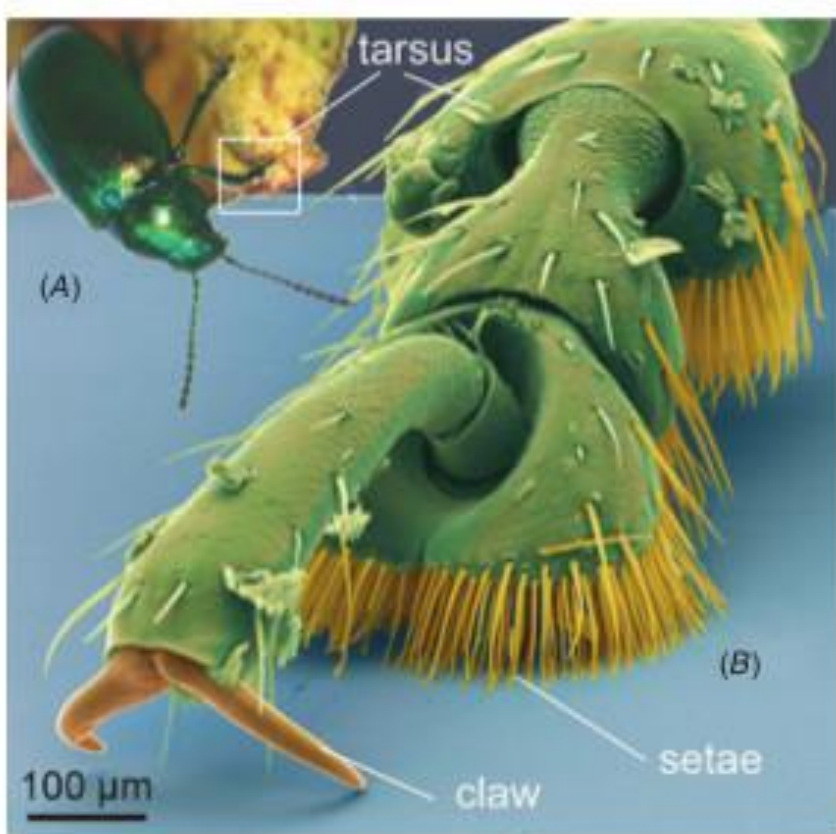
# Der Lotus-Effekt



**Fig. 50.42** (a) Scale-dependent adhesive force for PMMA film versus PFDTES on PMMA film and PMMA HAR versus PFDTES on PMMA HAR (top), and (b) the effect of relative humidity on the adhesive force for PMMA film, LAR and HAR and for PFDTES on PMMA film and HAR [50.177]

Quelle: Bushan, Nanotechnology, Springer 2003

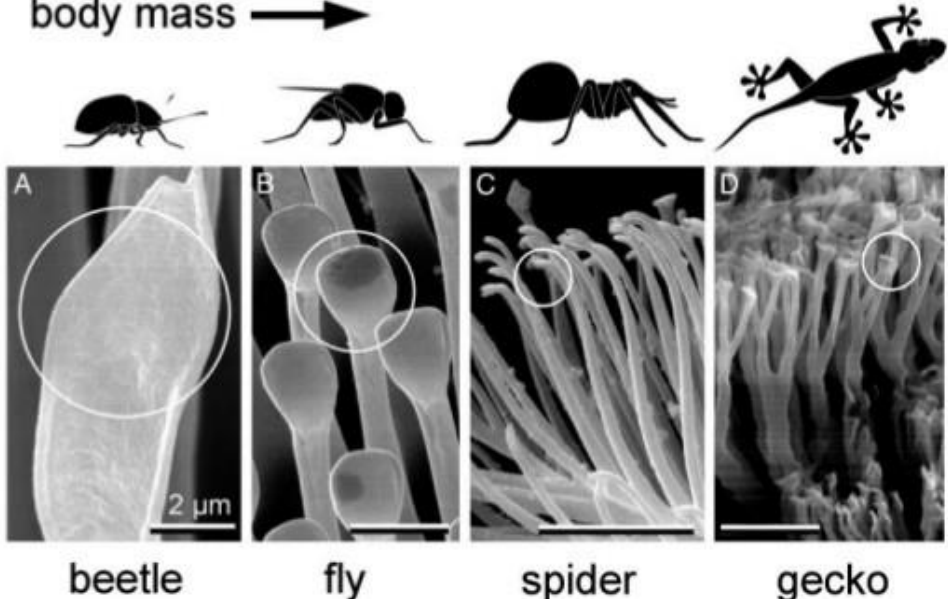
## Haftsystem der Grünen Sauerampferkäfers (*Gastrophysa viridula*)



Attribution: James Lindsey at  
[Ecology of Commanster](#)

**Figure 3.** An example of the hairy attachment system. Tarsus (B) of the chrysomelid beetle *Gastrophysa viridula* (A) attached to the smooth surface (Gorb 2005) (colored scanning electron microscopy picture is the courtesy of Juergen Berger, MPI for Developmental Biology, Tuebingen, Germany).

body mass →



## Haftsysteme in der Tierwelt

Fig. 1. Terminal elements (circles) in animals with hairy design of attachment pads. Note that heavier animals exhibit finer adhesion structures.

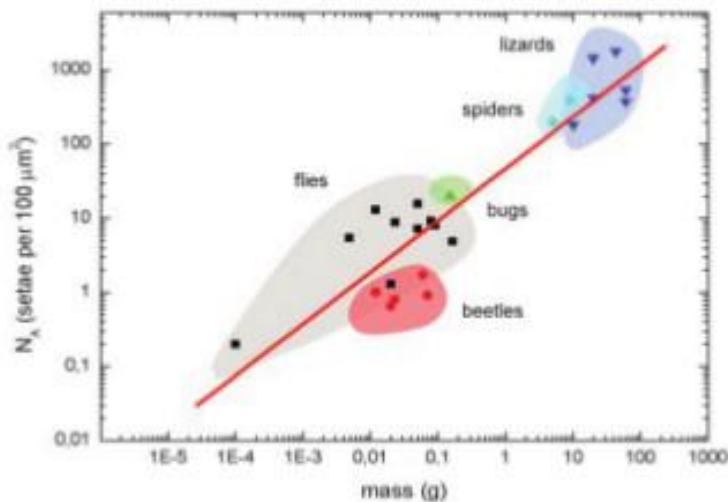
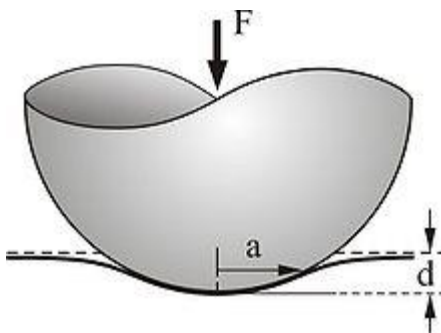


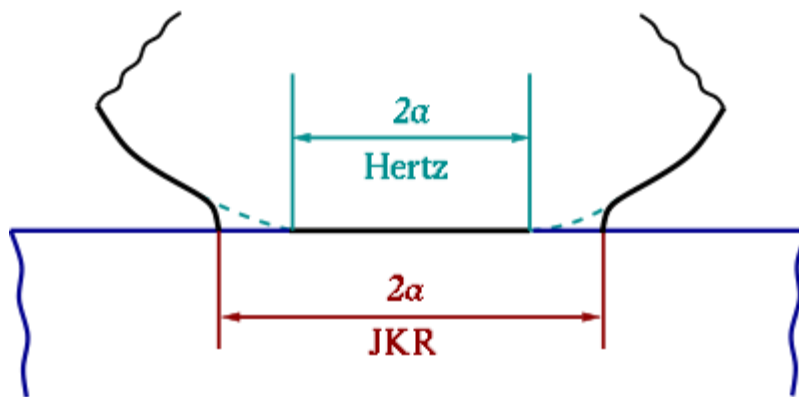
Fig. 2. Dependence of the terminal element density ( $N_A$ ) of the attachment pads on the body mass ( $m$ ) in hairy-pad systems of diverse animal groups ( $\log N_A(m^{-2}) = 13.8 + 0.699 \log m(kg)$ ,  $R = 0.919$ ).

Quelle: E. Arzt, PNAS 100, 10603 (2003)

Kontakt zwischen einer Kugel und einem  
elastischen Halbraum...



...im Hertz-Modell



...im Johnson-Kendall-  
Roberts-Modell

Quelle: Wikipedia

[http://commons.wikimedia.org/wiki/File:Kontakt\\_Kugel\\_Ebene.jpg](http://commons.wikimedia.org/wiki/File:Kontakt_Kugel_Ebene.jpg)

<http://en.wikipedia.org/wiki/File:JKRModel.svg>

## Der Gecko-Effekt

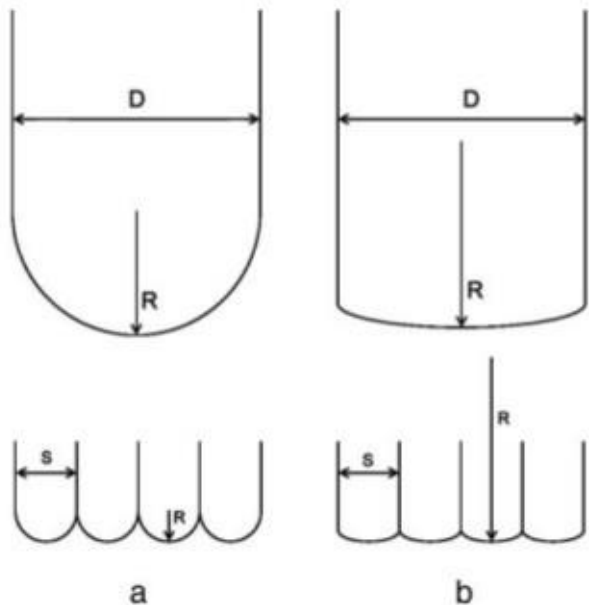


Fig. 4. Two cases of contact scaling. (a) Self-similarity: contact radius  $R$  scales with contact size  $s$ . (b) Curvature invariance: contact radius is independent of contact size.

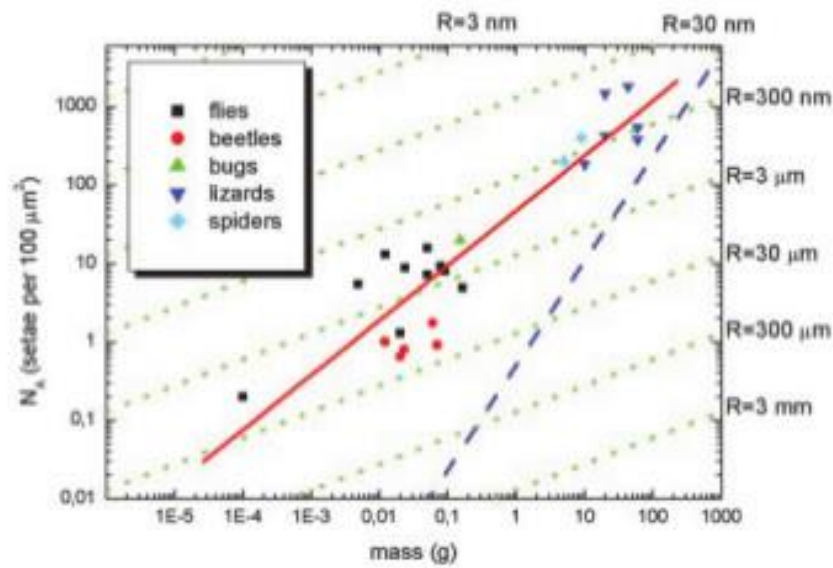


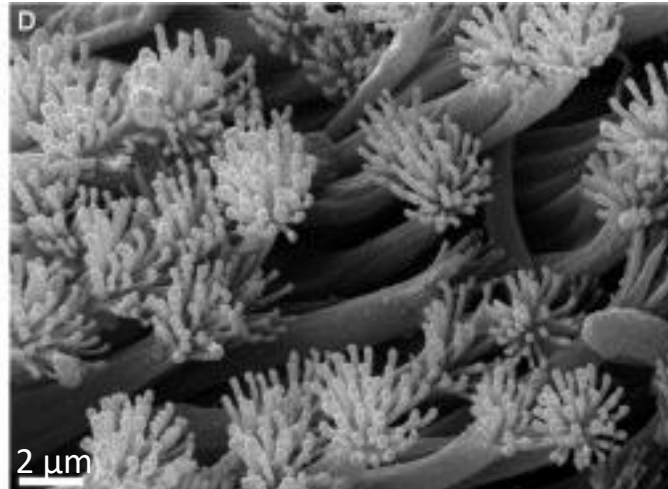
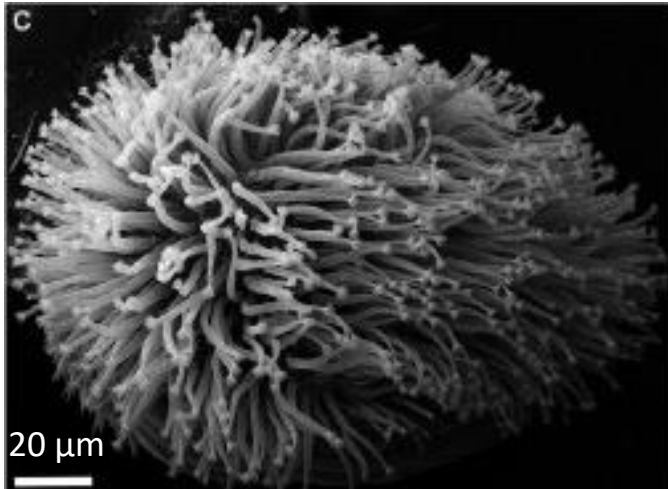
Fig. 3. Interpretation of Fig. 2 in light of contact theory. A fit to all data (red line) gives a slope of  $\sim -2/3$ , corresponding to the self-similarity criterion. Within each lineage, a lower slope of  $\sim -1/3$  is found, suggesting curvature invariance of the contacts with radius  $R$  (green lines). The approximate limit for such attachment devices (limit of maximum contact) is shown as a blue line.

*Stenus bimaculatus* (Kurzflügler)

## Haftsysteme in der Tierwelt

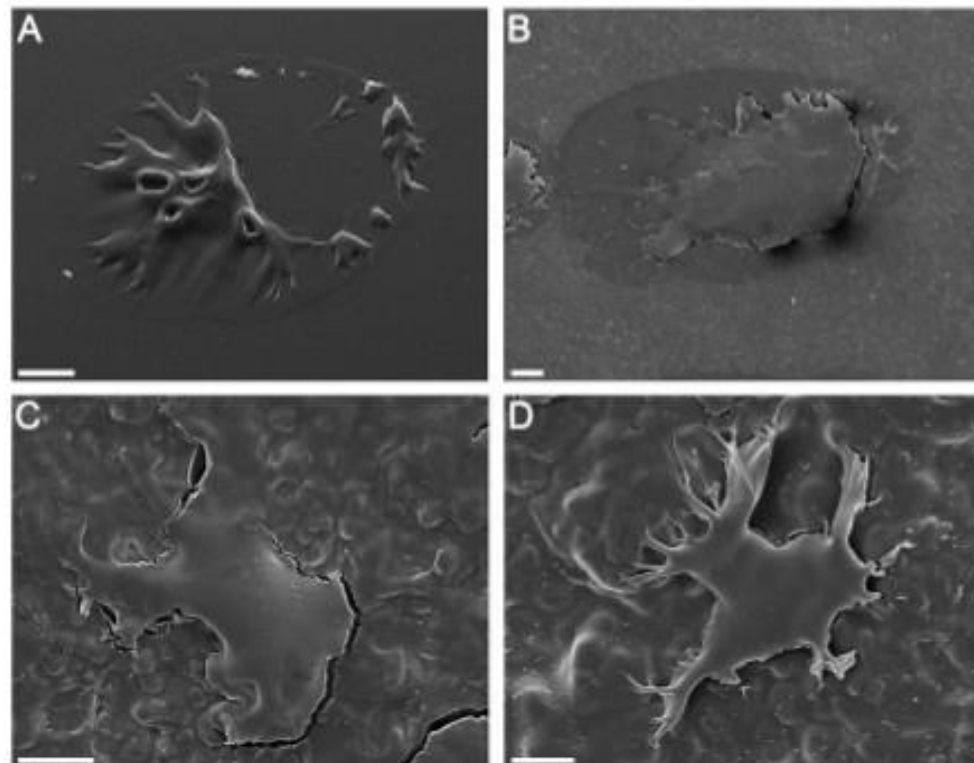


[http://www.kaefer-der-welt.de/stenus\\_bimaculatus\\_1.jpg](http://www.kaefer-der-welt.de/stenus_bimaculatus_1.jpg)



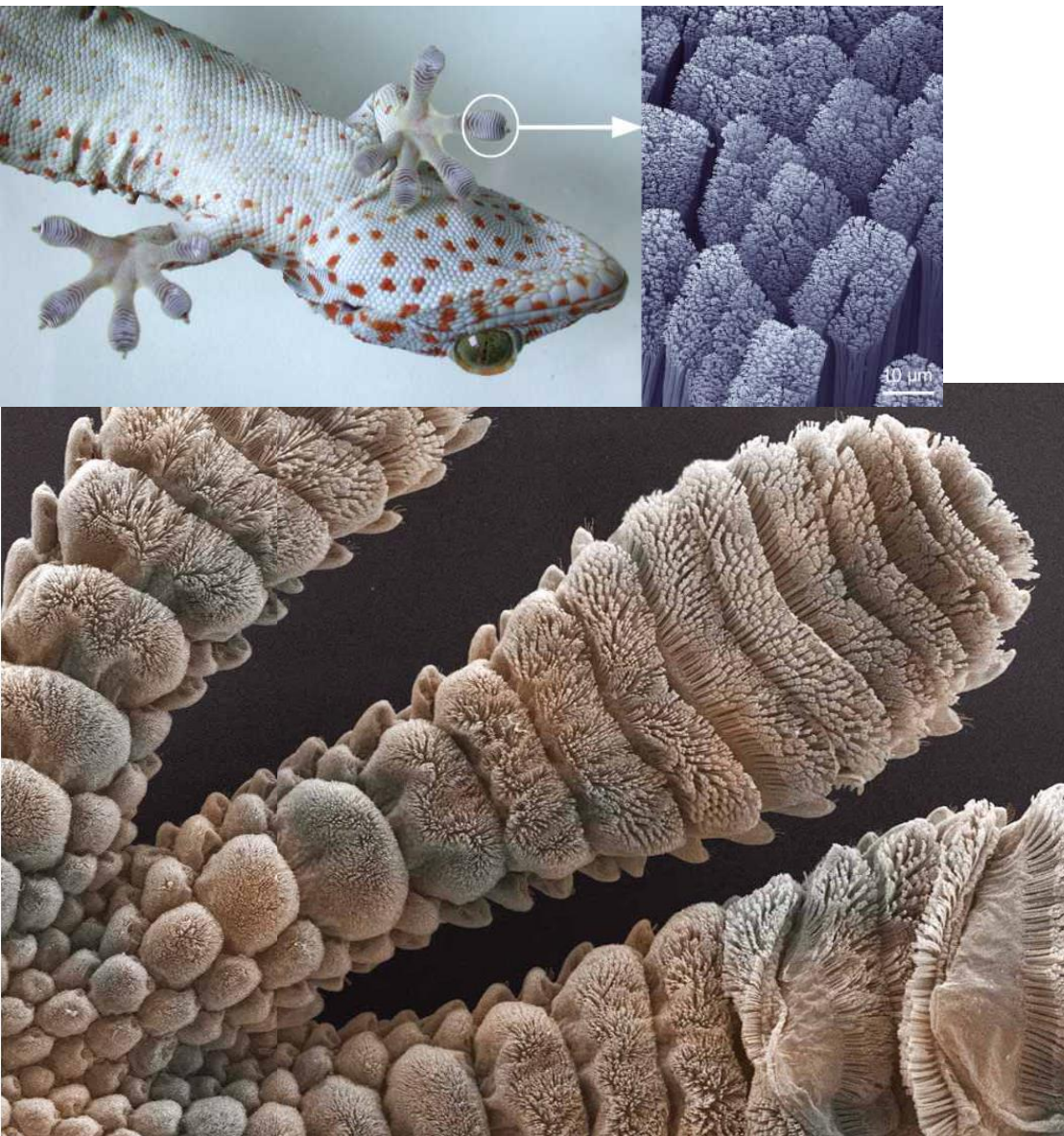
Quelle: L. Koerner, J. Insect Physiology 58, 155 (2012)

## Fussabdruck des Käfers: Beispiel für Feuchthaftung



**Fig. 4.** SEM images of air-dried secretion prints left on the smooth surface (A) and on the surfaces with an asperity diameter of 0.3 µm (B), 3 µm (C), and 12 µm (D). Scale bar = 20 µm.

## Der Gecko: Beispiel für Trockenhaftung



Quelle: K. Autumn, American Scientist 94, 124 (2006)

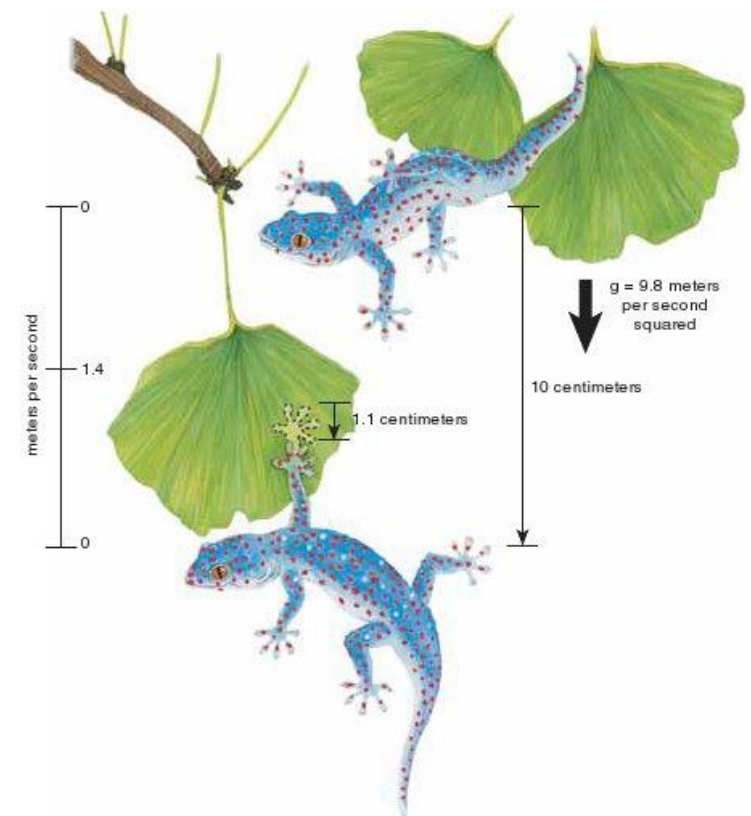


Figure 5. Geckos can recover from a fall by slapping a foot against a passing leaf or branch. This recovery takes advantage of the large adhesive forces that gecko toes are capable of generating. Consider the example of a 50-gram gecko that falls 10 centimeters before attaching a foot to a nearby leaf. During the fall, the gecko accelerates at 9.8 meters per second squared; at the instant it touches the leaf below, it will be moving at 1.4 meters per second. If the foot produces 5 newtons of friction, the gecko will come to a sudden stop (0.015 seconds) after sliding only 1.1 centimeters. This arrest uses 50 percent of the maximum shear capacity of one foot based on whole-animal measurements but less than 4 percent of the theoretical maximum calculated from single setae.

## Der Gecko: Beispiel für Trockenhaftung

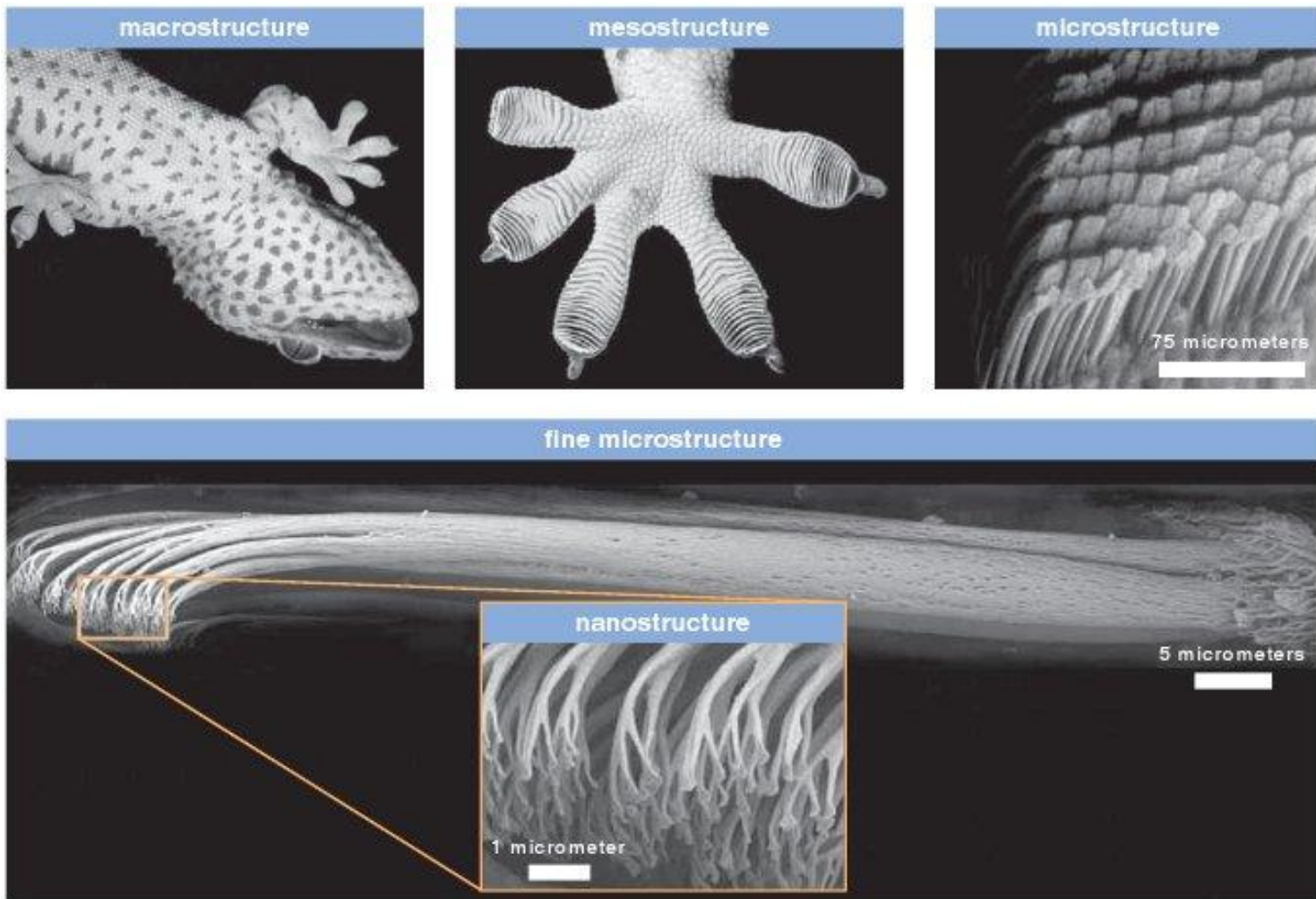


Figure 2. The structural hierarchy of the gecko adhesive system reveals different features at each scale. At the macro-level, a naked-eye view from behind a vertical glass window shows the tokay gecko (*Gekko gecko*) navigating that smooth surface with ease. A closer view of the bottom of the foot shows many ridges crossing each toe. The microstructure of a ridge reveals that it is covered with densely packed projections called setae, which are ordered in a neat, grid-like pattern. Each diamond-shaped structure is the branched end of a cluster of four setae. The fine microstructure of a single gecko seta shows individual fibrils of  $\beta$ -keratin, which comprise the shaft, and extensive branching at the end. The branched filaments form a nano-scale array of hundreds of flattened tips. (Photographs courtesy of Mark Moffett; electron micrographs courtesy of Stas Gorb and the author)

Quelle: K. Autumn, American Scientist 94, 124 (2006)

## Trockenhaftung vs. Feuchthaftung

Quelle: K. Autumn, American Scientist 94, 124 (2006)

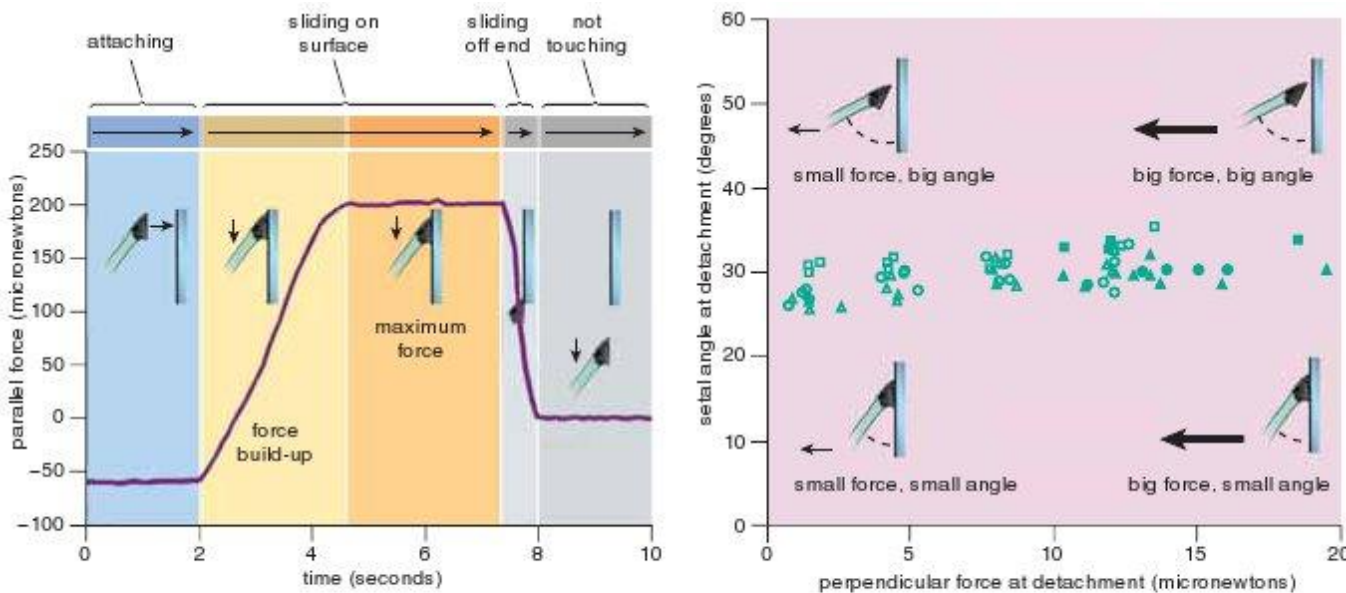


Figure 4. The author measured the shear force (left) of a single seta by pressing it against a microsensor, then pulling perpendicular to the surface of the sensor. These data report the resulting force as a function of time. Inset diagrams show the relative positions of seta and sensor at different points in the experiment, with arrows to indicate the direction of force applied to the seta. The maximum observed force of 200 microneutons was 32 times greater than the predicted value from animal experiments. At right, the author plotted attachment forces exerted by single setae as a function of the angle between the setal shaft and the surface. The results of two different types of experiments are shown: Filled symbols represent setae pulled away from the surface until they released; open symbols indicate setae held at a constant force as the angle increased. Each symbol shape represents a different seta. The data reveal a consistent angle of detachment—about 30 degrees—over the entire range of pulling forces.

## Trockenhaftung vs. Feuchthaftung

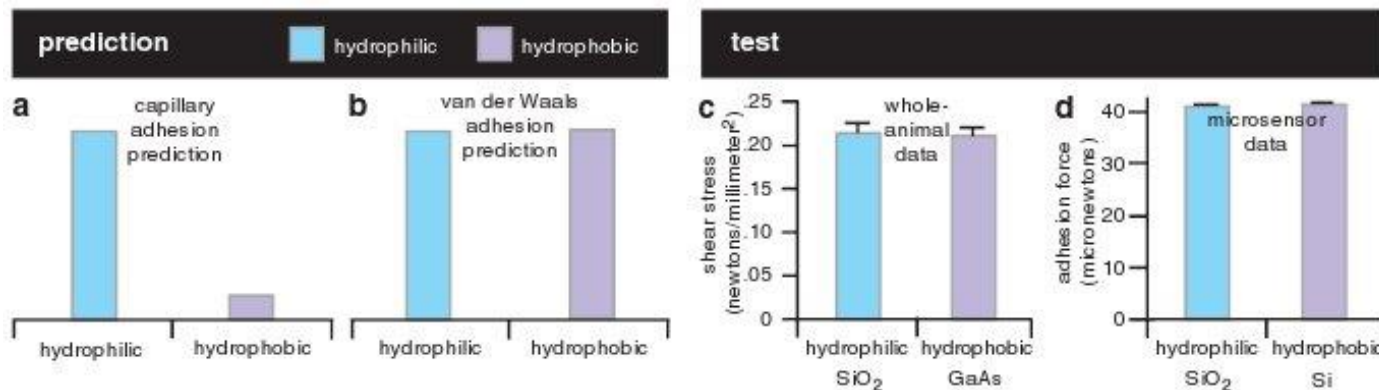
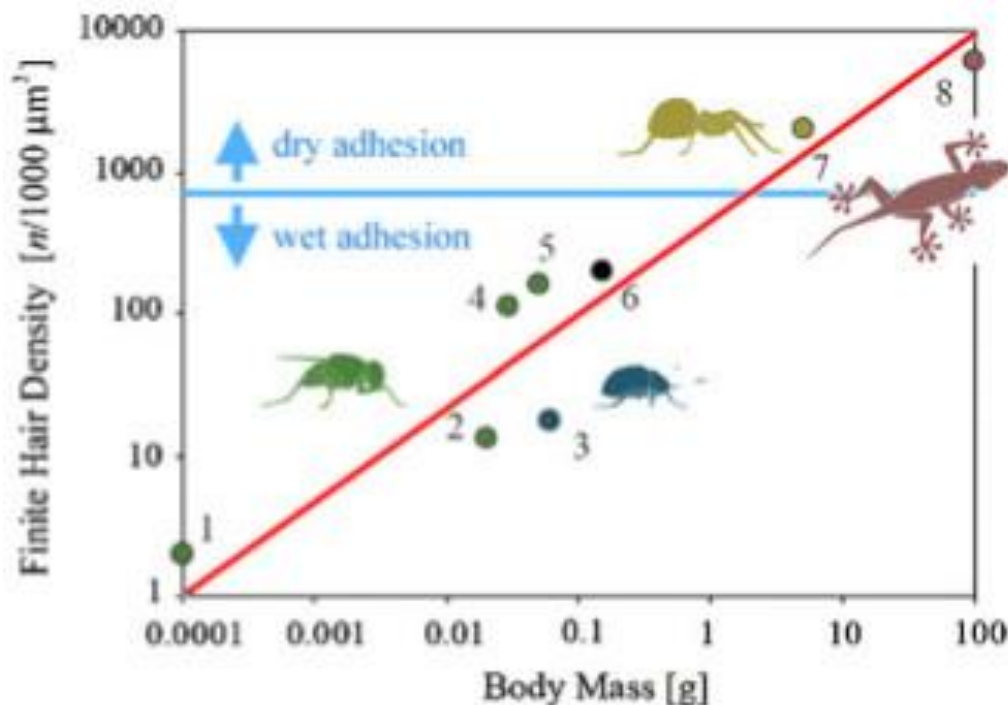


Figure 7. The difference between polar surfaces and polarizable surfaces can be used to test the capillary and van der Waals hypotheses of gecko adhesion. For highly polarizable surfaces such as gallium arsenide (GaAs) and silicon dioxide ( $\text{SiO}_2$ ), the capillary hypothesis (a) predicts that geckos will adhere strongly to the hydrophilic (polar)  $\text{SiO}_2$  but not the hydrophobic (nonpolar) GaAs. The van der Waals hypothesis (b) predicts that the adhesive forces will be similarly large for both. Experiments that tested the adhesive force with whole animals on GaAs and  $\text{SiO}_2$  surfaces (c) and with single setae on  $\text{SiO}_2$  and silicon microsensors (d) showed comparable adhesion forces for both types of surfaces. These data match the predictions of the van der Waals hypothesis.

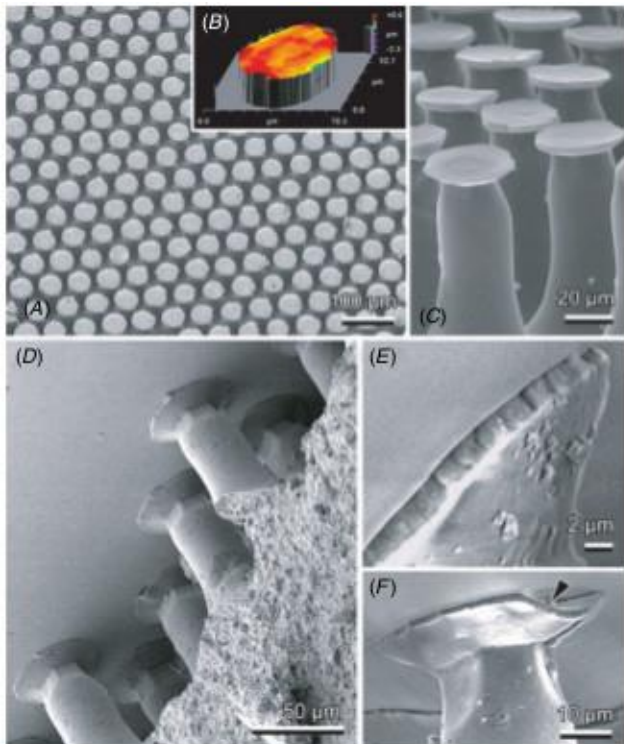
## Trockenhaftung vs. Feuchthaftung



**Figure 4.** Dependence of the finite hair density of the attachment pads on the body mass in hairy pad systems of representatives from diverse animal groups. 1, 2, 4, 5: flies; 3: beetle; 6: bug; 7: spider; 8: gekkonid lizards. Adapted from Scherge and Gorb (2001). The systems located above the blue line rely on van der Waals forces (dry adhesion), whereas the systems below the line rely mostly on capillary and viscous forces (wet adhesion).

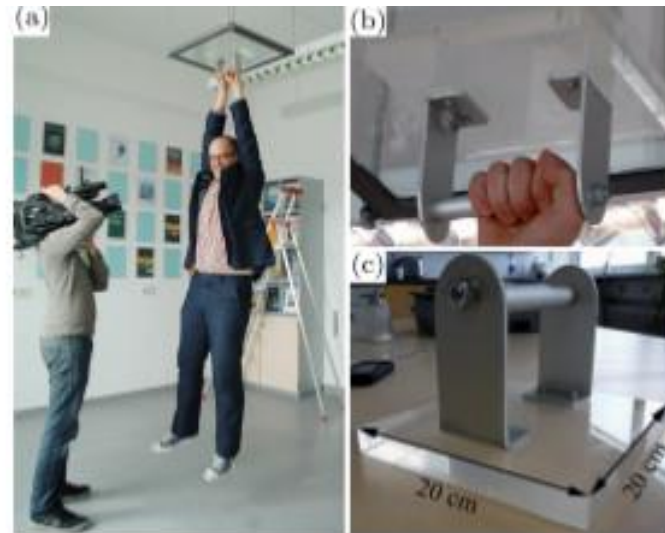
Quelle: S. Gorb et al. Bioinsp.Biomim 2, S117 (2007)

## Adhäsive Mikrostrukturen



**Figure 5.** Patented insect inspired polyvinylsiloxane surface.  
A: single structures are distributed on the surface according to the hexagonal pattern, in order to reach the highest packaging degree of single pillars (above aspect, SEM image). B: white-light interferometer image of single pillar head demonstrates an almost flat shape of the contacting surface. C: side aspect of the pillar array. D–F: behavior of structured PVS surfaces in contact with the glass surface (SEM images). The black arrowhead shows a dust particle in contact. Adapted from Gorb *et al* (2007).

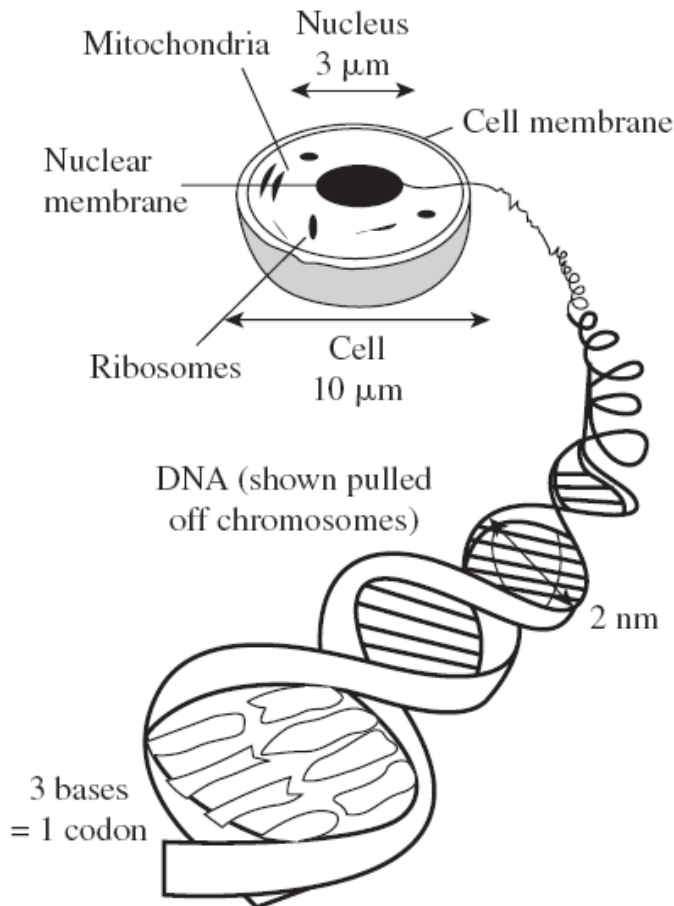
Quelle: S. Gorb et al. Bioinsp.Biomim 2, S117 (2007)



**Fig. 3.** Photographs of a man attached to the glass ceiling (a) by a 20 cm × 20 cm PMMA plate covered by the mushroom-shaped adhesive microstructure (b), (c). (Photograph (a) is reprinted with permission from the press office of the University of Kiel).

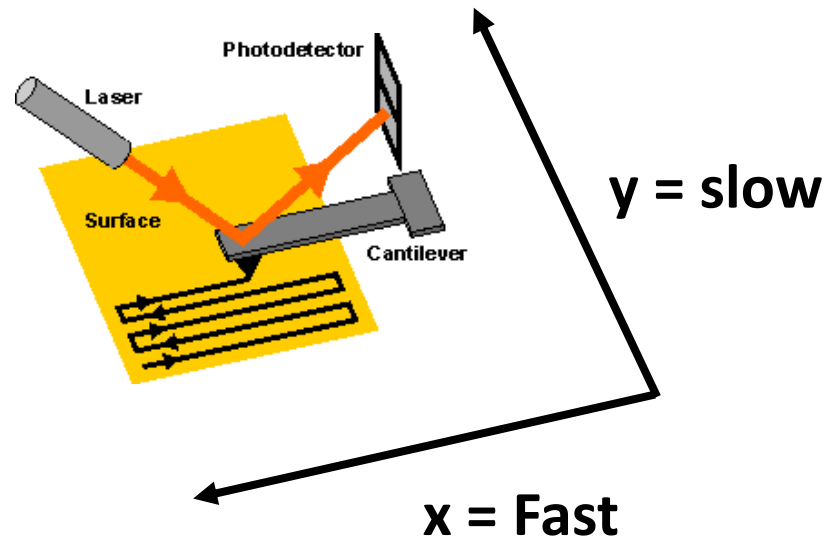
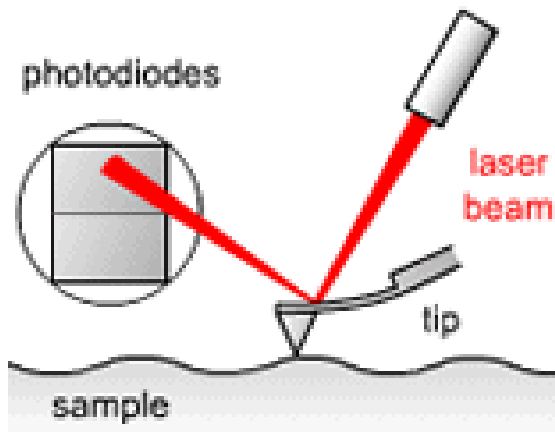
Quelle: L. Heepe et al. Theo.&Appl. Mech. Lett. 2, 014008 (2012)

## Aufbau einer Zelle



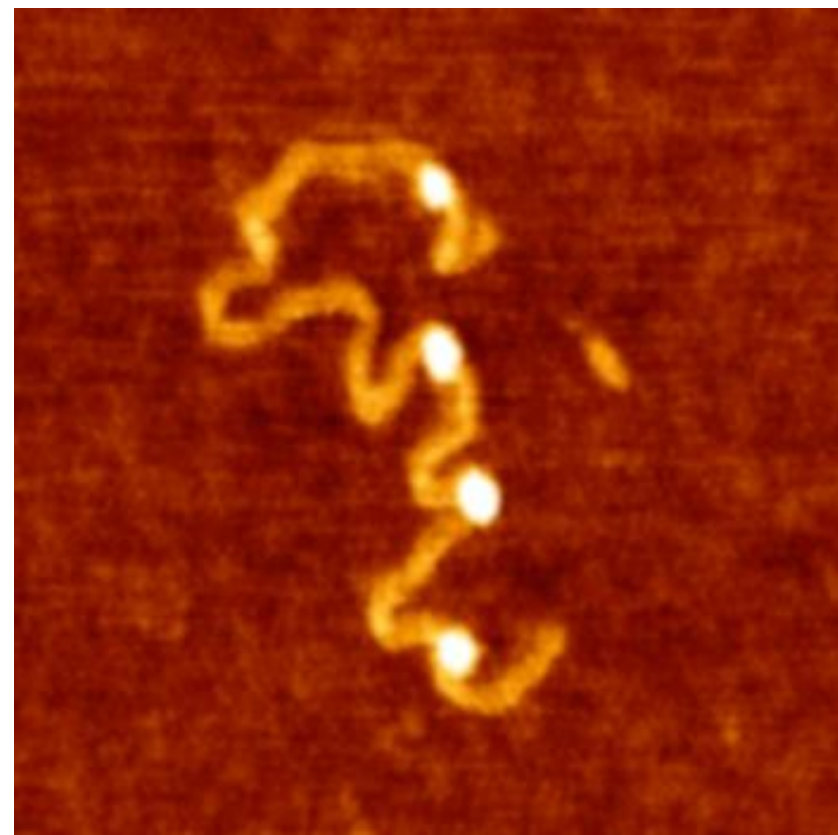
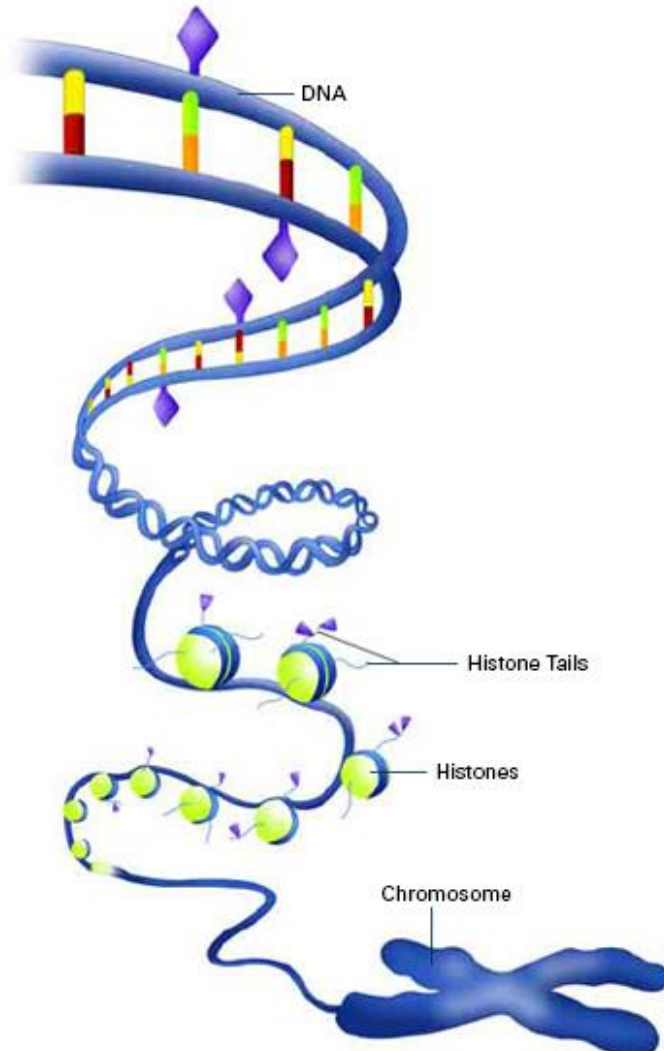
- **Eukaryotische Zellen** haben einen Zellkern, in welchem die Genexpression kontrolliert wird.
- **Prokaryotische Zellen** haben keinen Zellkern. Gene und Proteine befinden sich in derselben Hülle.

# Anwendung der Rasterkraftmikroskopie in der Zellbiologie



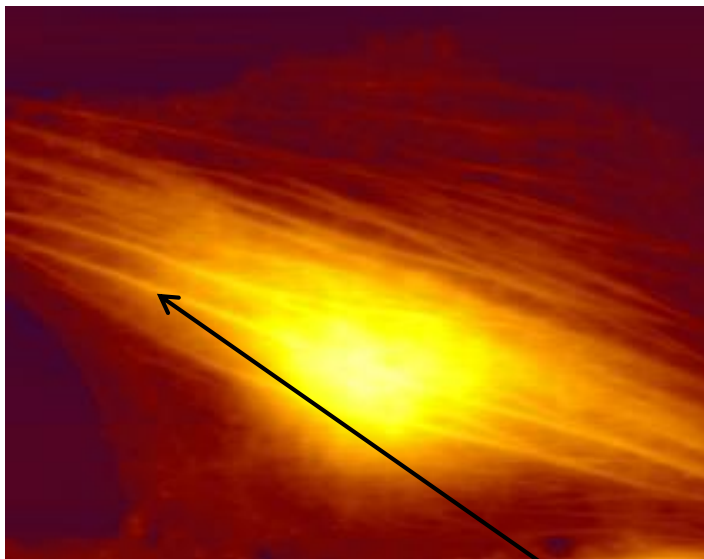
**Vorteil: Bilddarstellung unter physiologischen Bedingungen**

## Abbildung eines DNA-Stranges



Quelle: Vorlesungsfolien Clemens Franz, CFN

## “Height” Signal

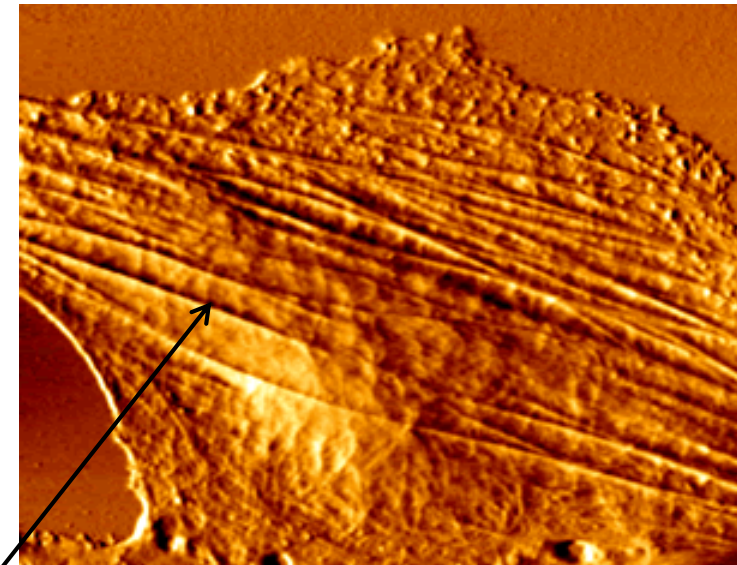


Stützstrukturen (z.B. Actin)  
der Zelle werden sichtbar

**z-Piezo Bewegung im  
Rückkopplungskreis**  
**Topografie -**  
**“wahre” Höheninformation**

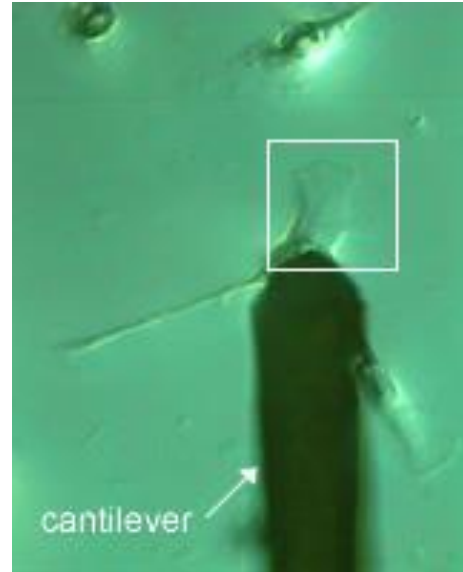
Quelle: Vorlesungsfolien Clemens Franz, CFN

## “Error” Signal



**Cantilever Verbiegung**  
**stellt Änderungen der Höhe dar**

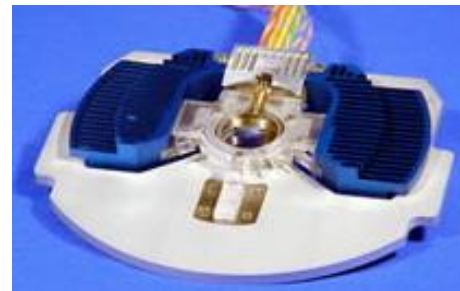
## Kombiniertes AFM / optisches Mikroskop



Lichtmikroskop



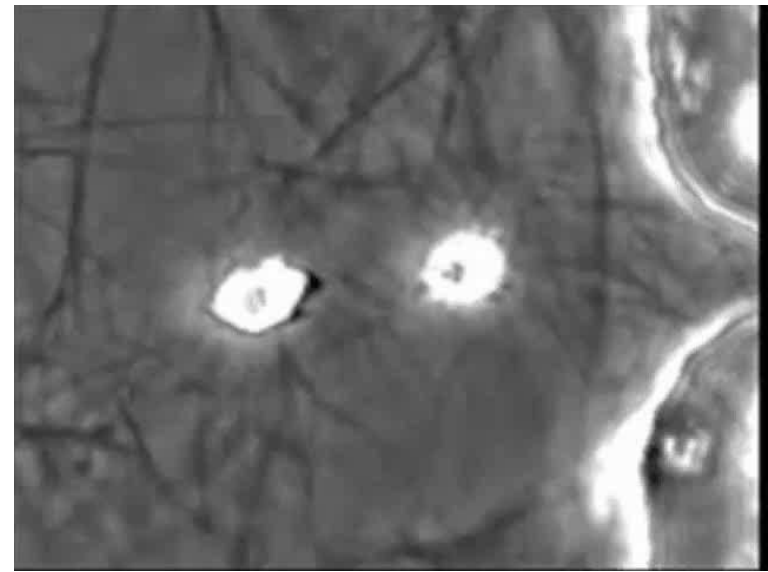
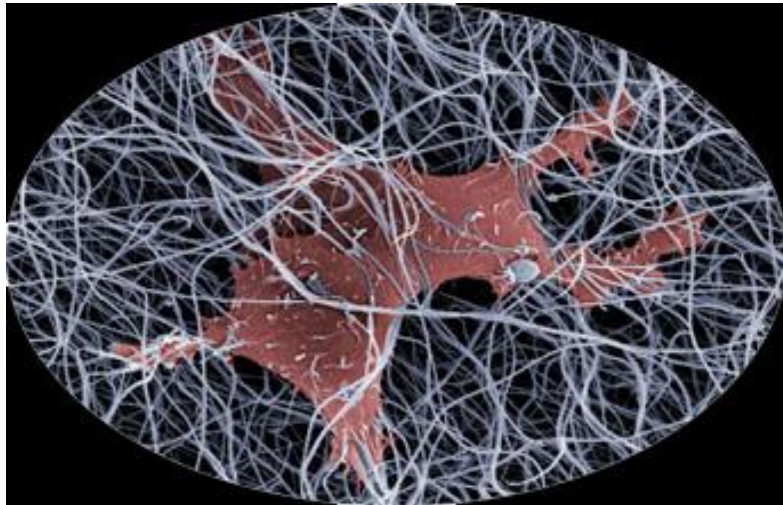
AFM



→ Abbildung lebender Zellen

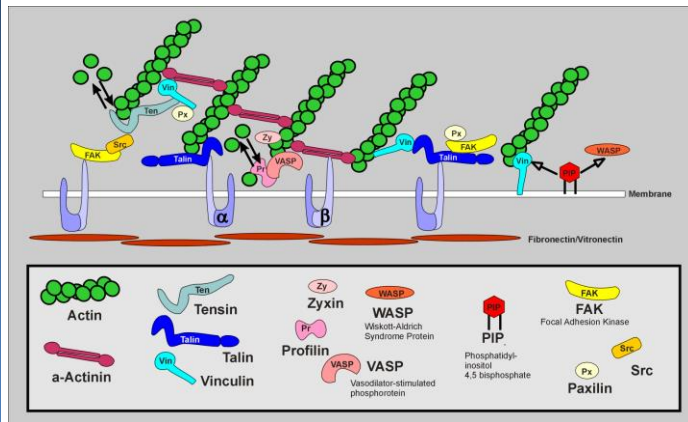
Temperaturkontrolle

## Wechselwirkung von Fibroblasten mit einer extrazellulären Matrix (ECM)



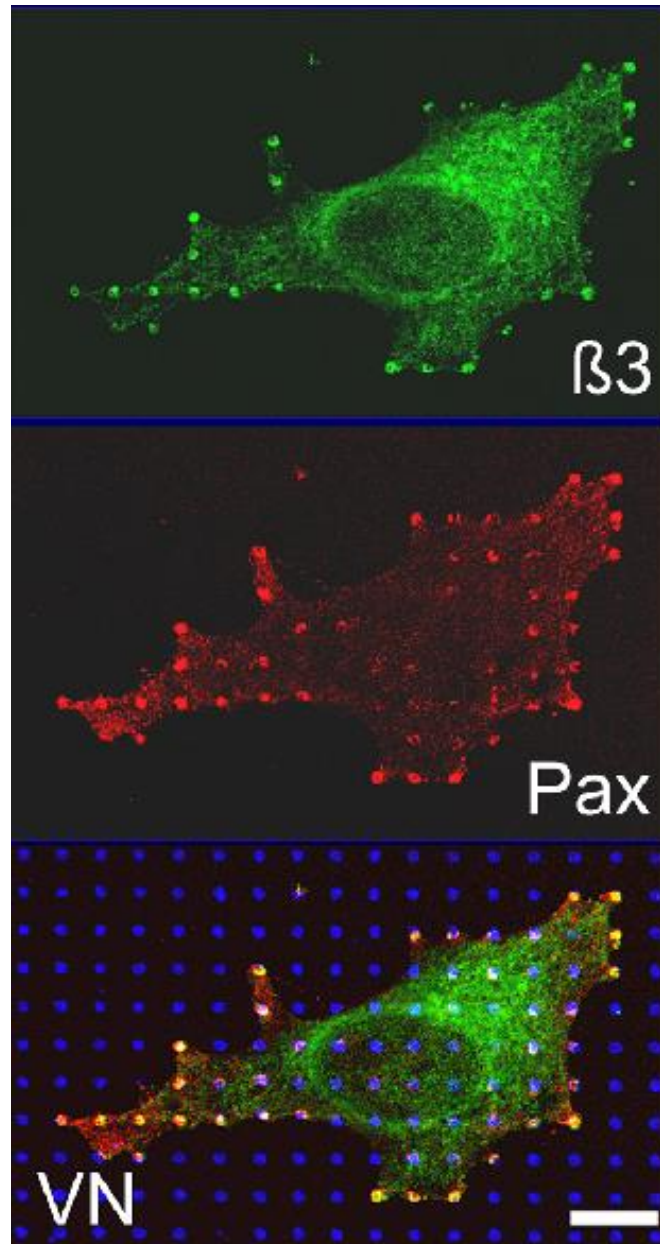
Quelle: Carlos P. Huang, Lab Chip, 2009, 9, 1740–1748

# Molekulare Struktur von Zell-Substrat Kontakten

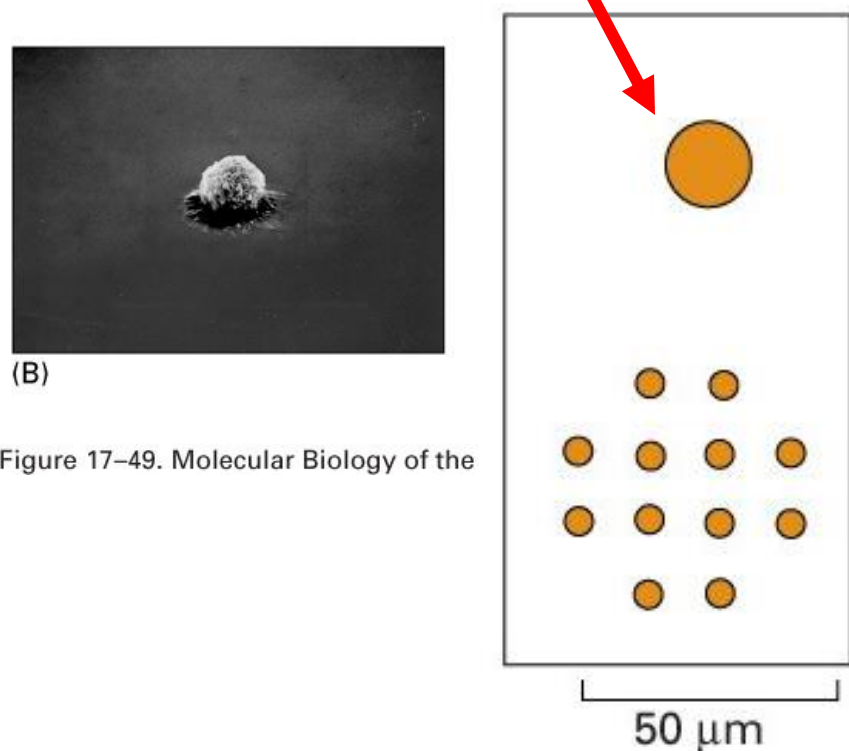
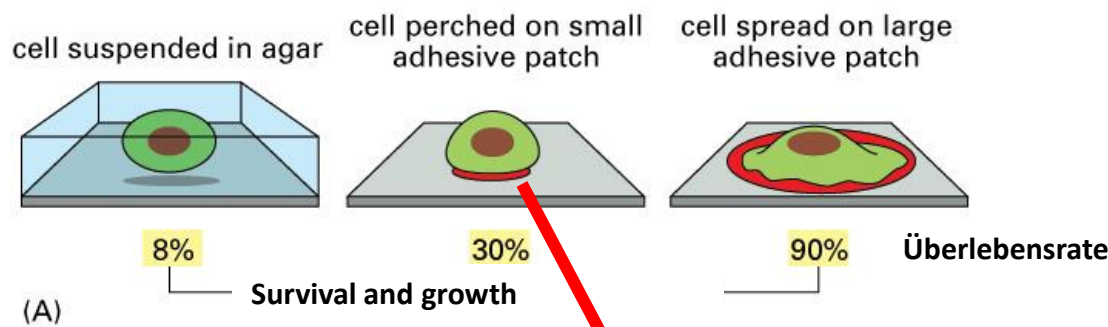


Fibronectin, Laminin, Vitronectin

Aktin  
 $\alpha$ -Aktinin  
 $\beta$ 3-Integrin  
FAK  
Paxillin  
Phosphotyrosin  
Talin  
Tensin  
Vinculin



# Kontaktabhängiges Wachstum

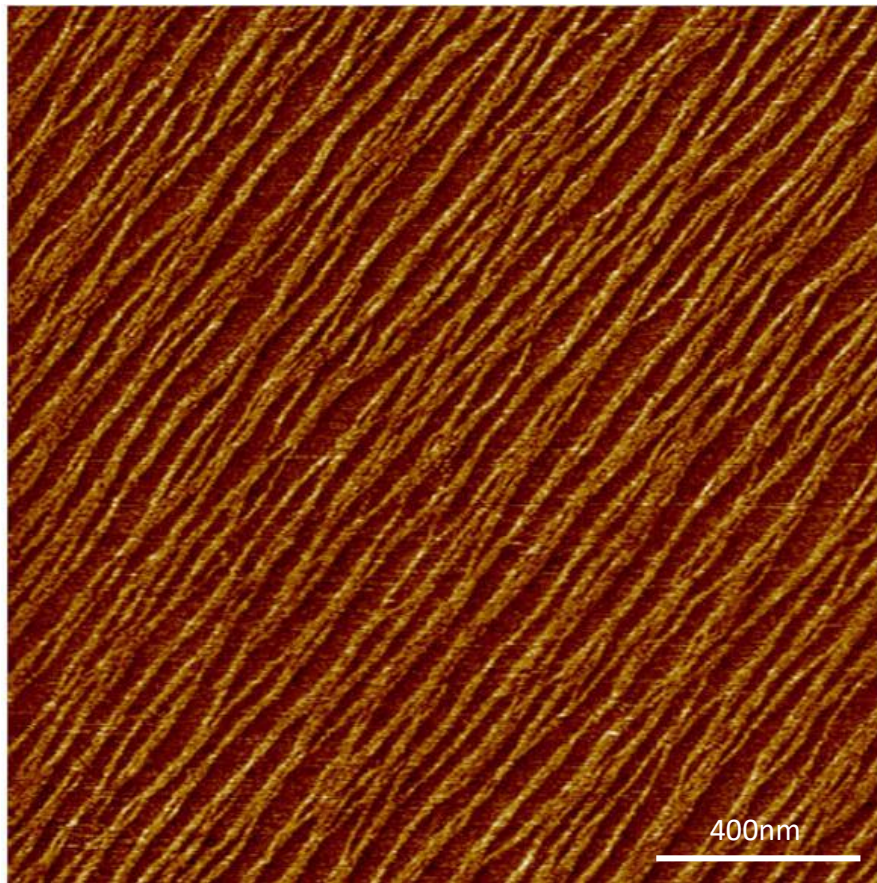


Zelltod durch  
Apoptosis

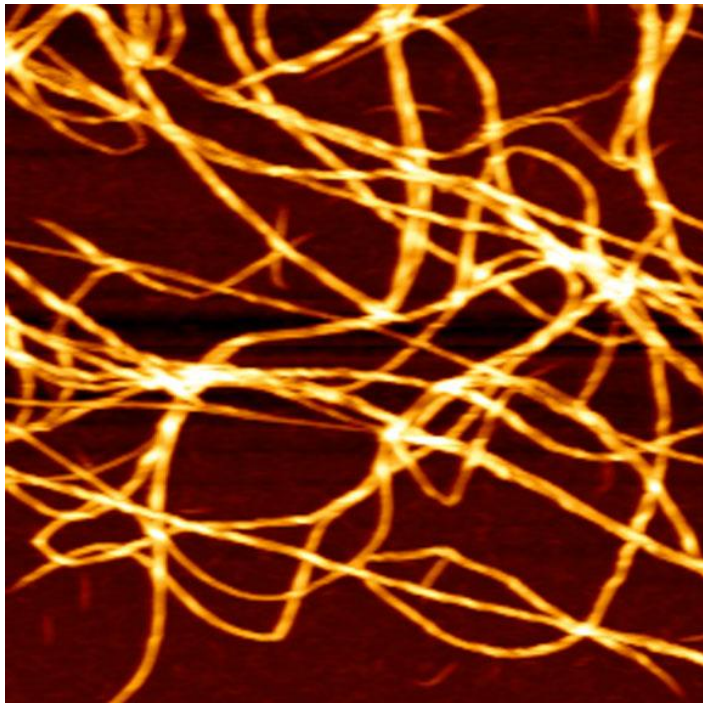
Überleben der  
Zelle und  
Zellwachstum

Quelle: C. Chen et al., Science 276, 1425 (1997);

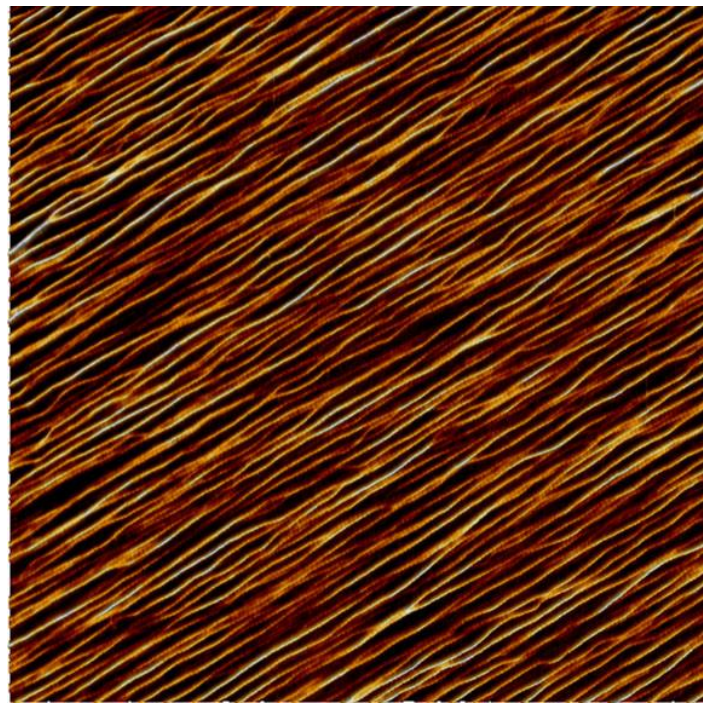
# Formation hochgradig geordneter und paralleler Kollagen I Mikrofibrillen auf Glimmeroberflächen



Die Matrizen sind  $\sim 3$  nm hoch



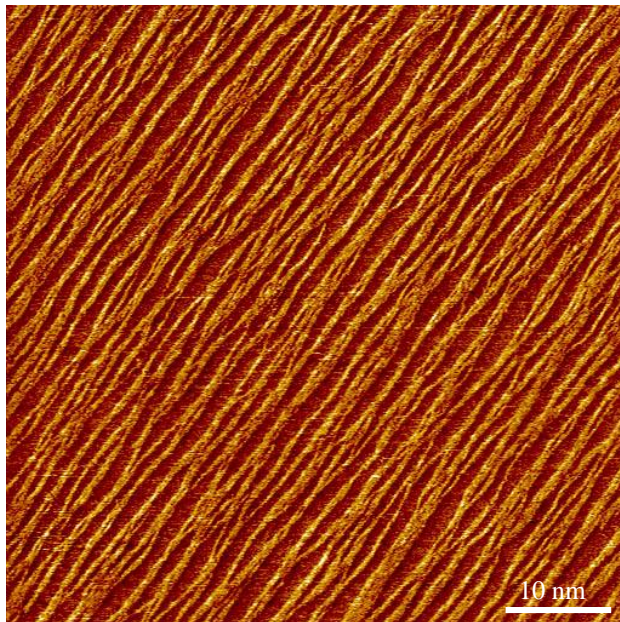
*Konventionelle Kollagenmatrix*



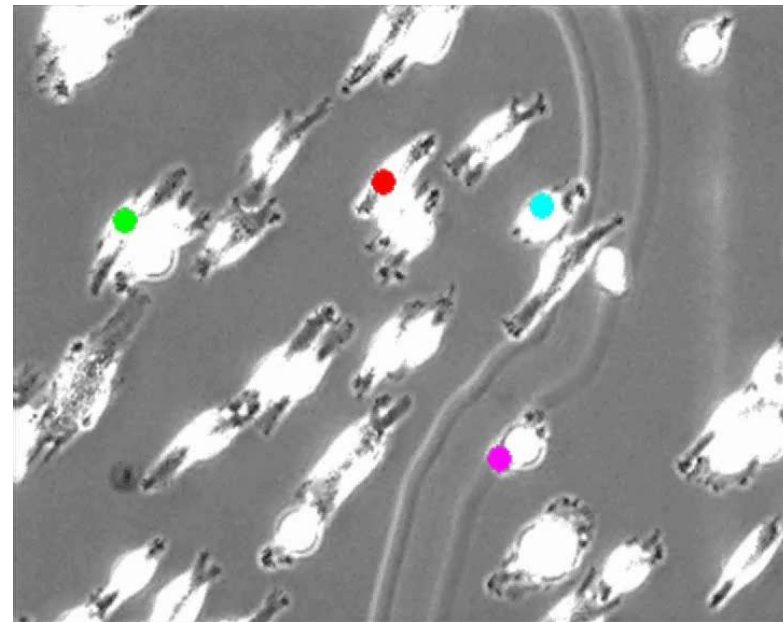
*geordnete Kollagenmatrix*

# *Hat die Kollagenmatrixtopografie einen Einfluß auf das Zellverhalten?*

## Gerichtete Wanderung von Fibroblasten auf nanostrukturierten Kollagenmatrizen

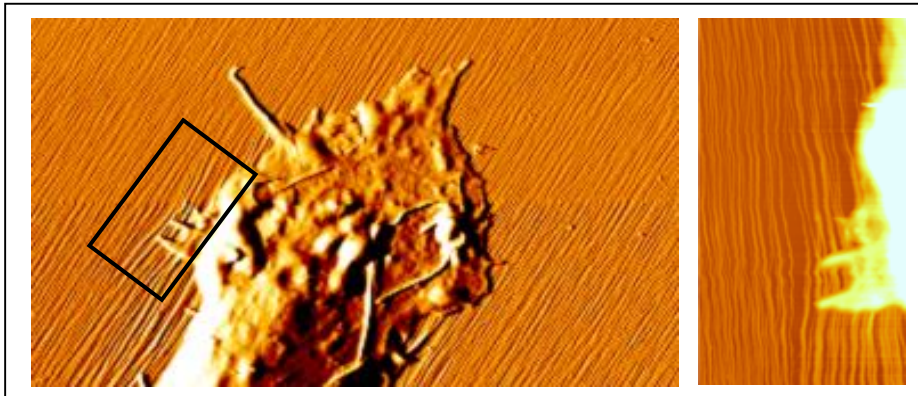


AFM image of a nanostructured  
collagen matrix



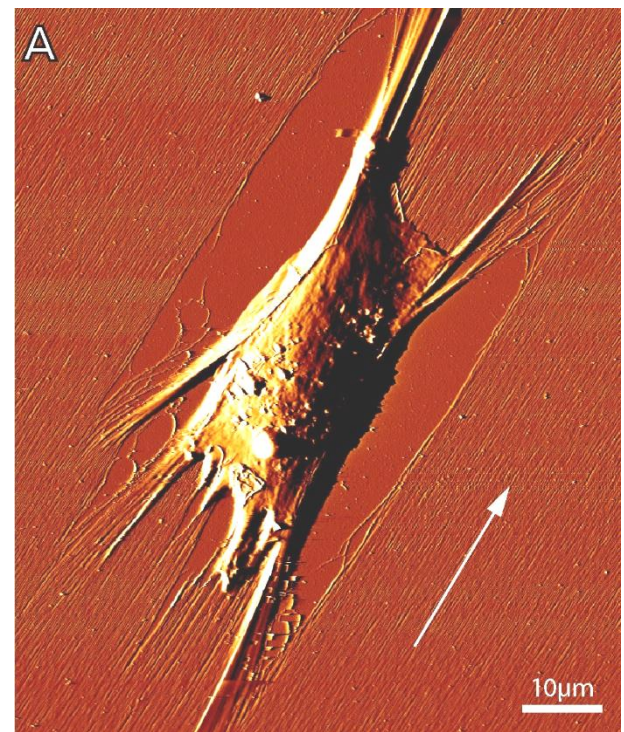
Fibroblasts migrate directionally on the  
collagen matrix

## Anisotrope Deformation der Kollagenmatrix



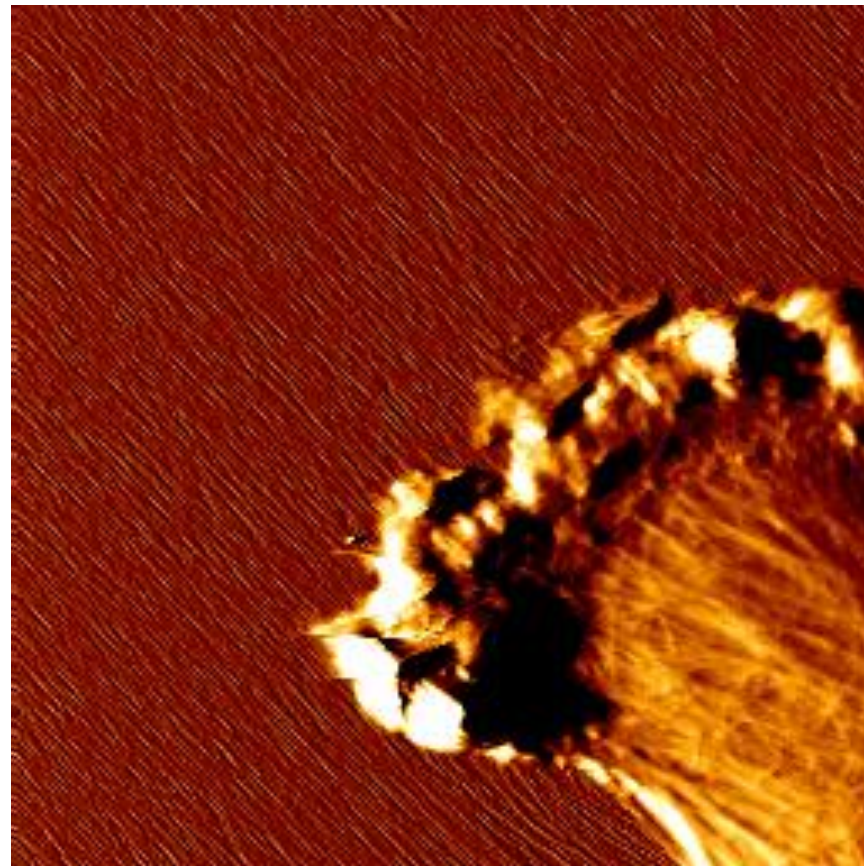
**anfängliche Matrixdeformation**

Quelle: Vorlesungsfolien Clemens Franz, CFN

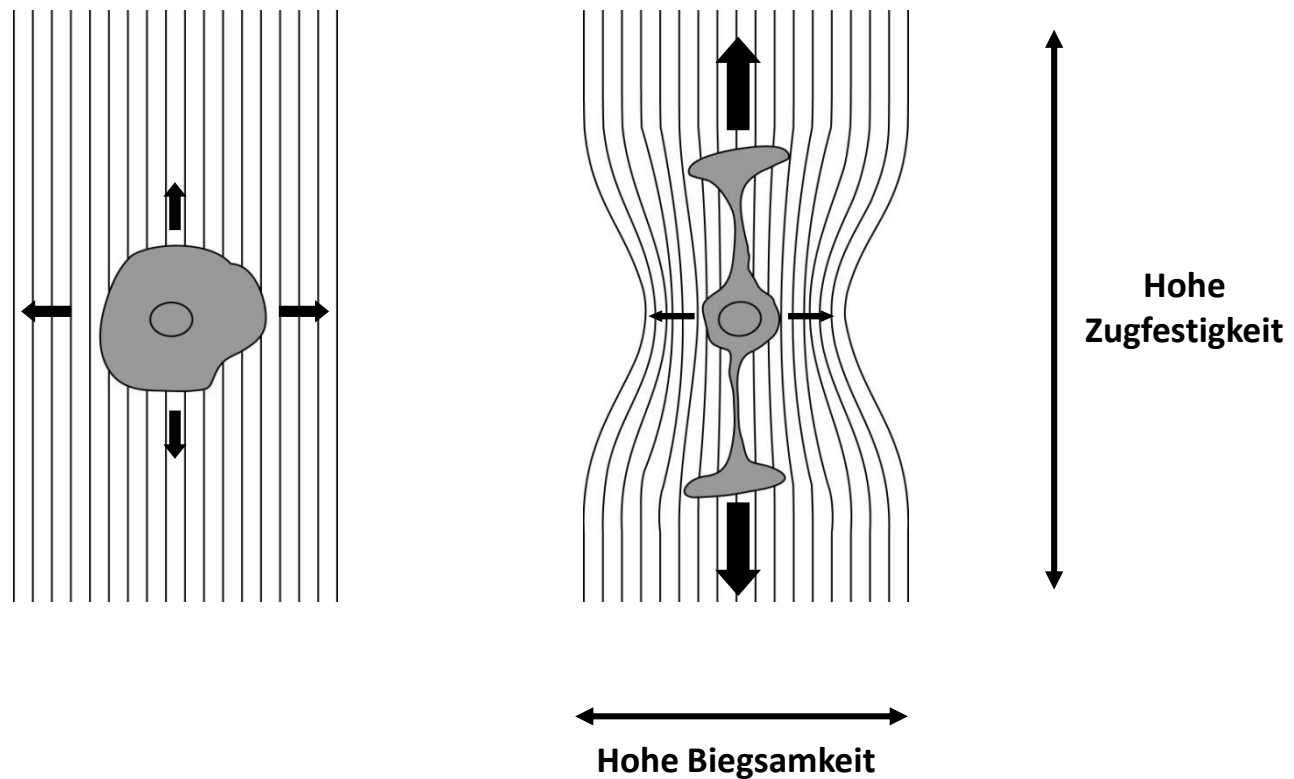


**späte Matrixdeformation**

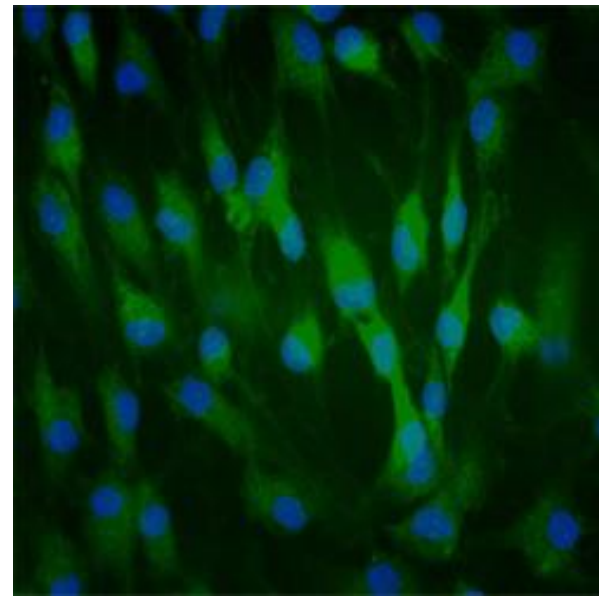
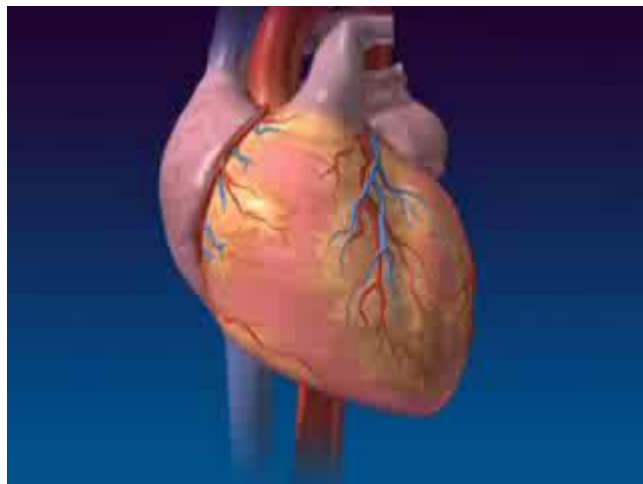
## Zeitraffer AFM-Aufnahme lebender Zellen



## Zellausrichtung durch anisotrope Deformation der Kollagen-Matrix

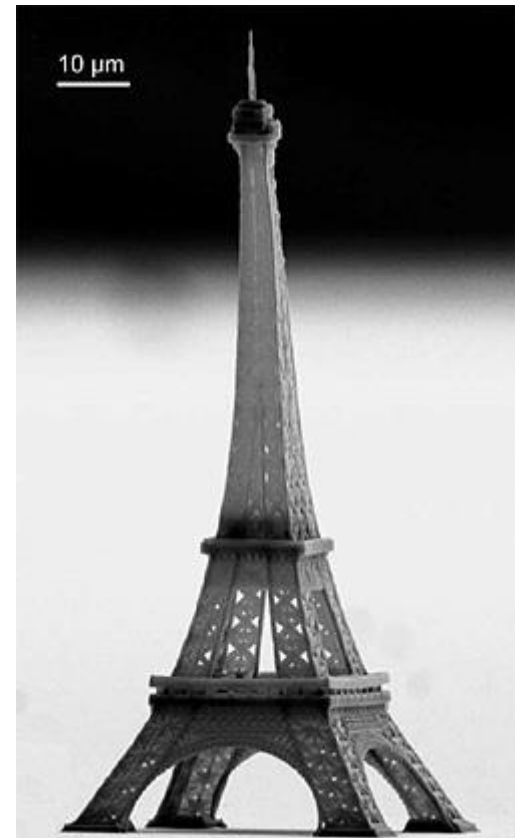
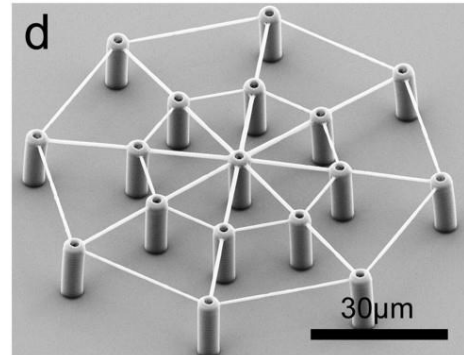
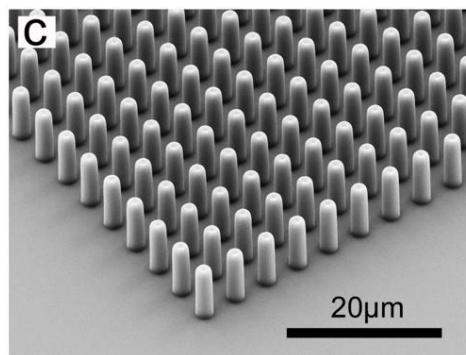
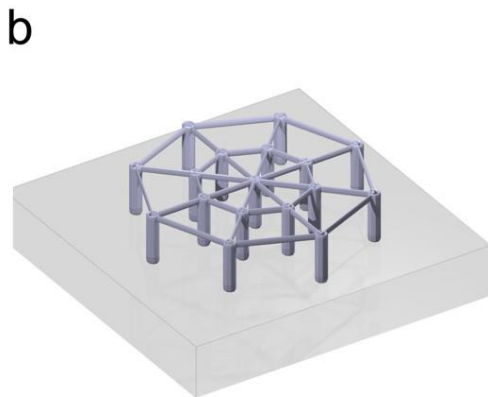
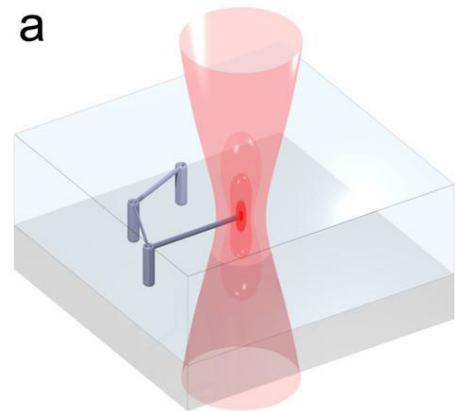


# Herzschlag

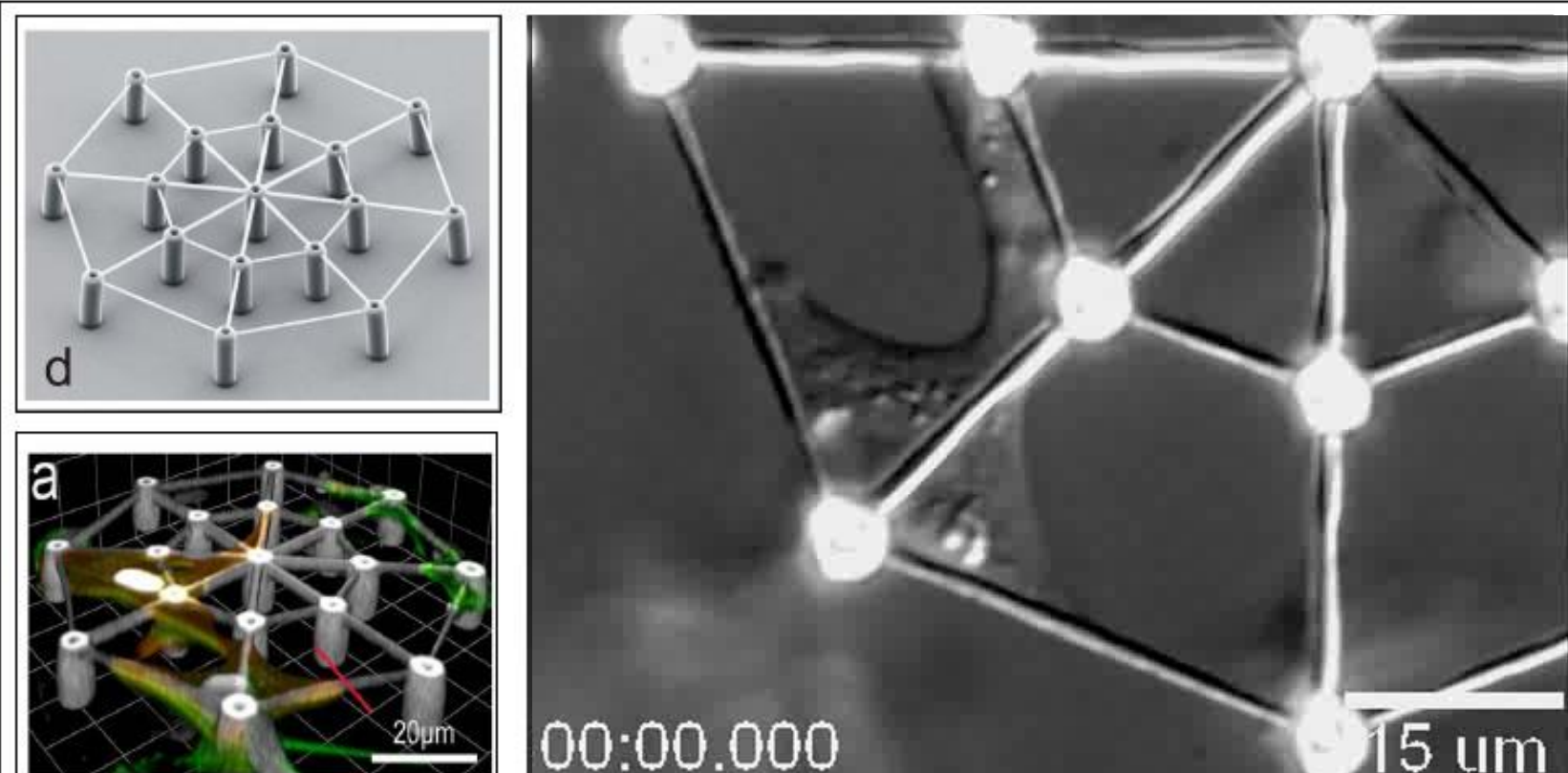


**Cardiomyocytes**

# Herstellung mikrostrukturierter Zellkultursubstrate durch direktes Laserschreiben (DLW)

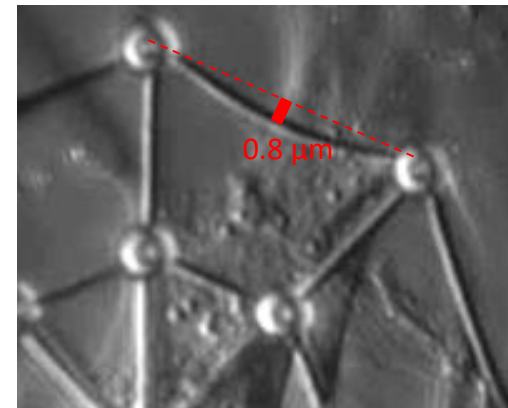
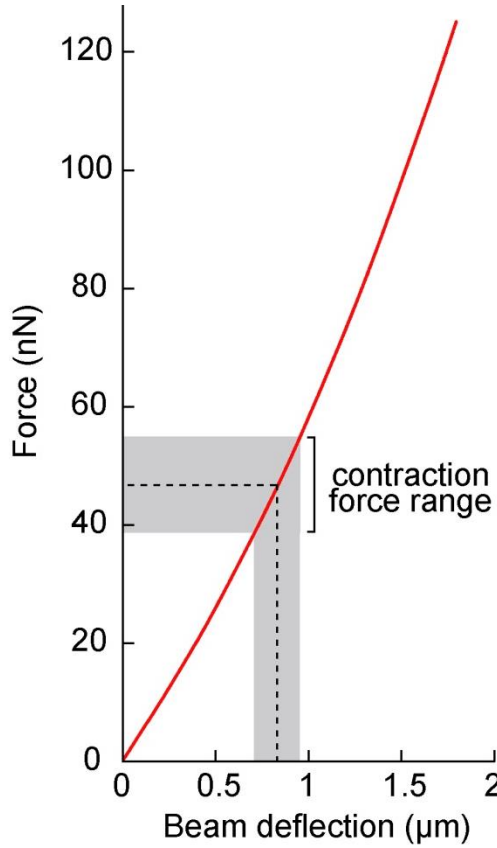


## Flexible 3D-Substrate



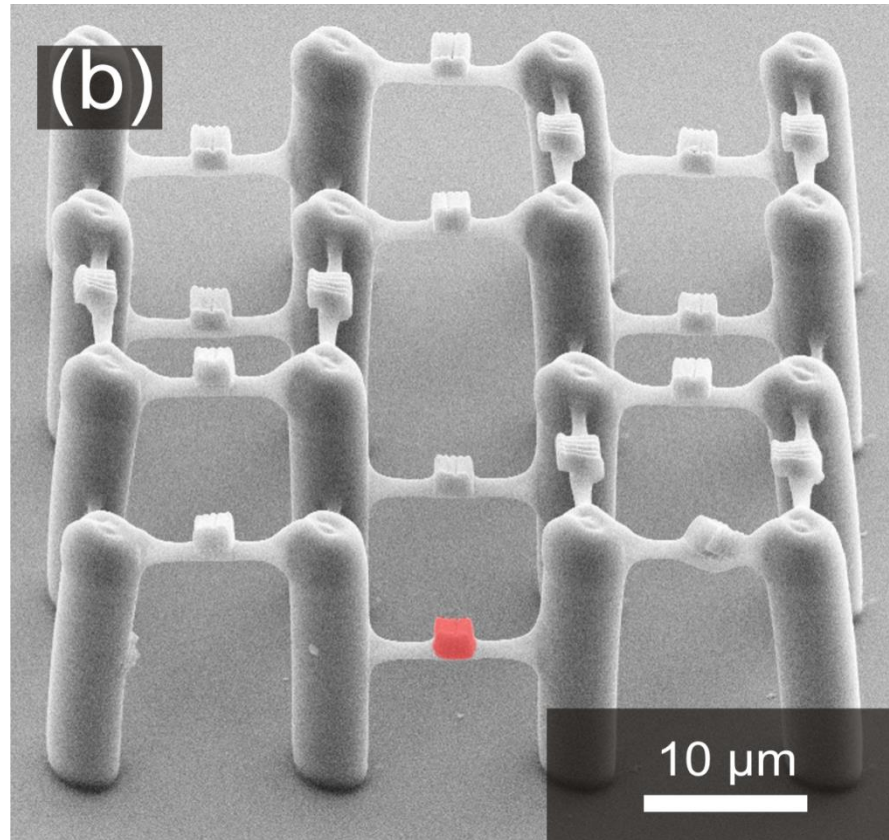
**ORMOCER®: Inorganic-organic Hybrid Polymer**

## Messung der Steifheit flexibler Zellkultursubstrate zur Abschätzung der zellulären Kontraktionskräfte



**zelluläre Kontraktionskräfte:  $\sim 40$  to  $60$  nN**

## Zweikomponentige Gerüste

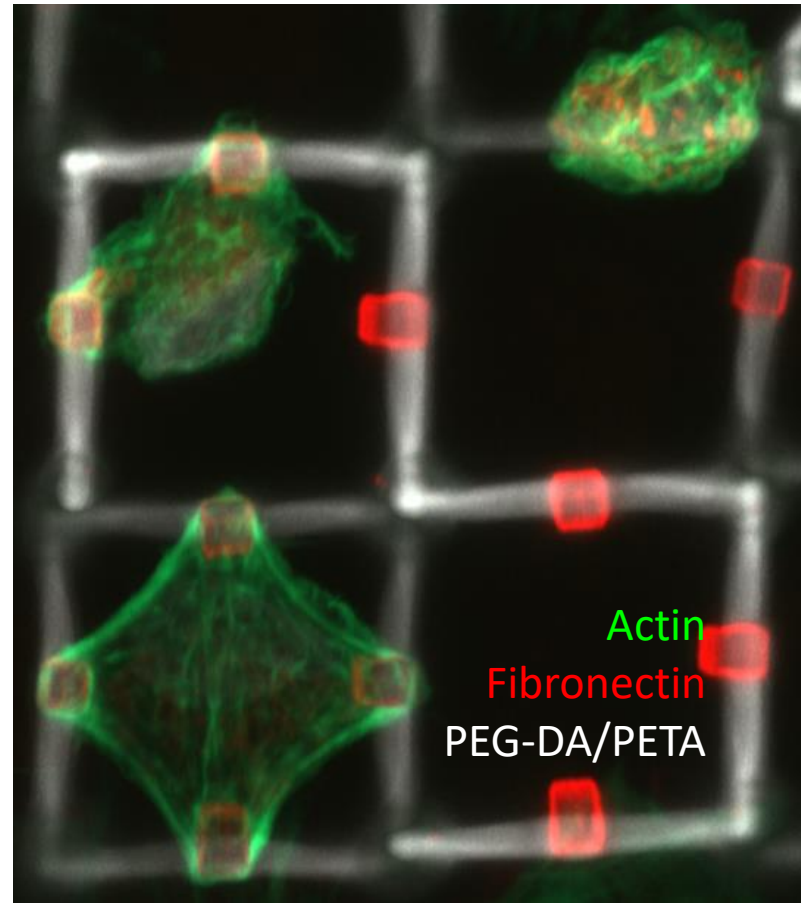


Funktionalisierung des  
proteinabweisenden  
Gerüstes mit  
Ormocomp Würfeln

F. Klein, B. Richter *et al.*, *Advanced Materials* **2011**, 23, 1341

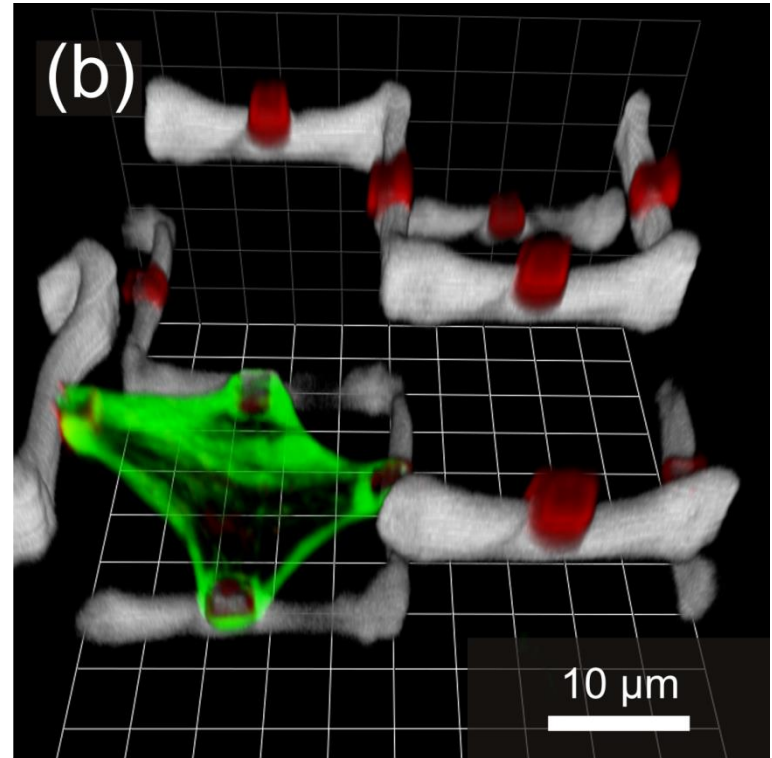
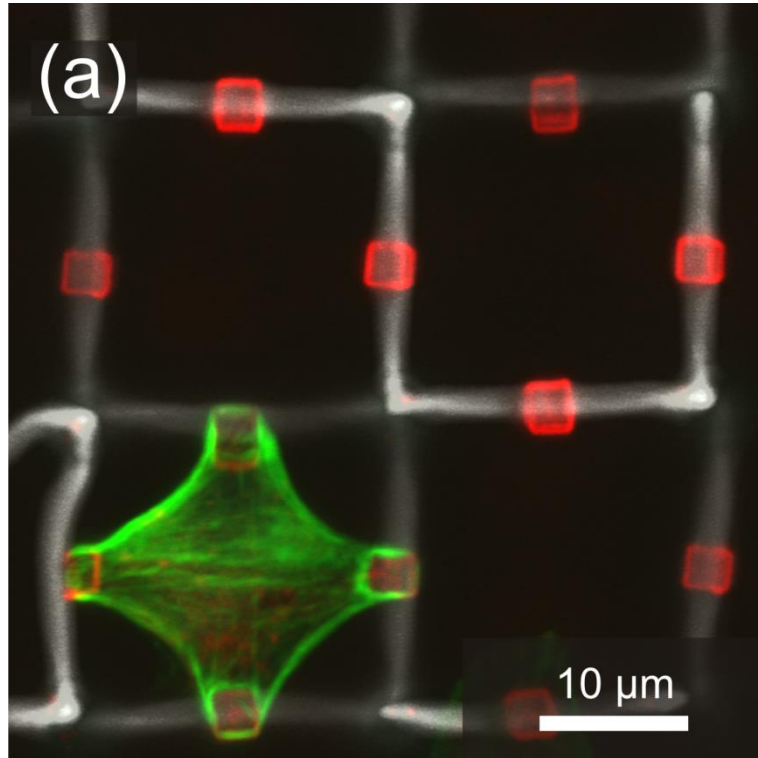
## Zweikomponentige Gerüste

- Beschichtung mit Fibronectin und Zellbesatz



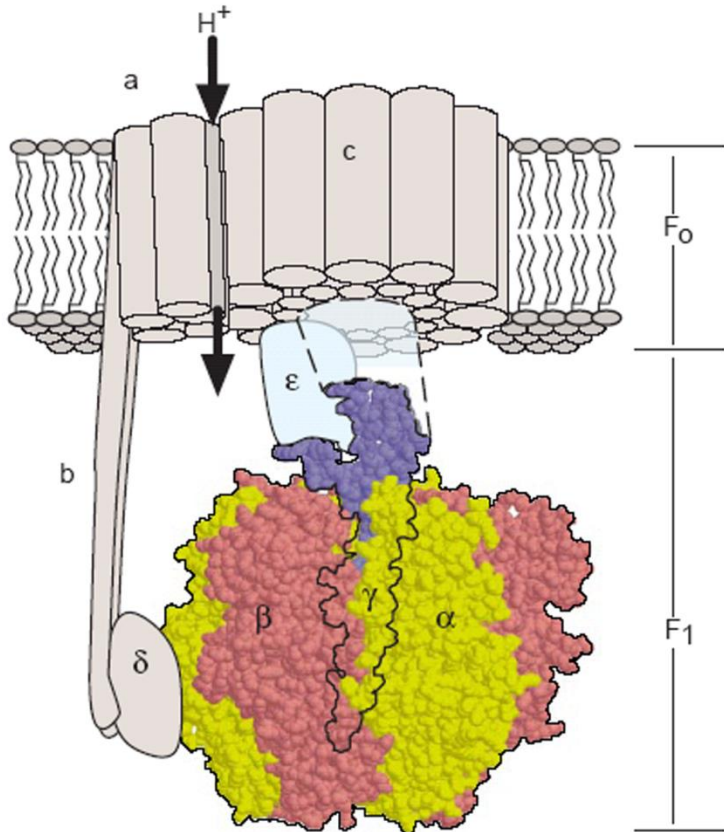
## Zweikomponentige Gerüste

- dreidimensionale Kontrolle der Zellgestalt



F. Klein, B. Richter *et al.*, *Advanced Materials* **2011**, *23*, 1341

## A Rotary Motor – ATP Synthase

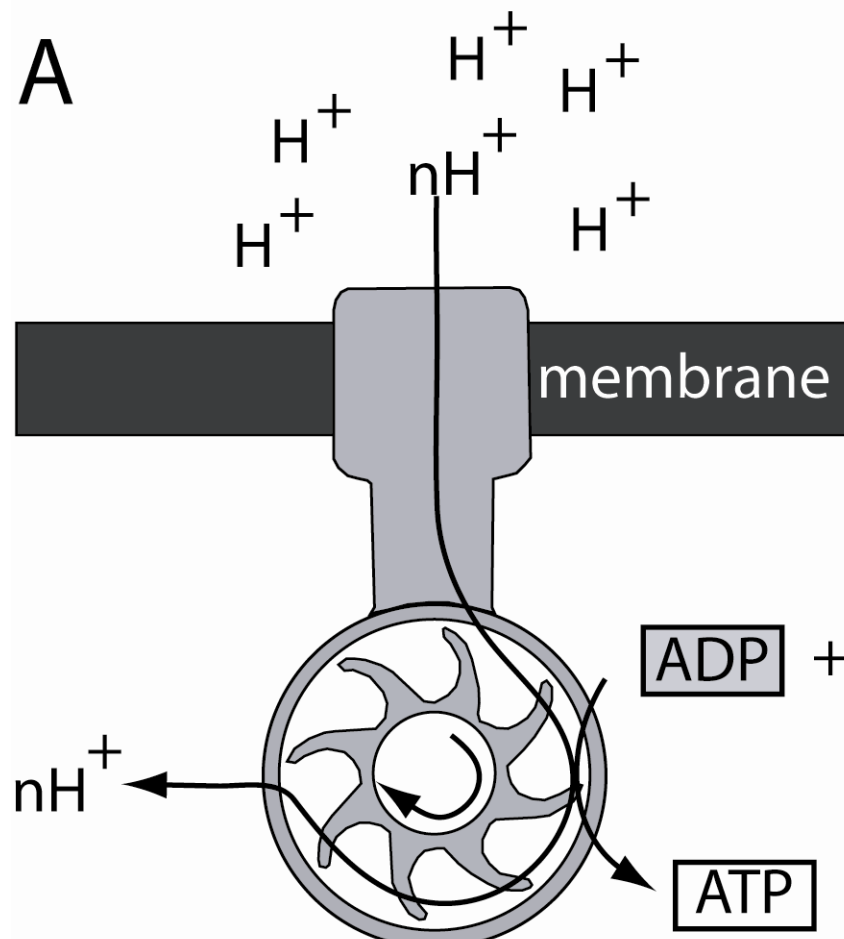


- Proton gradient drives  $F_1$  rotation accompanied by ATP synthesis from ADP.
- High ATP concentration drives rotation in opposite direction with ATP hydrolysis

(Reprinted with permission from Energy transduction in the  $F_1$  motor of ATP synthase, Wang , H. and G. Oster, [Nature](#), 1998, **296**: 279-282. Permission Nature Publishing Group.)

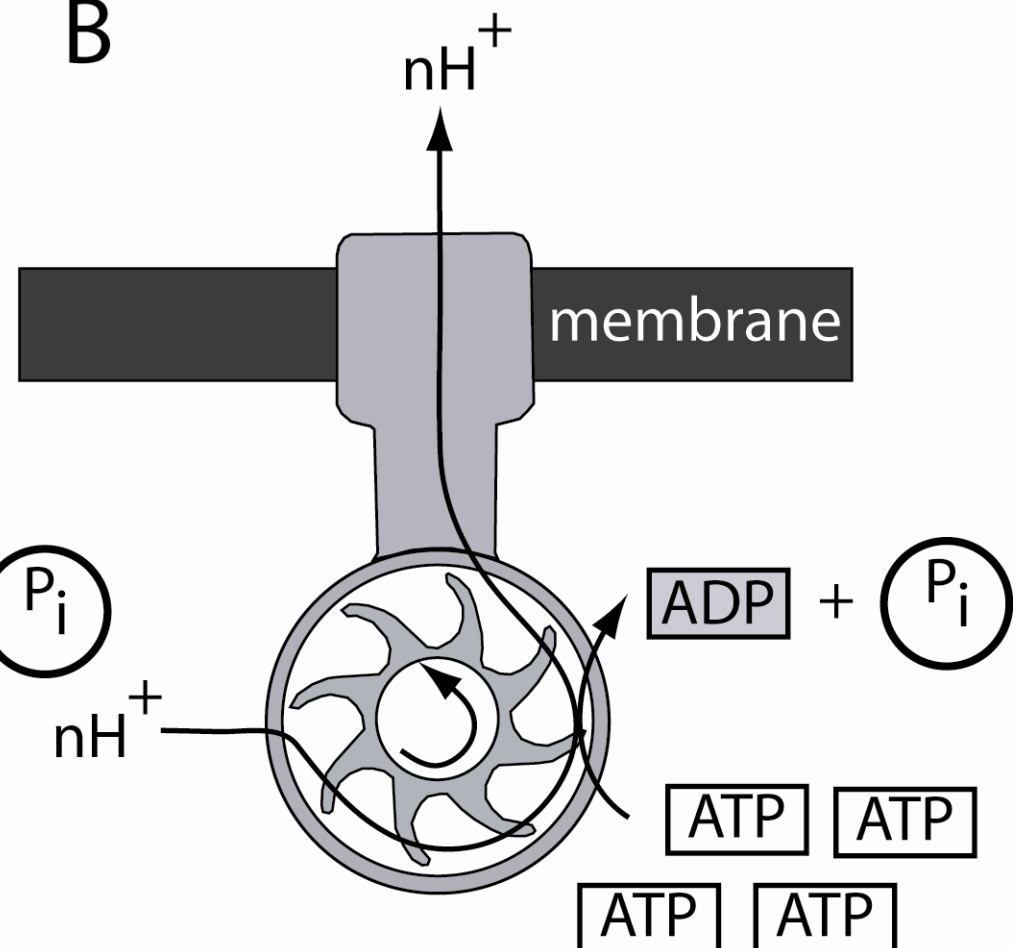
## Two functions of ATP synthase

A



ATP Synthesis

B

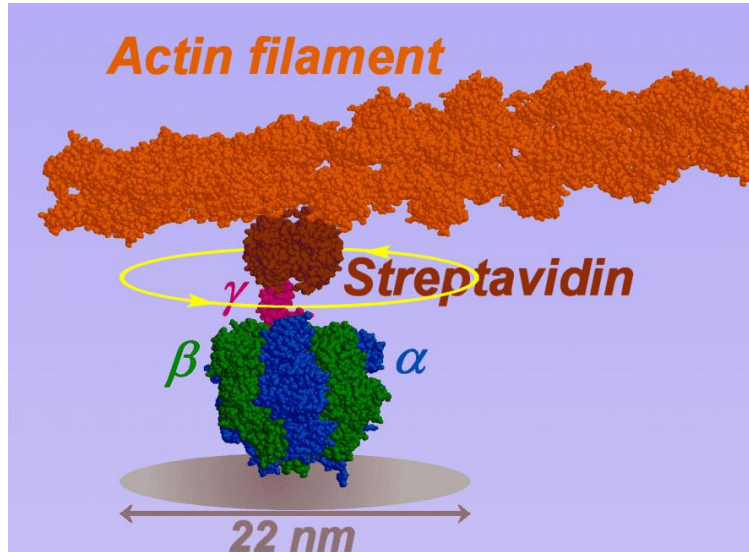


ATP Hydrolysis



<https://youtu.be/nD9fyuisMkg>

## ATP synthase (video)



<http://www.k2.phys.waseda.ac.jp/F1movies/F1Prop4C.gif>

"Direct observation of the rotation of F<sub>1</sub>-ATPase"

Hiroyuki Noji, Ryohei Yasuda, Masasuke Yoshida, and Kazuhiko Kinosita, Jr.  
*Nature*, **386** (1997) 299-302.